GDAC Float Anomalies Monitoring

June 2019

Christine Coatanoan-Girou

Coriolis

NOTES

NOVEMBER 2017

§- (From last week of October) New version for the message sent to each DAC operator, information can be found on the vertical sampling scheme (only the beginning of the text), for instance :

DAC_CODE,PLATFORM_CODE,CV_NUMBER,DATE_UPDATE,DIRECTION,WEB_URL,PARAMETER,START_IMMERSION,STOP_IMMERSION,OLD_QC, NEW_QC,VERTICAL_SAMPLING_SCHEME

AO,3901276,8,26/10/2017 00:00:00,A,http://www.ifremer.fr/co-argoFloats/station?stationId=54124442 ,PSAL,.96,.96,1,4,Primary sampling

AO,5904770,104,26/10/2017 00:00:00,A,http://www.ifremer.fr/co-argoFloats/station?stationId=54124471 ,PSAL,6.15,1997.6,1,3,n/a

DECEMBER 2017

§ A bug has been found in the message for the pressure, when a QC is changed this is the index and not the real value that is recorded in the message for START and STOP Immersion. The correction will be applied very soon.

§ New information in chapter 13 Automatic tests : it seems that for the near-surface data, the automatic tests are not taken into account as described in the Argo Quality Control Manual for CTD and Trajectory Data (see §2.5 test 21 & test 22). Strange profiles are also observed and it seems that the cutting between profile and trajectory data is not well applied.

January 2018

During few days in January, no information was available in the message regarding the parameters and QC then the message was like :

BO,3901951,11,08/01/2018 00:00:00,A,http://www.ifremer.fr/co-argoFloats/station?stationId=54612977 ,,,,, ,Primary sampling

The problem has been resolved rapidly.

May 2018

A little bit more anomalies due to analysis of blacklist sent by CLS.

July 2018

More anomalies have been listed, due to the 'DM Analysis' checks for the CORA dataset. Consequently old profiles have been detected for corrections and some can be in data mode D. A new approach has also been implemented (Min/Max : method developed by Jérôme Gourrion) and is now running in the Coriolis exploitation for improving the quality control.

March 2019

A new table has been added with a list of floats showing a suspected drift, observed in the month. (feedback from Delphine Dobler/Coriolis)

April 2019

Re-organization of the report

June 2019

Many anomalies were detected following the return of the work done by the CORA team.

Summary

1. Anomalies of Argo profiles – Suspected drift

This table shows a list of floats showing a suspected drift, observed in the month. (feedback from Delphine Dobler/Coriolis).

DAC	WMO	PI	First Station in alert	First cycle in alert	Last Station in alert	Last cycle in alert	Comment All drift mentions are SUSPICION drift value mentions are visual impression Surrounding platforms = close in space (position diff < 2 degrees latitude/longitude) and in time (date diff < 5 years)	SENSOR_MODEL	SERIAL_N°
AOML	1902024	DEAN ROEMMICH	03/01/2019	81	14/03/2019	88	There may be a drift of 0.05 psu but variable area. Hard to confirm in real-time analysis	SBE41CP_V7.2.5	8163
AOML	1902057	GREGORY C. JOHNSON	07/03/2019	84	25/06/2019	95	0.1 PSU from platform's other profiles and from surrounding platforms	SBE41CP	8465
AOML	1902199	GREGORY C. JOHNSON	01/03/2019	17	19/06/2019	28	big jump in salinity	SBE41CP	9841
AOML	1902200	GREGORY C. JOHNSON	27/02/2019	25	08/04/2019	29	only 2 cycles with correct location, total of 4 cycles . The second cycle (#26) is 0.1 PSU away from climatology.	SBE41CP	9909
AOML	3901112	BRECK OWENS, STEVEN JAYNE, P.E. ROBBINS	28/05/2019	157	26/06/2019	160	QC 2 automatically set. Fresh jump of 3 PSU at #157. Wait for next cycles	SBE41CP	6487
AOML	3901156	GREGORY C. JOHNSON	01/12/2018	171	19/06/2019	191	slight drift (approx 0.02 psu) but biased by 0.05 psu with surrounding platforms	SBE41CP	4221
AOML	3901164	DEAN ROEMMICH	26/05/2019	271	26/06/2019	275	#271: salinity jump 0.1 psu saltier. Wait for more cycles	SBE41CP_V3.0c	5290
AOML	3901173	GREGORY C. JOHNSON	27/11/2018	171	26/06/2019	192	#137 dated Feb. 2018 and #138 dated July 2018. Since recovery(#138), sensor data are very noisy	SBE41CP	5510
AOML	3901187	GREGORY C. JOHNSON	10/01/2019	176	19/06/2019	192	This float had stopped emmiting on the 4/02/2018 and has begun to emit once more since the 10/01/2019 in the middle of the pacific	SBE41CP	5507
AOML	3901199	GREGORY C. JOHNSON	22/11/2018	126	11/05/2019	143	There is a correction in adjusted that seem to worsen the salinity. Raw data are inside alert boundaries, adjusted data are out.	SBE41CP	6308
AOML	3901222	BRECK OWENS, STEVEN JAYNE, P.E. ROBBINS	05/03/2019	132	22/06/2019	143	QC2 automatically set. #142 is 0.03 PSU saltier than surrounding platforms	SBE41CP	6509
AOML	3901227	BRECK OWENS, STEVEN JAYNE, P.E. ROBBINS	15/11/2018	120	22/06/2019	142	QC2 automatically set. #139 is 0.07 PSU saltier than surrounding platforms	SBE41CP	6486
AOML	3901259	GREGORY C. JOHNSON	14/02/2019	81	24/06/2019	94	drifting since at least #79	SBE41CP	8462
AOML	3901282	GREGORY C. JOHNSON	27/02/2019	86	27/06/2019	98	jump at cycle 86. Wait for more data	SBE41CP	8531
AOML	3901286	GREGORY C. JOHNSON	27/12/2018	69	25/06/2019	87	biais in sal approx 0.04 psu with surrouding platforms. Drift by 0.02 psu with profiles from the same platform.	SBE41CP	8562
AOML	3901289	GREGORY C. JOHNSON	18/02/2019	80	18/06/2019	92	drifting undoubtfully	SBE41CP	8651
AOML	3900741	GREGORY C. JOHNSON	05/06/2019	337	16/06/2019	338	There is a 0.02 PSU fresh jump for #337, wait for more cycles	SBE41	4286
AOML	3901808	BRECK OWENS, STEVEN JAYNE, P.E. ROBBINS	21/01/2019	127	21/04/2019	145	small drift (0.02 PSU with some jump on cycle 127) to monitor ...	SBE41CP	8459
AOML	3901814	BRECK OWENS, STEVEN JAYNE, P.E. ROBBINS	30/12/2018	111	24/06/2019	146	drift too small to flag (0.02 PSU); we have started to downqualified to 3 since 16/01/2016	SBE41CP	8400
AOML	3901815	BRECK OWENS, STEVEN JAYNE, P.E. ROBBINS	20/05/2019	146	10/06/2019	150	drift 0.03 PSU saltier than surrounding platforms for cycle 146	SBE41CP	8548
AOML	3901816	BRECK OWENS, STEVEN JAYNE, P.E. ROBBINS	13/04/2019	131	22/06/2019	145	drift 0.04 psu suspected	SBE41CP	8539
AOML	3901819	BRECK OWENS, STEVEN JAYNE, P.E. ROBBINS	19/03/2019	128	07/06/2019	144	drifting since #120 (6/2/19) approx 0.05 PSU	SBE41CP	8642
AOML	4900859	GREGORY C. JOHNSON	#N/A	#N/A	#N/A	#N/A		SBE41	3948
AOML	4901661	GREGORY C. JOHNSON	07/05/2019	178	26/06/2019	183	Last good cycle: 81 dated 09/09/2016 then cycles jump durectly to number 170 (16/02/2019) with position 0,0 and this until cycle 176. There is no cycle 177. Position is back to not null value cycle 178 in the south of Japan. The salinity profile does not fit in the MinMax Threshold => is position correct ? Has the sensor been drifting ? The temperature profile fit the thresholds and the surrounding platforms, the salinity profile is parallel to surrounding platforms => I assume conductivity sensor value is erroneaous.	SBE41CP	5927
AOML	4902087	GREGORY C. JOHNSON	17/01/2019	128	27/04/2019	138		SBE41CP	7176
AOML	4902312	GREGORY C. JOHNSON	15/02/2019	102	25/06/2019	115	there is a 0.02 PSU correction in adjusted but drift seem to reach 0.05 PSU at cycle 103. There is no much data in this area. Need to waita few cycle to confirm	SBE41CP	7557
AOML	4902893	GREGORY C. JOHNSON	15/04/2019	89	24/06/2019	96	drifiing since beginning. Reaching 0.05 PSU with surrounding platforms at cycle #89. First cycles are quite fresh.	SBE41CP	8007
AOML	4902895	GREGORY C. JOHNSON	28/02/2019	84	18/06/2019	95	jump of 0.05 PSU since #83	SBE41CP	8012
AOML	4902901	GREGORY C. JOHNSON	19/12/2018	74	27/06/2019	93	undoubtly drifting (0.04 PSU on 19/12/2018); hard from cycle 80 (17.02.19)	SBE41CP	8692
AOML	4902905	GREGORY C. JOHNSON	08/05/2019	86	27/06/2019	91	0.03 PSU saltier than surrounding platforms	SBE41CP	8709
AOML	4902909	BRECK OWENS, STEVEN JAYNE, P.E. ROBBINS	16/12/2018	59	23/06/2019	78	undoubtly drifting (0.1 PSU on 19/12/2018)	SBE41CP	8387
AOML	4902911	BRECK OWENS, STEVEN JAYNE, P.E. ROBBINS	02/12/2018	63	18/06/2019	83	might be drifting/biased (0.06 PSU from bunch) but hard	SBE41CP	8551
AOML	4902915	BRECK OWENS, STEVEN JAYNE, P.E. ROBBINS	21/11/2018	108	23/06/2019	151	seems to be depth-dependant	SBE41CP	8540
AOML	4903171	GREGORY C. JOHNSON	#N/A	#N/A	#N/A	#N/A		SBE41CP	10759
AOML	4903174	GREGORY C. JOHNSON	28/11/2018	5	26/06/2019	26	data are fresher than expected from the mima thresholds and the other close-by in time/space platforms.	SBE41CP	11044
AOML	4903181	GREGORY C. JOHNSON	23/04/2019	18	22/06/2019	24	0.04 psu saltier than surrounding platforms, may be depth dependant. Wait for more cycle to confirm the doubt (may be dirt as well)	SBE41CP	11050
AOML	4903183	GREGORY C. JOHNSON	04/03/2019	13	22/06/2019	24	Cycle 13 is out, 0.07 psu saltier. Back to more nominal values cycle 14. Cycle 14 and 21 are 0.02 PSU saltier than surrounding platforms. Drift suspicion is unsure but there may be something.	SBE41CP	11041
AOML	4903200	GREGORY C. JOHNSON	23/03/2019	1	02/05/2019	5	first cycle at 0.2 PSU of surrounding platforms	SBE41CP	11073
AOML	4903215	BRECK OWENS, STEVEN JAYNE, P.E. ROBBINS	20/03/2019	1	01/06/2019	11	to monitor	SBE41CP	11033
AOML	4903282	GREGORY C. JOHNSON	02/05/2019	1	22/05/2019	3	First cycles are fresh. Cycle 1 is 0.2psu fresher and Cycle 3 is still 0.03 psu fresher than surrounding platforms. Wait for more cycles	SBE41CP	11204
AOML	5901409	GREGORY C. JOHNSON	#N/A	#N/A	#N/A	#N/A	corrected in adjusted	SBE41	3036
AOML	5902232	GREGORY C. JOHNSON	28/11/2018	322	29/05/2019	339	0.07 PSU	SBE41	4215
AOML	5902243	GREGORY C. JOHNSON	28/11/2018	330	19/06/2019	349	bias of approx 0.04 psu suspected compared to surrounding platforms; and width at depth of 0.05 psu for PSAL profiles and theta-S diagram	SBE41	4320
AOML	5902391	DEAN ROEMMICH	10/02/2019	128	11/06/2019	140	PSAL is set by default to QC 2. The salinity profile is very noisy. All DM data are set to QC4. => the same is set in real-time as the behaviour remains the same.	SBE41CP_V3.0c	5833
AOML	5903424	STEPHEN RISER	24/12/2018	259	15/04/2019	270	jump of 0.05 PSU in salinity but not so obvious when compared with surrounding platforms (width at depth of 0.06 PSU)	SBE41	4862
AOML	5904401	STEPHEN RISER	26/11/2018	155	17/06/2019	175	Greylisted with QC2 but 0.05 PSU saltier than surrounding profiles at cycle 172	SBE41	6396
AOML	5904446	STEPHEN RISER	27/11/2018	149	18/06/2019	169	Greylisted with QC2 but some cycles are more than 0.1 PSU out of bounds	SBE41	6331
AOML	5904448	STEPHEN RISER	10/03/2019	156	31/05/2019	164	Greylisted with QC2 but 0.2 PSU saltier than surrounding platforms from #156, #164 goes at 0 PSU	SBE41	6332
AOML	5904485	STEPHEN RISER	#N/A	#N/A	#N/A	#N/A	wrecked data, ar_scoop fil sent on 23/10 with some coherent content but resubmitted on 17/11 with old values: re qualified at 4	SBE41CP	5438
AOML	5904573	GREGORY C. JOHNSON	29/12/2018	140	17/06/2019	157	drifting approx 0.03 PSU	SBE41CP	6276
AOML	5904587	GREGORY C. JOHNSON	18/02/2019	140	19/04/2019	146	drfiting undoubtfully	SBE41CP	6288
AOML	5904703	GREGORY C. JOHNSON	28/11/2018	101	16/06/2019	121		SBE41CP	6296
AOML	5904714	GREGORY C. JOHNSON	27/12/2018	127	26/01/2019	130	biaised by approx 0.03 PSU with other floats' profiles	SBE41CP	7067
AOML	5904737	GREGORY C. JOHNSON	24/11/2018	79	12/06/2019	99	some cycles corrected in adjusted but some remains to treat	SBE41CP	7688
AOML	5904739	GREGORY C. JOHNSON	27/12/2018	82	25/06/2019	100	corrected in adjusted, but drift may have increased, with a noticable jump cycle 83.	SBE41CP	7689
AOML	5904781	STEPHEN RISER	07/04/2019	95	07/04/2019	95	jump of 0.02 psu saltier on cycle 94 (2019/03/28) 0.05 psu saltier with surrounding platforms (but few available)	SBE41CP	7829
AOML	5904823	STEPHEN RISER	19/01/2019	81	17/06/2019	96	suspecting drift by 0.04 PSU	SBE41CP	7932
AOML	5904826	STEPHEN RISER	25/05/2019	94	14/06/2019	96	#94 is 0.05 psu saltier than surrounding platforms. This is a jump in salinity. Wait for more cycles to set the suspicion	SBE41CP	7798
AOML	5904831	STEPHEN RISER	22/06/2019	96	22/06/2019	96	depth dependant drift ? #96 is 0.02PSU saltier than surrounding platforms and 0.05PSU saltier than first cycles	SBE41CP	7810
AOML	5904861	GREGORY C. JOHNSON	26/11/2018	88	05/04/2019	101	adjusted seem too hard of 0.02PSU + some jump: would need a delayed mode reanalysis	SBE41CP	7719
AOML	5904948	GREGORY C. JOHNSON	24/11/2018	68	22/06/2019	89	was drifting until cycle 67where hard drift occurs	SBE41CP	8641
AOML	5905068	STEPHEN RISER	30/11/2018	71	18/06/2019	91		SBE41CP	7790
AOML	5905108	STEPHEN RISER, KENNETH JOHNSON	01/12/2018	50	18/06/2019	70	Hard drift	SBE41CP	7947
AOML	5905353	STEPHEN RISER	04/12/2018	41	12/06/2019	60	drifting, #58 is 0.04 psu saltier. DM until #57	SBE41CP	6427
AOML	5905126	STEPHEN RISER	05/12/2018	45	23/06/2019	65	QC2 automatically set. #62 is 0.05 PSU saltier than surrounding platforms	SBE41CP	6412
AOML	5905671	GREGORY C. JOHNSON	23/11/2018	11	23/12/2018	14	wrecked	SBE41CP	10053
AOML	5905730	GREGORY C. JOHNSON	15/04/2019	33	24/06/2019	40	drifitng. #33 0.05 PSU saltier than previous profiles of this platform but surrounding platforms show such salinity values. Hard to conclude.	SBE41CP	9857
AOML	5905732	GREGORY C. JOHNSON	21/04/2019	36	20/06/2019	42	jump in salinity: 0.05 PSU saltier cycle 36. Only 0.01 PSU saltier than surrounding platforms	SBE41CP_V7.2.5	9964
AOML	5905736	GREGORY C. JOHNSON	23/04/2019	36	13/05/2019	38	0.04 PSU saltier than surrounding platforms at cycle 36.	SBE41CP	10067
AOML	5905744	GREGORY C. JOHNSON	01/04/2109	28	20/06/2019	36	jump in salinity: 0.07 PSU saltier at cycle #29 than surrounding platforms	SBE41CP	10560
AOML	5906023	STEPHEN RISER	27/03/2019	1	27/03/2019	1	first cycle at 0.05 PSU of surrounding platforms	SBE41CP	10204
AOML	5906096	GREGORY C. JOHNSON	10/06/2019	4	20/06/2019	5		SBE41CP	11157
AOML	5906098	GREGORY C. JOHNSON	11/06/2019	2	21/06/2019	3		SBE41CP	11099
AOML	5906100	GREGORY C. JOHNSON	13/05/2019	1	02/06/2019	3	fresher by several tenth of PSU	SBE41CP	11148
BODC	1901250	Jon Turton	#N/A	#N/A	#N/A	#N/A	RANA: jump of 0.04 PSU saltier at cycle 172 (09/12/2014) but the status is globally unsure in this variable area. It would deserve a proper DMQC on the entire platform lifetime (DM done until cycle 48) cycles 49 to 58 are missing ...	SBE41	4585
BODC	1901280	Jon Turton	07/11/2018	254	15/02/2019	264	might be 0.05 PSU though unsure; few hist data: keep in observation	SBE41	4874
BODC	1901305	Jon Turton	14/11/2018	207	23/05/2019	226	Jump of 0.05 psu saltier since #68 (24/01/2015) (seen also in RANA)	SBE41	5887
BODC	1901868	Jon Turton	21/08/2018	53	#N/A	#N/A	RANA: #57 is 0.1PSU saltier than surrounding platforms	SBE41_V3	6660
BODC	3901511	Jon Turton	#N/A	#N/A	#N/A	#N/A	RANA: alerts begins #41 but it is difficult to assess visually when the drift began as this float travels a long distance in the ACC where there is naturrally a large variability at depth. Last cycle (#136) is 0.05 PSU saltier than surrounding platforms #55 is also 0.05 psu saltier. It definitely deserves a DMQC process.	SBE41_V3	6546
BODC	3901548	Jon Turton	24/11/2018	5	22/06/2019	26	sudden offset; not GL; back in good psal domain on cycle 8 (24/12/2018); drifting more and more cycle 14 reached 0.7 PSU. Temperature of cycle 14 is also strange (0.5 °C warmer than classical values at 1800 dbar) Both Temp and Salinity out at cycle 21	SBE41	7001

BODC	3901883	Andreas Sterl	09/02/2019	75	19/06/2019	88	drift approx 0.1 PSU	SBE41CP_V7.2.5	8233
BODC	3901884	Andreas Sterl	17/03/2019	71	25/06/2019	81	cycle 71 way out of thresholds (but //)	SBE41CP_V7.2.5	8234
BODC	3901889	Andreas Sterl	28/01/2019	67	17/06/2019	81	hard drift from cycle 67	SBE41CP	8239
BODC	3901896	Josep Lluis Pelegri	05/06/2019	78	25/06/2019	80	Cycle 78 (05/06/2019) is 0.1 PSU saltier. Wait for other cycles.	SBE41CP_V7.2.5	8265
BODC	3901904	Pierre-Marie Poulain	27/11/2018	68	25/06/2019	89	hard drift from cycle 76 (15.02.19)	SBE41CP	8273
BODC	3901912	Romain Cancouet	03/03/2019	111	21/06/2019	122	sudden salinity jump by 0.15 PSU #114	SBE41CP_V7.2.5	8286
BODC	3901954	Andy Rees	23/02/2019	51	23/06/2019	63	Sudden jump of 0.1 psu	SBE41CP	8609
BODC	3901957	Dimitris Kassis	#N/A	#N/A	#N/A	#N/A	RANA: slightly drifiting: last cycle (#79) is 0.04 PSU saltier than the first cycles and than surrounding platforms. It may have begun #69.	SBE41CP_V7.2.5	8615
BODC	3901979	Femke de Jong	13/04/2019	144	16/05/2019	155	Sudden jump of 0.02 PSU saltier. Issue might begin at #142	SBE41CP_V7.2.5	8747
BODC	6901174	Giorgio Dall'Olmo	04/11/2018	309	12/06/2019	331	RANA Drift seems to begin #263 (16/03/2018) to reach 0.3 psu saltier # 301 (22/09/2018). Than hard jump to fresher values occured at #302 (27/09/2018) and remains.	SBE41CP	5670
CORIOLIS	3901893	Jose Lluis PELEGRI	14/06/2019	97	24/06/2019	98	#97 is 0.05 psu saltier than surrounding platforms (DM until cycle 79 - 2018/12/16)	SBE41CP_V7.2.5	8261
CORIOLIS	3901896	Jose Lluis PELEGRI	15/06/2019	79	25/06/2019	80	big salinity jump 0.25 psu saltier cycles 78 and 79 (DM until cycle 50 - 2018/08/29)	SBE41CP_V7.2.5	8265
CORIOLIS	3901904	Pierre-Marie Poulain	27/11/2018	68	25/06/2019	89	big jump 0.3 psu saltier cycles 87 and 88 but in alert since #68 (DM until cycle 66 - 2019/11/07)	SBE41CP_V7.2.5	8273
CORIOLIS	3901919	Sabrina Speich	03/04/2019	86	13/04/2019	87	#86 0.1 PSU saltier than surrounding platforms	SBE41CP	8303
CORIOLIS	6903240	Pierre-Marie POULAIN	16/11/2018	58	14/06/2019	100	There is something weird with one of the two set of vertical sampling scheme labelled Primary sampling. They look different. This might be a pressure definition problem? In the meanwhile, the ones different from surrounding profiles have been set to 3.	SBE41CP_V7.2.5	9705
CSIO	2902600	ZENGHONG LIU	06/01/2019	158	06/04/2019	167	strange, out of other platforms'profiles by approx 0.05 PSU but it's not parallel to other profiles of the same float ...	SBE41CP	5022
CSIO	2902609	ZENGHONG LIU	16/03/2019	164	15/04/2019	167	jump cycle 154 (06/12/2018) of 0.05 PSU with the rest of the platform and 0.04 saltier than the surrounding platforms' profiles	SBE41CP	5609
CSIO	2902658	JIANPING XU	#N/A	#N/A	#N/A	#N/A		SBE41	6613
CSIO	2902702	GUOPING GAO	29/11/2018	371	08/12/2018	379		SBE41CP	8121
CSIO	2902705	JIANPING XU	20/05/2019	85	25/05/2019	86	Salinity is greylisted but temperature is now also out of bounds for #85 and #86	SBE41CP	7627
CSIRO	5905186	Susan Wijffels	23/06/2019	95	23/06/2019	95	drift suspicion though variable area. Might reach 0.04PSU saltier than surrounding platforms	SBE41CP_V7.2.5	8244
CSIRO	5905421	Peter Oke	17/05/2019	22	17/05/2019	22	jump of 0.05 PSU fresher for cycle 22. Wait for more data	SBE41CP_V7.2.5	10419
INCOIS	2902175	M Ravichandran	29/11/2018	296	17/06/2019	316	was drifting then wrecked	SBE41CP	5686
INCOIS	2902203	M Ravichandran	12/04/2019	114	01/06/2019	119	drifting since #45 (some cycles are QC1, other QC4, that's the reason why alerts have not been raised before)	SBE41	7641
INCOIS	2902206	M Ravichandran	27/01/2019	106	16/06/2019	120	not homogenous bias, correction in adjusted data ... wrecked #110	SBE41	7640
INCOIS	2902209	M Ravichandran	10/03/2019	92	26/06/2019	103	jump for this cycle by 0.1 PSU	SBE41CP	8353
INCOIS	2902232	M Ravichandran	04/01/2019	206	18/06/2019	239	undoubtly drifting but drift corrected in adjusted param; PSAL drfit is increasing (#239) => set to QC4 in RT.	SBE41CP	9523
INCOIS	2902239	M Ravichandran	16/11/2018	79	24/06/2019	123		SBE41CP	9297
INCOIS	2902257	M Ravichandran	01/04/2019	149	20/06/2019	157	salinity jump begins #146 and wreckage #150	SBE41CP	9751
JMA	2903188	JMA	11/12/2018	129	25/04/2019	156	slight drift (<0.05 psu) decreasing on 22/11/2018 drift equal to 0.05 psu (12/12/2018)	SBE41CP_V2	8657
JMA	2903212	JMA	01/12/2018	35	14/06/2019	48	This platform was submitted/re-submitted (?) from 22/11/2018 for all profiles (from cycle 1 01/12/2017). It seems highly biased (by approx 0.4 psu). MIMA was not applied on too-old stations. Yuka Okunaka anwered they are looking with the constructor: les flags sont positionnés en accord avec les "recom de l'ADMT", ils ont l'air de laisser à 1. C'est quoi cette recom de l'ADMT ? traitement Temps différé ?	SBE61	5631
JMA	2903222	JMA	03/02/2019	25	24/05/2019	47	approx 0.1 psu with surrounding platforms. Strange sensor behaviour that has become very noisy.	SBE41CP_V2	9765
KMA	2901744		17/01/2019	191	20/06/2019	213	sudden jump, 0.15 PSU with surrounding platforms	#N/A	#N/A
KMA	2901758	Jaeyoung Byon	27/11/2018	76	25/06/2019	96	Hard	SBE41CP	
KMA	2901759	Jaeyoung Byon	27/11/2018	85	25/06/2019	106	Hard	SBE41CP	
KMA	2901760	Jaeyoung Byon	06/02/2019	92	26/06/2019	106	deep width of 0.08PSU; approx 0.05 psu with surrounding platforms	SBE41CP	
KMA	2901765	Jaeyoung Byon	29/11/2018	85	28/05/2019	103	slight drift	SBE41CP	
KMA	2901786		23/05/2019	192	26/06/2019	226	Last profiles (192 -> 195) are fresh and almost constant over 60 first meters. Bur these profiles don't go deep. Wait for deep profiles to confirm/infirm drift/issue	SBE41CP	10833
MEDS	4901823	Blair Greenan	30/11/2018	90	19/05/2019	107	drifting by approx 0.05 psu	SBE41CP	8034

2. Statistics on floats and format version (End of June 2019)

Plots showing format_version percentage, number of floats (*with profiles*), number of D and R files by DACs.

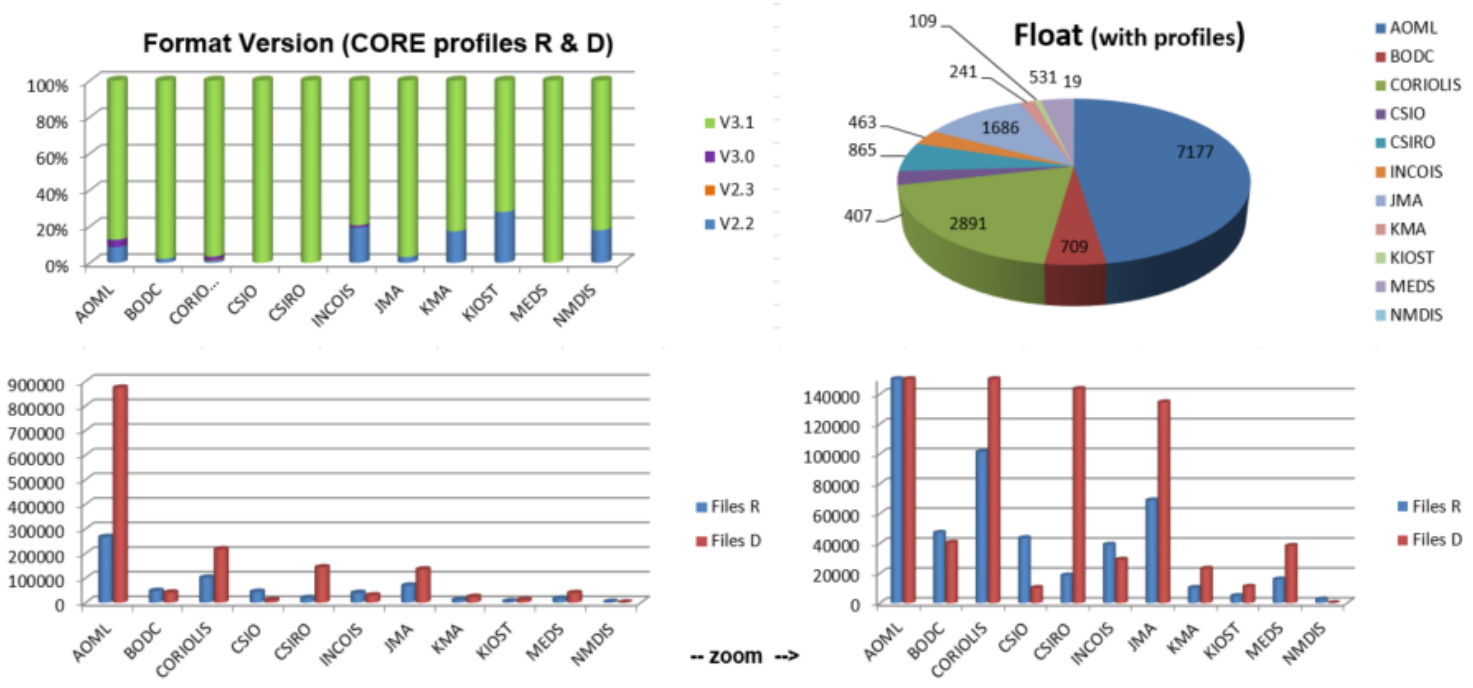

Plots showing format_version percentage, for metadata-technical-trajectory and core profiles following dead or active floats.

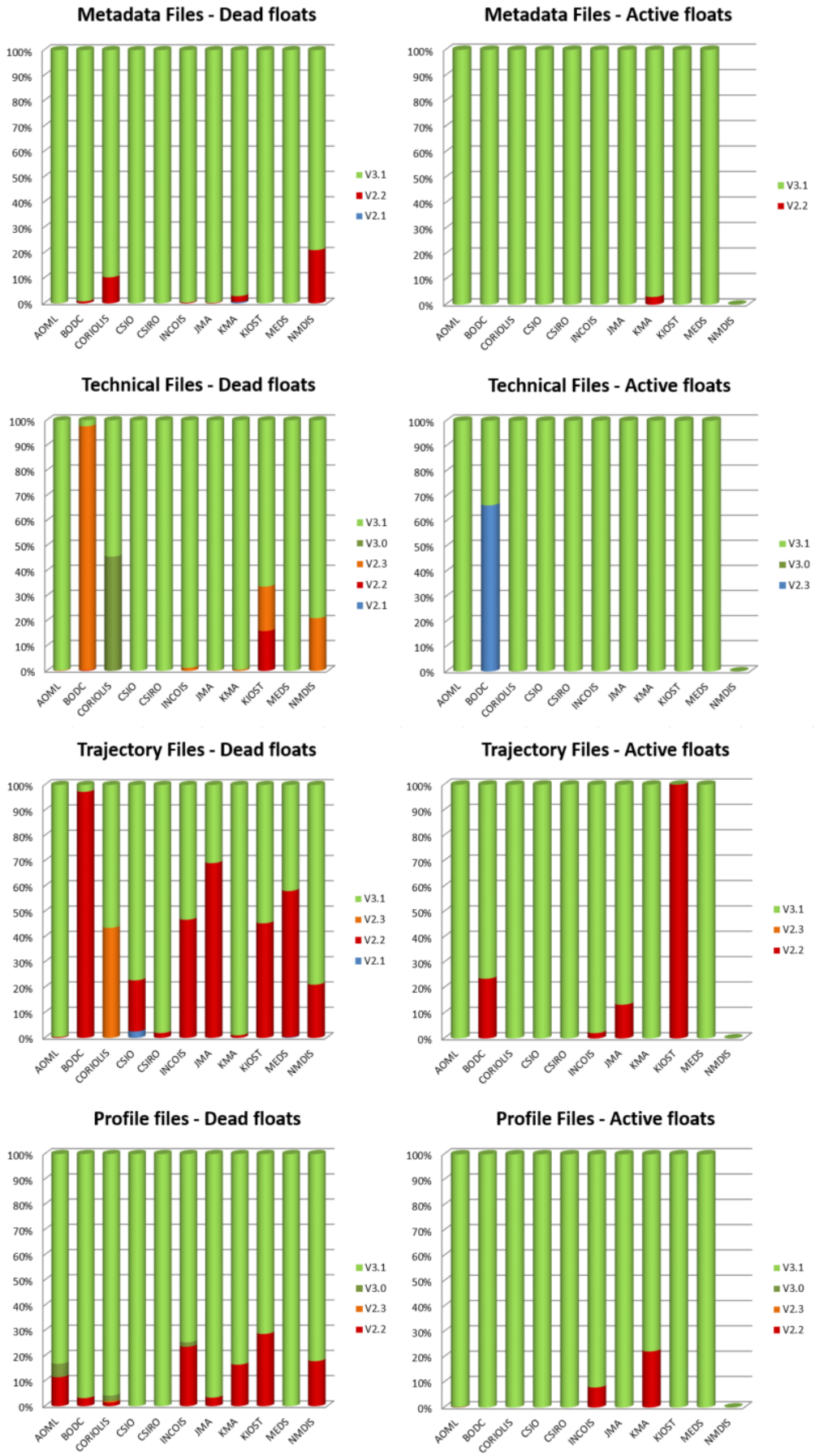

Delayed mode percentage by DAC

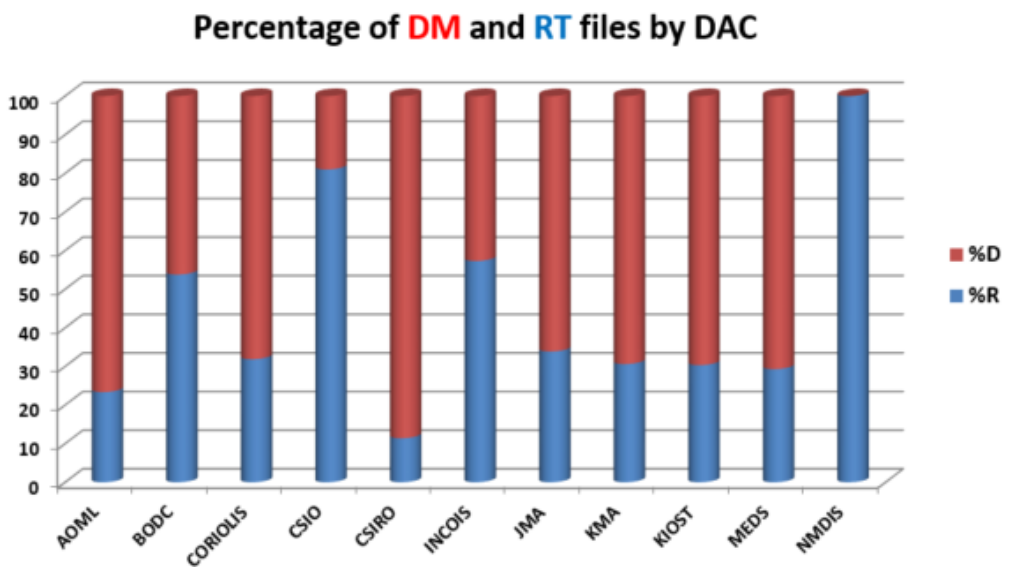

3. Statistics on Anomalies

Plots showing evolution of number of anomalies by DAC.

3.1. Year

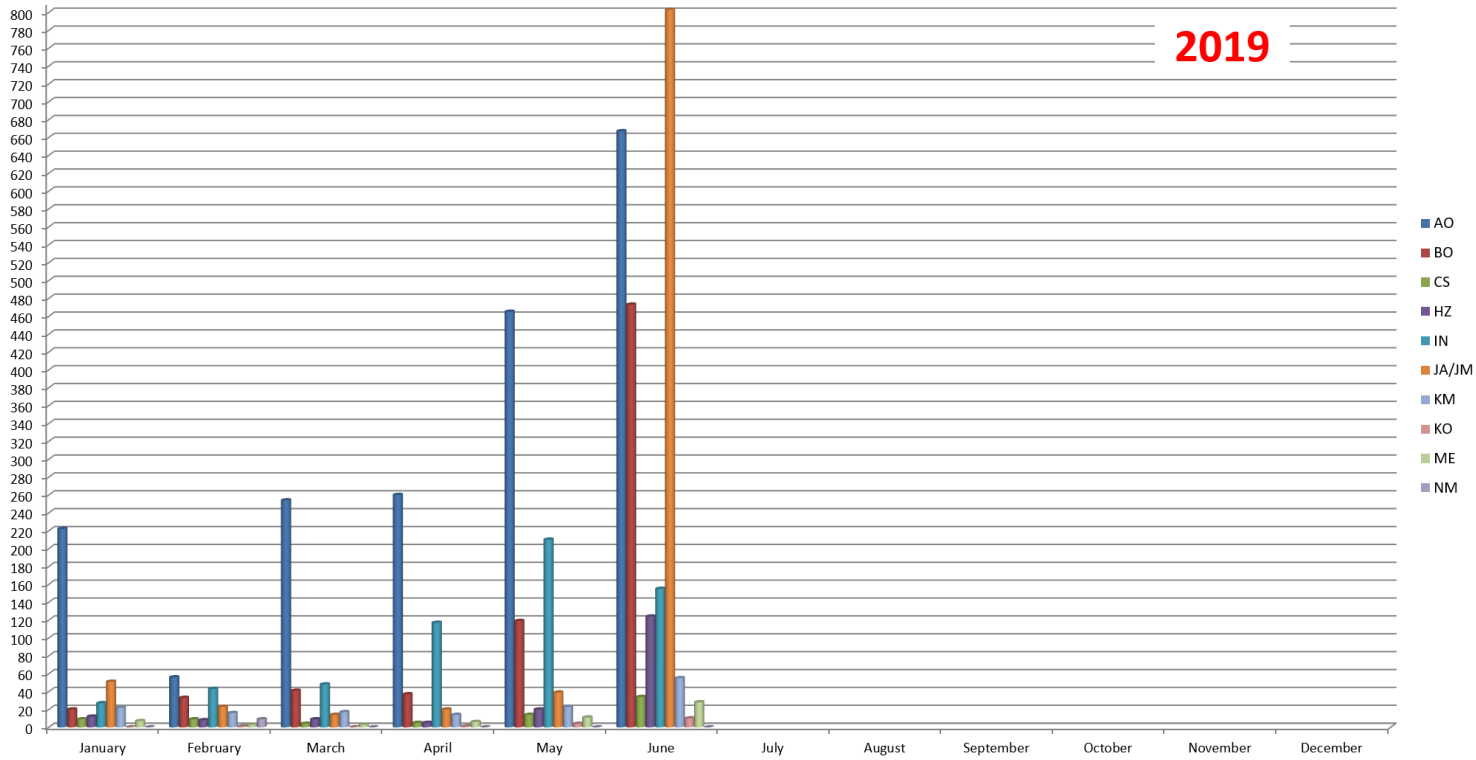

3.2. DAC

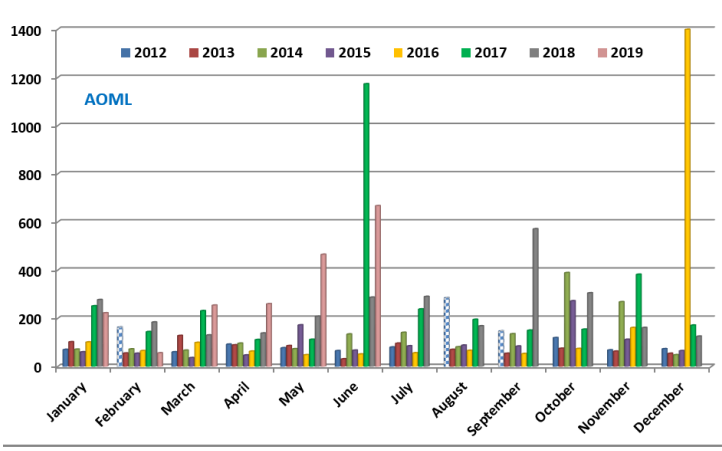
AOML
2012 2013 2014 2015 2016 2017 2018 2019
1400 1200 1000 800 600 400 200 0
January February March April May June July August September October November December

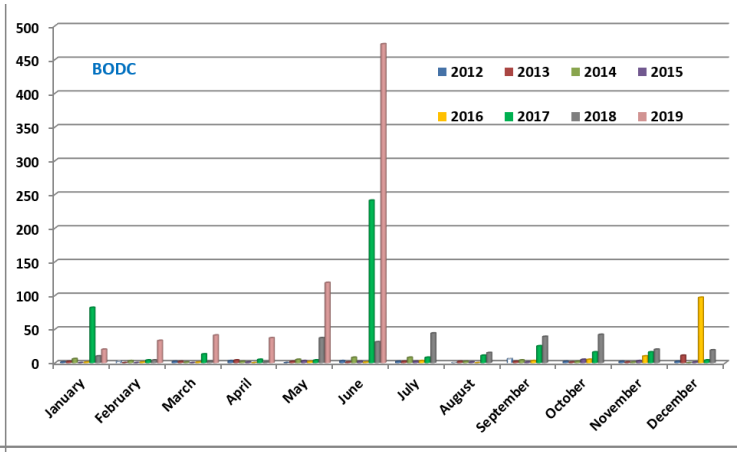
BODC
2012 2013 2014 2015 2016 2017 2018 2019
500 450 400 350 300 250 200 150 100 50 0
January February March April May June July August September October November December

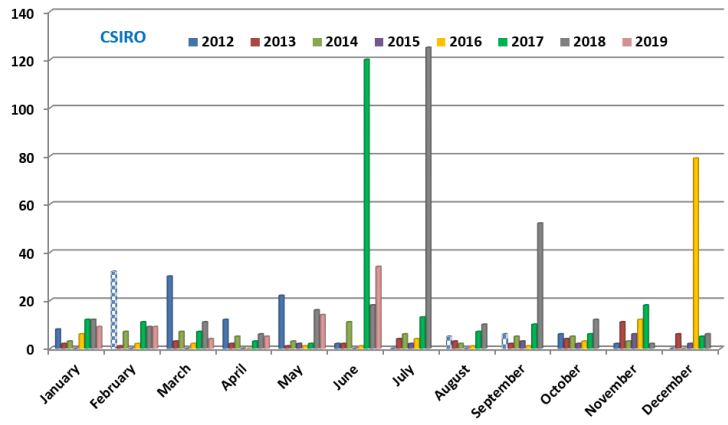
CSIRO
2012 2013 2014 2015 2016 2017 2018 2019
140 120 100 80 60 40 20 0
January February March April May June July August September October November December

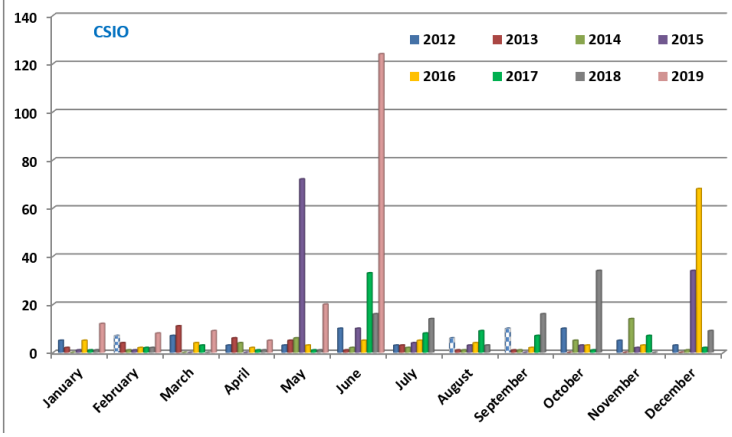
CSIO
2012 2013 2014 2015 2016 2017 2018 2019
140 120 100 80 60 40 20 0
January February March April May June July August September October November December

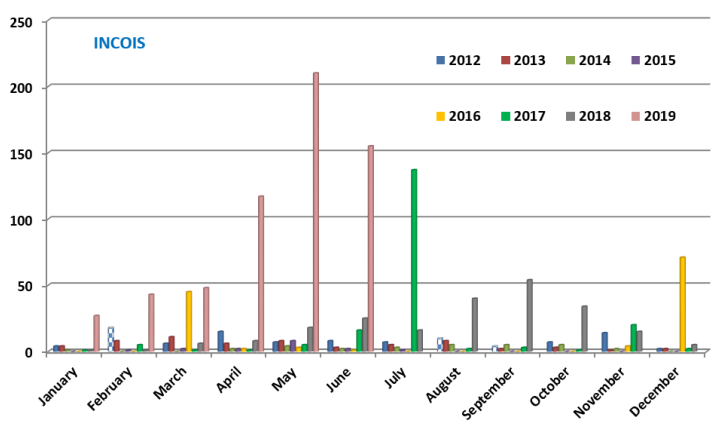
INCOIS
2012 2013 2014 2015 2016 2017 2018 2019
250 200 150 100 50 0
January February March April May June July August September October November December

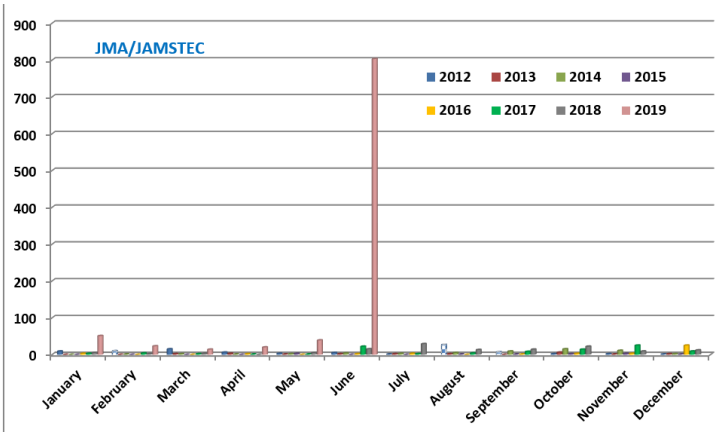
JMA/JAMSTEC
2012 2013 2014 2015 2016 2017 2018 2019
900 800 700 600 500 400 300 200 100 0
January February March April May June July August September October November December

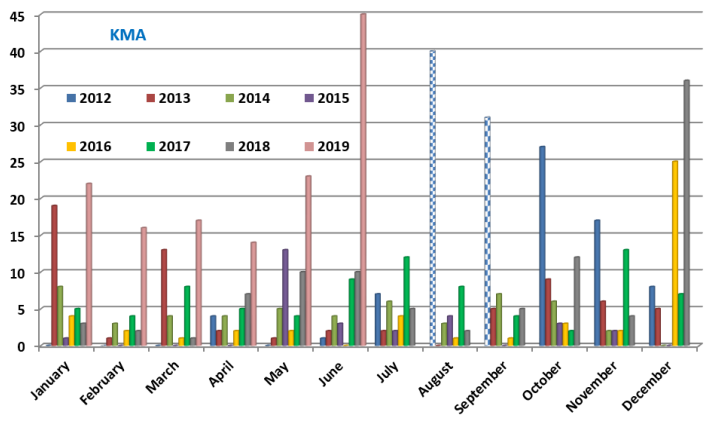
KMA
2012 2013 2014 2015 2016 2017 2018 2019
45 40 35 30 25 20 15 10 5 0
January February March April May June July August September October November December

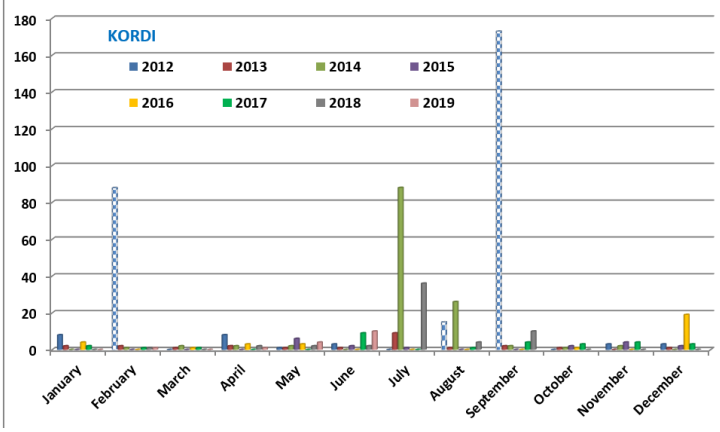
KORDI
2012 2013 2014 2015 2016 2017 2018 2019
180 160 140 120 100 80 60 40 20 0
January February March April May June July August September October November December

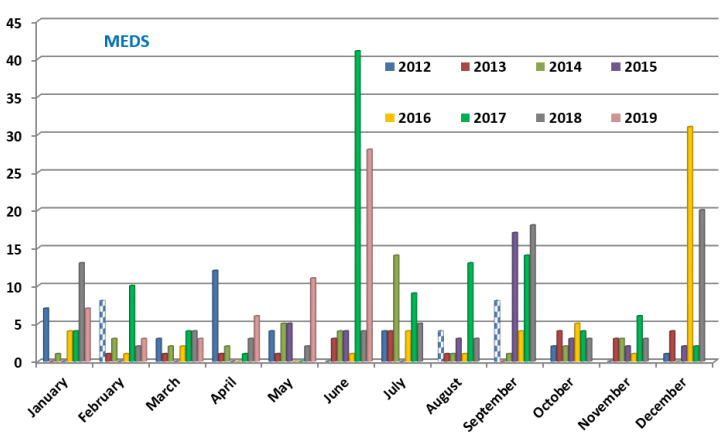

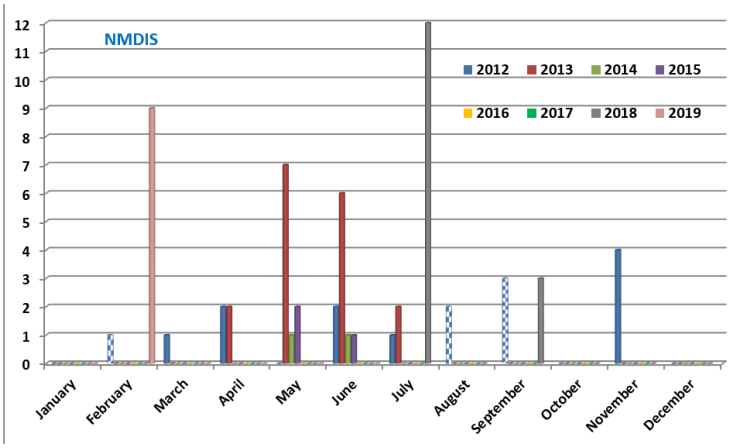

3.3. Anomalies by year, by month

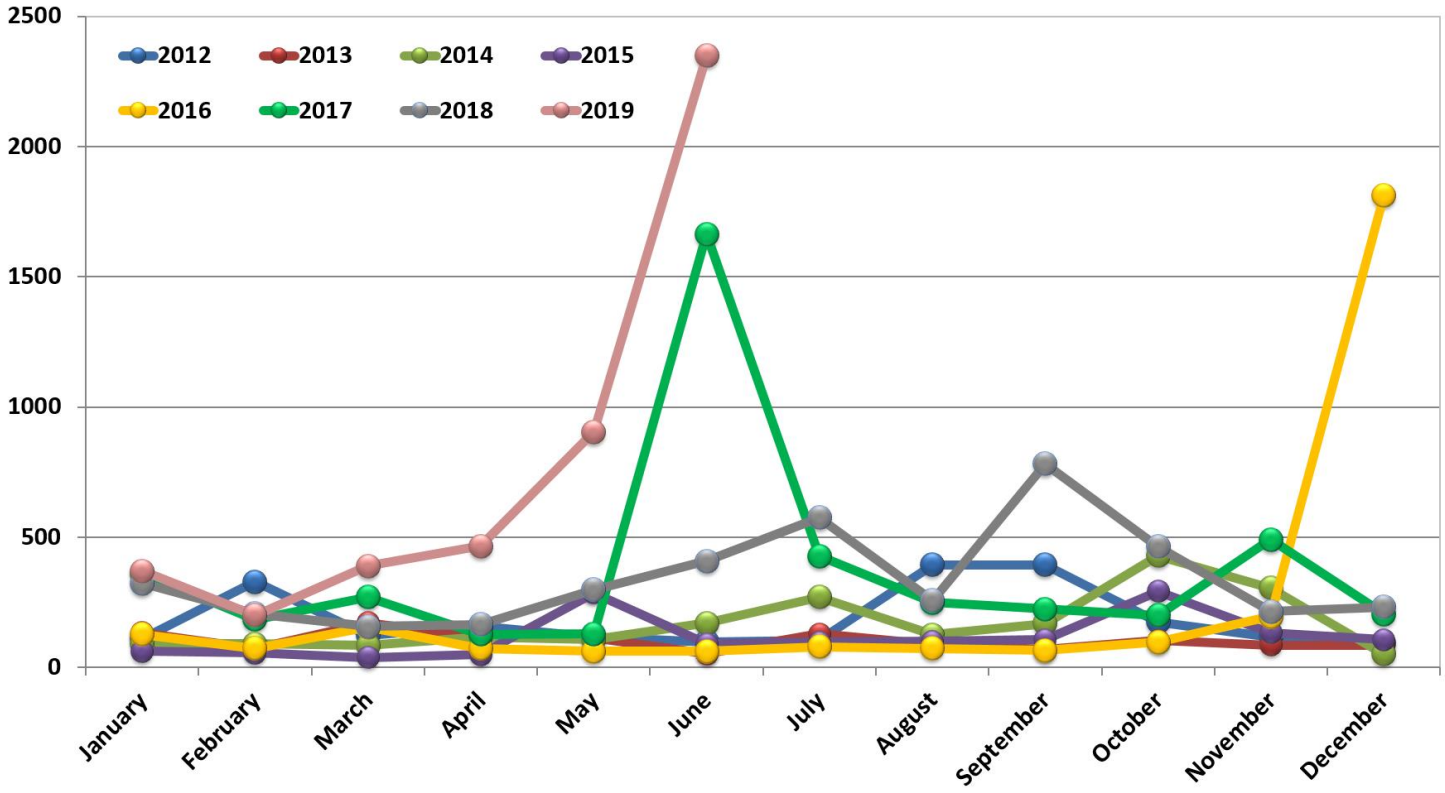

4. DAC Anomalies

4.1. DAC AOML

Profiles detected by the objective analysis: 650 profiles (178 floats, but floats can have several cycles with anomalies)

Data_mode ='R'	Data_mode ='A'	Data_mode ='D'
177 cycles	424 cycles	49 cycles

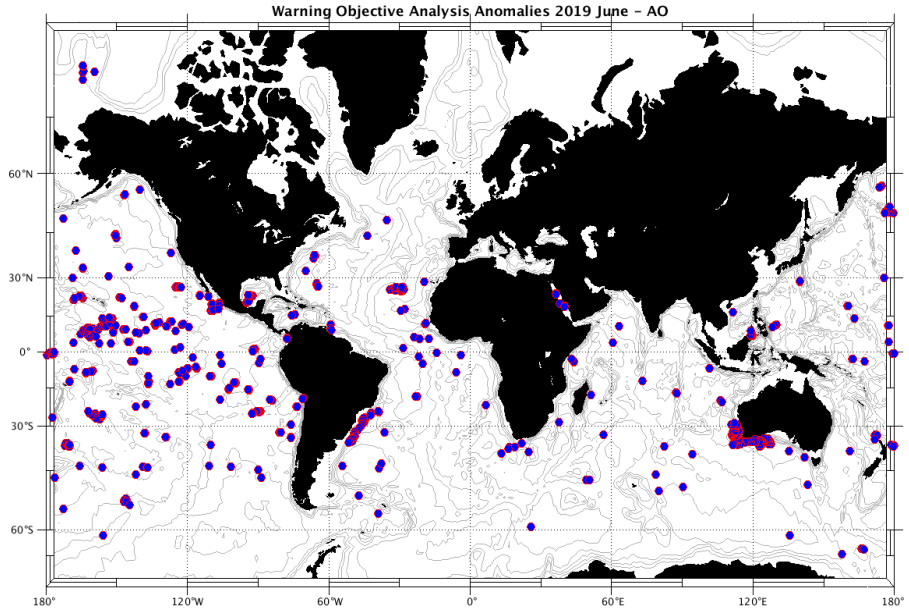

Status of corrections: **Done for few profiles – still bad QC no corrected**

Take care that some floats are shown with data mode D but the corrections can have been applied on R files before submission of the delayed mode. (see the csv messages on the ftp site for more information)

Float : 1900244 - Cycle : 13 - PI : BRECK OWENS - Data mode : R - Platform type : SOLO_W - WMO inst type : 852 - FLOAT SERIAL : SL173 - Date : 2003 11 26
Float : 1900244 - Cycle : 14 - PI : BRECK OWENS - Data mode : R - Platform type : SOLO_W - WMO inst type : 852 - FLOAT SERIAL : SL173 - Date : 2003 12 6
Float : 1900244 - Cycle : 15 - PI : BRECK OWENS - Data mode : R - Platform type : SOLO_W - WMO inst type : 852 - FLOAT SERIAL : SL173 - Date : 2003 12 16
Float : 1900244 - Cycle : 16 - PI : BRECK OWENS - Data mode : R - Platform type : SOLO_W - WMO inst type : 852 - FLOAT SERIAL : SL173 - Date : 2003 12 26
Float : 1900244 - Cycle : 17 - PI : BRECK OWENS - Data mode : R - Platform type : SOLO_W - WMO inst type : 852 - FLOAT SERIAL : SL173 - Date : 2004 1 5
Float : 1900244 - Cycle : 20 - PI : BRECK OWENS - Data mode : R - Platform type : SOLO_W - WMO inst type : 852 - FLOAT SERIAL : SL173 - Date : 2004 2 4
Float : 1900244 - Cycle : 22 - PI : BRECK OWENS - Data mode : R - Platform type : SOLO_W - WMO inst type : 852 - FLOAT SERIAL : SL173 - Date : 2004 2 24
Float : 1900244 - Cycle : 23 - PI : BRECK OWENS - Data mode : R - Platform type : SOLO_W - WMO inst type : 852 - FLOAT SERIAL : SL173 - Date : 2004 3 5
Float : 1900244 - Cycle : 24 - PI : BRECK OWENS - Data mode : R - Platform type : SOLO_W - WMO inst type : 852 - FLOAT SERIAL : SL173 - Date : 2004 3 15
Float : 1900244 - Cycle : 25 - PI : BRECK OWENS - Data mode : R - Platform type : SOLO_W - WMO inst type : 852 - FLOAT SERIAL : SL173 - Date : 2004 3 25
Float : 1900244 - Cycle : 26 - PI : BRECK OWENS - Data mode : R - Platform type : SOLO_W - WMO inst type : 852 - FLOAT SERIAL : SL173 - Date : 2004 4 4
Float : 1900244 - Cycle : 27 - PI : BRECK OWENS - Data mode : R - Platform type : SOLO_W - WMO inst type : 852 - FLOAT SERIAL : SL173 - Date : 2004 4 14
Float : 1900244 - Cycle : 28 - PI : BRECK OWENS - Data mode : R - Platform type : SOLO_W - WMO inst type : 852 - FLOAT SERIAL : SL173 - Date : 2004 4 24
Float : 1900244 - Cycle : 29 - PI : BRECK OWENS - Data mode : R - Platform type : SOLO_W - WMO inst type : 852 - FLOAT SERIAL : SL173 - Date : 2004 5 4
Float : 1900244 - Cycle : 30 - PI : BRECK OWENS - Data mode : R - Platform type : SOLO_W - WMO inst type : 852 - FLOAT SERIAL : SL173 - Date : 2004 5 14
Float : 1900244 - Cycle : 31 - PI : BRECK OWENS - Data mode : R - Platform type : SOLO_W - WMO inst type : 852 - FLOAT SERIAL : SL173 - Date : 2004 5 24
Float : 1900244 - Cycle : 32 - PI : BRECK OWENS - Data mode : R - Platform type : SOLO_W - WMO inst type : 852 - FLOAT SERIAL : SL173 - Date : 2004 6 3
Float : 1900244 - Cycle : 33 - PI : BRECK OWENS - Data mode : R - Platform type : SOLO_W - WMO inst type : 852 - FLOAT SERIAL : SL173 - Date : 2004 6 13
Float : 1900244 - Cycle : 34 - PI : BRECK OWENS - Data mode : R - Platform type : SOLO_W - WMO inst type : 852 - FLOAT SERIAL : SL173 - Date : 2004 6 23
Float : 1900244 - Cycle : 35 - PI : BRECK OWENS - Data mode : R - Platform type : SOLO_W - WMO inst type : 852 - FLOAT SERIAL : SL173 - Date : 2004 7 3
Float : 1900244 - Cycle : 36 - PI : BRECK OWENS - Data mode : R - Platform type : SOLO_W - WMO inst type : 852 - FLOAT SERIAL : SL173 - Date : 2004 7 13
Float : 1900244 - Cycle : 38 - PI : BRECK OWENS - Data mode : R - Platform type : SOLO_W - WMO inst type : 852 - FLOAT SERIAL : SL173 - Date : 2004 8 2
Float : 1900244 - Cycle : 39 - PI : BRECK OWENS - Data mode : R - Platform type : SOLO_W - WMO inst type : 852 - FLOAT SERIAL : SL173 - Date : 2004 8 12
Float : 1900244 - Cycle : 40 - PI : BRECK OWENS - Data mode : R - Platform type : SOLO_W - WMO inst type : 852 - FLOAT SERIAL : SL173 - Date : 2004 8 22
Float : 1900244 - Cycle : 41 - PI : BRECK OWENS - Data mode : R - Platform type : SOLO_W - WMO inst type : 852 - FLOAT SERIAL : SL173 - Date : 2004 9 1
Float : 1900244 - Cycle : 42 - PI : BRECK OWENS - Data mode : R - Platform type : SOLO_W - WMO inst type : 852 - FLOAT SERIAL : SL173 - Date : 2004 9 11
Float : 1900244 - Cycle : 43 - PI : BRECK OWENS - Data mode : R - Platform type : SOLO_W - WMO inst type : 852 - FLOAT SERIAL : SL173 - Date : 2004 9 21
Float : 1900244 - Cycle : 44 - PI : BRECK OWENS - Data mode : R - Platform type : SOLO_W - WMO inst type : 852 - FLOAT SERIAL : SL173 - Date : 2004 10 1
Float : 1900244 - Cycle : 45 - PI : BRECK OWENS - Data mode : R - Platform type : SOLO_W - WMO inst type : 852 - FLOAT SERIAL : SL173 - Date : 2004 10 11
Float : 1900244 - Cycle : 46 - PI : BRECK OWENS - Data mode : R - Platform type : SOLO_W - WMO inst type : 852 - FLOAT SERIAL : SL173 - Date : 2004 10 21
Float : 1900244 - Cycle : 47 - PI : BRECK OWENS - Data mode : R - Platform type : SOLO_W - WMO inst type : 852 - FLOAT SERIAL : SL173 - Date : 2004 10 31
Float : 1900244 - Cycle : 48 - PI : BRECK OWENS - Data mode : R - Platform type : SOLO_W - WMO inst type : 852 - FLOAT SERIAL : SL173 - Date : 2004 11 10

Float : 1900244 - Cycle : 49 - PI : BRECK OWENS - Data mode : R - Platform type : SOLO_W - WMO inst type : 852 - FLOAT SERIAL : SL173 - Date : 2004 11 20
Float : 1900244 - Cycle : 50 - PI : BRECK OWENS - Data mode : R - Platform type : SOLO_W - WMO inst type : 852 - FLOAT SERIAL : SL173 - Date : 2004 11 30
Float : 1900244 - Cycle : 51 - PI : BRECK OWENS - Data mode : R - Platform type : SOLO_W - WMO inst type : 852 - FLOAT SERIAL : SL173 - Date : 2004 12 10
Float : 1900244 - Cycle : 53 - PI : BRECK OWENS - Data mode : R - Platform type : SOLO_W - WMO inst type : 852 - FLOAT SERIAL : SL173 - Date : 2004 12 30
Float : 1900244 - Cycle : 54 - PI : BRECK OWENS - Data mode : R - Platform type : SOLO_W - WMO inst type : 852 - FLOAT SERIAL : SL173 - Date : 2005 1 9
Float : 1900244 - Cycle : 55 - PI : BRECK OWENS - Data mode : R - Platform type : SOLO_W - WMO inst type : 852 - FLOAT SERIAL : SL173 - Date : 2005 1 19
Float : 1900244 - Cycle : 56 - PI : BRECK OWENS - Data mode : R - Platform type : SOLO_W - WMO inst type : 852 - FLOAT SERIAL : SL173 - Date : 2005 1 29
Float : 1900244 - Cycle : 57 - PI : BRECK OWENS - Data mode : R - Platform type : SOLO_W - WMO inst type : 852 - FLOAT SERIAL : SL173 - Date : 2005 2 8
Float : 1900244 - Cycle : 58 - PI : BRECK OWENS - Data mode : R - Platform type : SOLO_W - WMO inst type : 852 - FLOAT SERIAL : SL173 - Date : 2005 2 18
Float : 1900244 - Cycle : 59 - PI : BRECK OWENS - Data mode : R - Platform type : SOLO_W - WMO inst type : 852 - FLOAT SERIAL : SL173 - Date : 2005 2 28
Float : 1900244 - Cycle : 60 - PI : BRECK OWENS - Data mode : R - Platform type : SOLO_W - WMO inst type : 852 - FLOAT SERIAL : SL173 - Date : 2005 3 10
Float : 1900244 - Cycle : 61 - PI : BRECK OWENS - Data mode : R - Platform type : SOLO_W - WMO inst type : 852 - FLOAT SERIAL : SL173 - Date : 2005 3 20
Float : 1900244 - Cycle : 62 - PI : BRECK OWENS - Data mode : R - Platform type : SOLO_W - WMO inst type : 852 - FLOAT SERIAL : SL173 - Date : 2005 3 30
Float : 1900244 - Cycle : 63 - PI : BRECK OWENS - Data mode : R - Platform type : SOLO_W - WMO inst type : 852 - FLOAT SERIAL : SL173 - Date : 2005 4 9
Float : 1900244 - Cycle : 64 - PI : BRECK OWENS - Data mode : R - Platform type : SOLO_W - WMO inst type : 852 - FLOAT SERIAL : SL173 - Date : 2005 4 19
Float : 1900244 - Cycle : 65 - PI : BRECK OWENS - Data mode : R - Platform type : SOLO_W - WMO inst type : 852 - FLOAT SERIAL : SL173 - Date : 2005 4 29
Float : 1900959 - Cycle : 330 - PI : CARL SZCZECHOWSKI - Data mode : A - Platform type : APEX - WMO inst type : 846 - FLOAT SERIAL : 7219 - Date : 2018 7 17
Float : 1900959 - Cycle : 331 - PI : CARL SZCZECHOWSKI - Data mode : A - Platform type : APEX - WMO inst type : 846 - FLOAT SERIAL : 7219 - Date : 2018 7 20
Float : 1900959 - Cycle : 332 - PI : CARL SZCZECHOWSKI - Data mode : A - Platform type : APEX - WMO inst type : 846 - FLOAT SERIAL : 7219 - Date : 2018 7 24
Float : 1901521 - Cycle : 281 - PI : CARL SZCZECHOWSKI - Data mode : A - Platform type : APEX - WMO inst type : 846 - FLOAT SERIAL : 7222 - Date : 2018 8 7
Float : 1901521 - Cycle : 282 - PI : CARL SZCZECHOWSKI - Data mode : A - Platform type : APEX - WMO inst type : 846 - FLOAT SERIAL : 7222 - Date : 2018 8 11
Float : 1901521 - Cycle : 283 - PI : CARL SZCZECHOWSKI - Data mode : A - Platform type : APEX - WMO inst type : 846 - FLOAT SERIAL : 7222 - Date : 2018 8 15
Float : 1901521 - Cycle : 285 - PI : CARL SZCZECHOWSKI - Data mode : A - Platform type : APEX - WMO inst type : 846 - FLOAT SERIAL : 7222 - Date : 2018 8 22
Float : 1901540 - Cycle : 257 - PI : BRECK OWENS - Data mode : D - Platform type : SOLO_W - WMO inst type : 851 - FLOAT SERIAL : 1064 - Date : 2018 8 19
Float : 1901540 - Cycle : 261 - PI : BRECK OWENS - Data mode : D - Platform type : SOLO_W - WMO inst type : 851 - FLOAT SERIAL : 1064 - Date : 2018 9 28
Float : 1901563 - Cycle : 221 - PI : BRECK OWENS - Data mode : R - Platform type : SOLO_W - WMO inst type : 851 - FLOAT SERIAL : 1085 - Date : 2019 6 12
Float : 1901647 - Cycle : 201 - PI : BRECK OWENS - Data mode : R - Platform type : S2A - WMO inst type : 854 - FLOAT SERIAL : 7075 - Date : 2018 7 4
Float : 1901650 - Cycle : 240 - PI : BRECK OWENS - Data mode : A - Platform type : S2A - WMO inst type : 854 - FLOAT SERIAL : 7079 - Date : 2019 5 25
Float : 1901650 - Cycle : 243 - PI : BRECK OWENS - Data mode : A - Platform type : S2A - WMO inst type : 854 - FLOAT SERIAL : 7079 - Date : 2019 6 14
Float : 1901654 - Cycle : 178 - PI : BRECK OWENS, STEVE JAYNE, P.E. ROBBINS - Data mode : A - Platform type : SOLO_W - WMO inst type : 851 - FLOAT SERIAL : 1164 - Date : 2018 7 27
Float : 1901814 - Cycle : 94 - PI : BRECK OWENS, STEVEN JAYNE, P.E. ROBBINS - Data mode : R - Platform type : S2A - WMO inst type : 854 - FLOAT SERIAL : 7330 - Date : 2019 5 28
Float : 1901817 - Cycle : 111 - PI : BRECK OWENS, STEVEN JAYNE, P.E. ROBBINS - Data mode : R - Platform type : S2A - WMO inst type : 854 - FLOAT SERIAL : 7353 - Date : 2019 5 25
Float : 1901820 - Cycle : 112 - PI : BRECK OWENS, STEVEN JAYNE, P.E. ROBBINS - Data mode : R - Platform type : S2A - WMO inst type : 854 - FLOAT SERIAL : 7356 - Date : 2019 6 9
Float : 1901834 - Cycle : 84 - PI : DEAN ROEMMICH - Data mode : A - Platform type : SOLO_II - WMO inst type : 853 - FLOAT SERIAL : 8414 - Date : 2018 7 26
Float : 1901834 - Cycle : 97 - PI : DEAN ROEMMICH - Data mode : A - Platform type : SOLO_II - WMO inst type : 853 - FLOAT SERIAL : 8414 - Date : 2018 12 3
Float : 1902025 - Cycle : 95 - PI : DEAN ROEMMICH - Data mode : R - Platform type : SOLO_II - WMO inst type : 853 - FLOAT SERIAL : 8493 - Date : 2019 5 24
Float : 1902033 - Cycle : 95 - PI : DEAN ROEMMICH - Data mode : A - Platform type : SOLO_II - WMO inst type : 853 - FLOAT SERIAL : 8501 - Date : 2019 6 2
Float : 1902045 - Cycle : 15 - PI : DEAN ROEMMICH - Data mode : R - Platform type : SOLO_II - WMO inst type : 853 - FLOAT SERIAL : 8732 - Date : 2019 6 3
Float : 1902057 - Cycle : 93 - PI : GREGORY C. JOHNSON - Data mode : A - Platform type : NAVIS_A - WMO inst type : 863 - FLOAT SERIAL : 0707 - Date : 2019 6 5
Float : 1902057 - Cycle : 94 - PI : GREGORY C. JOHNSON - Data mode : A - Platform type : NAVIS_A - WMO inst type : 863 - FLOAT SERIAL : 0707 - Date : 2019 6 15
Float : 1902057 - Cycle : 95 - PI : GREGORY C. JOHNSON - Data mode : A - Platform type : NAVIS_A - WMO inst type : 863 - FLOAT SERIAL : 0707 - Date : 2019 6 25
Float : 1902064 - Cycle : 58 - PI : BRECK OWENS, STEVEN JAYNE, P.E. ROBBINS - Data mode : R - Platform type : S2A - WMO inst type : 854 - FLOAT SERIAL : 7398 - Date : 2018 7 2
Float : 1902184 - Cycle : 127 - PI : BRECK OWENS, STEVEN JAYNE, P.E. ROBBINS - Data mode : R - Platform type : S2A - WMO inst type : 854 - FLOAT SERIAL : 7457 - Date : 2019 6 10
Float : 1902195 - Cycle : 4 - PI : GREGORY C. JOHNSON - Data mode : A - Platform type : NAVIS_A - WMO inst type : 863 - FLOAT SERIAL : 0853 - Date : 2018 10 16
Float : 1902199 - Cycle : 26 - PI : GREGORY C. JOHNSON - Data mode : A - Platform type : NAVIS_A - WMO inst type : 863 - FLOAT SERIAL : 0857 - Date : 2019 5 30
Float : 1902199 - Cycle : 27 - PI : GREGORY C. JOHNSON - Data mode : A - Platform type : NAVIS_A - WMO inst type : 863 - FLOAT SERIAL : 0857 - Date : 2019 6 9
Float : 1902199 - Cycle : 28 - PI : GREGORY C. JOHNSON - Data mode : A - Platform type : NAVIS_A - WMO inst type : 863 - FLOAT SERIAL : 0857 - Date : 2019 6 19
Float : 1902219 - Cycle : 46 - PI : BRECK OWENS, STEVEN JAYNE, P.E. ROBBINS - Data mode : R - Platform type : S2A - WMO inst type : 854 - FLOAT SERIAL : 7460 - Date : 2018 7 25
Float : 1902269 - Cycle : 5 - PI : GREGORY C. JOHNSON - Data mode : A - Platform type : NAVIS_A - WMO inst type : 863 - FLOAT SERIAL : 0946 - Date : 2019 6 1
Float : 2901641 - Cycle : 325 - PI : CARL SZCZECHOWSKI - Data mode : A - Platform type : APEX - WMO inst type : 846 - FLOAT SERIAL : 6791 - Date : 2018 10 26
Float : 2902037 - Cycle : 217 - PI : CARL SZCZECHOWSKI - Data mode : A - Platform type : APEX - WMO inst type : 846 - FLOAT SERIAL : 6798 - Date : 2018 8 7
Float : 2902389 - Cycle : 131 - PI : BRECK OWENS, STEVEN JAYNE, P.E. ROBBINS - Data mode : R - Platform type : S2A - WMO inst type : 854 - FLOAT SERIAL : 7328 - Date : 2019 5 17
Float : 2903419 - Cycle : 0 - PI : DEAN ROEMMICH - Data mode : R - Platform type : SOLO_II - WMO inst type : 853 - FLOAT SERIAL : 8784 - Date : 2019 6 17
Float : 3900741 - Cycle : 337 - PI : GREGORY C. JOHNSON - Data mode : A - Platform type : APEX - WMO inst type : 846 - FLOAT SERIAL : 4265 - Date : 2019 6 5
Float : 3900741 - Cycle : 338 - PI : GREGORY C. JOHNSON - Data mode : A - Platform type : APEX - WMO inst type : 846 - FLOAT SERIAL : 4265 - Date : 2019 6 16
Float : 3901112 - Cycle : 126 - PI : BRECK OWENS, STEVEN JAYNE, P.E. ROBBINS - Data mode : R - Platform type : S2A - WMO inst type : 854 - FLOAT SERIAL : 7294 - Date : 2018 7 25
Float : 3901112 - Cycle : 127 - PI : BRECK OWENS, STEVEN JAYNE, P.E. ROBBINS - Data mode : R - Platform type : S2A - WMO inst type : 854 - FLOAT SERIAL : 7294 - Date : 2018 8 4
Float : 3901112 - Cycle : 128 - PI : BRECK OWENS, STEVEN JAYNE, P.E. ROBBINS - Data mode : R - Platform type : S2A - WMO inst type : 854 - FLOAT SERIAL : 7294 - Date : 2018 8 14
Float : 3901112 - Cycle : 129 - PI : BRECK OWENS, STEVEN JAYNE, P.E. ROBBINS - Data mode : R - Platform type : S2A - WMO inst type : 854 - FLOAT SERIAL : 7294 - Date : 2018 8 23
Float : 3901112 - Cycle : 130 - PI : BRECK OWENS, STEVEN JAYNE, P.E. ROBBINS - Data mode : R - Platform type : S2A - WMO inst type : 854 - FLOAT SERIAL : 7294 - Date : 2018 9 2
Float : 3901112 - Cycle : 131 - PI : BRECK OWENS, STEVEN JAYNE, P.E. ROBBINS - Data mode : R - Platform type : S2A - WMO inst type : 854 - FLOAT SERIAL : 7294 - Date : 2018 9 12
Float : 3901112 - Cycle : 132 - PI : BRECK OWENS, STEVEN JAYNE, P.E. ROBBINS - Data mode : R - Platform type : S2A - WMO inst type : 854 - FLOAT SERIAL : 7294 - Date : 2018 9 22
Float : 3901112 - Cycle : 133 - PI : BRECK OWENS, STEVEN JAYNE, P.E. ROBBINS - Data mode : R - Platform type : S2A - WMO inst type : 854 - FLOAT SERIAL : 7294 - Date : 2018 10 2
Float : 3901112 - Cycle : 134 - PI : BRECK OWENS, STEVEN JAYNE, P.E. ROBBINS - Data mode : R - Platform type : S2A - WMO inst type : 854 - FLOAT SERIAL : 7294 - Date : 2018 10 12
Float : 3901112 - Cycle : 135 - PI : BRECK OWENS, STEVEN JAYNE, P.E. ROBBINS - Data mode : R - Platform type : S2A - WMO inst type : 854 - FLOAT SERIAL : 7294 - Date : 2018 10 22
Float : 3901112 - Cycle : 136 - PI : BRECK OWENS, STEVEN JAYNE, P.E. ROBBINS - Data mode : R - Platform type : S2A - WMO inst type : 854 - FLOAT SERIAL : 7294 - Date : 2018 11 1
Float : 3901112 - Cycle : 137 - PI : BRECK OWENS, STEVEN JAYNE, P.E. ROBBINS - Data mode : R - Platform type : S2A - WMO inst type : 854 - FLOAT SERIAL : 7294 - Date : 2018 11 11
Float : 3901112 - Cycle : 138 - PI : BRECK OWENS, STEVEN JAYNE, P.E. ROBBINS - Data mode : R - Platform type : S2A - WMO inst type : 854 - FLOAT SERIAL : 7294 - Date : 2018 11 21
Float : 3901112 - Cycle : 139 - PI : BRECK OWENS, STEVEN JAYNE, P.E. ROBBINS - Data mode : R - Platform type : S2A - WMO inst type : 854 - FLOAT SERIAL : 7294 - Date : 2018 11 30
Float : 3901112 - Cycle : 140 - PI : BRECK OWENS, STEVEN JAYNE, P.E. ROBBINS - Data mode : R - Platform type : S2A - WMO inst type : 854 - FLOAT SERIAL : 7294 - Date : 2018 12 10
Float : 3901112 - Cycle : 141 - PI : BRECK OWENS, STEVEN JAYNE, P.E. ROBBINS - Data mode : R - Platform type : S2A - WMO inst type : 854 - FLOAT SERIAL : 7294 - Date : 2018 12 20
Float : 3901112 - Cycle : 142 - PI : BRECK OWENS, STEVEN JAYNE, P.E. ROBBINS - Data mode : R - Platform type : S2A - WMO inst type : 854 - FLOAT SERIAL : 7294 - Date : 2018 12 30
Float : 3901112 - Cycle : 143 - PI : BRECK OWENS, STEVEN JAYNE, P.E. ROBBINS - Data mode : R - Platform type : S2A - WMO inst type : 854 - FLOAT SERIAL : 7294 - Date : 2019 1 9
Float : 3901112 - Cycle : 144 - PI : BRECK OWENS, STEVEN JAYNE, P.E. ROBBINS - Data mode : R - Platform type : S2A - WMO inst type : 854 - FLOAT SERIAL : 7294 - Date : 2019 1 19
Float : 3901112 - Cycle : 145 - PI : BRECK OWENS, STEVEN JAYNE, P.E. ROBBINS - Data mode : R - Platform type : S2A - WMO inst type : 854 - FLOAT SERIAL : 7294 - Date : 2019 1 29
Float : 3901112 - Cycle : 146 - PI : BRECK OWENS, STEVEN JAYNE, P.E. ROBBINS - Data mode : R - Platform type : S2A - WMO inst type : 854 - FLOAT SERIAL : 7294 - Date : 2019 2 8
Float : 3901112 - Cycle : 147 - PI : BRECK OWENS, STEVEN JAYNE, P.E. ROBBINS - Data mode : R - Platform type : S2A - WMO inst type : 854 - FLOAT SERIAL : 7294 - Date : 2019 2 18
Float : 3901112 - Cycle : 148 - PI : BRECK OWENS, STEVEN JAYNE, P.E. ROBBINS - Data mode : R - Platform type : S2A - WMO inst type : 854 - FLOAT SERIAL : 7294 - Date : 2019 2 28
Float : 3901112 - Cycle : 149 - PI : BRECK OWENS, STEVEN JAYNE, P.E. ROBBINS - Data mode : R - Platform type : S2A - WMO inst type : 854 - FLOAT SERIAL : 7294 - Date : 2019 3 9

Float : 3901112 - Cycle : 150 - PI : BRECK OWENS, STEVEN JAYNE, P.E. ROBBINS - Data mode : R - Platform type : S2A - WMO inst type : 854 - FLOAT SERIAL : 7294 - Date : 2019 3 19
Float : 3901112 - Cycle : 151 - PI : BRECK OWENS, STEVEN JAYNE, P.E. ROBBINS - Data mode : R - Platform type : S2A - WMO inst type : 854 - FLOAT SERIAL : 7294 - Date : 2019 3 29
Float : 3901112 - Cycle : 152 - PI : BRECK OWENS, STEVEN JAYNE, P.E. ROBBINS - Data mode : R - Platform type : S2A - WMO inst type : 854 - FLOAT SERIAL : 7294 - Date : 2019 4 8
Float : 3901112 - Cycle : 153 - PI : BRECK OWENS, STEVEN JAYNE, P.E. ROBBINS - Data mode : R - Platform type : S2A - WMO inst type : 854 - FLOAT SERIAL : 7294 - Date : 2019 4 18
Float : 3901112 - Cycle : 154 - PI : BRECK OWENS, STEVEN JAYNE, P.E. ROBBINS - Data mode : R - Platform type : S2A - WMO inst type : 854 - FLOAT SERIAL : 7294 - Date : 2019 4 28
Float : 3901112 - Cycle : 155 - PI : BRECK OWENS, STEVEN JAYNE, P.E. ROBBINS - Data mode : R - Platform type : S2A - WMO inst type : 854 - FLOAT SERIAL : 7294 - Date : 2019 5 8
Float : 3901112 - Cycle : 156 - PI : BRECK OWENS, STEVEN JAYNE, P.E. ROBBINS - Data mode : R - Platform type : S2A - WMO inst type : 854 - FLOAT SERIAL : 7294 - Date : 2019 5 18
Float : 3901112 - Cycle : 157 - PI : BRECK OWENS, STEVEN JAYNE, P.E. ROBBINS - Data mode : R - Platform type : S2A - WMO inst type : 854 - FLOAT SERIAL : 7294 - Date : 2019 5 28
Float : 3901112 - Cycle : 158 - PI : BRECK OWENS, STEVEN JAYNE, P.E. ROBBINS - Data mode : R - Platform type : S2A - WMO inst type : 854 - FLOAT SERIAL : 7294 - Date : 2019 6 7
Float : 3901112 - Cycle : 159 - PI : BRECK OWENS, STEVEN JAYNE, P.E. ROBBINS - Data mode : R - Platform type : S2A - WMO inst type : 854 - FLOAT SERIAL : 7294 - Date : 2019 6 17
Float : 3901112 - Cycle : 160 - PI : BRECK OWENS, STEVEN JAYNE, P.E. ROBBINS - Data mode : R - Platform type : S2A - WMO inst type : 854 - FLOAT SERIAL : 7294 - Date : 2019 6 26
Float : 3901153 - Cycle : 203 - PI : GREGORY C. JOHNSON - Data mode : A - Platform type : NAVIS_A - WMO inst type : 863 - FLOAT SERIAL : 0196 - Date : 2018 10 16
Float : 3901156 - Cycle : 189 - PI : GREGORY C. JOHNSON - Data mode : A - Platform type : NAVIS_A - WMO inst type : 863 - FLOAT SERIAL : 0162 - Date : 2019 5 30
Float : 3901156 - Cycle : 190 - PI : GREGORY C. JOHNSON - Data mode : A - Platform type : NAVIS_A - WMO inst type : 863 - FLOAT SERIAL : 0162 - Date : 2019 6 9
Float : 3901156 - Cycle : 191 - PI : GREGORY C. JOHNSON - Data mode : A - Platform type : NAVIS_A - WMO inst type : 863 - FLOAT SERIAL : 0162 - Date : 2019 6 19
Float : 3901160 - Cycle : 277 - PI : DEAN ROEMMICH - Data mode : R - Platform type : SOLO_II - WMO inst type : 853 - FLOAT SERIAL : 8202 - Date : 2019 6 23
Float : 3901164 - Cycle : 271 - PI : DEAN ROEMMICH - Data mode : A - Platform type : SOLO_II - WMO inst type : 853 - FLOAT SERIAL : 8199 - Date : 2019 5 26
Float : 3901164 - Cycle : 272 - PI : DEAN ROEMMICH - Data mode : A - Platform type : SOLO_II - WMO inst type : 853 - FLOAT SERIAL : 8199 - Date : 2019 6 5
Float : 3901164 - Cycle : 273 - PI : DEAN ROEMMICH - Data mode : A - Platform type : SOLO_II - WMO inst type : 853 - FLOAT SERIAL : 8199 - Date : 2019 6 15
Float : 3901164 - Cycle : 274 - PI : DEAN ROEMMICH - Data mode : A - Platform type : SOLO_II - WMO inst type : 853 - FLOAT SERIAL : 8199 - Date : 2019 6 24
Float : 3901164 - Cycle : 275 - PI : DEAN ROEMMICH - Data mode : A - Platform type : SOLO_II - WMO inst type : 853 - FLOAT SERIAL : 8199 - Date : 2019 6 26
Float : 3901173 - Cycle : 190 - PI : GREGORY C. JOHNSON - Data mode : A - Platform type : NAVIS_A - WMO inst type : 863 - FLOAT SERIAL : 0291 - Date : 2019 6 6
Float : 3901173 - Cycle : 191 - PI : GREGORY C. JOHNSON - Data mode : A - Platform type : NAVIS_A - WMO inst type : 863 - FLOAT SERIAL : 0291 - Date : 2019 6 16
Float : 3901173 - Cycle : 192 - PI : GREGORY C. JOHNSON - Data mode : A - Platform type : NAVIS_A - WMO inst type : 863 - FLOAT SERIAL : 0291 - Date : 2019 6 26
Float : 3901187 - Cycle : 190 - PI : GREGORY C. JOHNSON - Data mode : A - Platform type : NAVIS_A - WMO inst type : 863 - FLOAT SERIAL : 0300 - Date : 2019 5 30
Float : 3901187 - Cycle : 191 - PI : GREGORY C. JOHNSON - Data mode : A - Platform type : NAVIS_A - WMO inst type : 863 - FLOAT SERIAL : 0300 - Date : 2019 6 9
Float : 3901187 - Cycle : 192 - PI : GREGORY C. JOHNSON - Data mode : A - Platform type : NAVIS_A - WMO inst type : 863 - FLOAT SERIAL : 0300 - Date : 2019 6 19
Float : 3901204 - Cycle : 157 - PI : DEAN ROEMMICH - Data mode : R - Platform type : SOLO_II - WMO inst type : 853 - FLOAT SERIAL : 8334 - Date : 2019 5 30
Float : 3901222 - Cycle : 142 - PI : BRECK OWENS, STEVEN JAYNE, P.E. ROBBINS - Data mode : R - Platform type : S2A - WMO inst type : 854 - FLOAT SERIAL : 7308 - Date : 2019 6 12
Float : 3901222 - Cycle : 143 - PI : BRECK OWENS, STEVEN JAYNE, P.E. ROBBINS - Data mode : R - Platform type : S2A - WMO inst type : 854 - FLOAT SERIAL : 7308 - Date : 2019 6 22
Float : 3901227 - Cycle : 108 - PI : BRECK OWENS, STEVEN JAYNE, P.E. ROBBINS - Data mode : R - Platform type : S2A - WMO inst type : 854 - FLOAT SERIAL : 7293 - Date : 2018 7 19
Float : 3901227 - Cycle : 109 - PI : BRECK OWENS, STEVEN JAYNE, P.E. ROBBINS - Data mode : R - Platform type : S2A - WMO inst type : 854 - FLOAT SERIAL : 7293 - Date : 2018 7 29
Float : 3901227 - Cycle : 139 - PI : BRECK OWENS, STEVEN JAYNE, P.E. ROBBINS - Data mode : R - Platform type : S2A - WMO inst type : 854 - FLOAT SERIAL : 7293 - Date : 2019 5 23
Float : 3901227 - Cycle : 140 - PI : BRECK OWENS, STEVEN JAYNE, P.E. ROBBINS - Data mode : R - Platform type : S2A - WMO inst type : 854 - FLOAT SERIAL : 7293 - Date : 2019 6 2
Float : 3901227 - Cycle : 141 - PI : BRECK OWENS, STEVEN JAYNE, P.E. ROBBINS - Data mode : R - Platform type : S2A - WMO inst type : 854 - FLOAT SERIAL : 7293 - Date : 2019 6 12
Float : 3901227 - Cycle : 142 - PI : BRECK OWENS, STEVEN JAYNE, P.E. ROBBINS - Data mode : R - Platform type : S2A - WMO inst type : 854 - FLOAT SERIAL : 7293 - Date : 2019 6 22
Float : 3901234 - Cycle : 123 - PI : BRECK OWENS, STEVEN JAYNE, P.E. ROBBINS - Data mode : A - Platform type : S2A - WMO inst type : 854 - FLOAT SERIAL : 7337 - Date : 2019 6 4
Float : 3901259 - Cycle : 92 - PI : GREGORY C. JOHNSON - Data mode : A - Platform type : NAVIS_A - WMO inst type : 863 - FLOAT SERIAL : 0704 - Date : 2019 6 4
Float : 3901259 - Cycle : 93 - PI : GREGORY C. JOHNSON - Data mode : A - Platform type : NAVIS_A - WMO inst type : 863 - FLOAT SERIAL : 0704 - Date : 2019 6 14
Float : 3901259 - Cycle : 94 - PI : GREGORY C. JOHNSON - Data mode : A - Platform type : NAVIS_A - WMO inst type : 863 - FLOAT SERIAL : 0704 - Date : 2019 6 24
Float : 3901275 - Cycle : 66 - PI : DEAN ROEMMICH - Data mode : R - Platform type : SOLO_II - WMO inst type : 853 - FLOAT SERIAL : 8565 - Date : 2019 5 27
Float : 3901282 - Cycle : 96 - PI : GREGORY C. JOHNSON - Data mode : A - Platform type : NAVIS_A - WMO inst type : 863 - FLOAT SERIAL : 0710 - Date : 2019 6 7
Float : 3901282 - Cycle : 97 - PI : GREGORY C. JOHNSON - Data mode : A - Platform type : NAVIS_A - WMO inst type : 863 - FLOAT SERIAL : 0710 - Date : 2019 6 17
Float : 3901282 - Cycle : 98 - PI : GREGORY C. JOHNSON - Data mode : A - Platform type : NAVIS_A - WMO inst type : 863 - FLOAT SERIAL : 0710 - Date : 2019 6 27
Float : 3901285 - Cycle : 67 - PI : GREGORY C. JOHNSON - Data mode : D - Platform type : NAVIS_A - WMO inst type : 863 - FLOAT SERIAL : 0714 - Date : 2018 9 22
Float : 3901285 - Cycle : 68 - PI : GREGORY C. JOHNSON - Data mode : D - Platform type : NAVIS_A - WMO inst type : 863 - FLOAT SERIAL : 0714 - Date : 2018 10 2
Float : 3901286 - Cycle : 85 - PI : GREGORY C. JOHNSON - Data mode : A - Platform type : NAVIS_A - WMO inst type : 863 - FLOAT SERIAL : 0715 - Date : 2019 6 5
Float : 3901286 - Cycle : 86 - PI : GREGORY C. JOHNSON - Data mode : A - Platform type : NAVIS_A - WMO inst type : 863 - FLOAT SERIAL : 0715 - Date : 2019 6 15
Float : 3901286 - Cycle : 87 - PI : GREGORY C. JOHNSON - Data mode : A - Platform type : NAVIS_A - WMO inst type : 863 - FLOAT SERIAL : 0715 - Date : 2019 6 25
Float : 3901289 - Cycle : 91 - PI : GREGORY C. JOHNSON - Data mode : A - Platform type : NAVIS_A - WMO inst type : 863 - FLOAT SERIAL : 0724 - Date : 2019 6 8
Float : 3901289 - Cycle : 92 - PI : GREGORY C. JOHNSON - Data mode : A - Platform type : NAVIS_A - WMO inst type : 863 - FLOAT SERIAL : 0724 - Date : 2019 6 18
Float : 3901309 - Cycle : 0 - PI : GREGORY C. JOHNSON - Data mode : A - Platform type : SOLO_D_MRV - WMO inst type : 874 - FLOAT SERIAL : 12004 - Date : 2019 5 26
Float : 3901310 - Cycle : 10 - PI : GREGORY C. JOHNSON - Data mode : A - Platform type : SOLO_D_MRV - WMO inst type : 874 - FLOAT SERIAL : 12005 - Date : 2019 5 31
Float : 3901473 - Cycle : 62 - PI : DEAN ROEMMICH - Data mode : R - Platform type : SOLO_II - WMO inst type : 853 - FLOAT SERIAL : 8584 - Date : 2019 6 11
Float : 3901474 - Cycle : 62 - PI : DEAN ROEMMICH - Data mode : R - Platform type : SOLO_II - WMO inst type : 853 - FLOAT SERIAL : 8585 - Date : 2019 6 11
Float : 3901476 - Cycle : 62 - PI : DEAN ROEMMICH - Data mode : R - Platform type : SOLO_II - WMO inst type : 853 - FLOAT SERIAL : 8587 - Date : 2019 6 13
Float : 3901477 - Cycle : 62 - PI : DEAN ROEMMICH - Data mode : R - Platform type : SOLO_II - WMO inst type : 853 - FLOAT SERIAL : 8588 - Date : 2019 6 14
Float : 3901485 - Cycle : 61 - PI : DEAN ROEMMICH - Data mode : R - Platform type : SOLO_II - WMO inst type : 853 - FLOAT SERIAL : 8598 - Date : 2019 6 17
Float : 3901804 - Cycle : 29 - PI : DEAN ROEMMICH - Data mode : R - Platform type : SOLO_II - WMO inst type : 853 - FLOAT SERIAL : 8678 - Date : 2019 5 5
Float : 3901814 - Cycle : 140 - PI : BRECK OWENS, STEVEN JAYNE, P.E. ROBBINS - Data mode : A - Platform type : S2A - WMO inst type : 854 - FLOAT SERIAL : 7417 - Date : 2019 5 25
Float : 3901814 - Cycle : 141 - PI : BRECK OWENS, STEVEN JAYNE, P.E. ROBBINS - Data mode : A - Platform type : S2A - WMO inst type : 854 - FLOAT SERIAL : 7417 - Date : 2019 5 30
Float : 3901814 - Cycle : 142 - PI : BRECK OWENS, STEVEN JAYNE, P.E. ROBBINS - Data mode : A - Platform type : S2A - WMO inst type : 854 - FLOAT SERIAL : 7417 - Date : 2019 6 4
Float : 3901814 - Cycle : 143 - PI : BRECK OWENS, STEVEN JAYNE, P.E. ROBBINS - Data mode : A - Platform type : S2A - WMO inst type : 854 - FLOAT SERIAL : 7417 - Date : 2019 6 9
Float : 3901814 - Cycle : 144 - PI : BRECK OWENS, STEVEN JAYNE, P.E. ROBBINS - Data mode : A - Platform type : S2A - WMO inst type : 854 - FLOAT SERIAL : 7417 - Date : 2019 6 14
Float : 3901814 - Cycle : 145 - PI : BRECK OWENS, STEVEN JAYNE, P.E. ROBBINS - Data mode : A - Platform type : S2A - WMO inst type : 854 - FLOAT SERIAL : 7417 - Date : 2019 6 19
Float : 3901814 - Cycle : 146 - PI : BRECK OWENS, STEVEN JAYNE, P.E. ROBBINS - Data mode : A - Platform type : S2A - WMO inst type : 854 - FLOAT SERIAL : 7417 - Date : 2019 6 24
Float : 3901815 - Cycle : 146 - PI : BRECK OWENS, STEVEN JAYNE, P.E. ROBBINS - Data mode : A - Platform type : S2A - WMO inst type : 854 - FLOAT SERIAL : 7420 - Date : 2019 5 20
Float : 3901815 - Cycle : 149 - PI : BRECK OWENS, STEVEN JAYNE, P.E. ROBBINS - Data mode : A - Platform type : S2A - WMO inst type : 854 - FLOAT SERIAL : 7420 - Date : 2019 6 4
Float : 3901815 - Cycle : 150 - PI : BRECK OWENS, STEVEN JAYNE, P.E. ROBBINS - Data mode : A - Platform type : S2A - WMO inst type : 854 - FLOAT SERIAL : 7420 - Date : 2019 6 10
Float : 3901816 - Cycle : 140 - PI : BRECK OWENS, STEVEN JAYNE, P.E. ROBBINS - Data mode : R - Platform type : S2A - WMO inst type : 854 - FLOAT SERIAL : 7421 - Date : 2019 5 28
Float : 3901816 - Cycle : 141 - PI : BRECK OWENS, STEVEN JAYNE, P.E. ROBBINS - Data mode : R - Platform type : S2A - WMO inst type : 854 - FLOAT SERIAL : 7421 - Date : 2019 6 2
Float : 3901816 - Cycle : 142 - PI : BRECK OWENS, STEVEN JAYNE, P.E. ROBBINS - Data mode : R - Platform type : S2A - WMO inst type : 854 - FLOAT SERIAL : 7421 - Date : 2019 6 7
Float : 3901816 - Cycle : 143 - PI : BRECK OWENS, STEVEN JAYNE, P.E. ROBBINS - Data mode : R - Platform type : S2A - WMO inst type : 854 - FLOAT SERIAL : 7421 - Date : 2019 6 12
Float : 3901816 - Cycle : 144 - PI : BRECK OWENS, STEVEN JAYNE, P.E. ROBBINS - Data mode : R - Platform type : S2A - WMO inst type : 854 - FLOAT SERIAL : 7421 - Date : 2019 6 17
Float : 3901816 - Cycle : 145 - PI : BRECK OWENS, STEVEN JAYNE, P.E. ROBBINS - Data mode : R - Platform type : S2A - WMO inst type : 854 - FLOAT SERIAL : 7421 - Date : 2019 6 22
Float : 3901819 - Cycle : 144 - PI : BRECK OWENS, STEVEN JAYNE, P.E. ROBBINS - Data mode : R - Platform type : S2A - WMO inst type : 854 - FLOAT SERIAL : 10088 - Date : 2019 6 7
Float : 3901823 - Cycle : 82 - PI : BRECK OWENS, STEVEN JAYNE, P.E. ROBBINS - Data mode : R - Platform type : S2A - WMO inst type : 854 - FLOAT SERIAL : 10095 - Date : 2018 7 30
Float : 3901832 - Cycle : 22 - PI : BRECK OWENS, STEVEN JAYNE, P.E. ROBBINS - Data mode : R - Platform type : S2A - WMO inst type : 854 - FLOAT SERIAL : 7440 - Date : 2018 7 9
Float : 4900859 - Cycle : 342 - PI : GREGORY C. JOHNSON - Data mode : A - Platform type : APEX - WMO inst type : 846 - FLOAT SERIAL : 3964 - Date : 2018 10 28

Float : 4900859 - Cycle : 343 - PI : GREGORY C. JOHNSON - Data mode : A - Platform type : APEX - WMO inst type : 846 - FLOAT SERIAL : 3964 - Date : 2018 11 8
Float : 4900859 - Cycle : 344 - PI : GREGORY C. JOHNSON - Data mode : A - Platform type : APEX - WMO inst type : 846 - FLOAT SERIAL : 3964 - Date : 2018 11 19
Float : 4900859 - Cycle : 345 - PI : GREGORY C. JOHNSON - Data mode : A - Platform type : APEX - WMO inst type : 846 - FLOAT SERIAL : 3964 - Date : 2018 11 30
Float : 4900859 - Cycle : 346 - PI : GREGORY C. JOHNSON - Data mode : A - Platform type : APEX - WMO inst type : 846 - FLOAT SERIAL : 3964 - Date : 2018 12 10
Float : 4900859 - Cycle : 347 - PI : GREGORY C. JOHNSON - Data mode : A - Platform type : APEX - WMO inst type : 846 - FLOAT SERIAL : 3964 - Date : 2018 12 21
Float : 4900859 - Cycle : 348 - PI : GREGORY C. JOHNSON - Data mode : A - Platform type : APEX - WMO inst type : 846 - FLOAT SERIAL : 3964 - Date : 2019 1 1
Float : 4900859 - Cycle : 349 - PI : GREGORY C. JOHNSON - Data mode : A - Platform type : APEX - WMO inst type : 846 - FLOAT SERIAL : 3964 - Date : 2019 1 11
Float : 4900859 - Cycle : 350 - PI : GREGORY C. JOHNSON - Data mode : A - Platform type : APEX - WMO inst type : 846 - FLOAT SERIAL : 3964 - Date : 2019 1 22
Float : 4901285 - Cycle : 294 - PI : BRECK OWENS - Data mode : R - Platform type : SOLO_W - WMO inst type : 851 - FLOAT SERIAL : 1042 - Date : 2019 6 24
Float : 4901435 - Cycle : 232 - PI : GREGORY C. JOHNSON - Data mode : A - Platform type : APEX - WMO inst type : 846 - FLOAT SERIAL : 5323 - Date : 2018 7 6
Float : 4901435 - Cycle : 241 - PI : GREGORY C. JOHNSON - Data mode : A - Platform type : APEX - WMO inst type : 846 - FLOAT SERIAL : 5323 - Date : 2018 10 10
Float : 4901435 - Cycle : 243 - PI : GREGORY C. JOHNSON - Data mode : A - Platform type : APEX - WMO inst type : 846 - FLOAT SERIAL : 5323 - Date : 2018 10 31
Float : 4901435 - Cycle : 244 - PI : GREGORY C. JOHNSON - Data mode : A - Platform type : APEX - WMO inst type : 846 - FLOAT SERIAL : 5323 - Date : 2018 11 10
Float : 4901435 - Cycle : 246 - PI : GREGORY C. JOHNSON - Data mode : A - Platform type : APEX - WMO inst type : 846 - FLOAT SERIAL : 5323 - Date : 2018 12 2
Float : 4901435 - Cycle : 247 - PI : GREGORY C. JOHNSON - Data mode : A - Platform type : APEX - WMO inst type : 846 - FLOAT SERIAL : 5323 - Date : 2018 12 12
Float : 4901435 - Cycle : 248 - PI : GREGORY C. JOHNSON - Data mode : A - Platform type : APEX - WMO inst type : 846 - FLOAT SERIAL : 5323 - Date : 2018 12 23
Float : 4901441 - Cycle : 245 - PI : GREGORY C. JOHNSON - Data mode : D - Platform type : APEX - WMO inst type : 846 - FLOAT SERIAL : 5826 - Date : 2018 11 20
Float : 4901562 - Cycle : 243 - PI : GREGORY C. JOHNSON - Data mode : D - Platform type : NAVIS_A - WMO inst type : 863 - FLOAT SERIAL : 0229 - Date : 2018 9 19
Float : 4901562 - Cycle : 246 - PI : GREGORY C. JOHNSON - Data mode : D - Platform type : NAVIS_A - WMO inst type : 863 - FLOAT SERIAL : 0229 - Date : 2018 9 23
Float : 4901581 - Cycle : 178 - PI : BRECK OWENS, STEVE JAYNE, P.E. ROBBINS - Data mode : R - Platform type : S2A - WMO inst type : 854 - FLOAT SERIAL : 7171 - Date : 2018 7 10
Float : 4901581 - Cycle : 185 - PI : BRECK OWENS, STEVE JAYNE, P.E. ROBBINS - Data mode : R - Platform type : S2A - WMO inst type : 854 - FLOAT SERIAL : 7171 - Date : 2018 9 16
Float : 4901581 - Cycle : 186 - PI : BRECK OWENS, STEVE JAYNE, P.E. ROBBINS - Data mode : R - Platform type : S2A - WMO inst type : 854 - FLOAT SERIAL : 7171 - Date : 2018 9 26
Float : 4901588 - Cycle : 182 - PI : BRECK OWENS, STEVE JAYNE, P.E. ROBBINS - Data mode : R - Platform type : S2A - WMO inst type : 854 - FLOAT SERIAL : 7176 - Date : 2018 7 23
Float : 4901593 - Cycle : 171 - PI : BRECK OWENS, STEVE JAYNE, P.E. ROBBINS - Data mode : R - Platform type : S2A - WMO inst type : 854 - FLOAT SERIAL : 7245 - Date : 2018 9 20
Float : 4901593 - Cycle : 172 - PI : BRECK OWENS, STEVE JAYNE, P.E. ROBBINS - Data mode : R - Platform type : S2A - WMO inst type : 854 - FLOAT SERIAL : 7245 - Date : 2018 9 30
Float : 4901661 - Cycle : 182 - PI : GREGORY C. JOHNSON - Data mode : A - Platform type : NAVIS_A - WMO inst type : 863 - FLOAT SERIAL : 0373 - Date : 2019 6 16
Float : 4901661 - Cycle : 183 - PI : GREGORY C. JOHNSON - Data mode : A - Platform type : NAVIS_A - WMO inst type : 863 - FLOAT SERIAL : 0373 - Date : 2019 6 26
Float : 4901704 - Cycle : 154 - PI : BRECK OWENS, STEVEN JAYNE, P.E. ROBBINS - Data mode : R - Platform type : S2A - WMO inst type : 854 - FLOAT SERIAL : 7064 - Date : 2018 8 8
Float : 4902087 - Cycle : 122 - PI : GREGORY C. JOHNSON - Data mode : A - Platform type : NAVIS_A - WMO inst type : 863 - FLOAT SERIAL : 0537 - Date : 2018 11 18
Float : 4902087 - Cycle : 123 - PI : GREGORY C. JOHNSON - Data mode : A - Platform type : NAVIS_A - WMO inst type : 863 - FLOAT SERIAL : 0537 - Date : 2018 11 28
Float : 4902087 - Cycle : 124 - PI : GREGORY C. JOHNSON - Data mode : A - Platform type : NAVIS_A - WMO inst type : 863 - FLOAT SERIAL : 0537 - Date : 2018 12 8
Float : 4902087 - Cycle : 125 - PI : GREGORY C. JOHNSON - Data mode : A - Platform type : NAVIS_A - WMO inst type : 863 - FLOAT SERIAL : 0537 - Date : 2018 12 18
Float : 4902087 - Cycle : 126 - PI : GREGORY C. JOHNSON - Data mode : A - Platform type : NAVIS_A - WMO inst type : 863 - FLOAT SERIAL : 0537 - Date : 2018 12 28
Float : 4902087 - Cycle : 127 - PI : GREGORY C. JOHNSON - Data mode : A - Platform type : NAVIS_A - WMO inst type : 863 - FLOAT SERIAL : 0537 - Date : 2019 1 7
Float : 4902300 - Cycle : 120 - PI : GREGORY C. JOHNSON - Data mode : A - Platform type : NAVIS_A - WMO inst type : 863 - FLOAT SERIAL : 0541 - Date : 2019 6 10
Float : 4902306 - Cycle : 76 - PI : GREGORY C. JOHNSON - Data mode : D - Platform type : NAVIS_A - WMO inst type : 863 - FLOAT SERIAL : 0606 - Date : 2018 7 31
Float : 4902312 - Cycle : 113 - PI : GREGORY C. JOHNSON - Data mode : A - Platform type : NAVIS_A - WMO inst type : 863 - FLOAT SERIAL : 0605 - Date : 2019 6 5
Float : 4902312 - Cycle : 114 - PI : GREGORY C. JOHNSON - Data mode : A - Platform type : NAVIS_A - WMO inst type : 863 - FLOAT SERIAL : 0605 - Date : 2019 6 15
Float : 4902312 - Cycle : 115 - PI : GREGORY C. JOHNSON - Data mode : A - Platform type : NAVIS_A - WMO inst type : 863 - FLOAT SERIAL : 0605 - Date : 2019 6 25
Float : 4902334 - Cycle : 52 - PI : DEAN ROEMMICH - Data mode : R - Platform type : SOLO_II - WMO inst type : 853 - FLOAT SERIAL : 8575 - Date : 2019 6 3
Float : 4902342 - Cycle : 31 - PI : BRECK OWENS, STEVEN JAYNE, P.E. ROBBINS - Data mode : R - Platform type : S2A - WMO inst type : 854 - FLOAT SERIAL : 7341 - Date : 2018 8 14
Float : 4902893 - Cycle : 94 - PI : GREGORY C. JOHNSON - Data mode : A - Platform type : NAVIS_A - WMO inst type : 863 - FLOAT SERIAL : 0625 - Date : 2019 6 4
Float : 4902893 - Cycle : 95 - PI : GREGORY C. JOHNSON - Data mode : A - Platform type : NAVIS_A - WMO inst type : 863 - FLOAT SERIAL : 0625 - Date : 2019 6 14
Float : 4902893 - Cycle : 96 - PI : GREGORY C. JOHNSON - Data mode : A - Platform type : NAVIS_A - WMO inst type : 863 - FLOAT SERIAL : 0625 - Date : 2019 6 24
Float : 4902895 - Cycle : 93 - PI : GREGORY C. JOHNSON - Data mode : A - Platform type : NAVIS_A - WMO inst type : 863 - FLOAT SERIAL : 0627 - Date : 2019 5 29
Float : 4902895 - Cycle : 94 - PI : GREGORY C. JOHNSON - Data mode : A - Platform type : NAVIS_A - WMO inst type : 863 - FLOAT SERIAL : 0627 - Date : 2019 6 8
Float : 4902895 - Cycle : 95 - PI : GREGORY C. JOHNSON - Data mode : A - Platform type : NAVIS_A - WMO inst type : 863 - FLOAT SERIAL : 0627 - Date : 2019 6 18
Float : 4902896 - Cycle : 62 - PI : GREGORY C. JOHNSON - Data mode : D - Platform type : NAVIS_A - WMO inst type : 863 - FLOAT SERIAL : 0721 - Date : 2018 7 22
Float : 4902901 - Cycle : 91 - PI : GREGORY C. JOHNSON - Data mode : A - Platform type : NAVIS_A - WMO inst type : 863 - FLOAT SERIAL : 0723 - Date : 2019 6 7
Float : 4902901 - Cycle : 92 - PI : GREGORY C. JOHNSON - Data mode : A - Platform type : NAVIS_A - WMO inst type : 863 - FLOAT SERIAL : 0723 - Date : 2019 6 17
Float : 4902901 - Cycle : 93 - PI : GREGORY C. JOHNSON - Data mode : A - Platform type : NAVIS_A - WMO inst type : 863 - FLOAT SERIAL : 0723 - Date : 2019 6 27
Float : 4902905 - Cycle : 89 - PI : GREGORY C. JOHNSON - Data mode : A - Platform type : NAVIS_A - WMO inst type : 863 - FLOAT SERIAL : 0730 - Date : 2019 6 7
Float : 4902905 - Cycle : 90 - PI : GREGORY C. JOHNSON - Data mode : A - Platform type : NAVIS_A - WMO inst type : 863 - FLOAT SERIAL : 0730 - Date : 2019 6 17
Float : 4902905 - Cycle : 91 - PI : GREGORY C. JOHNSON - Data mode : A - Platform type : NAVIS_A - WMO inst type : 863 - FLOAT SERIAL : 0730 - Date : 2019 6 27
Float : 4902908 - Cycle : 57 - PI : GREGORY C. JOHNSON - Data mode : A - Platform type : NAVIS_A - WMO inst type : 863 - FLOAT SERIAL : 0756 - Date : 2018 7 10
Float : 4902908 - Cycle : 59 - PI : GREGORY C. JOHNSON - Data mode : A - Platform type : NAVIS_A - WMO inst type : 863 - FLOAT SERIAL : 0756 - Date : 2018 7 30
Float : 4902908 - Cycle : 61 - PI : GREGORY C. JOHNSON - Data mode : A - Platform type : NAVIS_A - WMO inst type : 863 - FLOAT SERIAL : 0756 - Date : 2018 8 19
Float : 4902909 - Cycle : 75 - PI : BRECK OWENS, STEVEN JAYNE, P.E. ROBBINS - Data mode : R - Platform type : S2A - WMO inst type : 854 - FLOAT SERIAL : 7406 - Date : 2019 5 24
Float : 4902909 - Cycle : 76 - PI : BRECK OWENS, STEVEN JAYNE, P.E. ROBBINS - Data mode : R - Platform type : S2A - WMO inst type : 854 - FLOAT SERIAL : 7406 - Date : 2019 6 3
Float : 4902909 - Cycle : 77 - PI : BRECK OWENS, STEVEN JAYNE, P.E. ROBBINS - Data mode : R - Platform type : S2A - WMO inst type : 854 - FLOAT SERIAL : 7406 - Date : 2019 6 13
Float : 4902909 - Cycle : 78 - PI : BRECK OWENS, STEVEN JAYNE, P.E. ROBBINS - Data mode : R - Platform type : S2A - WMO inst type : 854 - FLOAT SERIAL : 7406 - Date : 2019 6 23
Float : 4902911 - Cycle : 80 - PI : BRECK OWENS, STEVEN JAYNE, P.E. ROBBINS - Data mode : R - Platform type : S2A - WMO inst type : 854 - FLOAT SERIAL : 7423 - Date : 2019 5 19
Float : 4902911 - Cycle : 81 - PI : BRECK OWENS, STEVEN JAYNE, P.E. ROBBINS - Data mode : R - Platform type : S2A - WMO inst type : 854 - FLOAT SERIAL : 7423 - Date : 2019 5 29
Float : 4902911 - Cycle : 82 - PI : BRECK OWENS, STEVEN JAYNE, P.E. ROBBINS - Data mode : R - Platform type : S2A - WMO inst type : 854 - FLOAT SERIAL : 7423 - Date : 2019 6 8
Float : 4902911 - Cycle : 83 - PI : BRECK OWENS, STEVEN JAYNE, P.E. ROBBINS - Data mode : R - Platform type : S2A - WMO inst type : 854 - FLOAT SERIAL : 7423 - Date : 2019 6 18
Float : 4902915 - Cycle : 82 - PI : BRECK OWENS, STEVEN JAYNE, P.E. ROBBINS - Data mode : R - Platform type : S2A - WMO inst type : 854 - FLOAT SERIAL : 7427 - Date : 2018 7 15
Float : 4902915 - Cycle : 83 - PI : BRECK OWENS, STEVEN JAYNE, P.E. ROBBINS - Data mode : R - Platform type : S2A - WMO inst type : 854 - FLOAT SERIAL : 7427 - Date : 2018 7 20
Float : 4902915 - Cycle : 84 - PI : BRECK OWENS, STEVEN JAYNE, P.E. ROBBINS - Data mode : R - Platform type : S2A - WMO inst type : 854 - FLOAT SERIAL : 7427 - Date : 2018 7 25
Float : 4902915 - Cycle : 85 - PI : BRECK OWENS, STEVEN JAYNE, P.E. ROBBINS - Data mode : R - Platform type : S2A - WMO inst type : 854 - FLOAT SERIAL : 7427 - Date : 2018 7 30
Float : 4902915 - Cycle : 90 - PI : BRECK OWENS, STEVEN JAYNE, P.E. ROBBINS - Data mode : R - Platform type : S2A - WMO inst type : 854 - FLOAT SERIAL : 7427 - Date : 2018 8 24
Float : 4902915 - Cycle : 146 - PI : BRECK OWENS, STEVEN JAYNE, P.E. ROBBINS - Data mode : R - Platform type : S2A - WMO inst type : 854 - FLOAT SERIAL : 7427 - Date : 2019 5 29
Float : 4902915 - Cycle : 147 - PI : BRECK OWENS, STEVEN JAYNE, P.E. ROBBINS - Data mode : R - Platform type : S2A - WMO inst type : 854 - FLOAT SERIAL : 7427 - Date : 2019 6 3
Float : 4902915 - Cycle : 148 - PI : BRECK OWENS, STEVEN JAYNE, P.E. ROBBINS - Data mode : R - Platform type : S2A - WMO inst type : 854 - FLOAT SERIAL : 7427 - Date : 2019 6 8
Float : 4902915 - Cycle : 149 - PI : BRECK OWENS, STEVEN JAYNE, P.E. ROBBINS - Data mode : R - Platform type : S2A - WMO inst type : 854 - FLOAT SERIAL : 7427 - Date : 2019 6 13
Float : 4902915 - Cycle : 150 - PI : BRECK OWENS, STEVEN JAYNE, P.E. ROBBINS - Data mode : R - Platform type : S2A - WMO inst type : 854 - FLOAT SERIAL : 7427 - Date : 2019 6 17
Float : 4902915 - Cycle : 151 - PI : BRECK OWENS, STEVEN JAYNE, P.E. ROBBINS - Data mode : R - Platform type : S2A - WMO inst type : 854 - FLOAT SERIAL : 7427 - Date : 2019 6 23
Float : 4902927 - Cycle : 29 - PI : BRECK OWENS, STEVEN JAYNE, P.E. ROBBINS - Data mode : R - Platform type : S2A - WMO inst type : 854 - FLOAT SERIAL : 7462 - Date : 2018 9 20
Float : 4903018 - Cycle : 0 - PI : DEAN ROEMMICH - Data mode : R - Platform type : SOLO_II - WMO inst type : 853 - FLOAT SERIAL : 8775 - Date : 2019 6 5
Float : 4903022 - Cycle : 0 - PI : DEAN ROEMMICH - Data mode : R - Platform type : SOLO_II - WMO inst type : 853 - FLOAT SERIAL : 8779 - Date : 2019 6 13

Float : 4903037 - Cycle : 119 - PI : THOMAS PEACOCK - Data mode : R - Platform type : ALTO - WMO inst type : 873 - FLOAT SERIAL : 11012 - Date : 2018 9 17
Float : 4903039 - Cycle : 162 - PI : THOMAS PEACOCK - Data mode : R - Platform type : ALTO - WMO inst type : 873 - FLOAT SERIAL : 11015 - Date : 2018 9 20
Float : 4903039 - Cycle : 176 - PI : THOMAS PEACOCK - Data mode : R - Platform type : ALTO - WMO inst type : 873 - FLOAT SERIAL : 11015 - Date : 2018 9 21
Float : 4903040 - Cycle : 224 - PI : THOMAS PEACOCK - Data mode : R - Platform type : ALTO - WMO inst type : 873 - FLOAT SERIAL : 11018 - Date : 2018 9 25
Float : 4903040 - Cycle : 239 - PI : THOMAS PEACOCK - Data mode : R - Platform type : ALTO - WMO inst type : 873 - FLOAT SERIAL : 11018 - Date : 2018 9 26
Float : 4903040 - Cycle : 242 - PI : THOMAS PEACOCK - Data mode : R - Platform type : ALTO - WMO inst type : 873 - FLOAT SERIAL : 11018 - Date : 2018 9 26
Float : 4903040 - Cycle : 243 - PI : THOMAS PEACOCK - Data mode : R - Platform type : ALTO - WMO inst type : 873 - FLOAT SERIAL : 11018 - Date : 2018 9 27
Float : 4903041 - Cycle : 228 - PI : THOMAS PEACOCK - Data mode : R - Platform type : ALTO - WMO inst type : 873 - FLOAT SERIAL : 11016 - Date : 2018 10 5
Float : 4903174 - Cycle : 24 - PI : GREGORY C. JOHNSON - Data mode : A - Platform type : NAVIS_A - WMO inst type : 863 - FLOAT SERIAL : 0967 - Date : 2019 6 6
Float : 4903174 - Cycle : 25 - PI : GREGORY C. JOHNSON - Data mode : A - Platform type : NAVIS_A - WMO inst type : 863 - FLOAT SERIAL : 0967 - Date : 2019 6 16
Float : 4903174 - Cycle : 26 - PI : GREGORY C. JOHNSON - Data mode : A - Platform type : NAVIS_A - WMO inst type : 863 - FLOAT SERIAL : 0967 - Date : 2019 6 26
Float : 4903181 - Cycle : 23 - PI : GREGORY C. JOHNSON - Data mode : A - Platform type : NAVIS_A - WMO inst type : 863 - FLOAT SERIAL : 0974 - Date : 2019 6 12
Float : 4903181 - Cycle : 24 - PI : GREGORY C. JOHNSON - Data mode : A - Platform type : NAVIS_A - WMO inst type : 863 - FLOAT SERIAL : 0974 - Date : 2019 6 22
Float : 4903183 - Cycle : 22 - PI : GREGORY C. JOHNSON - Data mode : A - Platform type : NAVIS_A - WMO inst type : 863 - FLOAT SERIAL : 0977 - Date : 2019 6 2
Float : 4903183 - Cycle : 23 - PI : GREGORY C. JOHNSON - Data mode : A - Platform type : NAVIS_A - WMO inst type : 863 - FLOAT SERIAL : 0977 - Date : 2019 6 12
Float : 4903183 - Cycle : 24 - PI : GREGORY C. JOHNSON - Data mode : A - Platform type : NAVIS_A - WMO inst type : 863 - FLOAT SERIAL : 0977 - Date : 2019 6 22
Float : 4903215 - Cycle : 11 - PI : BRECK OWENS, STEVEN JAYNE, P.E. ROBBINS - Data mode : R - Platform type : S2A - WMO inst type : 854 - FLOAT SERIAL : 7525 - Date : 2019 6 1
Float : 5901012 - Cycle : 449 - PI : GREGORY C. JOHNSON - Data mode : D - Platform type : APEX - WMO inst type : 846 - FLOAT SERIAL : 2156 - Date : 2018 8 12
Float : 5901012 - Cycle : 452 - PI : GREGORY C. JOHNSON - Data mode : D - Platform type : APEX - WMO inst type : 846 - FLOAT SERIAL : 2156 - Date : 2018 9 13
Float : 5901012 - Cycle : 453 - PI : GREGORY C. JOHNSON - Data mode : D - Platform type : APEX - WMO inst type : 846 - FLOAT SERIAL : 2156 - Date : 2018 9 23
Float : 5901012 - Cycle : 454 - PI : GREGORY C. JOHNSON - Data mode : D - Platform type : APEX - WMO inst type : 846 - FLOAT SERIAL : 2156 - Date : 2018 10 4
Float : 5901012 - Cycle : 455 - PI : GREGORY C. JOHNSON - Data mode : D - Platform type : APEX - WMO inst type : 846 - FLOAT SERIAL : 2156 - Date : 2018 10 14
Float : 5901015 - Cycle : 444 - PI : GREGORY C. JOHNSON - Data mode : A - Platform type : APEX - WMO inst type : 846 - FLOAT SERIAL : 2159 - Date : 2018 7 1
Float : 5901015 - Cycle : 445 - PI : GREGORY C. JOHNSON - Data mode : A - Platform type : APEX - WMO inst type : 846 - FLOAT SERIAL : 2159 - Date : 2018 7 12
Float : 5901015 - Cycle : 446 - PI : GREGORY C. JOHNSON - Data mode : A - Platform type : APEX - WMO inst type : 846 - FLOAT SERIAL : 2159 - Date : 2018 7 22
Float : 5901091 - Cycle : 442 - PI : STEPHEN RISER - Data mode : A - Platform type : APEX - WMO inst type : 846 - FLOAT SERIAL : 2500 - Date : 2018 12 23
Float : 5901411 - Cycle : 396 - PI : GREGORY C. JOHNSON - Data mode : A - Platform type : APEX - WMO inst type : 846 - FLOAT SERIAL : 3017 - Date : 2018 7 10
Float : 5901411 - Cycle : 397 - PI : GREGORY C. JOHNSON - Data mode : A - Platform type : APEX - WMO inst type : 846 - FLOAT SERIAL : 3017 - Date : 2018 7 20
Float : 5901411 - Cycle : 398 - PI : GREGORY C. JOHNSON - Data mode : A - Platform type : APEX - WMO inst type : 846 - FLOAT SERIAL : 3017 - Date : 2018 7 31
Float : 5901411 - Cycle : 399 - PI : GREGORY C. JOHNSON - Data mode : A - Platform type : APEX - WMO inst type : 846 - FLOAT SERIAL : 3017 - Date : 2018 8 11
Float : 5901411 - Cycle : 400 - PI : GREGORY C. JOHNSON - Data mode : A - Platform type : APEX - WMO inst type : 846 - FLOAT SERIAL : 3017 - Date : 2018 8 21
Float : 5901411 - Cycle : 401 - PI : GREGORY C. JOHNSON - Data mode : A - Platform type : APEX - WMO inst type : 846 - FLOAT SERIAL : 3017 - Date : 2018 9 1
Float : 5901411 - Cycle : 402 - PI : GREGORY C. JOHNSON - Data mode : A - Platform type : APEX - WMO inst type : 846 - FLOAT SERIAL : 3017 - Date : 2018 9 12
Float : 5901411 - Cycle : 403 - PI : GREGORY C. JOHNSON - Data mode : A - Platform type : APEX - WMO inst type : 846 - FLOAT SERIAL : 3017 - Date : 2018 9 22
Float : 5901411 - Cycle : 404 - PI : GREGORY C. JOHNSON - Data mode : A - Platform type : APEX - WMO inst type : 846 - FLOAT SERIAL : 3017 - Date : 2018 10 3
Float : 5901411 - Cycle : 405 - PI : GREGORY C. JOHNSON - Data mode : A - Platform type : APEX - WMO inst type : 846 - FLOAT SERIAL : 3017 - Date : 2018 10 13
Float : 5901411 - Cycle : 406 - PI : GREGORY C. JOHNSON - Data mode : A - Platform type : APEX - WMO inst type : 846 - FLOAT SERIAL : 3017 - Date : 2018 10 24
Float : 5901411 - Cycle : 407 - PI : GREGORY C. JOHNSON - Data mode : A - Platform type : APEX - WMO inst type : 846 - FLOAT SERIAL : 3017 - Date : 2018 11 4
Float : 5901411 - Cycle : 408 - PI : GREGORY C. JOHNSON - Data mode : A - Platform type : APEX - WMO inst type : 846 - FLOAT SERIAL : 3017 - Date : 2018 11 14
Float : 5901411 - Cycle : 409 - PI : GREGORY C. JOHNSON - Data mode : A - Platform type : APEX - WMO inst type : 846 - FLOAT SERIAL : 3017 - Date : 2018 11 25
Float : 5901411 - Cycle : 410 - PI : GREGORY C. JOHNSON - Data mode : A - Platform type : APEX - WMO inst type : 846 - FLOAT SERIAL : 3017 - Date : 2018 12 6
Float : 5901411 - Cycle : 411 - PI : GREGORY C. JOHNSON - Data mode : A - Platform type : APEX - WMO inst type : 846 - FLOAT SERIAL : 3017 - Date : 2018 12 16
Float : 5901411 - Cycle : 412 - PI : GREGORY C. JOHNSON - Data mode : A - Platform type : APEX - WMO inst type : 846 - FLOAT SERIAL : 3017 - Date : 2018 12 27
Float : 5901411 - Cycle : 413 - PI : GREGORY C. JOHNSON - Data mode : A - Platform type : APEX - WMO inst type : 846 - FLOAT SERIAL : 3017 - Date : 2019 1 6
Float : 5901411 - Cycle : 414 - PI : GREGORY C. JOHNSON - Data mode : A - Platform type : APEX - WMO inst type : 846 - FLOAT SERIAL : 3017 - Date : 2019 1 17
Float : 5901411 - Cycle : 415 - PI : GREGORY C. JOHNSON - Data mode : A - Platform type : APEX - WMO inst type : 846 - FLOAT SERIAL : 3017 - Date : 2019 1 28
Float : 5901411 - Cycle : 416 - PI : GREGORY C. JOHNSON - Data mode : A - Platform type : APEX - WMO inst type : 846 - FLOAT SERIAL : 3017 - Date : 2019 2 7
Float : 5901411 - Cycle : 417 - PI : GREGORY C. JOHNSON - Data mode : A - Platform type : APEX - WMO inst type : 846 - FLOAT SERIAL : 3017 - Date : 2019 2 18
Float : 5901411 - Cycle : 418 - PI : GREGORY C. JOHNSON - Data mode : A - Platform type : APEX - WMO inst type : 846 - FLOAT SERIAL : 3017 - Date : 2019 3 1
Float : 5901411 - Cycle : 419 - PI : GREGORY C. JOHNSON - Data mode : A - Platform type : APEX - WMO inst type : 846 - FLOAT SERIAL : 3017 - Date : 2019 3 11
Float : 5901411 - Cycle : 420 - PI : GREGORY C. JOHNSON - Data mode : A - Platform type : APEX - WMO inst type : 846 - FLOAT SERIAL : 3017 - Date : 2019 3 22
Float : 5901411 - Cycle : 427 - PI : GREGORY C. JOHNSON - Data mode : A - Platform type : APEX - WMO inst type : 846 - FLOAT SERIAL : 3017 - Date : 2019 6 4
Float : 5901411 - Cycle : 428 - PI : GREGORY C. JOHNSON - Data mode : A - Platform type : APEX - WMO inst type : 846 - FLOAT SERIAL : 3017 - Date : 2019 6 15
Float : 5901411 - Cycle : 429 - PI : GREGORY C. JOHNSON - Data mode : A - Platform type : APEX - WMO inst type : 846 - FLOAT SERIAL : 3017 - Date : 2019 6 25
Float : 5902133 - Cycle : 335 - PI : STEPHEN RISER - Data mode : A - Platform type : APEX - WMO inst type : 846 - FLOAT SERIAL : 4329 - Date : 2018 7 15
Float : 5902232 - Cycle : 339 - PI : GREGORY C. JOHNSON - Data mode : A - Platform type : APEX - WMO inst type : 846 - FLOAT SERIAL : 4179 - Date : 2019 5 29
Float : 5902234 - Cycle : 325 - PI : GREGORY C. JOHNSON - Data mode : A - Platform type : APEX - WMO inst type : 846 - FLOAT SERIAL : 4181 - Date : 2018 11 12
Float : 5902243 - Cycle : 327 - PI : GREGORY C. JOHNSON - Data mode : A - Platform type : APEX - WMO inst type : 846 - FLOAT SERIAL : 4305 - Date : 2018 10 27
Float : 5902243 - Cycle : 328 - PI : GREGORY C. JOHNSON - Data mode : A - Platform type : APEX - WMO inst type : 846 - FLOAT SERIAL : 4305 - Date : 2018 11 7
Float : 5902243 - Cycle : 329 - PI : GREGORY C. JOHNSON - Data mode : A - Platform type : APEX - WMO inst type : 846 - FLOAT SERIAL : 4305 - Date : 2018 11 18
Float : 5902243 - Cycle : 330 - PI : GREGORY C. JOHNSON - Data mode : A - Platform type : APEX - WMO inst type : 846 - FLOAT SERIAL : 4305 - Date : 2018 11 28
Float : 5902243 - Cycle : 333 - PI : GREGORY C. JOHNSON - Data mode : A - Platform type : APEX - WMO inst type : 846 - FLOAT SERIAL : 4305 - Date : 2018 12 30
Float : 5902243 - Cycle : 334 - PI : GREGORY C. JOHNSON - Data mode : A - Platform type : APEX - WMO inst type : 846 - FLOAT SERIAL : 4305 - Date : 2019 1 10
Float : 5902243 - Cycle : 335 - PI : GREGORY C. JOHNSON - Data mode : A - Platform type : APEX - WMO inst type : 846 - FLOAT SERIAL : 4305 - Date : 2019 1 21
Float : 5902243 - Cycle : 347 - PI : GREGORY C. JOHNSON - Data mode : A - Platform type : APEX - WMO inst type : 846 - FLOAT SERIAL : 4305 - Date : 2019 5 29
Float : 5902243 - Cycle : 348 - PI : GREGORY C. JOHNSON - Data mode : A - Platform type : APEX - WMO inst type : 846 - FLOAT SERIAL : 4305 - Date : 2019 6 8
Float : 5902243 - Cycle : 349 - PI : GREGORY C. JOHNSON - Data mode : A - Platform type : APEX - WMO inst type : 846 - FLOAT SERIAL : 4305 - Date : 2019 6 19
Float : 5902372 - Cycle : 153 - PI : DEAN ROEMMICH - Data mode : A - Platform type : SOLO_II - WMO inst type : 853 - FLOAT SERIAL : 8293 - Date : 2018 12 31
Float : 5902391 - Cycle : 138 - PI : DEAN ROEMMICH - Data mode : R - Platform type : SOLO_II - WMO inst type : 853 - FLOAT SERIAL : 8343 - Date : 2019 5 22
Float : 5902391 - Cycle : 139 - PI : DEAN ROEMMICH - Data mode : R - Platform type : SOLO_II - WMO inst type : 853 - FLOAT SERIAL : 8343 - Date : 2019 6 1
Float : 5902391 - Cycle : 140 - PI : DEAN ROEMMICH - Data mode : R - Platform type : SOLO_II - WMO inst type : 853 - FLOAT SERIAL : 8343 - Date : 2019 6 11
Float : 5902438 - Cycle : 135 - PI : DEAN ROEMMICH - Data mode : R - Platform type : SOLO_II - WMO inst type : 853 - FLOAT SERIAL : 8425 - Date : 2019 6 7
Float : 5902452 - Cycle : 118 - PI : DEAN ROEMMICH - Data mode : D - Platform type : SOLO_II - WMO inst type : 853 - FLOAT SERIAL : 8443 - Date : 2019 6 2
Float : 5902468 - Cycle : 75 - PI : DEAN ROEMMICH - Data mode : A - Platform type : SOLO_II - WMO inst type : 853 - FLOAT SERIAL : 8467 - Date : 2018 9 24
Float : 5902504 - Cycle : 94 - PI : DEAN ROEMMICH - Data mode : A - Platform type : SOLO_II - WMO inst type : 853 - FLOAT SERIAL : 8514 - Date : 2019 6 5
Float : 5903347 - Cycle : 276 - PI : STEPHEN RISER - Data mode : A - Platform type : APEX - WMO inst type : 846 - FLOAT SERIAL : 5067 - Date : 2018 7 1
Float : 5903347 - Cycle : 277 - PI : STEPHEN RISER - Data mode : A - Platform type : APEX - WMO inst type : 846 - FLOAT SERIAL : 5067 - Date : 2018 7 11
Float : 5903413 - Cycle : 245 - PI : STEPHEN RISER - Data mode : A - Platform type : APEX - WMO inst type : 846 - FLOAT SERIAL : 5575 - Date : 2018 8 13
Float : 5903431 - Cycle : 244 - PI : STEPHEN RISER - Data mode : A - Platform type : APEX - WMO inst type : 846 - FLOAT SERIAL : 5226 - Date : 2018 7 5

Float : 5903431 - Cycle : 251 - PI : STEPHEN RISER - Data mode : A - Platform type : APEX - WMO inst type : 846 - FLOAT SERIAL : 5226 - Date : 2018 9 14
Float : 5903431 - Cycle : 252 - PI : STEPHEN RISER - Data mode : A - Platform type : APEX - WMO inst type : 846 - FLOAT SERIAL : 5226 - Date : 2018 9 24
Float : 5903431 - Cycle : 257 - PI : STEPHEN RISER - Data mode : A - Platform type : APEX - WMO inst type : 846 - FLOAT SERIAL : 5226 - Date : 2018 11 14
Float : 5903431 - Cycle : 260 - PI : STEPHEN RISER - Data mode : A - Platform type : APEX - WMO inst type : 846 - FLOAT SERIAL : 5226 - Date : 2018 12 15
Float : 5903435 - Cycle : 210 - PI : STEPHEN RISER - Data mode : A - Platform type : APEX - WMO inst type : 846 - FLOAT SERIAL : 5231 - Date : 2018 9 24
Float : 5903553 - Cycle : 232 - PI : GREGORY C. JOHNSON - Data mode : A - Platform type : APEX - WMO inst type : 846 - FLOAT SERIAL : 4638 - Date : 2018 7 3
Float : 5903978 - Cycle : 202 - PI : STEPHEN RISER - Data mode : A - Platform type : APEX - WMO inst type : 846 - FLOAT SERIAL : 6119 - Date : 2018 7 5
Float : 5903978 - Cycle : 204 - PI : STEPHEN RISER - Data mode : A - Platform type : APEX - WMO inst type : 846 - FLOAT SERIAL : 6119 - Date : 2018 7 26
Float : 5903978 - Cycle : 206 - PI : STEPHEN RISER - Data mode : A - Platform type : APEX - WMO inst type : 846 - FLOAT SERIAL : 6119 - Date : 2018 8 15
Float : 5903978 - Cycle : 209 - PI : STEPHEN RISER - Data mode : A - Platform type : APEX - WMO inst type : 846 - FLOAT SERIAL : 6119 - Date : 2018 9 14
Float : 5903978 - Cycle : 210 - PI : STEPHEN RISER - Data mode : A - Platform type : APEX - WMO inst type : 846 - FLOAT SERIAL : 6119 - Date : 2018 9 25
Float : 5903978 - Cycle : 211 - PI : STEPHEN RISER - Data mode : A - Platform type : APEX - WMO inst type : 846 - FLOAT SERIAL : 6119 - Date : 2018 10 5
Float : 5903978 - Cycle : 213 - PI : STEPHEN RISER - Data mode : A - Platform type : APEX - WMO inst type : 846 - FLOAT SERIAL : 6119 - Date : 2018 10 25
Float : 5903978 - Cycle : 219 - PI : STEPHEN RISER - Data mode : A - Platform type : APEX - WMO inst type : 846 - FLOAT SERIAL : 6119 - Date : 2018 12 25
Float : 5903981 - Cycle : 202 - PI : STEPHEN RISER - Data mode : A - Platform type : APEX - WMO inst type : 846 - FLOAT SERIAL : 6219 - Date : 2018 7 8
Float : 5903981 - Cycle : 203 - PI : STEPHEN RISER - Data mode : A - Platform type : APEX - WMO inst type : 846 - FLOAT SERIAL : 6219 - Date : 2018 7 18
Float : 5903982 - Cycle : 202 - PI : STEPHEN RISER - Data mode : A - Platform type : APEX - WMO inst type : 846 - FLOAT SERIAL : 6220 - Date : 2018 7 10
Float : 5903982 - Cycle : 205 - PI : STEPHEN RISER - Data mode : A - Platform type : APEX - WMO inst type : 846 - FLOAT SERIAL : 6220 - Date : 2018 8 9
Float : 5903982 - Cycle : 206 - PI : STEPHEN RISER - Data mode : A - Platform type : APEX - WMO inst type : 846 - FLOAT SERIAL : 6220 - Date : 2018 8 20
Float : 5903982 - Cycle : 213 - PI : STEPHEN RISER - Data mode : A - Platform type : APEX - WMO inst type : 846 - FLOAT SERIAL : 6220 - Date : 2018 10 30
Float : 5903982 - Cycle : 214 - PI : STEPHEN RISER - Data mode : A - Platform type : APEX - WMO inst type : 846 - FLOAT SERIAL : 6220 - Date : 2018 11 9
Float : 5903982 - Cycle : 216 - PI : STEPHEN RISER - Data mode : A - Platform type : APEX - WMO inst type : 846 - FLOAT SERIAL : 6220 - Date : 2018 11 29
Float : 5903982 - Cycle : 218 - PI : STEPHEN RISER - Data mode : A - Platform type : APEX - WMO inst type : 846 - FLOAT SERIAL : 6220 - Date : 2018 12 19
Float : 5903982 - Cycle : 219 - PI : STEPHEN RISER - Data mode : A - Platform type : APEX - WMO inst type : 846 - FLOAT SERIAL : 6220 - Date : 2018 12 30
Float : 5903987 - Cycle : 201 - PI : STEPHEN RISER - Data mode : A - Platform type : APEX - WMO inst type : 846 - FLOAT SERIAL : 6225 - Date : 2018 7 4
Float : 5903987 - Cycle : 203 - PI : STEPHEN RISER - Data mode : A - Platform type : APEX - WMO inst type : 846 - FLOAT SERIAL : 6225 - Date : 2018 7 25
Float : 5903987 - Cycle : 205 - PI : STEPHEN RISER - Data mode : A - Platform type : APEX - WMO inst type : 846 - FLOAT SERIAL : 6225 - Date : 2018 8 14
Float : 5903987 - Cycle : 206 - PI : STEPHEN RISER - Data mode : A - Platform type : APEX - WMO inst type : 846 - FLOAT SERIAL : 6225 - Date : 2018 8 24
Float : 5903987 - Cycle : 208 - PI : STEPHEN RISER - Data mode : A - Platform type : APEX - WMO inst type : 846 - FLOAT SERIAL : 6225 - Date : 2018 9 14
Float : 5903987 - Cycle : 210 - PI : STEPHEN RISER - Data mode : A - Platform type : APEX - WMO inst type : 846 - FLOAT SERIAL : 6225 - Date : 2018 10 4
Float : 5903987 - Cycle : 211 - PI : STEPHEN RISER - Data mode : A - Platform type : APEX - WMO inst type : 846 - FLOAT SERIAL : 6225 - Date : 2018 10 14
Float : 5903987 - Cycle : 212 - PI : STEPHEN RISER - Data mode : A - Platform type : APEX - WMO inst type : 846 - FLOAT SERIAL : 6225 - Date : 2018 10 24
Float : 5903987 - Cycle : 213 - PI : STEPHEN RISER - Data mode : A - Platform type : APEX - WMO inst type : 846 - FLOAT SERIAL : 6225 - Date : 2018 11 3
Float : 5903987 - Cycle : 214 - PI : STEPHEN RISER - Data mode : A - Platform type : APEX - WMO inst type : 846 - FLOAT SERIAL : 6225 - Date : 2018 11 14
Float : 5903987 - Cycle : 216 - PI : STEPHEN RISER - Data mode : A - Platform type : APEX - WMO inst type : 846 - FLOAT SERIAL : 6225 - Date : 2018 12 4
Float : 5903987 - Cycle : 217 - PI : STEPHEN RISER - Data mode : A - Platform type : APEX - WMO inst type : 846 - FLOAT SERIAL : 6225 - Date : 2018 12 14
Float : 5903990 - Cycle : 206 - PI : STEPHEN RISER - Data mode : A - Platform type : APEX - WMO inst type : 846 - FLOAT SERIAL : 6121 - Date : 2018 8 4
Float : 5903990 - Cycle : 207 - PI : STEPHEN RISER - Data mode : A - Platform type : APEX - WMO inst type : 846 - FLOAT SERIAL : 6121 - Date : 2018 8 14
Float : 5903990 - Cycle : 208 - PI : STEPHEN RISER - Data mode : A - Platform type : APEX - WMO inst type : 846 - FLOAT SERIAL : 6121 - Date : 2018 8 25
Float : 5903990 - Cycle : 211 - PI : STEPHEN RISER - Data mode : A - Platform type : APEX - WMO inst type : 846 - FLOAT SERIAL : 6121 - Date : 2018 9 24
Float : 5903990 - Cycle : 212 - PI : STEPHEN RISER - Data mode : A - Platform type : APEX - WMO inst type : 846 - FLOAT SERIAL : 6121 - Date : 2018 10 4
Float : 5903990 - Cycle : 213 - PI : STEPHEN RISER - Data mode : A - Platform type : APEX - WMO inst type : 846 - FLOAT SERIAL : 6121 - Date : 2018 10 14
Float : 5903990 - Cycle : 217 - PI : STEPHEN RISER - Data mode : A - Platform type : APEX - WMO inst type : 846 - FLOAT SERIAL : 6121 - Date : 2018 11 24
Float : 5903990 - Cycle : 218 - PI : STEPHEN RISER - Data mode : A - Platform type : APEX - WMO inst type : 846 - FLOAT SERIAL : 6121 - Date : 2018 12 4
Float : 5903990 - Cycle : 219 - PI : STEPHEN RISER - Data mode : A - Platform type : APEX - WMO inst type : 846 - FLOAT SERIAL : 6121 - Date : 2018 12 14
Float : 5904045 - Cycle : 3 - PI : GREGORY C. JOHNSON - Data mode : A - Platform type : NAVIS_A - WMO inst type : 863 - FLOAT SERIAL : 0147 - Date : 2012 6 13
Float : 5904130 - Cycle : 188 - PI : STEPHEN RISER - Data mode : A - Platform type : APEX - WMO inst type : 846 - FLOAT SERIAL : 6428 - Date : 2018 10 13
Float : 5904398 - Cycle : 141 - PI : STEPHEN RISER - Data mode : A - Platform type : APEX - WMO inst type : 846 - FLOAT SERIAL : 6122 - Date : 2018 7 7
Float : 5904398 - Cycle : 156 - PI : STEPHEN RISER - Data mode : A - Platform type : APEX - WMO inst type : 846 - FLOAT SERIAL : 6122 - Date : 2018 12 7
Float : 5904398 - Cycle : 157 - PI : STEPHEN RISER - Data mode : A - Platform type : APEX - WMO inst type : 846 - FLOAT SERIAL : 6122 - Date : 2018 12 17
Float : 5904399 - Cycle : 153 - PI : STEPHEN RISER - Data mode : A - Platform type : APEX - WMO inst type : 846 - FLOAT SERIAL : 6928 - Date : 2018 10 3
Float : 5904399 - Cycle : 157 - PI : STEPHEN RISER - Data mode : A - Platform type : APEX - WMO inst type : 846 - FLOAT SERIAL : 6928 - Date : 2018 11 13
Float : 5904401 - Cycle : 141 - PI : STEPHEN RISER - Data mode : A - Platform type : APEX - WMO inst type : 846 - FLOAT SERIAL : 6930 - Date : 2018 7 6
Float : 5904401 - Cycle : 143 - PI : STEPHEN RISER - Data mode : A - Platform type : APEX - WMO inst type : 846 - FLOAT SERIAL : 6930 - Date : 2018 7 27
Float : 5904401 - Cycle : 146 - PI : STEPHEN RISER - Data mode : A - Platform type : APEX - WMO inst type : 846 - FLOAT SERIAL : 6930 - Date : 2018 8 26
Float : 5904401 - Cycle : 154 - PI : STEPHEN RISER - Data mode : A - Platform type : APEX - WMO inst type : 846 - FLOAT SERIAL : 6930 - Date : 2018 11 15
Float : 5904401 - Cycle : 155 - PI : STEPHEN RISER - Data mode : A - Platform type : APEX - WMO inst type : 846 - FLOAT SERIAL : 6930 - Date : 2018 11 26
Float : 5904401 - Cycle : 174 - PI : STEPHEN RISER - Data mode : A - Platform type : APEX - WMO inst type : 846 - FLOAT SERIAL : 6930 - Date : 2019 6 7
Float : 5904401 - Cycle : 175 - PI : STEPHEN RISER - Data mode : A - Platform type : APEX - WMO inst type : 846 - FLOAT SERIAL : 6930 - Date : 2019 6 17
Float : 5904402 - Cycle : 141 - PI : STEPHEN RISER - Data mode : A - Platform type : APEX - WMO inst type : 846 - FLOAT SERIAL : 6931 - Date : 2018 7 9
Float : 5904402 - Cycle : 154 - PI : STEPHEN RISER - Data mode : A - Platform type : APEX - WMO inst type : 846 - FLOAT SERIAL : 6931 - Date : 2018 11 18
Float : 5904407 - Cycle : 145 - PI : STEPHEN RISER - Data mode : A - Platform type : APEX - WMO inst type : 846 - FLOAT SERIAL : 6936 - Date : 2018 7 14
Float : 5904407 - Cycle : 149 - PI : STEPHEN RISER - Data mode : A - Platform type : APEX - WMO inst type : 846 - FLOAT SERIAL : 6936 - Date : 2018 8 24
Float : 5904407 - Cycle : 151 - PI : STEPHEN RISER - Data mode : A - Platform type : APEX - WMO inst type : 846 - FLOAT SERIAL : 6936 - Date : 2018 9 14
Float : 5904407 - Cycle : 154 - PI : STEPHEN RISER - Data mode : A - Platform type : APEX - WMO inst type : 846 - FLOAT SERIAL : 6936 - Date : 2018 10 14
Float : 5904407 - Cycle : 157 - PI : STEPHEN RISER - Data mode : A - Platform type : APEX - WMO inst type : 846 - FLOAT SERIAL : 6936 - Date : 2018 11 14
Float : 5904407 - Cycle : 158 - PI : STEPHEN RISER - Data mode : A - Platform type : APEX - WMO inst type : 846 - FLOAT SERIAL : 6936 - Date : 2018 11 24
Float : 5904407 - Cycle : 159 - PI : STEPHEN RISER - Data mode : A - Platform type : APEX - WMO inst type : 846 - FLOAT SERIAL : 6936 - Date : 2018 12 4
Float : 5904407 - Cycle : 160 - PI : STEPHEN RISER - Data mode : A - Platform type : APEX - WMO inst type : 846 - FLOAT SERIAL : 6936 - Date : 2018 12 14
Float : 5904446 - Cycle : 55 - PI : STEPHEN RISER - Data mode : D - Platform type : APEX - WMO inst type : 846 - FLOAT SERIAL : 6948 - Date : 2016 4 15
Float : 5904446 - Cycle : 56 - PI : STEPHEN RISER - Data mode : D - Platform type : APEX - WMO inst type : 846 - FLOAT SERIAL : 6948 - Date : 2016 4 25
Float : 5904446 - Cycle : 57 - PI : STEPHEN RISER - Data mode : D - Platform type : APEX - WMO inst type : 846 - FLOAT SERIAL : 6948 - Date : 2016 5 5
Float : 5904446 - Cycle : 58 - PI : STEPHEN RISER - Data mode : D - Platform type : APEX - WMO inst type : 846 - FLOAT SERIAL : 6948 - Date : 2016 5 16
Float : 5904446 - Cycle : 59 - PI : STEPHEN RISER - Data mode : D - Platform type : APEX - WMO inst type : 846 - FLOAT SERIAL : 6948 - Date : 2016 5 26
Float : 5904446 - Cycle : 60 - PI : STEPHEN RISER - Data mode : D - Platform type : APEX - WMO inst type : 846 - FLOAT SERIAL : 6948 - Date : 2016 6 5
Float : 5904446 - Cycle : 61 - PI : STEPHEN RISER - Data mode : A - Platform type : APEX - WMO inst type : 846 - FLOAT SERIAL : 6948 - Date : 2016 6 15
Float : 5904446 - Cycle : 62 - PI : STEPHEN RISER - Data mode : A - Platform type : APEX - WMO inst type : 846 - FLOAT SERIAL : 6948 - Date : 2016 6 25
Float : 5904446 - Cycle : 63 - PI : STEPHEN RISER - Data mode : A - Platform type : APEX - WMO inst type : 846 - FLOAT SERIAL : 6948 - Date : 2016 7 5
Float : 5904446 - Cycle : 64 - PI : STEPHEN RISER - Data mode : A - Platform type : APEX - WMO inst type : 846 - FLOAT SERIAL : 6948 - Date : 2016 7 16

Float : 5904446 - Cycle : 65 - PI : STEPHEN RISER - Data mode : A - Platform type : APEX - WMO inst type : 846 - FLOAT SERIAL : 6948 - Date : 2016 7 26
Float : 5904446 - Cycle : 66 - PI : STEPHEN RISER - Data mode : A - Platform type : APEX - WMO inst type : 846 - FLOAT SERIAL : 6948 - Date : 2016 8 5
Float : 5904446 - Cycle : 67 - PI : STEPHEN RISER - Data mode : A - Platform type : APEX - WMO inst type : 846 - FLOAT SERIAL : 6948 - Date : 2016 8 15
Float : 5904446 - Cycle : 68 - PI : STEPHEN RISER - Data mode : A - Platform type : APEX - WMO inst type : 846 - FLOAT SERIAL : 6948 - Date : 2016 8 25
Float : 5904446 - Cycle : 69 - PI : STEPHEN RISER - Data mode : A - Platform type : APEX - WMO inst type : 846 - FLOAT SERIAL : 6948 - Date : 2016 9 4
Float : 5904446 - Cycle : 70 - PI : STEPHEN RISER - Data mode : A - Platform type : APEX - WMO inst type : 846 - FLOAT SERIAL : 6948 - Date : 2016 9 15
Float : 5904446 - Cycle : 71 - PI : STEPHEN RISER - Data mode : A - Platform type : APEX - WMO inst type : 846 - FLOAT SERIAL : 6948 - Date : 2016 9 25
Float : 5904446 - Cycle : 72 - PI : STEPHEN RISER - Data mode : A - Platform type : APEX - WMO inst type : 846 - FLOAT SERIAL : 6948 - Date : 2016 10 5
Float : 5904446 - Cycle : 73 - PI : STEPHEN RISER - Data mode : A - Platform type : APEX - WMO inst type : 846 - FLOAT SERIAL : 6948 - Date : 2016 10 15
Float : 5904446 - Cycle : 74 - PI : STEPHEN RISER - Data mode : A - Platform type : APEX - WMO inst type : 846 - FLOAT SERIAL : 6948 - Date : 2016 10 25
Float : 5904446 - Cycle : 75 - PI : STEPHEN RISER - Data mode : A - Platform type : APEX - WMO inst type : 846 - FLOAT SERIAL : 6948 - Date : 2016 11 4
Float : 5904446 - Cycle : 76 - PI : STEPHEN RISER - Data mode : A - Platform type : APEX - WMO inst type : 846 - FLOAT SERIAL : 6948 - Date : 2016 11 15
Float : 5904446 - Cycle : 77 - PI : STEPHEN RISER - Data mode : A - Platform type : APEX - WMO inst type : 846 - FLOAT SERIAL : 6948 - Date : 2016 11 25
Float : 5904446 - Cycle : 78 - PI : STEPHEN RISER - Data mode : A - Platform type : APEX - WMO inst type : 846 - FLOAT SERIAL : 6948 - Date : 2016 12 5
Float : 5904446 - Cycle : 79 - PI : STEPHEN RISER - Data mode : A - Platform type : APEX - WMO inst type : 846 - FLOAT SERIAL : 6948 - Date : 2016 12 15
Float : 5904446 - Cycle : 85 - PI : STEPHEN RISER - Data mode : A - Platform type : APEX - WMO inst type : 846 - FLOAT SERIAL : 6948 - Date : 2017 2 14
Float : 5904446 - Cycle : 86 - PI : STEPHEN RISER - Data mode : A - Platform type : APEX - WMO inst type : 846 - FLOAT SERIAL : 6948 - Date : 2017 2 24
Float : 5904446 - Cycle : 87 - PI : STEPHEN RISER - Data mode : A - Platform type : APEX - WMO inst type : 846 - FLOAT SERIAL : 6948 - Date : 2017 3 6
Float : 5904446 - Cycle : 88 - PI : STEPHEN RISER - Data mode : A - Platform type : APEX - WMO inst type : 846 - FLOAT SERIAL : 6948 - Date : 2017 3 17
Float : 5904446 - Cycle : 89 - PI : STEPHEN RISER - Data mode : A - Platform type : APEX - WMO inst type : 846 - FLOAT SERIAL : 6948 - Date : 2017 3 27
Float : 5904446 - Cycle : 90 - PI : STEPHEN RISER - Data mode : A - Platform type : APEX - WMO inst type : 846 - FLOAT SERIAL : 6948 - Date : 2017 4 6
Float : 5904446 - Cycle : 91 - PI : STEPHEN RISER - Data mode : A - Platform type : APEX - WMO inst type : 846 - FLOAT SERIAL : 6948 - Date : 2017 4 16
Float : 5904446 - Cycle : 92 - PI : STEPHEN RISER - Data mode : A - Platform type : APEX - WMO inst type : 846 - FLOAT SERIAL : 6948 - Date : 2017 4 26
Float : 5904446 - Cycle : 93 - PI : STEPHEN RISER - Data mode : A - Platform type : APEX - WMO inst type : 846 - FLOAT SERIAL : 6948 - Date : 2017 5 6
Float : 5904446 - Cycle : 94 - PI : STEPHEN RISER - Data mode : A - Platform type : APEX - WMO inst type : 846 - FLOAT SERIAL : 6948 - Date : 2017 5 17
Float : 5904446 - Cycle : 95 - PI : STEPHEN RISER - Data mode : A - Platform type : APEX - WMO inst type : 846 - FLOAT SERIAL : 6948 - Date : 2017 5 27
Float : 5904446 - Cycle : 96 - PI : STEPHEN RISER - Data mode : A - Platform type : APEX - WMO inst type : 846 - FLOAT SERIAL : 6948 - Date : 2017 6 6
Float : 5904446 - Cycle : 97 - PI : STEPHEN RISER - Data mode : A - Platform type : APEX - WMO inst type : 846 - FLOAT SERIAL : 6948 - Date : 2017 6 16
Float : 5904446 - Cycle : 98 - PI : STEPHEN RISER - Data mode : A - Platform type : APEX - WMO inst type : 846 - FLOAT SERIAL : 6948 - Date : 2017 6 26
Float : 5904446 - Cycle : 99 - PI : STEPHEN RISER - Data mode : A - Platform type : APEX - WMO inst type : 846 - FLOAT SERIAL : 6948 - Date : 2017 7 6
Float : 5904446 - Cycle : 100 - PI : STEPHEN RISER - Data mode : A - Platform type : APEX - WMO inst type : 846 - FLOAT SERIAL : 6948 - Date : 2017 7 17
Float : 5904446 - Cycle : 101 - PI : STEPHEN RISER - Data mode : A - Platform type : APEX - WMO inst type : 846 - FLOAT SERIAL : 6948 - Date : 2017 7 27
Float : 5904446 - Cycle : 102 - PI : STEPHEN RISER - Data mode : A - Platform type : APEX - WMO inst type : 846 - FLOAT SERIAL : 6948 - Date : 2017 8 6
Float : 5904446 - Cycle : 103 - PI : STEPHEN RISER - Data mode : A - Platform type : APEX - WMO inst type : 846 - FLOAT SERIAL : 6948 - Date : 2017 8 16
Float : 5904446 - Cycle : 104 - PI : STEPHEN RISER - Data mode : A - Platform type : APEX - WMO inst type : 846 - FLOAT SERIAL : 6948 - Date : 2017 8 26
Float : 5904446 - Cycle : 105 - PI : STEPHEN RISER - Data mode : A - Platform type : APEX - WMO inst type : 846 - FLOAT SERIAL : 6948 - Date : 2017 9 5
Float : 5904446 - Cycle : 106 - PI : STEPHEN RISER - Data mode : A - Platform type : APEX - WMO inst type : 846 - FLOAT SERIAL : 6948 - Date : 2017 9 16
Float : 5904446 - Cycle : 107 - PI : STEPHEN RISER - Data mode : A - Platform type : APEX - WMO inst type : 846 - FLOAT SERIAL : 6948 - Date : 2017 9 26
Float : 5904446 - Cycle : 108 - PI : STEPHEN RISER - Data mode : A - Platform type : APEX - WMO inst type : 846 - FLOAT SERIAL : 6948 - Date : 2017 10 6
Float : 5904446 - Cycle : 109 - PI : STEPHEN RISER - Data mode : A - Platform type : APEX - WMO inst type : 846 - FLOAT SERIAL : 6948 - Date : 2017 10 16
Float : 5904446 - Cycle : 110 - PI : STEPHEN RISER - Data mode : A - Platform type : APEX - WMO inst type : 846 - FLOAT SERIAL : 6948 - Date : 2017 10 26
Float : 5904446 - Cycle : 111 - PI : STEPHEN RISER - Data mode : A - Platform type : APEX - WMO inst type : 846 - FLOAT SERIAL : 6948 - Date : 2017 11 5
Float : 5904446 - Cycle : 112 - PI : STEPHEN RISER - Data mode : A - Platform type : APEX - WMO inst type : 846 - FLOAT SERIAL : 6948 - Date : 2017 11 16
Float : 5904446 - Cycle : 113 - PI : STEPHEN RISER - Data mode : A - Platform type : APEX - WMO inst type : 846 - FLOAT SERIAL : 6948 - Date : 2017 11 26
Float : 5904446 - Cycle : 115 - PI : STEPHEN RISER - Data mode : A - Platform type : APEX - WMO inst type : 846 - FLOAT SERIAL : 6948 - Date : 2017 12 16
Float : 5904446 - Cycle : 116 - PI : STEPHEN RISER - Data mode : A - Platform type : APEX - WMO inst type : 846 - FLOAT SERIAL : 6948 - Date : 2017 12 26
Float : 5904446 - Cycle : 118 - PI : STEPHEN RISER - Data mode : A - Platform type : APEX - WMO inst type : 846 - FLOAT SERIAL : 6948 - Date : 2018 1 16
Float : 5904446 - Cycle : 119 - PI : STEPHEN RISER - Data mode : A - Platform type : APEX - WMO inst type : 846 - FLOAT SERIAL : 6948 - Date : 2018 1 26
Float : 5904446 - Cycle : 120 - PI : STEPHEN RISER - Data mode : A - Platform type : APEX - WMO inst type : 846 - FLOAT SERIAL : 6948 - Date : 2018 2 5
Float : 5904446 - Cycle : 121 - PI : STEPHEN RISER - Data mode : A - Platform type : APEX - WMO inst type : 846 - FLOAT SERIAL : 6948 - Date : 2018 2 15
Float : 5904446 - Cycle : 122 - PI : STEPHEN RISER - Data mode : A - Platform type : APEX - WMO inst type : 846 - FLOAT SERIAL : 6948 - Date : 2018 2 25
Float : 5904446 - Cycle : 123 - PI : STEPHEN RISER - Data mode : A - Platform type : APEX - WMO inst type : 846 - FLOAT SERIAL : 6948 - Date : 2018 3 7
Float : 5904446 - Cycle : 124 - PI : STEPHEN RISER - Data mode : A - Platform type : APEX - WMO inst type : 846 - FLOAT SERIAL : 6948 - Date : 2018 3 18
Float : 5904446 - Cycle : 125 - PI : STEPHEN RISER - Data mode : A - Platform type : APEX - WMO inst type : 846 - FLOAT SERIAL : 6948 - Date : 2018 3 28
Float : 5904446 - Cycle : 126 - PI : STEPHEN RISER - Data mode : A - Platform type : APEX - WMO inst type : 846 - FLOAT SERIAL : 6948 - Date : 2018 4 7
Float : 5904446 - Cycle : 127 - PI : STEPHEN RISER - Data mode : A - Platform type : APEX - WMO inst type : 846 - FLOAT SERIAL : 6948 - Date : 2018 4 17
Float : 5904446 - Cycle : 128 - PI : STEPHEN RISER - Data mode : A - Platform type : APEX - WMO inst type : 846 - FLOAT SERIAL : 6948 - Date : 2018 4 27
Float : 5904446 - Cycle : 129 - PI : STEPHEN RISER - Data mode : A - Platform type : APEX - WMO inst type : 846 - FLOAT SERIAL : 6948 - Date : 2018 5 7
Float : 5904446 - Cycle : 130 - PI : STEPHEN RISER - Data mode : A - Platform type : APEX - WMO inst type : 846 - FLOAT SERIAL : 6948 - Date : 2018 5 18
Float : 5904446 - Cycle : 131 - PI : STEPHEN RISER - Data mode : A - Platform type : APEX - WMO inst type : 846 - FLOAT SERIAL : 6948 - Date : 2018 5 28
Float : 5904446 - Cycle : 132 - PI : STEPHEN RISER - Data mode : A - Platform type : APEX - WMO inst type : 846 - FLOAT SERIAL : 6948 - Date : 2018 6 7
Float : 5904446 - Cycle : 133 - PI : STEPHEN RISER - Data mode : A - Platform type : APEX - WMO inst type : 846 - FLOAT SERIAL : 6948 - Date : 2018 6 17
Float : 5904446 - Cycle : 134 - PI : STEPHEN RISER - Data mode : A - Platform type : APEX - WMO inst type : 846 - FLOAT SERIAL : 6948 - Date : 2018 6 27
Float : 5904446 - Cycle : 135 - PI : STEPHEN RISER - Data mode : A - Platform type : APEX - WMO inst type : 846 - FLOAT SERIAL : 6948 - Date : 2018 7 7
Float : 5904446 - Cycle : 136 - PI : STEPHEN RISER - Data mode : A - Platform type : APEX - WMO inst type : 846 - FLOAT SERIAL : 6948 - Date : 2018 7 18
Float : 5904446 - Cycle : 138 - PI : STEPHEN RISER - Data mode : A - Platform type : APEX - WMO inst type : 846 - FLOAT SERIAL : 6948 - Date : 2018 8 7
Float : 5904446 - Cycle : 139 - PI : STEPHEN RISER - Data mode : A - Platform type : APEX - WMO inst type : 846 - FLOAT SERIAL : 6948 - Date : 2018 8 17
Float : 5904446 - Cycle : 140 - PI : STEPHEN RISER - Data mode : A - Platform type : APEX - WMO inst type : 846 - FLOAT SERIAL : 6948 - Date : 2018 8 27
Float : 5904446 - Cycle : 142 - PI : STEPHEN RISER - Data mode : A - Platform type : APEX - WMO inst type : 846 - FLOAT SERIAL : 6948 - Date : 2018 9 17
Float : 5904446 - Cycle : 145 - PI : STEPHEN RISER - Data mode : A - Platform type : APEX - WMO inst type : 846 - FLOAT SERIAL : 6948 - Date : 2018 10 17
Float : 5904446 - Cycle : 146 - PI : STEPHEN RISER - Data mode : A - Platform type : APEX - WMO inst type : 846 - FLOAT SERIAL : 6948 - Date : 2018 10 27
Float : 5904446 - Cycle : 147 - PI : STEPHEN RISER - Data mode : A - Platform type : APEX - WMO inst type : 846 - FLOAT SERIAL : 6948 - Date : 2018 11 6
Float : 5904446 - Cycle : 148 - PI : STEPHEN RISER - Data mode : A - Platform type : APEX - WMO inst type : 846 - FLOAT SERIAL : 6948 - Date : 2018 11 17
Float : 5904446 - Cycle : 149 - PI : STEPHEN RISER - Data mode : A - Platform type : APEX - WMO inst type : 846 - FLOAT SERIAL : 6948 - Date : 2018 11 27
Float : 5904446 - Cycle : 150 - PI : STEPHEN RISER - Data mode : A - Platform type : APEX - WMO inst type : 846 - FLOAT SERIAL : 6948 - Date : 2018 12 7
Float : 5904446 - Cycle : 151 - PI : STEPHEN RISER - Data mode : A - Platform type : APEX - WMO inst type : 846 - FLOAT SERIAL : 6948 - Date : 2018 12 17
Float : 5904446 - Cycle : 152 - PI : STEPHEN RISER - Data mode : A - Platform type : APEX - WMO inst type : 846 - FLOAT SERIAL : 6948 - Date : 2018 12 27
Float : 5904446 - Cycle : 153 - PI : STEPHEN RISER - Data mode : A - Platform type : APEX - WMO inst type : 846 - FLOAT SERIAL : 6948 - Date : 2019 1 6
Float : 5904446 - Cycle : 154 - PI : STEPHEN RISER - Data mode : A - Platform type : APEX - WMO inst type : 846 - FLOAT SERIAL : 6948 - Date : 2019 1 17

Float : 5904446 - Cycle : 167 - PI : STEPHEN RISER - Data mode : A - Platform type : APEX - WMO inst type : 846 - FLOAT SERIAL : 6948 - Date : 2019 5 29
Float : 5904446 - Cycle : 168 - PI : STEPHEN RISER - Data mode : A - Platform type : APEX - WMO inst type : 846 - FLOAT SERIAL : 6948 - Date : 2019 6 8
Float : 5904446 - Cycle : 169 - PI : STEPHEN RISER - Data mode : A - Platform type : APEX - WMO inst type : 846 - FLOAT SERIAL : 6948 - Date : 2019 6 18
Float : 5904448 - Cycle : 164 - PI : STEPHEN RISER - Data mode : A - Platform type : APEX - WMO inst type : 846 - FLOAT SERIAL : 6949 - Date : 2019 5 31
Float : 5904454 - Cycle : 138 - PI : STEPHEN RISER - Data mode : A - Platform type : APEX - WMO inst type : 846 - FLOAT SERIAL : 6924 - Date : 2018 8 28
Float : 5904454 - Cycle : 140 - PI : STEPHEN RISER - Data mode : A - Platform type : APEX - WMO inst type : 846 - FLOAT SERIAL : 6924 - Date : 2018 9 18
Float : 5904454 - Cycle : 141 - PI : STEPHEN RISER - Data mode : A - Platform type : APEX - WMO inst type : 846 - FLOAT SERIAL : 6924 - Date : 2018 9 28
Float : 5904454 - Cycle : 143 - PI : STEPHEN RISER - Data mode : A - Platform type : APEX - WMO inst type : 846 - FLOAT SERIAL : 6924 - Date : 2018 10 18
Float : 5904454 - Cycle : 144 - PI : STEPHEN RISER - Data mode : A - Platform type : APEX - WMO inst type : 846 - FLOAT SERIAL : 6924 - Date : 2018 10 28
Float : 5904463 - Cycle : 274 - PI : STEPHEN RISER - Data mode : D - Platform type : APEX - WMO inst type : 846 - FLOAT SERIAL : 6530 - Date : 2018 8 9
Float : 5904485 - Cycle : 275 - PI : STEPHEN RISER - Data mode : A - Platform type : APEX - WMO inst type : 846 - FLOAT SERIAL : 6982 - Date : 2018 10 3
Float : 5904485 - Cycle : 276 - PI : STEPHEN RISER - Data mode : A - Platform type : APEX - WMO inst type : 846 - FLOAT SERIAL : 6982 - Date : 2018 10 8
Float : 5904485 - Cycle : 277 - PI : STEPHEN RISER - Data mode : A - Platform type : APEX - WMO inst type : 846 - FLOAT SERIAL : 6982 - Date : 2018 10 13
Float : 5904534 - Cycle : 193 - PI : DEAN ROEMMICH - Data mode : A - Platform type : SOLO_II - WMO inst type : 853 - FLOAT SERIAL : 8200 - Date : 2019 5 21
Float : 5904570 - Cycle : 154 - PI : GREGORY C. JOHNSON - Data mode : A - Platform type : NAVIS_A - WMO inst type : 863 - FLOAT SERIAL : 0436 - Date : 2019 6 26
Float : 5904573 - Cycle : 157 - PI : GREGORY C. JOHNSON - Data mode : A - Platform type : NAVIS_A - WMO inst type : 863 - FLOAT SERIAL : 0444 - Date : 2019 6 17
Float : 5904587 - Cycle : 122 - PI : GREGORY C. JOHNSON - Data mode : D - Platform type : NAVIS_A - WMO inst type : 863 - FLOAT SERIAL : 0458 - Date : 2018 8 22
Float : 5904603 - Cycle : 122 - PI : STEPHEN RISER - Data mode : D - Platform type : APEX - WMO inst type : 846 - FLOAT SERIAL : 7304 - Date : 2018 8 18
Float : 5904610 - Cycle : 109 - PI : STEPHEN RISER - Data mode : D - Platform type : APEX - WMO inst type : 846 - FLOAT SERIAL : 7355 - Date : 2018 10 15
Float : 5904703 - Cycle : 97 - PI : GREGORY C. JOHNSON - Data mode : D - Platform type : NAVIS_A - WMO inst type : 863 - FLOAT SERIAL : 0471 - Date : 2018 10 19
Float : 5904703 - Cycle : 98 - PI : GREGORY C. JOHNSON - Data mode : D - Platform type : NAVIS_A - WMO inst type : 863 - FLOAT SERIAL : 0471 - Date : 2018 10 29
Float : 5904703 - Cycle : 99 - PI : GREGORY C. JOHNSON - Data mode : D - Platform type : NAVIS_A - WMO inst type : 863 - FLOAT SERIAL : 0471 - Date : 2018 11 8
Float : 5904703 - Cycle : 100 - PI : GREGORY C. JOHNSON - Data mode : D - Platform type : NAVIS_A - WMO inst type : 863 - FLOAT SERIAL : 0471 - Date : 2018 11 18
Float : 5904703 - Cycle : 120 - PI : GREGORY C. JOHNSON - Data mode : A - Platform type : NAVIS_A - WMO inst type : 863 - FLOAT SERIAL : 0471 - Date : 2019 6 6
Float : 5904703 - Cycle : 121 - PI : GREGORY C. JOHNSON - Data mode : A - Platform type : NAVIS_A - WMO inst type : 863 - FLOAT SERIAL : 0471 - Date : 2019 6 16
Float : 5904713 - Cycle : 83 - PI : GREGORY C. JOHNSON - Data mode : D - Platform type : NAVIS_A - WMO inst type : 863 - FLOAT SERIAL : 0494 - Date : 2018 7 15
Float : 5904713 - Cycle : 84 - PI : GREGORY C. JOHNSON - Data mode : D - Platform type : NAVIS_A - WMO inst type : 863 - FLOAT SERIAL : 0494 - Date : 2018 7 25
Float : 5904713 - Cycle : 85 - PI : GREGORY C. JOHNSON - Data mode : D - Platform type : NAVIS_A - WMO inst type : 863 - FLOAT SERIAL : 0494 - Date : 2018 8 4
Float : 5904713 - Cycle : 86 - PI : GREGORY C. JOHNSON - Data mode : D - Platform type : NAVIS_A - WMO inst type : 863 - FLOAT SERIAL : 0494 - Date : 2018 8 14
Float : 5904713 - Cycle : 87 - PI : GREGORY C. JOHNSON - Data mode : D - Platform type : NAVIS_A - WMO inst type : 863 - FLOAT SERIAL : 0494 - Date : 2018 8 24
Float : 5904713 - Cycle : 89 - PI : GREGORY C. JOHNSON - Data mode : D - Platform type : NAVIS_A - WMO inst type : 863 - FLOAT SERIAL : 0494 - Date : 2018 9 13
Float : 5904713 - Cycle : 90 - PI : GREGORY C. JOHNSON - Data mode : D - Platform type : NAVIS_A - WMO inst type : 863 - FLOAT SERIAL : 0494 - Date : 2018 9 23
Float : 5904715 - Cycle : 112 - PI : GREGORY C. JOHNSON - Data mode : D - Platform type : NAVIS_A - WMO inst type : 863 - FLOAT SERIAL : 0496 - Date : 2018 7 28
Float : 5904715 - Cycle : 113 - PI : GREGORY C. JOHNSON - Data mode : D - Platform type : NAVIS_A - WMO inst type : 863 - FLOAT SERIAL : 0496 - Date : 2018 8 7
Float : 5904715 - Cycle : 114 - PI : GREGORY C. JOHNSON - Data mode : D - Platform type : NAVIS_A - WMO inst type : 863 - FLOAT SERIAL : 0496 - Date : 2018 8 17
Float : 5904715 - Cycle : 115 - PI : GREGORY C. JOHNSON - Data mode : D - Platform type : NAVIS_A - WMO inst type : 863 - FLOAT SERIAL : 0496 - Date : 2018 8 27
Float : 5904718 - Cycle : 91 - PI : GREGORY C. JOHNSON - Data mode : D - Platform type : NAVIS_A - WMO inst type : 863 - FLOAT SERIAL : 0503 - Date : 2018 7 16
Float : 5904718 - Cycle : 92 - PI : GREGORY C. JOHNSON - Data mode : D - Platform type : NAVIS_A - WMO inst type : 863 - FLOAT SERIAL : 0503 - Date : 2018 7 26
Float : 5904718 - Cycle : 93 - PI : GREGORY C. JOHNSON - Data mode : D - Platform type : NAVIS_A - WMO inst type : 863 - FLOAT SERIAL : 0503 - Date : 2018 8 5
Float : 5904718 - Cycle : 94 - PI : GREGORY C. JOHNSON - Data mode : D - Platform type : NAVIS_A - WMO inst type : 863 - FLOAT SERIAL : 0503 - Date : 2018 8 15
Float : 5904718 - Cycle : 95 - PI : GREGORY C. JOHNSON - Data mode : D - Platform type : NAVIS_A - WMO inst type : 863 - FLOAT SERIAL : 0503 - Date : 2018 8 25
Float : 5904737 - Cycle : 77 - PI : GREGORY C. JOHNSON - Data mode : A - Platform type : NAVIS_A - WMO inst type : 863 - FLOAT SERIAL : 0612 - Date : 2018 11 4
Float : 5904737 - Cycle : 78 - PI : GREGORY C. JOHNSON - Data mode : A - Platform type : NAVIS_A - WMO inst type : 863 - FLOAT SERIAL : 0612 - Date : 2018 11 14
Float : 5904737 - Cycle : 79 - PI : GREGORY C. JOHNSON - Data mode : A - Platform type : NAVIS_A - WMO inst type : 863 - FLOAT SERIAL : 0612 - Date : 2018 11 24
Float : 5904737 - Cycle : 80 - PI : GREGORY C. JOHNSON - Data mode : A - Platform type : NAVIS_A - WMO inst type : 863 - FLOAT SERIAL : 0612 - Date : 2018 12 4
Float : 5904737 - Cycle : 81 - PI : GREGORY C. JOHNSON - Data mode : A - Platform type : NAVIS_A - WMO inst type : 863 - FLOAT SERIAL : 0612 - Date : 2018 12 14
Float : 5904737 - Cycle : 82 - PI : GREGORY C. JOHNSON - Data mode : A - Platform type : NAVIS_A - WMO inst type : 863 - FLOAT SERIAL : 0612 - Date : 2018 12 24
Float : 5904737 - Cycle : 83 - PI : GREGORY C. JOHNSON - Data mode : A - Platform type : NAVIS_A - WMO inst type : 863 - FLOAT SERIAL : 0612 - Date : 2019 1 3
Float : 5904737 - Cycle : 84 - PI : GREGORY C. JOHNSON - Data mode : A - Platform type : NAVIS_A - WMO inst type : 863 - FLOAT SERIAL : 0612 - Date : 2019 1 13
Float : 5904737 - Cycle : 85 - PI : GREGORY C. JOHNSON - Data mode : A - Platform type : NAVIS_A - WMO inst type : 863 - FLOAT SERIAL : 0612 - Date : 2019 1 23
Float : 5904737 - Cycle : 86 - PI : GREGORY C. JOHNSON - Data mode : A - Platform type : NAVIS_A - WMO inst type : 863 - FLOAT SERIAL : 0612 - Date : 2019 2 2
Float : 5904737 - Cycle : 99 - PI : GREGORY C. JOHNSON - Data mode : A - Platform type : NAVIS_A - WMO inst type : 863 - FLOAT SERIAL : 0612 - Date : 2019 6 12
Float : 5904739 - Cycle : 98 - PI : GREGORY C. JOHNSON - Data mode : A - Platform type : NAVIS_A - WMO inst type : 863 - FLOAT SERIAL : 0614 - Date : 2019 6 5
Float : 5904739 - Cycle : 99 - PI : GREGORY C. JOHNSON - Data mode : A - Platform type : NAVIS_A - WMO inst type : 863 - FLOAT SERIAL : 0614 - Date : 2019 6 15
Float : 5904739 - Cycle : 100 - PI : GREGORY C. JOHNSON - Data mode : A - Platform type : NAVIS_A - WMO inst type : 863 - FLOAT SERIAL : 0614 - Date : 2019 6 25
Float : 5904775 - Cycle : 107 - PI : STEPHEN RISER - Data mode : A - Platform type : APEX - WMO inst type : 846 - FLOAT SERIAL : 7061 - Date : 2019 5 31
Float : 5904777 - Cycle : 108 - PI : STEPHEN RISER - Data mode : A - Platform type : APEX - WMO inst type : 846 - FLOAT SERIAL : 7744 - Date : 2019 5 31
Float : 5904777 - Cycle : 110 - PI : STEPHEN RISER - Data mode : A - Platform type : APEX - WMO inst type : 846 - FLOAT SERIAL : 7744 - Date : 2019 6 20
Float : 5904780 - Cycle : 72 - PI : STEPHEN RISER - Data mode : D - Platform type : APEX - WMO inst type : 846 - FLOAT SERIAL : 7661 - Date : 2018 8 19
Float : 5904807 - Cycle : 62 - PI : STEPHEN RISER - Data mode : D - Platform type : APEX - WMO inst type : 846 - FLOAT SERIAL : 7622 - Date : 2018 8 9
Float : 5904823 - Cycle : 95 - PI : STEPHEN RISER - Data mode : A - Platform type : APEX - WMO inst type : 846 - FLOAT SERIAL : 7671 - Date : 2019 6 7
Float : 5904823 - Cycle : 96 - PI : STEPHEN RISER - Data mode : A - Platform type : APEX - WMO inst type : 846 - FLOAT SERIAL : 7671 - Date : 2019 6 17
Float : 5904826 - Cycle : 95 - PI : STEPHEN RISER - Data mode : A - Platform type : APEX - WMO inst type : 846 - FLOAT SERIAL : 7675 - Date : 2019 6 4
Float : 5904826 - Cycle : 96 - PI : STEPHEN RISER - Data mode : A - Platform type : APEX - WMO inst type : 846 - FLOAT SERIAL : 7675 - Date : 2019 6 14
Float : 5904831 - Cycle : 96 - PI : STEPHEN RISER - Data mode : A - Platform type : APEX - WMO inst type : 846 - FLOAT SERIAL : 7680 - Date : 2019 6 22
Float : 5904856 - Cycle : 58 - PI : STEPHEN RISER, KENNETH JOHNSON - Data mode : D - Platform type : APEX - WMO inst type : 846 - FLOAT SERIAL : 7765 - Date : 2018 7 27
Float : 5904948 - Cycle : 87 - PI : GREGORY C. JOHNSON - Data mode : A - Platform type : NAVIS_A - WMO inst type : 863 - FLOAT SERIAL : 0734 - Date : 2019 6 2
Float : 5904948 - Cycle : 88 - PI : GREGORY C. JOHNSON - Data mode : A - Platform type : NAVIS_A - WMO inst type : 863 - FLOAT SERIAL : 0734 - Date : 2019 6 12
Float : 5904948 - Cycle : 89 - PI : GREGORY C. JOHNSON - Data mode : A - Platform type : NAVIS_A - WMO inst type : 863 - FLOAT SERIAL : 0734 - Date : 2019 6 22
Float : 5905066 - Cycle : 91 - PI : STEPHEN RISER - Data mode : A - Platform type : APEX - WMO inst type : 846 - FLOAT SERIAL : 7656 - Date : 2019 6 22
Float : 5905068 - Cycle : 58 - PI : STEPHEN RISER - Data mode : A - Platform type : APEX - WMO inst type : 846 - FLOAT SERIAL : 7655 - Date : 2018 7 23
Float : 5905068 - Cycle : 59 - PI : STEPHEN RISER - Data mode : A - Platform type : APEX - WMO inst type : 846 - FLOAT SERIAL : 7655 - Date : 2018 8 2
Float : 5905068 - Cycle : 60 - PI : STEPHEN RISER - Data mode : A - Platform type : APEX - WMO inst type : 846 - FLOAT SERIAL : 7655 - Date : 2018 8 12
Float : 5905068 - Cycle : 61 - PI : STEPHEN RISER - Data mode : A - Platform type : APEX - WMO inst type : 846 - FLOAT SERIAL : 7655 - Date : 2018 8 22
Float : 5905068 - Cycle : 89 - PI : STEPHEN RISER - Data mode : A - Platform type : APEX - WMO inst type : 846 - FLOAT SERIAL : 7655 - Date : 2019 5 29
Float : 5905068 - Cycle : 90 - PI : STEPHEN RISER - Data mode : A - Platform type : APEX - WMO inst type : 846 - FLOAT SERIAL : 7655 - Date : 2019 6 8
Float : 5905068 - Cycle : 91 - PI : STEPHEN RISER - Data mode : A - Platform type : APEX - WMO inst type : 846 - FLOAT SERIAL : 7655 - Date : 2019 6 18
Float : 5905098 - Cycle : 56 - PI : STEPHEN RISER - Data mode : A - Platform type : APEX - WMO inst type : 846 - FLOAT SERIAL : 7649 - Date : 2018 10 19
Float : 5905108 - Cycle : 68 - PI : STEPHEN RISER, KENNETH JOHNSON - Data mode : A - Platform type : APEX - WMO inst type : 846 - FLOAT SERIAL : 7761 - Date : 2019 5 30

Float : 5905108 - Cycle : 69 - PI : STEPHEN RISER, KENNETH JOHNSON - Data mode : A - Platform type : APEX - WMO inst type : 846 - FLOAT SERIAL : 7761 - Date : 2019 6 8
Float : 5905108 - Cycle : 70 - PI : STEPHEN RISER, KENNETH JOHNSON - Data mode : A - Platform type : APEX - WMO inst type : 846 - FLOAT SERIAL : 7761 - Date : 2019 6 18
Float : 5905126 - Cycle : 62 - PI : STEPHEN RISER - Data mode : A - Platform type : APEX - WMO inst type : 846 - FLOAT SERIAL : 7400 - Date : 2019 5 24
Float : 5905126 - Cycle : 63 - PI : STEPHEN RISER - Data mode : A - Platform type : APEX - WMO inst type : 846 - FLOAT SERIAL : 7400 - Date : 2019 6 3
Float : 5905126 - Cycle : 64 - PI : STEPHEN RISER - Data mode : A - Platform type : APEX - WMO inst type : 846 - FLOAT SERIAL : 7400 - Date : 2019 6 13
Float : 5905126 - Cycle : 65 - PI : STEPHEN RISER - Data mode : A - Platform type : APEX - WMO inst type : 846 - FLOAT SERIAL : 7400 - Date : 2019 6 23
Float : 5905252 - Cycle : 61 - PI : DEAN ROEMMICH - Data mode : R - Platform type : SOLO_II - WMO inst type : 853 - FLOAT SERIAL : 8578 - Date : 2019 5 26
Float : 5905267 - Cycle : 63 - PI : DEAN ROEMMICH - Data mode : R - Platform type : SOLO_II - WMO inst type : 853 - FLOAT SERIAL : 8561 - Date : 2019 6 13
Float : 5905306 - Cycle : 66 - PI : CARL SZCZECHOWSKI - Data mode : A - Platform type : APEX - WMO inst type : 846 - FLOAT SERIAL : 6741 - Date : 2018 7 15
Float : 5905306 - Cycle : 67 - PI : CARL SZCZECHOWSKI - Data mode : A - Platform type : APEX - WMO inst type : 846 - FLOAT SERIAL : 6741 - Date : 2018 7 19
Float : 5905306 - Cycle : 68 - PI : CARL SZCZECHOWSKI - Data mode : A - Platform type : APEX - WMO inst type : 846 - FLOAT SERIAL : 6741 - Date : 2018 7 23
Float : 5905306 - Cycle : 69 - PI : CARL SZCZECHOWSKI - Data mode : A - Platform type : APEX - WMO inst type : 846 - FLOAT SERIAL : 6741 - Date : 2018 7 27
Float : 5905306 - Cycle : 70 - PI : CARL SZCZECHOWSKI - Data mode : A - Platform type : APEX - WMO inst type : 846 - FLOAT SERIAL : 6741 - Date : 2018 7 31
Float : 5905306 - Cycle : 71 - PI : CARL SZCZECHOWSKI - Data mode : A - Platform type : APEX - WMO inst type : 846 - FLOAT SERIAL : 6741 - Date : 2018 8 4
Float : 5905306 - Cycle : 72 - PI : CARL SZCZECHOWSKI - Data mode : A - Platform type : APEX - WMO inst type : 846 - FLOAT SERIAL : 6741 - Date : 2018 8 8
Float : 5905306 - Cycle : 73 - PI : CARL SZCZECHOWSKI - Data mode : A - Platform type : APEX - WMO inst type : 846 - FLOAT SERIAL : 6741 - Date : 2018 8 12
Float : 5905306 - Cycle : 74 - PI : CARL SZCZECHOWSKI - Data mode : A - Platform type : APEX - WMO inst type : 846 - FLOAT SERIAL : 6741 - Date : 2018 8 16
Float : 5905307 - Cycle : 80 - PI : CARL SZCZECHOWSKI - Data mode : A - Platform type : APEX - WMO inst type : 846 - FLOAT SERIAL : 7323 - Date : 2018 8 15
Float : 5905313 - Cycle : 6 - PI : GREGORY C. JOHNSON - Data mode : A - Platform type : NAVIS_A - WMO inst type : 863 - FLOAT SERIAL : 0861 - Date : 2018 11 21
Float : 5905348 - Cycle : 56 - PI : STEPHEN RISER - Data mode : A - Platform type : APEX - WMO inst type : 846 - FLOAT SERIAL : 7921 - Date : 2019 6 9
Float : 5905353 - Cycle : 59 - PI : STEPHEN RISER - Data mode : A - Platform type : APEX - WMO inst type : 846 - FLOAT SERIAL : 7874 - Date : 2019 6 2
Float : 5905353 - Cycle : 60 - PI : STEPHEN RISER - Data mode : A - Platform type : APEX - WMO inst type : 846 - FLOAT SERIAL : 7874 - Date : 2019 6 12
Float : 5905357 - Cycle : 59 - PI : STEPHEN RISER - Data mode : A - Platform type : APEX - WMO inst type : 846 - FLOAT SERIAL : 7925 - Date : 2019 6 5
Float : 5905357 - Cycle : 60 - PI : STEPHEN RISER - Data mode : A - Platform type : APEX - WMO inst type : 846 - FLOAT SERIAL : 7925 - Date : 2019 6 15
Float : 5905357 - Cycle : 61 - PI : STEPHEN RISER - Data mode : A - Platform type : APEX - WMO inst type : 846 - FLOAT SERIAL : 7925 - Date : 2019 6 25
Float : 5905379 - Cycle : 23 - PI : STEPHEN RISER, KENNETH JOHNSON - Data mode : D - Platform type : APEX - WMO inst type : 846 - FLOAT SERIAL : 7977 - Date : 2018 9 12
Float : 5905379 - Cycle : 49 - PI : STEPHEN RISER, KENNETH JOHNSON - Data mode : A - Platform type : APEX - WMO inst type : 846 - FLOAT SERIAL : 7977 - Date : 2019 6 1
Float : 5905379 - Cycle : 50 - PI : STEPHEN RISER, KENNETH JOHNSON - Data mode : A - Platform type : APEX - WMO inst type : 846 - FLOAT SERIAL : 7977 - Date : 2019 6 11
Float : 5905379 - Cycle : 51 - PI : STEPHEN RISER, KENNETH JOHNSON - Data mode : A - Platform type : APEX - WMO inst type : 846 - FLOAT SERIAL : 7977 - Date : 2019 6 21
Float : 5905691 - Cycle : 12 - PI : DEAN ROEMMICH - Data mode : R - Platform type : SOLO_II - WMO inst type : 853 - FLOAT SERIAL : 8668 - Date : 2018 11 12
Float : 5905696 - Cycle : 10 - PI : DEAN ROEMMICH - Data mode : R - Platform type : SOLO_II - WMO inst type : 853 - FLOAT SERIAL : 8681 - Date : 2018 10 30
Float : 5905696 - Cycle : 13 - PI : DEAN ROEMMICH - Data mode : R - Platform type : SOLO_II - WMO inst type : 853 - FLOAT SERIAL : 8681 - Date : 2018 11 29
Float : 5905696 - Cycle : 31 - PI : DEAN ROEMMICH - Data mode : R - Platform type : SOLO_II - WMO inst type : 853 - FLOAT SERIAL : 8681 - Date : 2019 5 27
Float : 5905701 - Cycle : 9 - PI : DEAN ROEMMICH - Data mode : R - Platform type : SOLO_II - WMO inst type : 853 - FLOAT SERIAL : 8686 - Date : 2018 10 23
Float : 5905708 - Cycle : 29 - PI : DEAN ROEMMICH - Data mode : R - Platform type : SOLO_II - WMO inst type : 853 - FLOAT SERIAL : 8693 - Date : 2019 5 28
Float : 5905708 - Cycle : 31 - PI : DEAN ROEMMICH - Data mode : R - Platform type : SOLO_II - WMO inst type : 853 - FLOAT SERIAL : 8693 - Date : 2019 6 17
Float : 5905730 - Cycle : 38 - PI : GREGORY C. JOHNSON - Data mode : A - Platform type : NAVIS_A - WMO inst type : 863 - FLOAT SERIAL : 0842 - Date : 2019 6 4
Float : 5905730 - Cycle : 39 - PI : GREGORY C. JOHNSON - Data mode : A - Platform type : NAVIS_A - WMO inst type : 863 - FLOAT SERIAL : 0842 - Date : 2019 6 14
Float : 5905730 - Cycle : 40 - PI : GREGORY C. JOHNSON - Data mode : A - Platform type : NAVIS_A - WMO inst type : 863 - FLOAT SERIAL : 0842 - Date : 2019 6 24
Float : 5905732 - Cycle : 40 - PI : GREGORY C. JOHNSON - Data mode : A - Platform type : NAVIS_A - WMO inst type : 863 - FLOAT SERIAL : 0873 - Date : 2019 5 31
Float : 5905732 - Cycle : 41 - PI : GREGORY C. JOHNSON - Data mode : A - Platform type : NAVIS_A - WMO inst type : 863 - FLOAT SERIAL : 0873 - Date : 2019 6 10
Float : 5905732 - Cycle : 42 - PI : GREGORY C. JOHNSON - Data mode : A - Platform type : NAVIS_A - WMO inst type : 863 - FLOAT SERIAL : 0873 - Date : 2019 6 20
Float : 5905744 - Cycle : 34 - PI : GREGORY C. JOHNSON - Data mode : A - Platform type : NAVIS_A - WMO inst type : 863 - FLOAT SERIAL : 0939 - Date : 2019 5 31
Float : 5905744 - Cycle : 35 - PI : GREGORY C. JOHNSON - Data mode : A - Platform type : NAVIS_A - WMO inst type : 863 - FLOAT SERIAL : 0939 - Date : 2019 6 10
Float : 5905744 - Cycle : 36 - PI : GREGORY C. JOHNSON - Data mode : A - Platform type : NAVIS_A - WMO inst type : 863 - FLOAT SERIAL : 0939 - Date : 2019 6 20
Float : 5905779 - Cycle : 16 - PI : DEAN ROEMMICH - Data mode : R - Platform type : SOLO_II - WMO inst type : 853 - FLOAT SERIAL : 8722 - Date : 2019 6 7
Float : 5905782 - Cycle : 19 - PI : DEAN ROEMMICH - Data mode : R - Platform type : SOLO_II - WMO inst type : 853 - FLOAT SERIAL : 8750 - Date : 2019 6 13
Float : 5906096 - Cycle : 2 - PI : GREGORY C. JOHNSON - Data mode : A - Platform type : NAVIS_A - WMO inst type : 863 - FLOAT SERIAL : 1010 - Date : 2019 5 21
Float : 5906096 - Cycle : 3 - PI : GREGORY C. JOHNSON - Data mode : A - Platform type : NAVIS_A - WMO inst type : 863 - FLOAT SERIAL : 1010 - Date : 2019 5 31
Float : 5906096 - Cycle : 4 - PI : GREGORY C. JOHNSON - Data mode : A - Platform type : NAVIS_A - WMO inst type : 863 - FLOAT SERIAL : 1010 - Date : 2019 6 10
Float : 5906096 - Cycle : 5 - PI : GREGORY C. JOHNSON - Data mode : A - Platform type : NAVIS_A - WMO inst type : 863 - FLOAT SERIAL : 1010 - Date : 2019 6 20
Float : 5906098 - Cycle : 1 - PI : GREGORY C. JOHNSON - Data mode : A - Platform type : NAVIS_A - WMO inst type : 863 - FLOAT SERIAL : 1012 - Date : 2019 6 1
Float : 5906098 - Cycle : 2 - PI : GREGORY C. JOHNSON - Data mode : A - Platform type : NAVIS_A - WMO inst type : 863 - FLOAT SERIAL : 1012 - Date : 2019 6 11
Float : 5906098 - Cycle : 3 - PI : GREGORY C. JOHNSON - Data mode : A - Platform type : NAVIS_A - WMO inst type : 863 - FLOAT SERIAL : 1012 - Date : 2019 6 21
Float : 5906100 - Cycle : 1 - PI : GREGORY C. JOHNSON - Data mode : A - Platform type : NAVIS_A - WMO inst type : 863 - FLOAT SERIAL : 1014 - Date : 2019 5 13
Float : 5906100 - Cycle : 2 - PI : GREGORY C. JOHNSON - Data mode : A - Platform type : NAVIS_A - WMO inst type : 863 - FLOAT SERIAL : 1014 - Date : 2019 5 23
Float : 5906100 - Cycle : 3 - PI : GREGORY C. JOHNSON - Data mode : A - Platform type : NAVIS_A - WMO inst type : 863 - FLOAT SERIAL : 1014 - Date : 2019 6 2
Float : 6900425 - Cycle : 228 - PI : CARL SZCZECHOWSKI - Data mode : A - Platform type : APEX - WMO inst type : 846 - FLOAT SERIAL : 7225 - Date : 2018 7 18
Float : 6900425 - Cycle : 229 - PI : CARL SZCZECHOWSKI - Data mode : A - Platform type : APEX - WMO inst type : 846 - FLOAT SERIAL : 7225 - Date : 2018 7 21
Float : 6900425 - Cycle : 230 - PI : CARL SZCZECHOWSKI - Data mode : A - Platform type : APEX - WMO inst type : 846 - FLOAT SERIAL : 7225 - Date : 2018 7 25
Float : 6900425 - Cycle : 231 - PI : CARL SZCZECHOWSKI - Data mode : A - Platform type : APEX - WMO inst type : 846 - FLOAT SERIAL : 7225 - Date : 2018 7 29
Float : 6900425 - Cycle : 232 - PI : CARL SZCZECHOWSKI - Data mode : A - Platform type : APEX - WMO inst type : 846 - FLOAT SERIAL : 7225 - Date : 2018 8 1
Float : 6900425 - Cycle : 234 - PI : CARL SZCZECHOWSKI - Data mode : A - Platform type : APEX - WMO inst type : 846 - FLOAT SERIAL : 7225 - Date : 2018 8 9
Float : 6900425 - Cycle : 235 - PI : CARL SZCZECHOWSKI - Data mode : A - Platform type : APEX - WMO inst type : 846 - FLOAT SERIAL : 7225 - Date : 2018 8 12
Float : 6900425 - Cycle : 253 - PI : CARL SZCZECHOWSKI - Data mode : A - Platform type : APEX - WMO inst type : 846 - FLOAT SERIAL : 7225 - Date : 2018 10 16

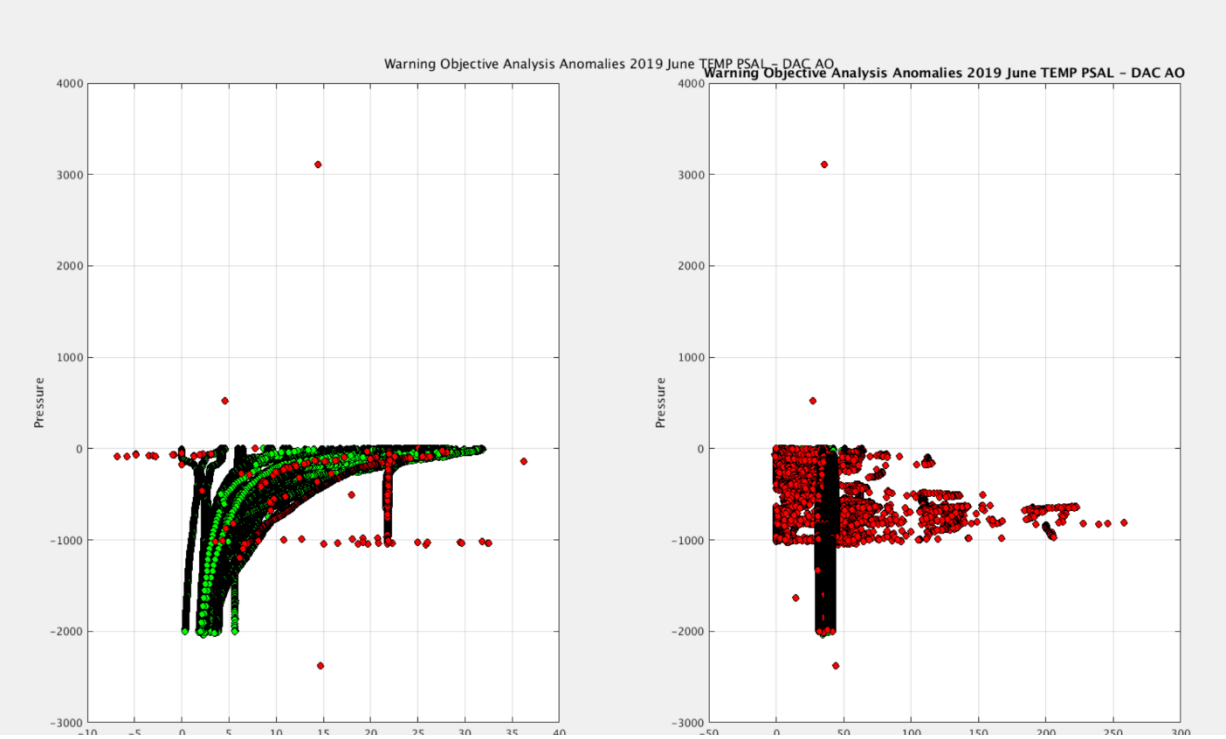

The list of the anomalies can be found at ftp://ftp.ifremer.fr/ifremer/argo/etc/ObjectiveAnalysisWarning/aoml/

Example of anomalies:

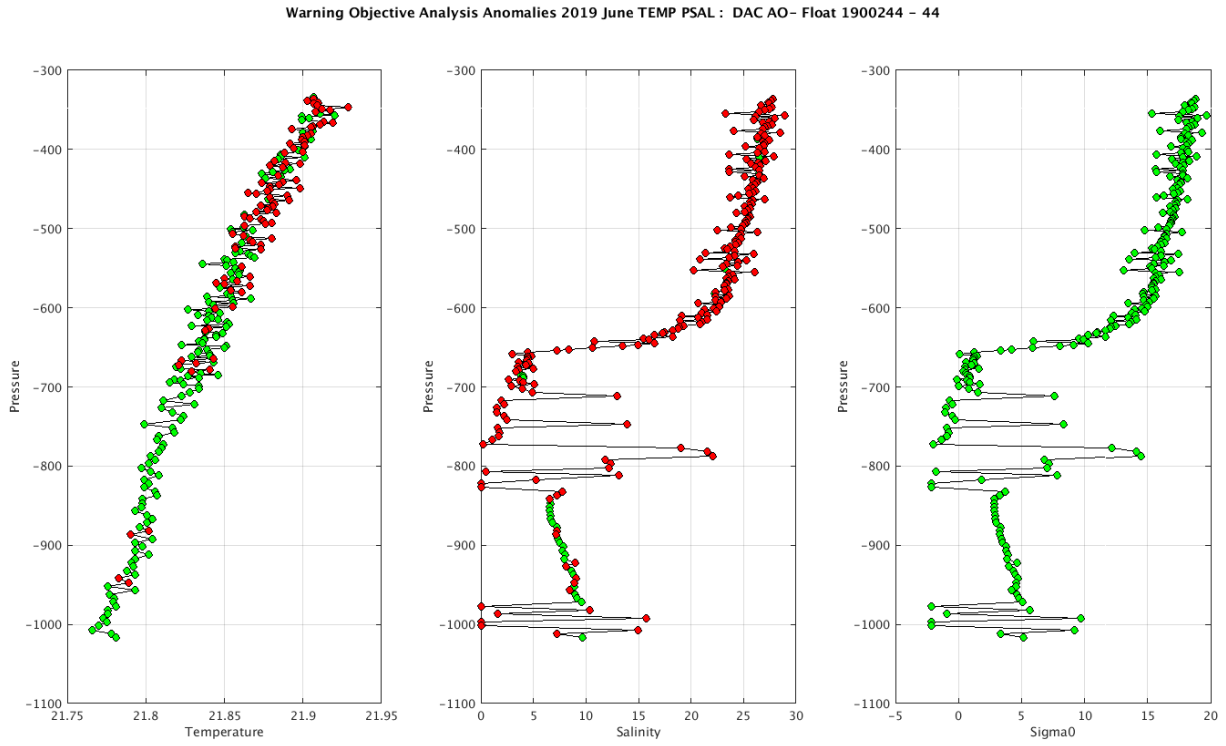

Warning Objective Analysis Anomalies 2019 June TEMP PSAL : DAC AO- Float 1901834 - 97

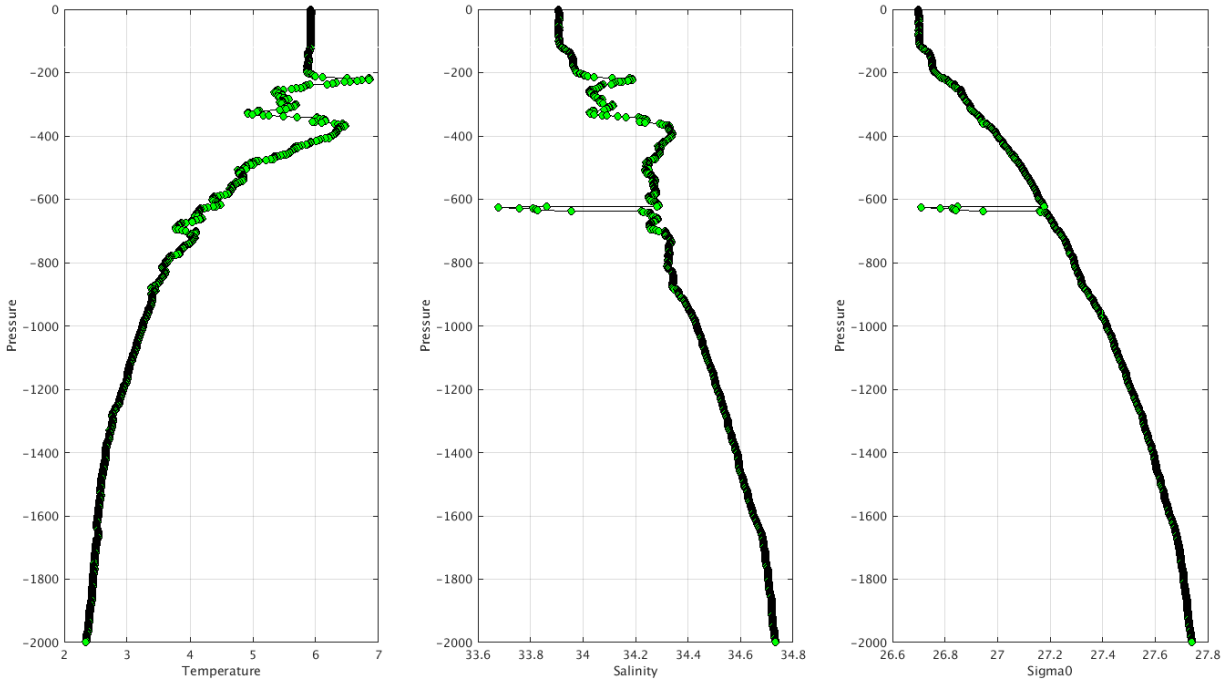

Warning Objective Analysis Anomalies 2019 June TEMP PSAL : DAC AO- Float 3901485 - 61

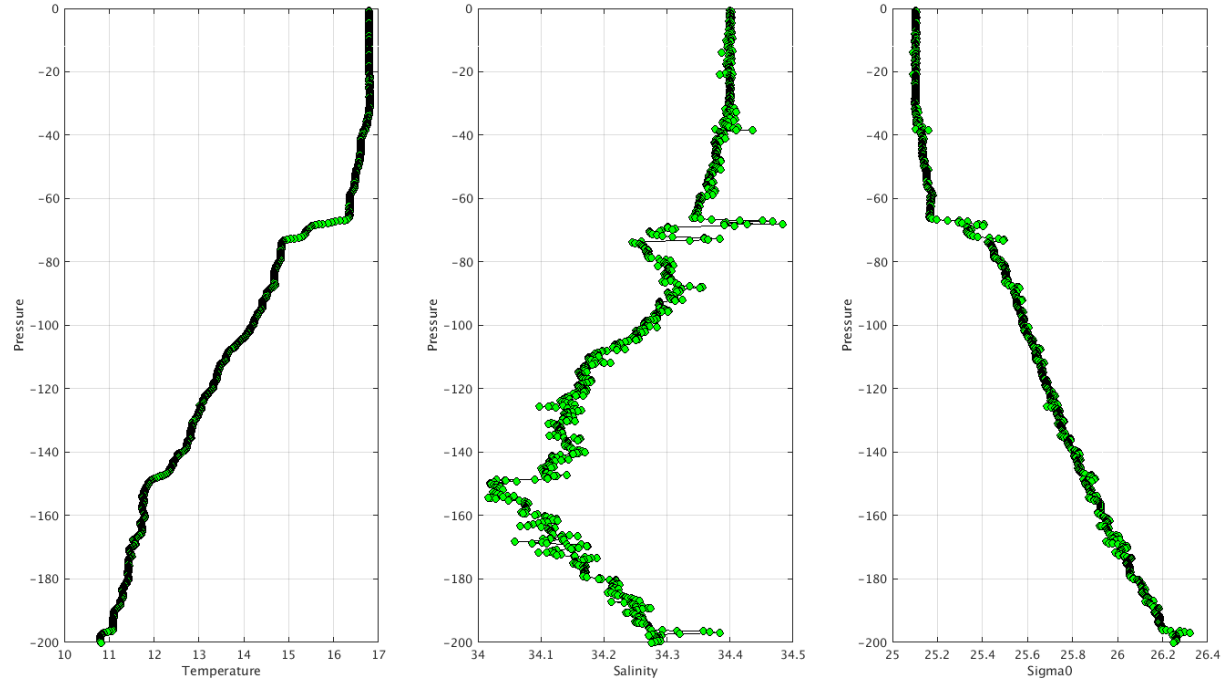

4.2. DAC BODC

Profiles detected by the objective analysis: 472 profiles (68 floats – float can have several cycles with anomalies)

Data_mode ='R'	Data_mode ='A'	Data_mode ='D'
96 cycles	346 cycles	30 cycles

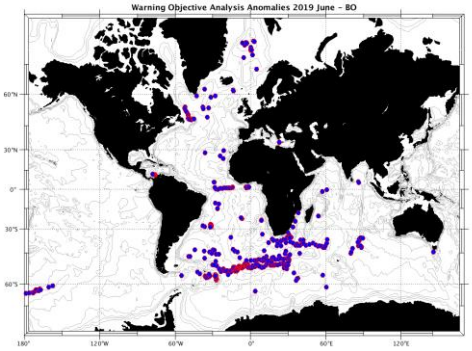

Status of corrections: Correction not yet done, few feedback.

Float : 1900938 - Cycle : 147 - PI : Jon Turton - Data mode : A - Platform type : APEX - WMO inst type : 846 - FLOAT SERIAL : 2708 - Date : 2010 9 22
Float : 1900938 - Cycle : 148 - PI : Jon Turton - Data mode : A - Platform type : APEX - WMO inst type : 846 - FLOAT SERIAL : 2708 - Date : 2010 10 2
Float : 1900938 - Cycle : 149 - PI : Jon Turton - Data mode : A - Platform type : APEX - WMO inst type : 846 - FLOAT SERIAL : 2708 - Date : 2010 10 12
Float : 1900938 - Cycle : 150 - PI : Jon Turton - Data mode : A - Platform type : APEX - WMO inst type : 846 - FLOAT SERIAL : 2708 - Date : 2010 10 22
Float : 1900938 - Cycle : 151 - PI : Jon Turton - Data mode : A - Platform type : APEX - WMO inst type : 846 - FLOAT SERIAL : 2708 - Date : 2010 11 1
Float : 1900938 - Cycle : 152 - PI : Jon Turton - Data mode : A - Platform type : APEX - WMO inst type : 846 - FLOAT SERIAL : 2708 - Date : 2010 11 11
Float : 1900938 - Cycle : 153 - PI : Jon Turton - Data mode : A - Platform type : APEX - WMO inst type : 846 - FLOAT SERIAL : 2708 - Date : 2010 11 21
Float : 1900938 - Cycle : 154 - PI : Jon Turton - Data mode : A - Platform type : APEX - WMO inst type : 846 - FLOAT SERIAL : 2708 - Date : 2010 12 1
Float : 1900938 - Cycle : 155 - PI : Jon Turton - Data mode : A - Platform type : APEX - WMO inst type : 846 - FLOAT SERIAL : 2708 - Date : 2010 12 11
Float : 1900938 - Cycle : 156 - PI : Jon Turton - Data mode : A - Platform type : APEX - WMO inst type : 846 - FLOAT SERIAL : 2708 - Date : 2010 12 21
Float : 1900938 - Cycle : 157 - PI : Jon Turton - Data mode : A - Platform type : APEX - WMO inst type : 846 - FLOAT SERIAL : 2708 - Date : 2010 12 31
Float : 1900938 - Cycle : 158 - PI : Jon Turton - Data mode : A - Platform type : APEX - WMO inst type : 846 - FLOAT SERIAL : 2708 - Date : 2011 1 10
Float : 1900938 - Cycle : 159 - PI : Jon Turton - Data mode : A - Platform type : APEX - WMO inst type : 846 - FLOAT SERIAL : 2708 - Date : 2011 1 20
Float : 1900938 - Cycle : 160 - PI : Jon Turton - Data mode : A - Platform type : APEX - WMO inst type : 846 - FLOAT SERIAL : 2708 - Date : 2011 1 30
Float : 1900938 - Cycle : 161 - PI : Jon Turton - Data mode : A - Platform type : APEX - WMO inst type : 846 - FLOAT SERIAL : 2708 - Date : 2011 2 9
Float : 1900938 - Cycle : 176 - PI : Jon Turton - Data mode : A - Platform type : APEX - WMO inst type : 846 - FLOAT SERIAL : 2708 - Date : 2011 7 9
Float : 1900938 - Cycle : 179 - PI : Jon Turton - Data mode : A - Platform type : APEX - WMO inst type : 846 - FLOAT SERIAL : 2708 - Date : 2011 8 8
Float : 1901250 - Cycle : 170 - PI : Jon Turton - Data mode : A - Platform type : APEX - WMO inst type : 846 - FLOAT SERIAL : 4501 - Date : 2014 11 19
Float : 1901250 - Cycle : 171 - PI : Jon Turton - Data mode : A - Platform type : APEX - WMO inst type : 846 - FLOAT SERIAL : 4501 - Date : 2014 11 29
Float : 1901250 - Cycle : 172 - PI : Jon Turton - Data mode : A - Platform type : APEX - WMO inst type : 846 - FLOAT SERIAL : 4501 - Date : 2014 12 9
Float : 1901250 - Cycle : 173 - PI : Jon Turton - Data mode : A - Platform type : APEX - WMO inst type : 846 - FLOAT SERIAL : 4501 - Date : 2014 12 19
Float : 1901250 - Cycle : 174 - PI : Jon Turton - Data mode : A - Platform type : APEX - WMO inst type : 846 - FLOAT SERIAL : 4501 - Date : 2014 12 29
Float : 1901250 - Cycle : 175 - PI : Jon Turton - Data mode : A - Platform type : APEX - WMO inst type : 846 - FLOAT SERIAL : 4501 - Date : 2015 1 8
Float : 1901250 - Cycle : 176 - PI : Jon Turton - Data mode : A - Platform type : APEX - WMO inst type : 846 - FLOAT SERIAL : 4501 - Date : 2015 1 18
Float : 1901250 - Cycle : 177 - PI : Jon Turton - Data mode : A - Platform type : APEX - WMO inst type : 846 - FLOAT SERIAL : 4501 - Date : 2015 1 28
Float : 1901250 - Cycle : 178 - PI : Jon Turton - Data mode : A - Platform type : APEX - WMO inst type : 846 - FLOAT SERIAL : 4501 - Date : 2015 2 7
Float : 1901250 - Cycle : 179 - PI : Jon Turton - Data mode : A - Platform type : APEX - WMO inst type : 846 - FLOAT SERIAL : 4501 - Date : 2015 2 17
Float : 1901250 - Cycle : 180 - PI : Jon Turton - Data mode : A - Platform type : APEX - WMO inst type : 846 - FLOAT SERIAL : 4501 - Date : 2015 2 27
Float : 1901250 - Cycle : 181 - PI : Jon Turton - Data mode : A - Platform type : APEX - WMO inst type : 846 - FLOAT SERIAL : 4501 - Date : 2015 3 9
Float : 1901250 - Cycle : 182 - PI : Jon Turton - Data mode : A - Platform type : APEX - WMO inst type : 846 - FLOAT SERIAL : 4501 - Date : 2015 3 19
Float : 1901250 - Cycle : 183 - PI : Jon Turton - Data mode : A - Platform type : APEX - WMO inst type : 846 - FLOAT SERIAL : 4501 - Date : 2015 3 29
Float : 1901250 - Cycle : 184 - PI : Jon Turton - Data mode : A - Platform type : APEX - WMO inst type : 846 - FLOAT SERIAL : 4501 - Date : 2015 4 8
Float : 1901250 - Cycle : 185 - PI : Jon Turton - Data mode : A - Platform type : APEX - WMO inst type : 846 - FLOAT SERIAL : 4501 - Date : 2015 4 18
Float : 1901250 - Cycle : 186 - PI : Jon Turton - Data mode : A - Platform type : APEX - WMO inst type : 846 - FLOAT SERIAL : 4501 - Date : 2015 4 28
Float : 1901250 - Cycle : 187 - PI : Jon Turton - Data mode : A - Platform type : APEX - WMO inst type : 846 - FLOAT SERIAL : 4501 - Date : 2015 5 8
Float : 1901250 - Cycle : 188 - PI : Jon Turton - Data mode : A - Platform type : APEX - WMO inst type : 846 - FLOAT SERIAL : 4501 - Date : 2015 5 18
Float : 1901250 - Cycle : 189 - PI : Jon Turton - Data mode : A - Platform type : APEX - WMO inst type : 846 - FLOAT SERIAL : 4501 - Date : 2015 5 28
Float : 1901250 - Cycle : 190 - PI : Jon Turton - Data mode : A - Platform type : APEX - WMO inst type : 846 - FLOAT SERIAL : 4501 - Date : 2015 6 7
Float : 1901250 - Cycle : 191 - PI : Jon Turton - Data mode : A - Platform type : APEX - WMO inst type : 846 - FLOAT SERIAL : 4501 - Date : 2015 6 17
Float : 1901250 - Cycle : 192 - PI : Jon Turton - Data mode : A - Platform type : APEX - WMO inst type : 846 - FLOAT SERIAL : 4501 - Date : 2015 6 27
Float : 1901250 - Cycle : 193 - PI : Jon Turton - Data mode : A - Platform type : APEX - WMO inst type : 846 - FLOAT SERIAL : 4501 - Date : 2015 7 7
Float : 1901250 - Cycle : 194 - PI : Jon Turton - Data mode : A - Platform type : APEX - WMO inst type : 846 - FLOAT SERIAL : 4501 - Date : 2015 7 17
Float : 1901250 - Cycle : 195 - PI : Jon Turton - Data mode : A - Platform type : APEX - WMO inst type : 846 - FLOAT SERIAL : 4501 - Date : 2015 7 27
Float : 1901250 - Cycle : 196 - PI : Jon Turton - Data mode : A - Platform type : APEX - WMO inst type : 846 - FLOAT SERIAL : 4501 - Date : 2015 8 6
Float : 1901250 - Cycle : 197 - PI : Jon Turton - Data mode : A - Platform type : APEX - WMO inst type : 846 - FLOAT SERIAL : 4501 - Date : 2015 8 16
Float : 1901250 - Cycle : 198 - PI : Jon Turton - Data mode : A - Platform type : APEX - WMO inst type : 846 - FLOAT SERIAL : 4501 - Date : 2015 8 26
Float : 1901250 - Cycle : 199 - PI : Jon Turton - Data mode : A - Platform type : APEX - WMO inst type : 846 - FLOAT SERIAL : 4501 - Date : 2015 9 5

Float : 1901250 - Cycle : 200 - PI : Jon Turton - Data mode : A - Platform type : APEX - WMO inst type : 846 - FLOAT SERIAL : 4501 - Date : 2015 9 15
Float : 1901250 - Cycle : 205 - PI : Jon Turton - Data mode : A - Platform type : APEX - WMO inst type : 846 - FLOAT SERIAL : 4501 - Date : 2015 11 4
Float : 1901250 - Cycle : 206 - PI : Jon Turton - Data mode : A - Platform type : APEX - WMO inst type : 846 - FLOAT SERIAL : 4501 - Date : 2015 11 14
Float : 1901251 - Cycle : 142 - PI : Jon Turton - Data mode : A - Platform type : APEX - WMO inst type : 846 - FLOAT SERIAL : 4502 - Date : 2014 2 23
Float : 1901278 - Cycle : 257 - PI : Jon Turton - Data mode : R - Platform type : APEX - WMO inst type : 846 - FLOAT SERIAL : 4902 - Date : 2018 12 6
Float : 1901280 - Cycle : 249 - PI : Jon Turton - Data mode : A - Platform type : APEX - WMO inst type : 846 - FLOAT SERIAL : 4999 - Date : 2018 9 18
Float : 1901280 - Cycle : 254 - PI : Jon Turton - Data mode : A - Platform type : APEX - WMO inst type : 846 - FLOAT SERIAL : 4999 - Date : 2018 11 7
Float : 1901280 - Cycle : 256 - PI : Jon Turton - Data mode : A - Platform type : APEX - WMO inst type : 846 - FLOAT SERIAL : 4999 - Date : 2018 11 27
Float : 1901280 - Cycle : 259 - PI : Jon Turton - Data mode : A - Platform type : APEX - WMO inst type : 846 - FLOAT SERIAL : 4999 - Date : 2018 12 27
Float : 1901294 - Cycle : 176 - PI : Jon Turton - Data mode : A - Platform type : APEX - WMO inst type : 846 - FLOAT SERIAL : 5353 - Date : 2016 3 12
Float : 1901294 - Cycle : 177 - PI : Jon Turton - Data mode : A - Platform type : APEX - WMO inst type : 846 - FLOAT SERIAL : 5353 - Date : 2016 3 22
Float : 1901294 - Cycle : 178 - PI : Jon Turton - Data mode : A - Platform type : APEX - WMO inst type : 846 - FLOAT SERIAL : 5353 - Date : 2016 4 1
Float : 1901294 - Cycle : 179 - PI : Jon Turton - Data mode : A - Platform type : APEX - WMO inst type : 846 - FLOAT SERIAL : 5353 - Date : 2016 4 11
Float : 1901294 - Cycle : 180 - PI : Jon Turton - Data mode : A - Platform type : APEX - WMO inst type : 846 - FLOAT SERIAL : 5353 - Date : 2016 4 21
Float : 1901294 - Cycle : 181 - PI : Jon Turton - Data mode : A - Platform type : APEX - WMO inst type : 846 - FLOAT SERIAL : 5353 - Date : 2016 5 1
Float : 1901294 - Cycle : 182 - PI : Jon Turton - Data mode : A - Platform type : APEX - WMO inst type : 846 - FLOAT SERIAL : 5353 - Date : 2016 5 11
Float : 1901294 - Cycle : 183 - PI : Jon Turton - Data mode : A - Platform type : APEX - WMO inst type : 846 - FLOAT SERIAL : 5353 - Date : 2016 5 21
Float : 1901294 - Cycle : 184 - PI : Jon Turton - Data mode : A - Platform type : APEX - WMO inst type : 846 - FLOAT SERIAL : 5353 - Date : 2016 5 31
Float : 1901294 - Cycle : 185 - PI : Jon Turton - Data mode : A - Platform type : APEX - WMO inst type : 846 - FLOAT SERIAL : 5353 - Date : 2016 6 10
Float : 1901294 - Cycle : 186 - PI : Jon Turton - Data mode : A - Platform type : APEX - WMO inst type : 846 - FLOAT SERIAL : 5353 - Date : 2016 6 20
Float : 1901294 - Cycle : 187 - PI : Jon Turton - Data mode : A - Platform type : APEX - WMO inst type : 846 - FLOAT SERIAL : 5353 - Date : 2016 6 30
Float : 1901294 - Cycle : 188 - PI : Jon Turton - Data mode : A - Platform type : APEX - WMO inst type : 846 - FLOAT SERIAL : 5353 - Date : 2016 7 10
Float : 1901294 - Cycle : 189 - PI : Jon Turton - Data mode : A - Platform type : APEX - WMO inst type : 846 - FLOAT SERIAL : 5353 - Date : 2016 7 20
Float : 1901294 - Cycle : 190 - PI : Jon Turton - Data mode : A - Platform type : APEX - WMO inst type : 846 - FLOAT SERIAL : 5353 - Date : 2016 7 30
Float : 1901294 - Cycle : 191 - PI : Jon Turton - Data mode : A - Platform type : APEX - WMO inst type : 846 - FLOAT SERIAL : 5353 - Date : 2016 8 9
Float : 1901294 - Cycle : 192 - PI : Jon Turton - Data mode : A - Platform type : APEX - WMO inst type : 846 - FLOAT SERIAL : 5353 - Date : 2016 8 19
Float : 1901294 - Cycle : 193 - PI : Jon Turton - Data mode : A - Platform type : APEX - WMO inst type : 846 - FLOAT SERIAL : 5353 - Date : 2016 8 29
Float : 1901294 - Cycle : 194 - PI : Jon Turton - Data mode : A - Platform type : APEX - WMO inst type : 846 - FLOAT SERIAL : 5353 - Date : 2016 9 8
Float : 1901294 - Cycle : 195 - PI : Jon Turton - Data mode : A - Platform type : APEX - WMO inst type : 846 - FLOAT SERIAL : 5353 - Date : 2016 9 18
Float : 1901300 - Cycle : 190 - PI : Jon Turton - Data mode : A - Platform type : APEX - WMO inst type : 846 - FLOAT SERIAL : 5590 - Date : 2018 5 24
Float : 1901300 - Cycle : 194 - PI : Jon Turton - Data mode : A - Platform type : APEX - WMO inst type : 846 - FLOAT SERIAL : 5590 - Date : 2018 7 3
Float : 1901300 - Cycle : 196 - PI : Jon Turton - Data mode : A - Platform type : APEX - WMO inst type : 846 - FLOAT SERIAL : 5590 - Date : 2018 7 23
Float : 1901300 - Cycle : 197 - PI : Jon Turton - Data mode : A - Platform type : APEX - WMO inst type : 846 - FLOAT SERIAL : 5590 - Date : 2018 8 2
Float : 1901300 - Cycle : 198 - PI : Jon Turton - Data mode : A - Platform type : APEX - WMO inst type : 846 - FLOAT SERIAL : 5590 - Date : 2018 8 12
Float : 1901300 - Cycle : 205 - PI : Jon Turton - Data mode : A - Platform type : APEX - WMO inst type : 846 - FLOAT SERIAL : 5590 - Date : 2018 10 21
Float : 1901300 - Cycle : 206 - PI : Jon Turton - Data mode : A - Platform type : APEX - WMO inst type : 846 - FLOAT SERIAL : 5590 - Date : 2018 10 31
Float : 1901300 - Cycle : 208 - PI : Jon Turton - Data mode : A - Platform type : APEX - WMO inst type : 846 - FLOAT SERIAL : 5590 - Date : 2018 11 20
Float : 1901300 - Cycle : 209 - PI : Jon Turton - Data mode : A - Platform type : APEX - WMO inst type : 846 - FLOAT SERIAL : 5590 - Date : 2018 11 30
Float : 1901300 - Cycle : 210 - PI : Jon Turton - Data mode : A - Platform type : APEX - WMO inst type : 846 - FLOAT SERIAL : 5590 - Date : 2018 12 10
Float : 1901300 - Cycle : 212 - PI : Jon Turton - Data mode : A - Platform type : APEX - WMO inst type : 846 - FLOAT SERIAL : 5590 - Date : 2018 12 30
Float : 1901300 - Cycle : 229 - PI : Jon Turton - Data mode : A - Platform type : APEX - WMO inst type : 846 - FLOAT SERIAL : 5590 - Date : 2019 6 18
Float : 1901305 - Cycle : 100 - PI : Jon Turton - Data mode : A - Platform type : APEX - WMO inst type : 846 - FLOAT SERIAL : 6242 - Date : 2015 12 10
Float : 1901305 - Cycle : 101 - PI : Jon Turton - Data mode : A - Platform type : APEX - WMO inst type : 846 - FLOAT SERIAL : 6242 - Date : 2015 12 20
Float : 1901305 - Cycle : 102 - PI : Jon Turton - Data mode : A - Platform type : APEX - WMO inst type : 846 - FLOAT SERIAL : 6242 - Date : 2015 12 30
Float : 1901305 - Cycle : 103 - PI : Jon Turton - Data mode : A - Platform type : APEX - WMO inst type : 846 - FLOAT SERIAL : 6242 - Date : 2016 1 9
Float : 1901305 - Cycle : 104 - PI : Jon Turton - Data mode : A - Platform type : APEX - WMO inst type : 846 - FLOAT SERIAL : 6242 - Date : 2016 1 19
Float : 1901305 - Cycle : 105 - PI : Jon Turton - Data mode : A - Platform type : APEX - WMO inst type : 846 - FLOAT SERIAL : 6242 - Date : 2016 1 29
Float : 1901305 - Cycle : 106 - PI : Jon Turton - Data mode : A - Platform type : APEX - WMO inst type : 846 - FLOAT SERIAL : 6242 - Date : 2016 2 8
Float : 1901305 - Cycle : 107 - PI : Jon Turton - Data mode : A - Platform type : APEX - WMO inst type : 846 - FLOAT SERIAL : 6242 - Date : 2016 2 18
Float : 1901305 - Cycle : 108 - PI : Jon Turton - Data mode : A - Platform type : APEX - WMO inst type : 846 - FLOAT SERIAL : 6242 - Date : 2016 2 28
Float : 1901305 - Cycle : 109 - PI : Jon Turton - Data mode : A - Platform type : APEX - WMO inst type : 846 - FLOAT SERIAL : 6242 - Date : 2016 3 9
Float : 1901305 - Cycle : 110 - PI : Jon Turton - Data mode : A - Platform type : APEX - WMO inst type : 846 - FLOAT SERIAL : 6242 - Date : 2016 3 19
Float : 1901305 - Cycle : 111 - PI : Jon Turton - Data mode : A - Platform type : APEX - WMO inst type : 846 - FLOAT SERIAL : 6242 - Date : 2016 3 29
Float : 1901305 - Cycle : 112 - PI : Jon Turton - Data mode : A - Platform type : APEX - WMO inst type : 846 - FLOAT SERIAL : 6242 - Date : 2016 4 8
Float : 1901305 - Cycle : 113 - PI : Jon Turton - Data mode : A - Platform type : APEX - WMO inst type : 846 - FLOAT SERIAL : 6242 - Date : 2016 4 18
Float : 1901305 - Cycle : 114 - PI : Jon Turton - Data mode : A - Platform type : APEX - WMO inst type : 846 - FLOAT SERIAL : 6242 - Date : 2016 4 28
Float : 1901305 - Cycle : 115 - PI : Jon Turton - Data mode : A - Platform type : APEX - WMO inst type : 846 - FLOAT SERIAL : 6242 - Date : 2016 5 8
Float : 1901305 - Cycle : 116 - PI : Jon Turton - Data mode : A - Platform type : APEX - WMO inst type : 846 - FLOAT SERIAL : 6242 - Date : 2016 5 18
Float : 1901305 - Cycle : 117 - PI : Jon Turton - Data mode : A - Platform type : APEX - WMO inst type : 846 - FLOAT SERIAL : 6242 - Date : 2016 5 28
Float : 1901305 - Cycle : 118 - PI : Jon Turton - Data mode : A - Platform type : APEX - WMO inst type : 846 - FLOAT SERIAL : 6242 - Date : 2016 6 7
Float : 1901305 - Cycle : 119 - PI : Jon Turton - Data mode : A - Platform type : APEX - WMO inst type : 846 - FLOAT SERIAL : 6242 - Date : 2016 6 17
Float : 1901305 - Cycle : 120 - PI : Jon Turton - Data mode : A - Platform type : APEX - WMO inst type : 846 - FLOAT SERIAL : 6242 - Date : 2016 6 27
Float : 1901305 - Cycle : 121 - PI : Jon Turton - Data mode : A - Platform type : APEX - WMO inst type : 846 - FLOAT SERIAL : 6242 - Date : 2016 7 7
Float : 1901305 - Cycle : 122 - PI : Jon Turton - Data mode : A - Platform type : APEX - WMO inst type : 846 - FLOAT SERIAL : 6242 - Date : 2016 7 17
Float : 1901305 - Cycle : 123 - PI : Jon Turton - Data mode : A - Platform type : APEX - WMO inst type : 846 - FLOAT SERIAL : 6242 - Date : 2016 7 27
Float : 1901305 - Cycle : 124 - PI : Jon Turton - Data mode : A - Platform type : APEX - WMO inst type : 846 - FLOAT SERIAL : 6242 - Date : 2016 8 6
Float : 1901305 - Cycle : 125 - PI : Jon Turton - Data mode : A - Platform type : APEX - WMO inst type : 846 - FLOAT SERIAL : 6242 - Date : 2016 8 16
Float : 1901305 - Cycle : 126 - PI : Jon Turton - Data mode : A - Platform type : APEX - WMO inst type : 846 - FLOAT SERIAL : 6242 - Date : 2016 8 26
Float : 1901305 - Cycle : 127 - PI : Jon Turton - Data mode : A - Platform type : APEX - WMO inst type : 846 - FLOAT SERIAL : 6242 - Date : 2016 9 5
Float : 1901305 - Cycle : 128 - PI : Jon Turton - Data mode : A - Platform type : APEX - WMO inst type : 846 - FLOAT SERIAL : 6242 - Date : 2016 9 15
Float : 1901305 - Cycle : 129 - PI : Jon Turton - Data mode : A - Platform type : APEX - WMO inst type : 846 - FLOAT SERIAL : 6242 - Date : 2016 9 25
Float : 1901305 - Cycle : 130 - PI : Jon Turton - Data mode : A - Platform type : APEX - WMO inst type : 846 - FLOAT SERIAL : 6242 - Date : 2016 10 5
Float : 1901305 - Cycle : 131 - PI : Jon Turton - Data mode : A - Platform type : APEX - WMO inst type : 846 - FLOAT SERIAL : 6242 - Date : 2016 10 15
Float : 1901305 - Cycle : 132 - PI : Jon Turton - Data mode : A - Platform type : APEX - WMO inst type : 846 - FLOAT SERIAL : 6242 - Date : 2016 10 25

Float : 1901305 - Cycle : 133 - PI : Jon Turton - Data mode : A - Platform type : APEX - WMO inst type : 846 - FLOAT SERIAL : 6242 - Date : 2016 11 4
Float : 1901305 - Cycle : 134 - PI : Jon Turton - Data mode : A - Platform type : APEX - WMO inst type : 846 - FLOAT SERIAL : 6242 - Date : 2016 11 14
Float : 1901305 - Cycle : 135 - PI : Jon Turton - Data mode : A - Platform type : APEX - WMO inst type : 846 - FLOAT SERIAL : 6242 - Date : 2016 11 24
Float : 1901305 - Cycle : 136 - PI : Jon Turton - Data mode : A - Platform type : APEX - WMO inst type : 846 - FLOAT SERIAL : 6242 - Date : 2016 12 4
Float : 1901305 - Cycle : 137 - PI : Jon Turton - Data mode : A - Platform type : APEX - WMO inst type : 846 - FLOAT SERIAL : 6242 - Date : 2016 12 14
Float : 1901305 - Cycle : 138 - PI : Jon Turton - Data mode : A - Platform type : APEX - WMO inst type : 846 - FLOAT SERIAL : 6242 - Date : 2016 12 24
Float : 1901305 - Cycle : 139 - PI : Jon Turton - Data mode : A - Platform type : APEX - WMO inst type : 846 - FLOAT SERIAL : 6242 - Date : 2017 1 3
Float : 1901305 - Cycle : 140 - PI : Jon Turton - Data mode : A - Platform type : APEX - WMO inst type : 846 - FLOAT SERIAL : 6242 - Date : 2017 1 13
Float : 1901305 - Cycle : 141 - PI : Jon Turton - Data mode : A - Platform type : APEX - WMO inst type : 846 - FLOAT SERIAL : 6242 - Date : 2017 1 23
Float : 1901305 - Cycle : 142 - PI : Jon Turton - Data mode : A - Platform type : APEX - WMO inst type : 846 - FLOAT SERIAL : 6242 - Date : 2017 2 2
Float : 1901305 - Cycle : 143 - PI : Jon Turton - Data mode : A - Platform type : APEX - WMO inst type : 846 - FLOAT SERIAL : 6242 - Date : 2017 2 12
Float : 1901305 - Cycle : 144 - PI : Jon Turton - Data mode : A - Platform type : APEX - WMO inst type : 846 - FLOAT SERIAL : 6242 - Date : 2017 2 22
Float : 1901305 - Cycle : 145 - PI : Jon Turton - Data mode : A - Platform type : APEX - WMO inst type : 846 - FLOAT SERIAL : 6242 - Date : 2017 3 4
Float : 1901305 - Cycle : 146 - PI : Jon Turton - Data mode : A - Platform type : APEX - WMO inst type : 846 - FLOAT SERIAL : 6242 - Date : 2017 3 14
Float : 1901305 - Cycle : 147 - PI : Jon Turton - Data mode : A - Platform type : APEX - WMO inst type : 846 - FLOAT SERIAL : 6242 - Date : 2017 3 24
Float : 1901305 - Cycle : 148 - PI : Jon Turton - Data mode : A - Platform type : APEX - WMO inst type : 846 - FLOAT SERIAL : 6242 - Date : 2017 4 3
Float : 1901305 - Cycle : 149 - PI : Jon Turton - Data mode : A - Platform type : APEX - WMO inst type : 846 - FLOAT SERIAL : 6242 - Date : 2017 4 13
Float : 1901305 - Cycle : 150 - PI : Jon Turton - Data mode : A - Platform type : APEX - WMO inst type : 846 - FLOAT SERIAL : 6242 - Date : 2017 4 23
Float : 1901305 - Cycle : 151 - PI : Jon Turton - Data mode : A - Platform type : APEX - WMO inst type : 846 - FLOAT SERIAL : 6242 - Date : 2017 5 3
Float : 1901305 - Cycle : 152 - PI : Jon Turton - Data mode : A - Platform type : APEX - WMO inst type : 846 - FLOAT SERIAL : 6242 - Date : 2017 5 13
Float : 1901305 - Cycle : 153 - PI : Jon Turton - Data mode : A - Platform type : APEX - WMO inst type : 846 - FLOAT SERIAL : 6242 - Date : 2017 5 23
Float : 1901305 - Cycle : 154 - PI : Jon Turton - Data mode : A - Platform type : APEX - WMO inst type : 846 - FLOAT SERIAL : 6242 - Date : 2017 6 2
Float : 1901305 - Cycle : 155 - PI : Jon Turton - Data mode : A - Platform type : APEX - WMO inst type : 846 - FLOAT SERIAL : 6242 - Date : 2017 6 12
Float : 1901305 - Cycle : 156 - PI : Jon Turton - Data mode : A - Platform type : APEX - WMO inst type : 846 - FLOAT SERIAL : 6242 - Date : 2017 6 22
Float : 1901305 - Cycle : 157 - PI : Jon Turton - Data mode : A - Platform type : APEX - WMO inst type : 846 - FLOAT SERIAL : 6242 - Date : 2017 7 2
Float : 1901305 - Cycle : 158 - PI : Jon Turton - Data mode : A - Platform type : APEX - WMO inst type : 846 - FLOAT SERIAL : 6242 - Date : 2017 7 12
Float : 1901305 - Cycle : 159 - PI : Jon Turton - Data mode : A - Platform type : APEX - WMO inst type : 846 - FLOAT SERIAL : 6242 - Date : 2017 7 22
Float : 1901305 - Cycle : 160 - PI : Jon Turton - Data mode : A - Platform type : APEX - WMO inst type : 846 - FLOAT SERIAL : 6242 - Date : 2017 8 1
Float : 1901305 - Cycle : 161 - PI : Jon Turton - Data mode : A - Platform type : APEX - WMO inst type : 846 - FLOAT SERIAL : 6242 - Date : 2017 8 11
Float : 1901305 - Cycle : 162 - PI : Jon Turton - Data mode : A - Platform type : APEX - WMO inst type : 846 - FLOAT SERIAL : 6242 - Date : 2017 8 21
Float : 1901305 - Cycle : 163 - PI : Jon Turton - Data mode : A - INST REF : APEX-SBE 6242 - Date : 2017 8 31
Float : 1901305 - Cycle : 164 - PI : Jon Turton - Data mode : A - Platform type : APEX - WMO inst type : 846 - FLOAT SERIAL : 6242 - Date : 2017 9 10
Float : 1901305 - Cycle : 165 - PI : Jon Turton - Data mode : A - Platform type : APEX - WMO inst type : 846 - FLOAT SERIAL : 6242 - Date : 2017 9 20
Float : 1901305 - Cycle : 166 - PI : Jon Turton - Data mode : A - Platform type : APEX - WMO inst type : 846 - FLOAT SERIAL : 6242 - Date : 2017 9 30
Float : 1901305 - Cycle : 167 - PI : Jon Turton - Data mode : A - Platform type : APEX - WMO inst type : 846 - FLOAT SERIAL : 6242 - Date : 2017 10 10
Float : 1901305 - Cycle : 168 - PI : Jon Turton - Data mode : A - Platform type : APEX - WMO inst type : 846 - FLOAT SERIAL : 6242 - Date : 2017 10 20
Float : 1901305 - Cycle : 169 - PI : Jon Turton - Data mode : A - Platform type : APEX - WMO inst type : 846 - FLOAT SERIAL : 6242 - Date : 2017 10 30
Float : 1901305 - Cycle : 170 - PI : Jon Turton - Data mode : A - Platform type : APEX - WMO inst type : 846 - FLOAT SERIAL : 6242 - Date : 2017 11 9
Float : 1901305 - Cycle : 171 - PI : Jon Turton - Data mode : A - Platform type : APEX - WMO inst type : 846 - FLOAT SERIAL : 6242 - Date : 2017 11 19
Float : 1901305 - Cycle : 172 - PI : Jon Turton - Data mode : A - Platform type : APEX - WMO inst type : 846 - FLOAT SERIAL : 6242 - Date : 2017 11 29
Float : 1901305 - Cycle : 173 - PI : Jon Turton - Data mode : A - Platform type : APEX - WMO inst type : 846 - FLOAT SERIAL : 6242 - Date : 2017 12 9
Float : 1901305 - Cycle : 174 - PI : Jon Turton - Data mode : A - Platform type : APEX - WMO inst type : 846 - FLOAT SERIAL : 6242 - Date : 2017 12 19
Float : 1901305 - Cycle : 175 - PI : Jon Turton - Data mode : A - Platform type : APEX - WMO inst type : 846 - FLOAT SERIAL : 6242 - Date : 2017 12 29
Float : 1901305 - Cycle : 176 - PI : Jon Turton - Data mode : A - Platform type : APEX - WMO inst type : 846 - FLOAT SERIAL : 6242 - Date : 2018 1 8
Float : 1901305 - Cycle : 177 - PI : Jon Turton - Data mode : A - Platform type : APEX - WMO inst type : 846 - FLOAT SERIAL : 6242 - Date : 2018 1 18
Float : 1901305 - Cycle : 178 - PI : Jon Turton - Data mode : A - Platform type : APEX - WMO inst type : 846 - FLOAT SERIAL : 6242 - Date : 2018 1 28
Float : 1901305 - Cycle : 179 - PI : Jon Turton - Data mode : A - Platform type : APEX - WMO inst type : 846 - FLOAT SERIAL : 6242 - Date : 2018 2 7
Float : 1901305 - Cycle : 180 - PI : Jon Turton - Data mode : A - Platform type : APEX - WMO inst type : 846 - FLOAT SERIAL : 6242 - Date : 2018 2 17
Float : 1901305 - Cycle : 181 - PI : Jon Turton - Data mode : A - Platform type : APEX - WMO inst type : 846 - FLOAT SERIAL : 6242 - Date : 2018 2 27
Float : 1901305 - Cycle : 182 - PI : Jon Turton - Data mode : A - Platform type : APEX - WMO inst type : 846 - FLOAT SERIAL : 6242 - Date : 2018 3 9
Float : 1901305 - Cycle : 183 - PI : Jon Turton - Data mode : A - Platform type : APEX - WMO inst type : 846 - FLOAT SERIAL : 6242 - Date : 2018 3 19
Float : 1901305 - Cycle : 184 - PI : Jon Turton - Data mode : A - Platform type : APEX - WMO inst type : 846 - FLOAT SERIAL : 6242 - Date : 2018 3 29
Float : 1901305 - Cycle : 185 - PI : Jon Turton - Data mode : A - Platform type : APEX - WMO inst type : 846 - FLOAT SERIAL : 6242 - Date : 2018 4 8
Float : 1901305 - Cycle : 186 - PI : Jon Turton - Data mode : A - Platform type : APEX - WMO inst type : 846 - FLOAT SERIAL : 6242 - Date : 2018 4 18
Float : 1901305 - Cycle : 187 - PI : Jon Turton - Data mode : A - Platform type : APEX - WMO inst type : 846 - FLOAT SERIAL : 6242 - Date : 2018 4 28
Float : 1901305 - Cycle : 188 - PI : Jon Turton - Data mode : A - Platform type : APEX - WMO inst type : 846 - FLOAT SERIAL : 6242 - Date : 2018 5 8
Float : 1901305 - Cycle : 189 - PI : Jon Turton - Data mode : A - Platform type : APEX - WMO inst type : 846 - FLOAT SERIAL : 6242 - Date : 2018 5 18
Float : 1901305 - Cycle : 190 - PI : Jon Turton - Data mode : A - Platform type : APEX - WMO inst type : 846 - FLOAT SERIAL : 6242 - Date : 2018 5 28
Float : 1901305 - Cycle : 191 - PI : Jon Turton - Data mode : A - Platform type : APEX - WMO inst type : 846 - FLOAT SERIAL : 6242 - Date : 2018 6 7
Float : 1901305 - Cycle : 192 - PI : Jon Turton - Data mode : A - Platform type : APEX - WMO inst type : 846 - FLOAT SERIAL : 6242 - Date : 2018 6 17
Float : 1901305 - Cycle : 193 - PI : Jon Turton - Data mode : A - Platform type : APEX - WMO inst type : 846 - FLOAT SERIAL : 6242 - Date : 2018 6 27
Float : 1901305 - Cycle : 194 - PI : Jon Turton - Data mode : A - Platform type : APEX - WMO inst type : 846 - FLOAT SERIAL : 6242 - Date : 2018 7 7
Float : 1901305 - Cycle : 195 - PI : Jon Turton - Data mode : A - Platform type : APEX - WMO inst type : 846 - FLOAT SERIAL : 6242 - Date : 2018 7 17
Float : 1901305 - Cycle : 196 - PI : Jon Turton - Data mode : A - Platform type : APEX - WMO inst type : 846 - FLOAT SERIAL : 6242 - Date : 2018 7 27
Float : 1901305 - Cycle : 197 - PI : Jon Turton - Data mode : A - Platform type : APEX - WMO inst type : 846 - FLOAT SERIAL : 6242 - Date : 2018 8 6
Float : 1901305 - Cycle : 198 - PI : Jon Turton - Data mode : A - Platform type : APEX - WMO inst type : 846 - FLOAT SERIAL : 6242 - Date : 2018 8 16
Float : 1901305 - Cycle : 199 - PI : Jon Turton - Data mode : A - Platform type : APEX - WMO inst type : 846 - FLOAT SERIAL : 6242 - Date : 2018 8 26
Float : 1901305 - Cycle : 200 - PI : Jon Turton - Data mode : A - Platform type : APEX - WMO inst type : 846 - FLOAT SERIAL : 6242 - Date : 2018 9 5
Float : 1901305 - Cycle : 201 - PI : Jon Turton - Data mode : A - Platform type : APEX - WMO inst type : 846 - FLOAT SERIAL : 6242 - Date : 2018 9 15
Float : 1901305 - Cycle : 202 - PI : Jon Turton - Data mode : A - Platform type : APEX - WMO inst type : 846 - FLOAT SERIAL : 6242 - Date : 2018 9 25
Float : 1901305 - Cycle : 203 - PI : Jon Turton - Data mode : A - Platform type : APEX - WMO inst type : 846 - FLOAT SERIAL : 6242 - Date : 2018 10 5
Float : 1901305 - Cycle : 204 - PI : Jon Turton - Data mode : A - Platform type : APEX - WMO inst type : 846 - FLOAT SERIAL : 6242 - Date : 2018 10 15
Float : 1901305 - Cycle : 205 - PI : Jon Turton - Data mode : A - Platform type : APEX - WMO inst type : 846 - FLOAT SERIAL : 6242 - Date : 2018 10 25
Float : 1901305 - Cycle : 206 - PI : Jon Turton - Data mode : A - Platform type : APEX - WMO inst type : 846 - FLOAT SERIAL : 6242 - Date : 2018 11 4

Float : 1901305 - Cycle : 207 - PI : Jon Turton - Data mode : A - Platform type : APEX - WMO inst type : 846 - FLOAT SERIAL : 6242 - Date : 2018 11 14
Float : 1901305 - Cycle : 208 - PI : Jon Turton - Data mode : A - Platform type : APEX - WMO inst type : 846 - FLOAT SERIAL : 6242 - Date : 2018 11 24
Float : 1901305 - Cycle : 209 - PI : Jon Turton - Data mode : A - Platform type : APEX - WMO inst type : 846 - FLOAT SERIAL : 6242 - Date : 2018 12 4
Float : 1901305 - Cycle : 221 - PI : Jon Turton - Data mode : A - Platform type : APEX - WMO inst type : 846 - FLOAT SERIAL : 6242 - Date : 2019 4 3
Float : 1901305 - Cycle : 224 - PI : Jon Turton - Data mode : A - Platform type : APEX - WMO inst type : 846 - FLOAT SERIAL : 6242 - Date : 2019 5 3
Float : 1901305 - Cycle : 225 - PI : Jon Turton - Data mode : A - Platform type : APEX - WMO inst type : 846 - FLOAT SERIAL : 6242 - Date : 2019 5 13
Float : 1901305 - Cycle : 226 - PI : Jon Turton - Data mode : A - Platform type : APEX - WMO inst type : 846 - FLOAT SERIAL : 6242 - Date : 2019 5 23
Float : 1901305 - Cycle : 3 - PI : Jon Turton - Data mode : A - Platform type : APEX - WMO inst type : 846 - FLOAT SERIAL : 6242 - Date : 2013 4 14
Float : 1901305 - Cycle : 68 - PI : Jon Turton - Data mode : A - Platform type : APEX - WMO inst type : 846 - FLOAT SERIAL : 6242 - Date : 2015 1 24
Float : 1901305 - Cycle : 69 - PI : Jon Turton - Data mode : A - Platform type : APEX - WMO inst type : 846 - FLOAT SERIAL : 6242 - Date : 2015 2 3
Float : 1901305 - Cycle : 70 - PI : Jon Turton - Data mode : A - Platform type : APEX - WMO inst type : 846 - FLOAT SERIAL : 6242 - Date : 2015 2 13
Float : 1901305 - Cycle : 71 - PI : Jon Turton - Data mode : A - Platform type : APEX - WMO inst type : 846 - FLOAT SERIAL : 6242 - Date : 2015 2 23
Float : 1901305 - Cycle : 72 - PI : Jon Turton - Data mode : A - Platform type : APEX - WMO inst type : 846 - FLOAT SERIAL : 6242 - Date : 2015 3 5
Float : 1901305 - Cycle : 73 - PI : Jon Turton - Data mode : A - Platform type : APEX - WMO inst type : 846 - FLOAT SERIAL : 6242 - Date : 2015 3 15
Float : 1901305 - Cycle : 74 - PI : Jon Turton - Data mode : A - Platform type : APEX - WMO inst type : 846 - FLOAT SERIAL : 6242 - Date : 2015 3 25
Float : 1901305 - Cycle : 75 - PI : Jon Turton - Data mode : A - Platform type : APEX - WMO inst type : 846 - FLOAT SERIAL : 6242 - Date : 2015 4 4
Float : 1901305 - Cycle : 76 - PI : Jon Turton - Data mode : A - Platform type : APEX - WMO inst type : 846 - FLOAT SERIAL : 6242 - Date : 2015 4 14
Float : 1901305 - Cycle : 77 - PI : Jon Turton - Data mode : A - Platform type : APEX - WMO inst type : 846 - FLOAT SERIAL : 6242 - Date : 2015 4 24
Float : 1901305 - Cycle : 78 - PI : Jon Turton - Data mode : A - Platform type : APEX - WMO inst type : 846 - FLOAT SERIAL : 6242 - Date : 2015 5 4
Float : 1901305 - Cycle : 79 - PI : Jon Turton - Data mode : A - Platform type : APEX - WMO inst type : 846 - FLOAT SERIAL : 6242 - Date : 2015 5 14
Float : 1901305 - Cycle : 80 - PI : Jon Turton - Data mode : A - Platform type : APEX - WMO inst type : 846 - FLOAT SERIAL : 6242 - Date : 2015 5 24
Float : 1901305 - Cycle : 81 - PI : Jon Turton - Data mode : A - Platform type : APEX - WMO inst type : 846 - FLOAT SERIAL : 6242 - Date : 2015 6 3
Float : 1901305 - Cycle : 82 - PI : Jon Turton - Data mode : A - Platform type : APEX - WMO inst type : 846 - FLOAT SERIAL : 6242 - Date : 2015 6 13
Float : 1901305 - Cycle : 83 - PI : Jon Turton - Data mode : A - Platform type : APEX - WMO inst type : 846 - FLOAT SERIAL : 6242 - Date : 2015 6 23
Float : 1901305 - Cycle : 84 - PI : Jon Turton - Data mode : A - Platform type : APEX - WMO inst type : 846 - FLOAT SERIAL : 6242 - Date : 2015 7 3
Float : 1901305 - Cycle : 85 - PI : Jon Turton - Data mode : A - Platform type : APEX - WMO inst type : 846 - FLOAT SERIAL : 6242 - Date : 2015 7 13
Float : 1901305 - Cycle : 86 - PI : Jon Turton - Data mode : A - Platform type : APEX - WMO inst type : 846 - FLOAT SERIAL : 6242 - Date : 2015 7 23
Float : 1901305 - Cycle : 87 - PI : Jon Turton - Data mode : A - Platform type : APEX - WMO inst type : 846 - FLOAT SERIAL : 6242 - Date : 2015 8 2
Float : 1901305 - Cycle : 88 - PI : Jon Turton - Data mode : A - Platform type : APEX - WMO inst type : 846 - FLOAT SERIAL : 6242 - Date : 2015 8 12
Float : 1901305 - Cycle : 89 - PI : Jon Turton - Data mode : A - Platform type : APEX - WMO inst type : 846 - FLOAT SERIAL : 6242 - Date : 2015 8 22
Float : 1901305 - Cycle : 90 - PI : Jon Turton - Data mode : A - Platform type : APEX - WMO inst type : 846 - FLOAT SERIAL : 6242 - Date : 2015 9 1
Float : 1901305 - Cycle : 91 - PI : Jon Turton - Data mode : A - Platform type : APEX - WMO inst type : 846 - FLOAT SERIAL : 6242 - Date : 2015 9 11
Float : 1901305 - Cycle : 92 - PI : Jon Turton - Data mode : A - Platform type : APEX - WMO inst type : 846 - FLOAT SERIAL : 6242 - Date : 2015 9 21
Float : 1901305 - Cycle : 93 - PI : Jon Turton - Data mode : A - Platform type : APEX - WMO inst type : 846 - FLOAT SERIAL : 6242 - Date : 2015 10 1
Float : 1901305 - Cycle : 94 - PI : Jon Turton - Data mode : A - Platform type : APEX - WMO inst type : 846 - FLOAT SERIAL : 6242 - Date : 2015 10 11
Float : 1901305 - Cycle : 95 - PI : Jon Turton - Data mode : A - Platform type : APEX - WMO inst type : 846 - FLOAT SERIAL : 6242 - Date : 2015 10 21
Float : 1901305 - Cycle : 96 - PI : Jon Turton - Data mode : A - Platform type : APEX - WMO inst type : 846 - FLOAT SERIAL : 6242 - Date : 2015 10 31
Float : 1901305 - Cycle : 97 - PI : Jon Turton - Data mode : A - Platform type : APEX - WMO inst type : 846 - FLOAT SERIAL : 6242 - Date : 2015 11 10
Float : 1901305 - Cycle : 98 - PI : Jon Turton - Data mode : A - Platform type : APEX - WMO inst type : 846 - FLOAT SERIAL : 6242 - Date : 2015 11 20
Float : 1901305 - Cycle : 99 - PI : Jon Turton - Data mode : A - Platform type : APEX - WMO inst type : 846 - FLOAT SERIAL : 6242 - Date : 2015 11 30
Float : 1901316 - Cycle : 88 - PI : Jon Turton - Data mode : A - Platform type : APEX - WMO inst type : 846 - FLOAT SERIAL : 6616 - Date : 2016 2 11
Float : 1901850 - Cycle : 146 - PI : Jon Turton - Data mode : A - Platform type : APEX - WMO inst type : 846 - FLOAT SERIAL : 7009 - Date : 2018 5 22
Float : 1901850 - Cycle : 147 - PI : Jon Turton - Data mode : A - Platform type : APEX - WMO inst type : 846 - FLOAT SERIAL : 7009 - Date : 2018 6 1
Float : 1901850 - Cycle : 149 - PI : Jon Turton - Data mode : A - Platform type : APEX - WMO inst type : 846 - FLOAT SERIAL : 7009 - Date : 2018 6 21
Float : 1901850 - Cycle : 155 - PI : Jon Turton - Data mode : A - Platform type : APEX - WMO inst type : 846 - FLOAT SERIAL : 7009 - Date : 2018 8 20
Float : 1901850 - Cycle : 156 - PI : Jon Turton - Data mode : A - Platform type : APEX - WMO inst type : 846 - FLOAT SERIAL : 7009 - Date : 2018 8 30
Float : 1901850 - Cycle : 157 - PI : Jon Turton - Data mode : A - Platform type : APEX - WMO inst type : 846 - FLOAT SERIAL : 7009 - Date : 2018 9 9
Float : 1901850 - Cycle : 158 - PI : Jon Turton - Data mode : A - Platform type : APEX - WMO inst type : 846 - FLOAT SERIAL : 7009 - Date : 2018 9 19
Float : 1901850 - Cycle : 165 - PI : Jon Turton - Data mode : A - Platform type : APEX - WMO inst type : 846 - FLOAT SERIAL : 7009 - Date : 2018 11 28
Float : 1901850 - Cycle : 167 - PI : Jon Turton - Data mode : A - Platform type : APEX - WMO inst type : 846 - FLOAT SERIAL : 7009 - Date : 2018 12 18
Float : 1901850 - Cycle : 169 - PI : Jon Turton - Data mode : A - Platform type : APEX - WMO inst type : 846 - FLOAT SERIAL : 7009 - Date : 2019 1 7
Float : 1901850 - Cycle : 182 - PI : Jon Turton - Data mode : A - Platform type : APEX - WMO inst type : 846 - FLOAT SERIAL : 7009 - Date : 2019 5 17
Float : 1901850 - Cycle : 32 - PI : Jon Turton - Data mode : A - Platform type : APEX - WMO inst type : 846 - FLOAT SERIAL : 7009 - Date : 2015 4 8
Float : 1901856 - Cycle : 155 - PI : Jon Turton - Data mode : A - Platform type : APEX - WMO inst type : 846 - FLOAT SERIAL : 6994 - Date : 2018 11 26
Float : 1901856 - Cycle : 156 - PI : Jon Turton - Data mode : A - Platform type : APEX - WMO inst type : 846 - FLOAT SERIAL : 6994 - Date : 2018 12 6
Float : 1901863 - Cycle : 84 - PI : Jon Turton - Data mode : A - Platform type : APEX - WMO inst type : 846 - FLOAT SERIAL : 7212 - Date : 2018 10 20
Float : 1901868 - Cycle : 53 - PI : Jon Turton - Data mode : A - Platform type : APEX - WMO inst type : 846 - FLOAT SERIAL : 7342 - Date : 2018 8 21
Float : 1901868 - Cycle : 54 - PI : Jon Turton - Data mode : A - Platform type : APEX - WMO inst type : 846 - FLOAT SERIAL : 7342 - Date : 2018 8 30
Float : 1901868 - Cycle : 56 - PI : Jon Turton - Data mode : A - Platform type : APEX - WMO inst type : 846 - FLOAT SERIAL : 7342 - Date : 2018 9 20
Float : 1901868 - Cycle : 57 - PI : Jon Turton - Data mode : A - Platform type : APEX - WMO inst type : 846 - FLOAT SERIAL : 7342 - Date : 2018 9 29
Float : 1901868 - Cycle : 59 - PI : Jon Turton - Data mode : A - Platform type : APEX - WMO inst type : 846 - FLOAT SERIAL : 7342 - Date : 2018 10 19
Float : 1901868 - Cycle : 60 - PI : Jon Turton - Data mode : A - Platform type : APEX - WMO inst type : 846 - FLOAT SERIAL : 7342 - Date : 2018 10 30
Float : 1901870 - Cycle : 62 - PI : Jon Turton - Data mode : A - Platform type : APEX - WMO inst type : 846 - FLOAT SERIAL : 7344 - Date : 2018 11 19
Float : 1901872 - Cycle : 61 - PI : Jon Turton - Data mode : A - Platform type : APEX - WMO inst type : 846 - FLOAT SERIAL : 5606 - Date : 2018 4 28
Float : 1901873 - Cycle : 17 - PI : Jon Turton - Data mode : A - Platform type : NAVIS_EBR - WMO inst type : 863 - FLOAT SERIAL : 0662 - Date : 2017 1 1
Float : 1901873 - Cycle : 92 - PI : Jon Turton - Data mode : A - Platform type : NAVIS_EBR - WMO inst type : 863 - FLOAT SERIAL : 0662 - Date : 2019 1 22
Float : 1901875 - Cycle : 26 - PI : Brian King - Data mode : A - Platform type : NAVIS_EBR - WMO inst type : 863 - FLOAT SERIAL : 0651 - Date : 2017 7 17
Float : 1901880 - Cycle : 24 - PI : Brian King - Data mode : A - Platform type : NAVIS_EBR - WMO inst type : 863 - FLOAT SERIAL : 0658 - Date : 2017 9 5
Float : 1901900 - Cycle : 1 - PI : Jon Turton - Data mode : A - Platform type : APEX - WMO inst type : 846 - FLOAT SERIAL : 5600 - Date : 2018 5 22
Float : 1901907 - Cycle : 16 - PI : Jon Turton - Data mode : A - Platform type : APEX - WMO inst type : 846 - FLOAT SERIAL : 5601 - Date : 2018 10 20
Float : 2901896 - Cycle : 123 - PI : Brian King - Data mode : A - Platform type : NAVIS_EBR - WMO inst type : 863 - FLOAT SERIAL : 0626 - Date : 2017 10 26
Float : 2901896 - Cycle : 178 - PI : Brian King - Data mode : A - Platform type : NAVIS_EBR - WMO inst type : 863 - FLOAT SERIAL : 0626 - Date : 2019 4 29
Float : 2901902 - Cycle : 27 - PI : Jon Turton - Data mode : A - Platform type : APEX - WMO inst type : 846 - FLOAT SERIAL : 5565 - Date : 2018 7 28
Float : 2901903 - Cycle : 29 - PI : Jon Turton - Data mode : A - Platform type : APEX - WMO inst type : 846 - FLOAT SERIAL : 5566 - Date : 2018 8 17

Float : 3900559 - Cycle : 139 - PI : Jon Turton - Data mode : A - Platform type : NAVIS_A - WMO inst type : 863 - FLOAT SERIAL : 0252 - Date : 2017 8 5
Float : 3900559 - Cycle : 65 - PI : Jon Turton - Data mode : A - Platform type : NAVIS_A - WMO inst type : 863 - FLOAT SERIAL : 0252 - Date : 2015 7 27
Float : 3901507 - Cycle : 126 - PI : Jon Turton - Data mode : A - Platform type : APEX - WMO inst type : 846 - FLOAT SERIAL : 5595 - Date : 2018 7 6
Float : 3901511 - Cycle : 108 - PI : Jon Turton - Data mode : A - Platform type : APEX - WMO inst type : 846 - FLOAT SERIAL : 7021 - Date : 2018 1 8
Float : 3901511 - Cycle : 109 - PI : Jon Turton - Data mode : A - Platform type : APEX - WMO inst type : 846 - FLOAT SERIAL : 7021 - Date : 2018 1 18
Float : 3901511 - Cycle : 110 - PI : Jon Turton - Data mode : A - Platform type : APEX - WMO inst type : 846 - FLOAT SERIAL : 7021 - Date : 2018 1 28
Float : 3901511 - Cycle : 111 - PI : Jon Turton - Data mode : A - Platform type : APEX - WMO inst type : 846 - FLOAT SERIAL : 7021 - Date : 2018 2 7
Float : 3901511 - Cycle : 112 - PI : Jon Turton - Data mode : A - Platform type : APEX - WMO inst type : 846 - FLOAT SERIAL : 7021 - Date : 2018 2 17
Float : 3901511 - Cycle : 113 - PI : Jon Turton - Data mode : A - Platform type : APEX - WMO inst type : 846 - FLOAT SERIAL : 7021 - Date : 2018 2 27
Float : 3901511 - Cycle : 114 - PI : Jon Turton - Data mode : A - Platform type : APEX - WMO inst type : 846 - FLOAT SERIAL : 7021 - Date : 2018 3 9
Float : 3901511 - Cycle : 115 - PI : Jon Turton - Data mode : A - Platform type : APEX - WMO inst type : 846 - FLOAT SERIAL : 7021 - Date : 2018 3 19
Float : 3901511 - Cycle : 116 - PI : Jon Turton - Data mode : A - Platform type : APEX - WMO inst type : 846 - FLOAT SERIAL : 7021 - Date : 2018 3 29
Float : 3901511 - Cycle : 117 - PI : Jon Turton - Data mode : A - Platform type : APEX - WMO inst type : 846 - FLOAT SERIAL : 7021 - Date : 2018 4 8
Float : 3901511 - Cycle : 118 - PI : Jon Turton - Data mode : A - Platform type : APEX - WMO inst type : 846 - FLOAT SERIAL : 7021 - Date : 2018 4 18
Float : 3901511 - Cycle : 119 - PI : Jon Turton - Data mode : A - Platform type : APEX - WMO inst type : 846 - FLOAT SERIAL : 7021 - Date : 2018 4 28
Float : 3901511 - Cycle : 120 - PI : Jon Turton - Data mode : A - Platform type : APEX - WMO inst type : 846 - FLOAT SERIAL : 7021 - Date : 2018 5 8
Float : 3901511 - Cycle : 121 - PI : Jon Turton - Data mode : A - Platform type : APEX - WMO inst type : 846 - FLOAT SERIAL : 7021 - Date : 2018 5 18
Float : 3901511 - Cycle : 122 - PI : Jon Turton - Data mode : A - Platform type : APEX - WMO inst type : 846 - FLOAT SERIAL : 7021 - Date : 2018 5 28
Float : 3901511 - Cycle : 123 - PI : Jon Turton - Data mode : A - Platform type : APEX - WMO inst type : 846 - FLOAT SERIAL : 7021 - Date : 2018 6 7
Float : 3901511 - Cycle : 124 - PI : Jon Turton - Data mode : A - Platform type : APEX - WMO inst type : 846 - FLOAT SERIAL : 7021 - Date : 2018 6 17
Float : 3901511 - Cycle : 125 - PI : Jon Turton - Data mode : A - Platform type : APEX - WMO inst type : 846 - FLOAT SERIAL : 7021 - Date : 2018 6 27
Float : 3901511 - Cycle : 126 - PI : Jon Turton - Data mode : A - Platform type : APEX - WMO inst type : 846 - FLOAT SERIAL : 7021 - Date : 2018 7 7
Float : 3901511 - Cycle : 127 - PI : Jon Turton - Data mode : A - Platform type : APEX - WMO inst type : 846 - FLOAT SERIAL : 7021 - Date : 2018 7 17
Float : 3901511 - Cycle : 128 - PI : Jon Turton - Data mode : A - Platform type : APEX - WMO inst type : 846 - FLOAT SERIAL : 7021 - Date : 2018 7 27
Float : 3901511 - Cycle : 129 - PI : Jon Turton - Data mode : A - Platform type : APEX - WMO inst type : 846 - FLOAT SERIAL : 7021 - Date : 2018 8 6
Float : 3901511 - Cycle : 130 - PI : Jon Turton - Data mode : A - Platform type : APEX - WMO inst type : 846 - FLOAT SERIAL : 7021 - Date : 2018 8 16
Float : 3901511 - Cycle : 131 - PI : Jon Turton - Data mode : A - Platform type : APEX - WMO inst type : 846 - FLOAT SERIAL : 7021 - Date : 2018 8 26
Float : 3901511 - Cycle : 132 - PI : Jon Turton - Data mode : A - Platform type : APEX - WMO inst type : 846 - FLOAT SERIAL : 7021 - Date : 2018 9 5
Float : 3901511 - Cycle : 133 - PI : Jon Turton - Data mode : A - Platform type : APEX - WMO inst type : 846 - FLOAT SERIAL : 7021 - Date : 2018 9 15
Float : 3901511 - Cycle : 134 - PI : Jon Turton - Data mode : A - Platform type : APEX - WMO inst type : 846 - FLOAT SERIAL : 7021 - Date : 2018 9 25
Float : 3901511 - Cycle : 135 - PI : Jon Turton - Data mode : A - Platform type : APEX - WMO inst type : 846 - FLOAT SERIAL : 7021 - Date : 2018 10 5
Float : 3901511 - Cycle : 136 - PI : Jon Turton - Data mode : A - Platform type : APEX - WMO inst type : 846 - FLOAT SERIAL : 7021 - Date : 2018 10 15
Float : 3901511 - Cycle : 37 - PI : Jon Turton - Data mode : A - Platform type : APEX - WMO inst type : 846 - FLOAT SERIAL : 7021 - Date : 2016 1 29
Float : 3901511 - Cycle : 39 - PI : Jon Turton - Data mode : A - Platform type : APEX - WMO inst type : 846 - FLOAT SERIAL : 7021 - Date : 2016 2 18
Float : 3901511 - Cycle : 41 - PI : Jon Turton - Data mode : A - Platform type : APEX - WMO inst type : 846 - FLOAT SERIAL : 7021 - Date : 2016 3 9
Float : 3901511 - Cycle : 42 - PI : Jon Turton - Data mode : A - Platform type : APEX - WMO inst type : 846 - FLOAT SERIAL : 7021 - Date : 2016 3 19
Float : 3901511 - Cycle : 43 - PI : Jon Turton - Data mode : A - Platform type : APEX - WMO inst type : 846 - FLOAT SERIAL : 7021 - Date : 2016 3 29
Float : 3901511 - Cycle : 44 - PI : Jon Turton - Data mode : A - Platform type : APEX - WMO inst type : 846 - FLOAT SERIAL : 7021 - Date : 2016 4 8
Float : 3901511 - Cycle : 45 - PI : Jon Turton - Data mode : A - Platform type : APEX - WMO inst type : 846 - FLOAT SERIAL : 7021 - Date : 2016 4 18
Float : 3901511 - Cycle : 48 - PI : Jon Turton - Data mode : A - Platform type : APEX - WMO inst type : 846 - FLOAT SERIAL : 7021 - Date : 2016 5 18
Float : 3901511 - Cycle : 49 - PI : Jon Turton - Data mode : A - Platform type : APEX - WMO inst type : 846 - FLOAT SERIAL : 7021 - Date : 2016 5 28
Float : 3901511 - Cycle : 50 - PI : Jon Turton - Data mode : A - Platform type : APEX - WMO inst type : 846 - FLOAT SERIAL : 7021 - Date : 2016 6 7
Float : 3901511 - Cycle : 51 - PI : Jon Turton - Data mode : A - Platform type : APEX - WMO inst type : 846 - FLOAT SERIAL : 7021 - Date : 2016 6 17
Float : 3901511 - Cycle : 52 - PI : Jon Turton - Data mode : A - Platform type : APEX - WMO inst type : 846 - FLOAT SERIAL : 7021 - Date : 2016 6 27
Float : 3901511 - Cycle : 53 - PI : Jon Turton - Data mode : A - Platform type : APEX - WMO inst type : 846 - FLOAT SERIAL : 7021 - Date : 2016 7 7
Float : 3901511 - Cycle : 55 - PI : Jon Turton - Data mode : A - Platform type : APEX - WMO inst type : 846 - FLOAT SERIAL : 7021 - Date : 2016 7 27
Float : 3901516 - Cycle : 116 - PI : Jon Turton - Data mode : A - Platform type : APEX - WMO inst type : 846 - FLOAT SERIAL : 7030 - Date : 2018 9 27
Float : 3901535 - Cycle : 65 - PI : Jon Turton - Data mode : A - Platform type : APEX - WMO inst type : 846 - FLOAT SERIAL : 7593 - Date : 2019 1 28
Float : 3901548 - Cycle : 24 - PI : Jon Turton - Data mode : A - Platform type : APEX - WMO inst type : 846 - FLOAT SERIAL : 7001 - Date : 2019 6 2
Float : 3901548 - Cycle : 25 - PI : Jon Turton - Data mode : A - Platform type : APEX - WMO inst type : 846 - FLOAT SERIAL : 7001 - Date : 2019 6 12
Float : 3901548 - Cycle : 26 - PI : Jon Turton - Data mode : A - Platform type : APEX - WMO inst type : 846 - FLOAT SERIAL : 7001 - Date : 2019 6 22
Float : 3901881 - Cycle : 55 - PI : Andreas Sterl - Data mode : D - Platform type : ARVOR - WMO inst type : 844 - FLOAT SERIAL : AI2600-16FR044 - Date : 2018 7 18
Float : 3901881 - Cycle : 61 - PI : Andreas Sterl - Data mode : D - Platform type : ARVOR - WMO inst type : 844 - FLOAT SERIAL : AI2600-16FR044 - Date : 2018 9 16
Float : 3901883 - Cycle : 61 - PI : Andreas Sterl - Data mode : D - Platform type : ARVOR - WMO inst type : 844 - FLOAT SERIAL : AI2600-16FR046 - Date : 2018 9 22
Float : 3901883 - Cycle : 86 - PI : Andreas Sterl - Data mode : R - Platform type : ARVOR - WMO inst type : 844 - FLOAT SERIAL : AI2600-16FR046 - Date : 2019 5 30
Float : 3901883 - Cycle : 87 - PI : Andreas Sterl - Data mode : R - Platform type : ARVOR - WMO inst type : 844 - FLOAT SERIAL : AI2600-16FR046 - Date : 2019 6 9
Float : 3901883 - Cycle : 88 - PI : Andreas Sterl - Data mode : R - Platform type : ARVOR - WMO inst type : 844 - FLOAT SERIAL : AI2600-16FR046 - Date : 2019 6 19
Float : 3901884 - Cycle : 79 - PI : Andreas Sterl - Data mode : R - Platform type : ARVOR - WMO inst type : 844 - FLOAT SERIAL : AI2600-16FR047 - Date : 2019 6 5
Float : 3901884 - Cycle : 80 - PI : Andreas Sterl - Data mode : R - Platform type : ARVOR - WMO inst type : 844 - FLOAT SERIAL : AI2600-16FR047 - Date : 2019 6 15
Float : 3901884 - Cycle : 81 - PI : Andreas Sterl - Data mode : R - Platform type : ARVOR - WMO inst type : 844 - FLOAT SERIAL : AI2600-16FR047 - Date : 2019 6 25
Float : 3901888 - Cycle : 55 - PI : Andreas Sterl - Data mode : D - Platform type : ARVOR - WMO inst type : 844 - FLOAT SERIAL : AI2600-16FR051 - Date : 2018 8 21
Float : 3901889 - Cycle : 56 - PI : Andreas Sterl - Data mode : D - Platform type : ARVOR - WMO inst type : 844 - FLOAT SERIAL : AI2600-16FR052 - Date : 2018 10 10
Float : 3901889 - Cycle : 79 - PI : Andreas Sterl - Data mode : R - Platform type : ARVOR - WMO inst type : 844 - FLOAT SERIAL : AI2600-16FR052 - Date : 2019 5 28
Float : 3901889 - Cycle : 80 - PI : Andreas Sterl - Data mode : R - Platform type : ARVOR - WMO inst type : 844 - FLOAT SERIAL : AI2600-16FR052 - Date : 2019 6 7
Float : 3901889 - Cycle : 81 - PI : Andreas Sterl - Data mode : R - Platform type : ARVOR - WMO inst type : 844 - FLOAT SERIAL : AI2600-16FR052 - Date : 2019 6 17
Float : 3901893 - Cycle : 97 - PI : Josep Lluis Pelegri - Data mode : R - Platform type : ARVOR - WMO inst type : 844 - FLOAT SERIAL : AI2600-16FR056 - Date : 2019 6 14
Float : 3901893 - Cycle : 98 - PI : Josep Lluis Pelegri - Data mode : R - Platform type : ARVOR - WMO inst type : 844 - FLOAT SERIAL : AI2600-16FR056 - Date : 2019 6 24
Float : 3901896 - Cycle : 78 - PI : Josep Lluis Pelegri - Data mode : R - Platform type : ARVOR - WMO inst type : 844 - FLOAT SERIAL : AI2600-16FR059 - Date : 2019 6 5
Float : 3901896 - Cycle : 79 - PI : Josep Lluis Pelegri - Data mode : R - Platform type : ARVOR - WMO inst type : 844 - FLOAT SERIAL : AI2600-16FR059 - Date : 2019 6 15
Float : 3901896 - Cycle : 80 - PI : Josep Lluis Pelegri - Data mode : R - Platform type : ARVOR - WMO inst type : 844 - FLOAT SERIAL : AI2600-16FR059 - Date : 2019 6 25
Float : 3901897 - Cycle : 42 - PI : Josep Lluis Pelegri - Data mode : D - Platform type : ARVOR - WMO inst type : 844 - FLOAT SERIAL : AI2600-16FR060 - Date : 2018 6 26
Float : 3901897 - Cycle : 43 - PI : Josep Lluis Pelegri - Data mode : D - Platform type : ARVOR - WMO inst type : 844 - FLOAT SERIAL : AI2600-16FR060 - Date : 2018 7 6
Float : 3901897 - Cycle : 44 - PI : Josep Lluis Pelegri - Data mode : D - Platform type : ARVOR - WMO inst type : 844 - FLOAT SERIAL : AI2600-16FR060 - Date : 2018 7 16
Float : 3901897 - Cycle : 45 - PI : Josep Lluis Pelegri - Data mode : D - Platform type : ARVOR - WMO inst type : 844 - FLOAT SERIAL : AI2600-16FR060 - Date : 2018 7 26

Float : 3901897 - Cycle : 46 - PI : Josep Lluis Pelegri - Data mode : D - Platform type : ARVOR - WMO inst type : 844 - FLOAT SERIAL : AI2600-16FR060 - Date : 2018 8 5
Float : 3901897 - Cycle : 47 - PI : Josep Lluis Pelegri - Data mode : D - Platform type : ARVOR - WMO inst type : 844 - FLOAT SERIAL : AI2600-16FR060 - Date : 2018 8 15
Float : 3901897 - Cycle : 48 - PI : Josep Lluis Pelegri - Data mode : D - Platform type : ARVOR - WMO inst type : 844 - FLOAT SERIAL : AI2600-16FR060 - Date : 2018 8 25
Float : 3901897 - Cycle : 49 - PI : Josep Lluis Pelegri - Data mode : D - Platform type : ARVOR - WMO inst type : 844 - FLOAT SERIAL : AI2600-16FR060 - Date : 2018 9 4
Float : 3901897 - Cycle : 50 - PI : Josep Lluis Pelegri - Data mode : D - Platform type : ARVOR - WMO inst type : 844 - FLOAT SERIAL : AI2600-16FR060 - Date : 2018 9 14
Float : 3901897 - Cycle : 51 - PI : Josep Lluis Pelegri - Data mode : D - Platform type : ARVOR - WMO inst type : 844 - FLOAT SERIAL : AI2600-16FR060 - Date : 2018 9 24
Float : 3901897 - Cycle : 52 - PI : Josep Lluis Pelegri - Data mode : D - Platform type : ARVOR - WMO inst type : 844 - FLOAT SERIAL : AI2600-16FR060 - Date : 2018 10 4
Float : 3901897 - Cycle : 53 - PI : Josep Lluis Pelegri - Data mode : D - Platform type : ARVOR - WMO inst type : 844 - FLOAT SERIAL : AI2600-16FR060 - Date : 2018 10 14
Float : 3901897 - Cycle : 54 - PI : Josep Lluis Pelegri - Data mode : D - Platform type : ARVOR - WMO inst type : 844 - FLOAT SERIAL : AI2600-16FR060 - Date : 2018 10 24
Float : 3901897 - Cycle : 55 - PI : Josep Lluis Pelegri - Data mode : D - Platform type : ARVOR - WMO inst type : 844 - FLOAT SERIAL : AI2600-16FR060 - Date : 2018 11 3
Float : 3901898 - Cycle : 45 - PI : Josep Lluis Pelegri - Data mode : D - Platform type : ARVOR - WMO inst type : 844 - FLOAT SERIAL : AI2600-16FR061 - Date : 2018 7 26
Float : 3901898 - Cycle : 46 - PI : Josep Lluis Pelegri - Data mode : D - Platform type : ARVOR - WMO inst type : 844 - FLOAT SERIAL : AI2600-16FR061 - Date : 2018 8 5
Float : 3901898 - Cycle : 47 - PI : Josep Lluis Pelegri - Data mode : D - Platform type : ARVOR - WMO inst type : 844 - FLOAT SERIAL : AI2600-16FR061 - Date : 2018 8 15
Float : 3901898 - Cycle : 48 - PI : Josep Lluis Pelegri - Data mode : D - Platform type : ARVOR - WMO inst type : 844 - FLOAT SERIAL : AI2600-16FR061 - Date : 2018 8 25
Float : 3901898 - Cycle : 49 - PI : Josep Lluis Pelegri - Data mode : D - Platform type : ARVOR - WMO inst type : 844 - FLOAT SERIAL : AI2600-16FR061 - Date : 2018 9 4
Float : 3901898 - Cycle : 50 - PI : Josep Lluis Pelegri - Data mode : D - Platform type : ARVOR - WMO inst type : 844 - FLOAT SERIAL : AI2600-16FR061 - Date : 2018 9 14
Float : 3901899 - Cycle : 58 - PI : Pierre-Marie Poulain - Data mode : D - Platform type : ARVOR - WMO inst type : 844 - FLOAT SERIAL : AI2600-16FR062 - Date : 2018 8 17
Float : 3901900 - Cycle : 62 - PI : Pierre-Marie Poulain - Data mode : D - Platform type : ARVOR - WMO inst type : 844 - FLOAT SERIAL : AI2600-16FR063 - Date : 2018 9 28
Float : 3901900 - Cycle : 66 - PI : Pierre-Marie Poulain - Data mode : D - Platform type : ARVOR - WMO inst type : 844 - FLOAT SERIAL : AI2600-16FR063 - Date : 2018 11 7
Float : 3901904 - Cycle : 58 - PI : Pierre-Marie Poulain - Data mode : D - Platform type : ARVOR - WMO inst type : 844 - FLOAT SERIAL : AR2600-16FR067 - Date : 2018 8 19
Float : 3901904 - Cycle : 67 - PI : Pierre-Marie Poulain - Data mode : R - Platform type : ARVOR - WMO inst type : 844 - FLOAT SERIAL : AR2600-16FR067 - Date : 2018 11 17
Float : 3901904 - Cycle : 76 - PI : Pierre-Marie Poulain - Data mode : R - Platform type : ARVOR - WMO inst type : 844 - FLOAT SERIAL : AR2600-16FR067 - Date : 2019 2 15
Float : 3901904 - Cycle : 77 - PI : Pierre-Marie Poulain - Data mode : R - Platform type : ARVOR - WMO inst type : 844 - FLOAT SERIAL : AR2600-16FR067 - Date : 2019 2 25
Float : 3901904 - Cycle : 78 - PI : Pierre-Marie Poulain - Data mode : R - Platform type : ARVOR - WMO inst type : 844 - FLOAT SERIAL : AR2600-16FR067 - Date : 2019 3 7
Float : 3901904 - Cycle : 79 - PI : Pierre-Marie Poulain - Data mode : R - Platform type : ARVOR - WMO inst type : 844 - FLOAT SERIAL : AR2600-16FR067 - Date : 2019 3 17
Float : 3901904 - Cycle : 80 - PI : Pierre-Marie Poulain - Data mode : R - Platform type : ARVOR - WMO inst type : 844 - FLOAT SERIAL : AR2600-16FR067 - Date : 2019 3 27
Float : 3901904 - Cycle : 81 - PI : Pierre-Marie Poulain - Data mode : R - Platform type : ARVOR - WMO inst type : 844 - FLOAT SERIAL : AR2600-16FR067 - Date : 2019 4 6
Float : 3901904 - Cycle : 82 - PI : Pierre-Marie Poulain - Data mode : R - Platform type : ARVOR - WMO inst type : 844 - FLOAT SERIAL : AR2600-16FR067 - Date : 2019 4 16
Float : 3901904 - Cycle : 83 - PI : Pierre-Marie Poulain - Data mode : R - Platform type : ARVOR - WMO inst type : 844 - FLOAT SERIAL : AR2600-16FR067 - Date : 2019 4 26
Float : 3901904 - Cycle : 84 - PI : Pierre-Marie Poulain - Data mode : R - Platform type : ARVOR - WMO inst type : 844 - FLOAT SERIAL : AR2600-16FR067 - Date : 2019 5 6
Float : 3901904 - Cycle : 85 - PI : Pierre-Marie Poulain - Data mode : R - Platform type : ARVOR - WMO inst type : 844 - FLOAT SERIAL : AR2600-16FR067 - Date : 2019 5 16
Float : 3901904 - Cycle : 86 - PI : Pierre-Marie Poulain - Data mode : R - Platform type : ARVOR - WMO inst type : 844 - FLOAT SERIAL : AR2600-16FR067 - Date : 2019 5 26
Float : 3901904 - Cycle : 87 - PI : Pierre-Marie Poulain - Data mode : R - Platform type : ARVOR - WMO inst type : 844 - FLOAT SERIAL : AR2600-16FR067 - Date : 2019 6 5
Float : 3901904 - Cycle : 88 - PI : Pierre-Marie Poulain - Data mode : R - Platform type : ARVOR - WMO inst type : 844 - FLOAT SERIAL : AR2600-16FR067 - Date : 2019 6 15
Float : 3901904 - Cycle : 89 - PI : Pierre-Marie Poulain - Data mode : R - Platform type : ARVOR - WMO inst type : 844 - FLOAT SERIAL : AR2600-16FR067 - Date : 2019 6 25
Float : 3901912 - Cycle : 120 - PI : Romain Cancouet - Data mode : R - Platform type : ARVOR - WMO inst type : 844 - FLOAT SERIAL : AI2600-16FR075 - Date : 2019 6 1
Float : 3901912 - Cycle : 121 - PI : Romain Cancouet - Data mode : R - Platform type : ARVOR - WMO inst type : 844 - FLOAT SERIAL : AI2600-16FR075 - Date : 2019 6 11
Float : 3901912 - Cycle : 122 - PI : Romain Cancouet - Data mode : R - Platform type : ARVOR - WMO inst type : 844 - FLOAT SERIAL : AI2600-16FR075 - Date : 2019 6 21
Float : 3901912 - Cycle : 90 - PI : Romain Cancouet - Data mode : R - Platform type : ARVOR - WMO inst type : 844 - FLOAT SERIAL : AI2600-16FR075 - Date : 2018 8 5
Float : 3901913 - Cycle : 63 - PI : Romain Cancouet - Data mode : R - Platform type : ARVOR - WMO inst type : 844 - FLOAT SERIAL : AI2600-16FR076 - Date : 2017 11 8
Float : 3901913 - Cycle : 64 - PI : Romain Cancouet - Data mode : R - Platform type : ARVOR - WMO inst type : 844 - FLOAT SERIAL : AI2600-16FR076 - Date : 2017 11 18
Float : 3901913 - Cycle : 65 - PI : Romain Cancouet - Data mode : R - Platform type : ARVOR - WMO inst type : 844 - FLOAT SERIAL : AI2600-16FR076 - Date : 2017 11 28
Float : 3901913 - Cycle : 66 - PI : Romain Cancouet - Data mode : R - Platform type : ARVOR - WMO inst type : 844 - FLOAT SERIAL : AI2600-16FR076 - Date : 2017 12 8
Float : 3901913 - Cycle : 67 - PI : Romain Cancouet - Data mode : R - Platform type : ARVOR - WMO inst type : 844 - FLOAT SERIAL : AI2600-16FR076 - Date : 2017 12 18
Float : 3901913 - Cycle : 68 - PI : Romain Cancouet - Data mode : R - Platform type : ARVOR - WMO inst type : 844 - FLOAT SERIAL : AI2600-16FR076 - Date : 2017 12 28
Float : 3901913 - Cycle : 69 - PI : Romain Cancouet - Data mode : R - Platform type : ARVOR - WMO inst type : 844 - FLOAT SERIAL : AI2600-16FR076 - Date : 2018 1 7
Float : 3901913 - Cycle : 70 - PI : Romain Cancouet - Data mode : R - Platform type : ARVOR - WMO inst type : 844 - FLOAT SERIAL : AI2600-16FR076 - Date : 2018 1 17
Float : 3901913 - Cycle : 71 - PI : Romain Cancouet - Data mode : R - Platform type : ARVOR - WMO inst type : 844 - FLOAT SERIAL : AI2600-16FR076 - Date : 2018 1 27
Float : 3901913 - Cycle : 72 - PI : Romain Cancouet - Data mode : R - Platform type : ARVOR - WMO inst type : 844 - FLOAT SERIAL : AI2600-16FR076 - Date : 2018 2 6
Float : 3901913 - Cycle : 73 - PI : Romain Cancouet - Data mode : R - Platform type : ARVOR - WMO inst type : 844 - FLOAT SERIAL : AI2600-16FR076 - Date : 2018 2 16
Float : 3901913 - Cycle : 74 - PI : Romain Cancouet - Data mode : R - Platform type : ARVOR - WMO inst type : 844 - FLOAT SERIAL : AI2600-16FR076 - Date : 2018 2 26
Float : 3901913 - Cycle : 75 - PI : Romain Cancouet - Data mode : R - Platform type : ARVOR - WMO inst type : 844 - FLOAT SERIAL : AI2600-16FR076 - Date : 2018 3 8
Float : 3901913 - Cycle : 76 - PI : Romain Cancouet - Data mode : R - Platform type : ARVOR - WMO inst type : 844 - FLOAT SERIAL : AI2600-16FR076 - Date : 2018 3 18
Float : 3901913 - Cycle : 77 - PI : Romain Cancouet - Data mode : R - Platform type : ARVOR - WMO inst type : 844 - FLOAT SERIAL : AI2600-16FR076 - Date : 2018 3 28
Float : 3901913 - Cycle : 78 - PI : Romain Cancouet - Data mode : R - Platform type : ARVOR - WMO inst type : 844 - FLOAT SERIAL : AI2600-16FR076 - Date : 2018 4 7
Float : 3901913 - Cycle : 79 - PI : Romain Cancouet - Data mode : R - Platform type : ARVOR - WMO inst type : 844 - FLOAT SERIAL : AI2600-16FR076 - Date : 2018 4 17
Float : 3901913 - Cycle : 80 - PI : Romain Cancouet - Data mode : R - Platform type : ARVOR - WMO inst type : 844 - FLOAT SERIAL : AI2600-16FR076 - Date : 2018 4 27
Float : 3901913 - Cycle : 81 - PI : Romain Cancouet - Data mode : R - Platform type : ARVOR - WMO inst type : 844 - FLOAT SERIAL : AI2600-16FR076 - Date : 2018 5 7
Float : 3901913 - Cycle : 82 - PI : Romain Cancouet - Data mode : R - Platform type : ARVOR - WMO inst type : 844 - FLOAT SERIAL : AI2600-16FR076 - Date : 2018 5 17
Float : 3901913 - Cycle : 83 - PI : Romain Cancouet - Data mode : R - Platform type : ARVOR - WMO inst type : 844 - FLOAT SERIAL : AI2600-16FR076 - Date : 2018 5 27
Float : 3901913 - Cycle : 84 - PI : Romain Cancouet - Data mode : R - Platform type : ARVOR - WMO inst type : 844 - FLOAT SERIAL : AI2600-16FR076 - Date : 2018 6 6
Float : 3901913 - Cycle : 85 - PI : Romain Cancouet - Data mode : R - Platform type : ARVOR - WMO inst type : 844 - FLOAT SERIAL : AI2600-16FR076 - Date : 2018 6 16
Float : 3901913 - Cycle : 86 - PI : Romain Cancouet - Data mode : R - Platform type : ARVOR - WMO inst type : 844 - FLOAT SERIAL : AI2600-16FR076 - Date : 2018 6 26
Float : 3901913 - Cycle : 88 - PI : Romain Cancouet - Data mode : R - Platform type : ARVOR - WMO inst type : 844 - FLOAT SERIAL : AI2600-16FR076 - Date : 2018 7 16
Float : 3901913 - Cycle : 90 - PI : Romain Cancouet - Data mode : R - Platform type : ARVOR - WMO inst type : 844 - FLOAT SERIAL : AI2600-16FR076 - Date : 2018 8 5
Float : 3901916 - Cycle : 99 - PI : Romain Cancouet - Data mode : D - Platform type : ARVOR - WMO inst type : 844 - FLOAT SERIAL : AI2600-16FR079 - Date : 2018 11 3
Float : 3901954 - Cycle : 61 - PI : Andy Rees - Data mode : R - Platform type : ARVOR - WMO inst type : 844 - FLOAT SERIAL : AI2600-16FR097 - Date : 2019 6 3
Float : 3901954 - Cycle : 62 - PI : Andy Rees - Data mode : R - Platform type : ARVOR - WMO inst type : 844 - FLOAT SERIAL : AI2600-16FR097 - Date : 2019 6 13
Float : 3901954 - Cycle : 63 - PI : Andy Rees - Data mode : R - Platform type : ARVOR - WMO inst type : 844 - FLOAT SERIAL : AI2600-16FR097 - Date : 2019 6 23
Float : 3901957 - Cycle : 69 - PI : Dimitris Kassis - Data mode : R - Platform type : ARVOR - WMO inst type : 844 - FLOAT SERIAL : AI2600-16FR100 - Date : 2019 4 10
Float : 3901957 - Cycle : 70 - PI : Dimitris Kassis - Data mode : R - Platform type : ARVOR - WMO inst type : 844 - FLOAT SERIAL : AI2600-16FR100 - Date : 2019 4 15
Float : 3901957 - Cycle : 71 - PI : Dimitris Kassis - Data mode : R - Platform type : ARVOR - WMO inst type : 844 - FLOAT SERIAL : AI2600-16FR100 - Date : 2019 4 20
Float : 3901957 - Cycle : 72 - PI : Dimitris Kassis - Data mode : R - Platform type : ARVOR - WMO inst type : 844 - FLOAT SERIAL : AI2600-16FR100 - Date : 2019 4 25
Float : 3901957 - Cycle : 73 - PI : Dimitris Kassis - Data mode : R - Platform type : ARVOR - WMO inst type : 844 - FLOAT SERIAL : AI2600-16FR100 - Date : 2019 4 30

Float : 3901957 - Cycle : 74 - PI : Dimitris Kassis - Data mode : R - Platform type : ARVOR - WMO inst type : 844 - FLOAT SERIAL : AI2600-16FR100 - Date : 2019 5 5
Float : 3901957 - Cycle : 75 - PI : Dimitris Kassis - Data mode : R - Platform type : ARVOR - WMO inst type : 844 - FLOAT SERIAL : AI2600-16FR100 - Date : 2019 5 10
Float : 3901957 - Cycle : 76 - PI : Dimitris Kassis - Data mode : R - Platform type : ARVOR - WMO inst type : 844 - FLOAT SERIAL : AI2600-16FR100 - Date : 2019 5 15
Float : 3901957 - Cycle : 77 - PI : Dimitris Kassis - Data mode : R - Platform type : ARVOR - WMO inst type : 844 - FLOAT SERIAL : AI2600-16FR100 - Date : 2019 5 20
Float : 3901957 - Cycle : 78 - PI : Dimitris Kassis - Data mode : R - Platform type : ARVOR - WMO inst type : 844 - FLOAT SERIAL : AI2600-16FR100 - Date : 2019 5 25
Float : 3901957 - Cycle : 79 - PI : Dimitris Kassis - Data mode : R - Platform type : ARVOR - WMO inst type : 844 - FLOAT SERIAL : AI2600-16FR100 - Date : 2019 5 30
Float : 3901960 - Cycle : 33 - PI : Romain Cancouet - Data mode : R - Platform type : ARVOR - WMO inst type : 844 - FLOAT SERIAL : AI2600-16FR103 - Date : 2018 11 23
Float : 3901979 - Cycle : 142 - PI : Femke de Jong - Data mode : R - Platform type : ARVOR - WMO inst type : 844 - FLOAT SERIAL : AI2600-16FR122 - Date : 2019 4 7
Float : 3901979 - Cycle : 143 - PI : Femke de Jong - Data mode : R - Platform type : ARVOR - WMO inst type : 844 - FLOAT SERIAL : AI2600-16FR122 - Date : 2019 4 10
Float : 3901979 - Cycle : 145 - PI : Femke de Jong - Data mode : R - Platform type : ARVOR - WMO inst type : 844 - FLOAT SERIAL : AI2600-16FR122 - Date : 2019 4 16
Float : 3901979 - Cycle : 146 - PI : Femke de Jong - Data mode : R - Platform type : ARVOR - WMO inst type : 844 - FLOAT SERIAL : AI2600-16FR122 - Date : 2019 4 19
Float : 3901979 - Cycle : 147 - PI : Femke de Jong - Data mode : R - Platform type : ARVOR - WMO inst type : 844 - FLOAT SERIAL : AI2600-16FR122 - Date : 2019 4 22
Float : 3901979 - Cycle : 148 - PI : Femke de Jong - Data mode : R - Platform type : ARVOR - WMO inst type : 844 - FLOAT SERIAL : AI2600-16FR122 - Date : 2019 4 25
Float : 3901979 - Cycle : 149 - PI : Femke de Jong - Data mode : R - Platform type : ARVOR - WMO inst type : 844 - FLOAT SERIAL : AI2600-16FR122 - Date : 2019 4 28
Float : 3901979 - Cycle : 150 - PI : Femke de Jong - Data mode : R - Platform type : ARVOR - WMO inst type : 844 - FLOAT SERIAL : AI2600-16FR122 - Date : 2019 5 1
Float : 3901979 - Cycle : 151 - PI : Femke de Jong - Data mode : R - Platform type : ARVOR - WMO inst type : 844 - FLOAT SERIAL : AI2600-16FR122 - Date : 2019 5 4
Float : 3901979 - Cycle : 152 - PI : Femke de Jong - Data mode : R - Platform type : ARVOR - WMO inst type : 844 - FLOAT SERIAL : AI2600-16FR122 - Date : 2019 5 7
Float : 3901979 - Cycle : 153 - PI : Femke de Jong - Data mode : R - Platform type : ARVOR - WMO inst type : 844 - FLOAT SERIAL : AI2600-16FR122 - Date : 2019 5 10
Float : 3901979 - Cycle : 154 - PI : Femke de Jong - Data mode : R - Platform type : ARVOR - WMO inst type : 844 - FLOAT SERIAL : AI2600-16FR122 - Date : 2019 5 13
Float : 3901979 - Cycle : 155 - PI : Femke de Jong - Data mode : R - Platform type : ARVOR - WMO inst type : 844 - FLOAT SERIAL : AI2600-16FR122 - Date : 2019 5 16
Float : 6900448 - Cycle : 170 - PI : Jon Turton - Data mode : A - Platform type : APEX - WMO inst type : 846 - FLOAT SERIAL : 5537 - Date : 2016 1 11
Float : 6900617 - Cycle : 144 - PI : Jon Turton - Data mode : R - Platform type : APEX - WMO inst type : 846 - FLOAT SERIAL : 3861 - Date : 2014 4 28
Float : 6900617 - Cycle : 146 - PI : Jon Turton - Data mode : R - Platform type : APEX - WMO inst type : 846 - FLOAT SERIAL : 3861 - Date : 2014 5 18
Float : 6901127 - Cycle : 108 - PI : Jon Turton - Data mode : A - Platform type : APEX - WMO inst type : 846 - FLOAT SERIAL : 6231 - Date : 2015 5 25
Float : 6901127 - Cycle : 57 - PI : Jon Turton - Data mode : A - Platform type : APEX - WMO inst type : 846 - FLOAT SERIAL : 6231 - Date : 2014 1 10
Float : 6901127 - Cycle : 60 - PI : Jon Turton - Data mode : A - Platform type : APEX - WMO inst type : 846 - FLOAT SERIAL : 6231 - Date : 2014 2 8
Float : 6901127 - Cycle : 64 - PI : Jon Turton - Data mode : A - Platform type : APEX - WMO inst type : 846 - FLOAT SERIAL : 6231 - Date : 2014 3 20
Float : 6901127 - Cycle : 65 - PI : Jon Turton - Data mode : A - Platform type : APEX - WMO inst type : 846 - FLOAT SERIAL : 6231 - Date : 2014 3 30
Float : 6901128 - Cycle : 126 - PI : Jon Turton - Data mode : A - Platform type : APEX - WMO inst type : 846 - FLOAT SERIAL : 6232 - Date : 2015 11 27
Float : 6901128 - Cycle : 135 - PI : Jon Turton - Data mode : A - Platform type : APEX - WMO inst type : 846 - FLOAT SERIAL : 6232 - Date : 2016 2 23
Float : 6901128 - Cycle : 136 - PI : Jon Turton - Data mode : A - Platform type : APEX - WMO inst type : 846 - FLOAT SERIAL : 6232 - Date : 2016 3 4
Float : 6901128 - Cycle : 137 - PI : Jon Turton - Data mode : A - Platform type : APEX - WMO inst type : 846 - FLOAT SERIAL : 6232 - Date : 2016 3 14
Float : 6901128 - Cycle : 138 - PI : Jon Turton - Data mode : A - Platform type : APEX - WMO inst type : 846 - FLOAT SERIAL : 6232 - Date : 2016 3 24
Float : 6901128 - Cycle : 140 - PI : Jon Turton - Data mode : A - Platform type : APEX - WMO inst type : 846 - FLOAT SERIAL : 6232 - Date : 2016 4 12
Float : 6901128 - Cycle : 141 - PI : Jon Turton - Data mode : A - Platform type : APEX - WMO inst type : 846 - FLOAT SERIAL : 6232 - Date : 2016 4 22
Float : 6901128 - Cycle : 54 - PI : Jon Turton - Data mode : A - Platform type : APEX - WMO inst type : 846 - FLOAT SERIAL : 6232 - Date : 2013 12 22
Float : 6901129 - Cycle : 56 - PI : Jon Turton - Data mode : A - Platform type : APEX - WMO inst type : 846 - FLOAT SERIAL : 6229 - Date : 2014 1 10
Float : 6901130 - Cycle : 67 - PI : Jon Turton - Data mode : A - Platform type : APEX - WMO inst type : 846 - FLOAT SERIAL : 6230 - Date : 2014 4 29
Float : 6901131 - Cycle : 74 - PI : Jon Turton - Data mode : A - Platform type : APEX - WMO inst type : 846 - FLOAT SERIAL : 6235 - Date : 2014 7 7
Float : 6901132 - Cycle : 57 - PI : Jon Turton - Data mode : A - Platform type : APEX - WMO inst type : 846 - FLOAT SERIAL : 6236 - Date : 2014 1 21
Float : 6901137 - Cycle : 47 - PI : Jon Turton - Data mode : A - Platform type : APEX - WMO inst type : 846 - FLOAT SERIAL : 6233 - Date : 2013 11 22
Float : 6901141 - Cycle : 83 - PI : Jon Turton - Data mode : A - Platform type : APEX - WMO inst type : 846 - FLOAT SERIAL : 6234 - Date : 2014 11 10
Float : 6901155 - Cycle : 10 - PI : Jon Turton - Data mode : A - Platform type : NAVIS_A - WMO inst type : 863 - FLOAT SERIAL : 0243 - Date : 2014 1 13
Float : 6901155 - Cycle : 11 - PI : Jon Turton - Data mode : A - Platform type : NAVIS_A - WMO inst type : 863 - FLOAT SERIAL : 0243 - Date : 2014 1 23
Float : 6901156 - Cycle : 31 - PI : Jon Turton - Data mode : A - Platform type : NAVIS_A - WMO inst type : 863 - FLOAT SERIAL : 0251 - Date : 2014 8 12
Float : 6901164 - Cycle : 172 - PI : Jon Turton - Data mode : A - Platform type : NAVIS_A - WMO inst type : 863 - FLOAT SERIAL : 0250 - Date : 2019 1 25
Float : 6901166 - Cycle : 180 - PI : Jon Turton - Data mode : R - Platform type : APEX - WMO inst type : 846 - FLOAT SERIAL : 6608 - Date : 2019 6 5
Float : 6901166 - Cycle : 181 - PI : Jon Turton - Data mode : R - Platform type : APEX - WMO inst type : 846 - FLOAT SERIAL : 6608 - Date : 2019 6 15
Float : 6901167 - Cycle : 137 - PI : Jon Turton - Data mode : R - Platform type : APEX - WMO inst type : 846 - FLOAT SERIAL : 6609 - Date : 2018 4 6
Float : 6901167 - Cycle : 179 - PI : Jon Turton - Data mode : R - Platform type : APEX - WMO inst type : 846 - FLOAT SERIAL : 6609 - Date : 2019 5 31
Float : 6901170 - Cycle : 157 - PI : Jon Turton - Data mode : A - Platform type : APEX - WMO inst type : 846 - FLOAT SERIAL : 7011 - Date : 2018 10 13
Float : 6901170 - Cycle : 158 - PI : Jon Turton - Data mode : R - Platform type : APEX - WMO inst type : 846 - FLOAT SERIAL : 7011 - Date : 2018 10 23
Float : 6901172 - Cycle : 150 - PI : Jon Turton - Data mode : A - Platform type : APEX - WMO inst type : 846 - FLOAT SERIAL : 7013 - Date : 2018 8 8
Float : 6901201 - Cycle : 44 - PI : Jon Turton - Data mode : A - Platform type : APEX - WMO inst type : 846 - FLOAT SERIAL : 8072 - Date : 2018 7 29
Float : 6901915 - Cycle : 6 - PI : Fiona Grant - Data mode : R - Platform type : ARVOR - WMO inst type : 844 - FLOAT SERIAL : OIN 11IR-AR-03 - Date : 2012 10 28

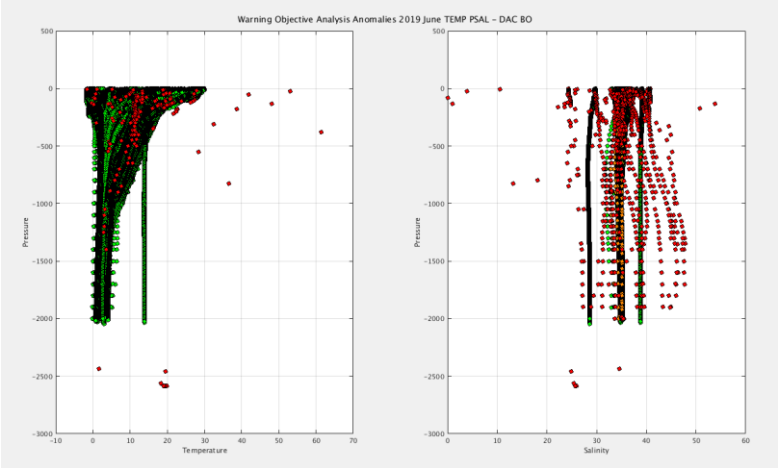

The list of the anomalies can be found at ftp://ftp.ifremer.fr/ifremer/argo/etc/ObjectiveAnalysisWarning/bodc/

Example of anomalies:

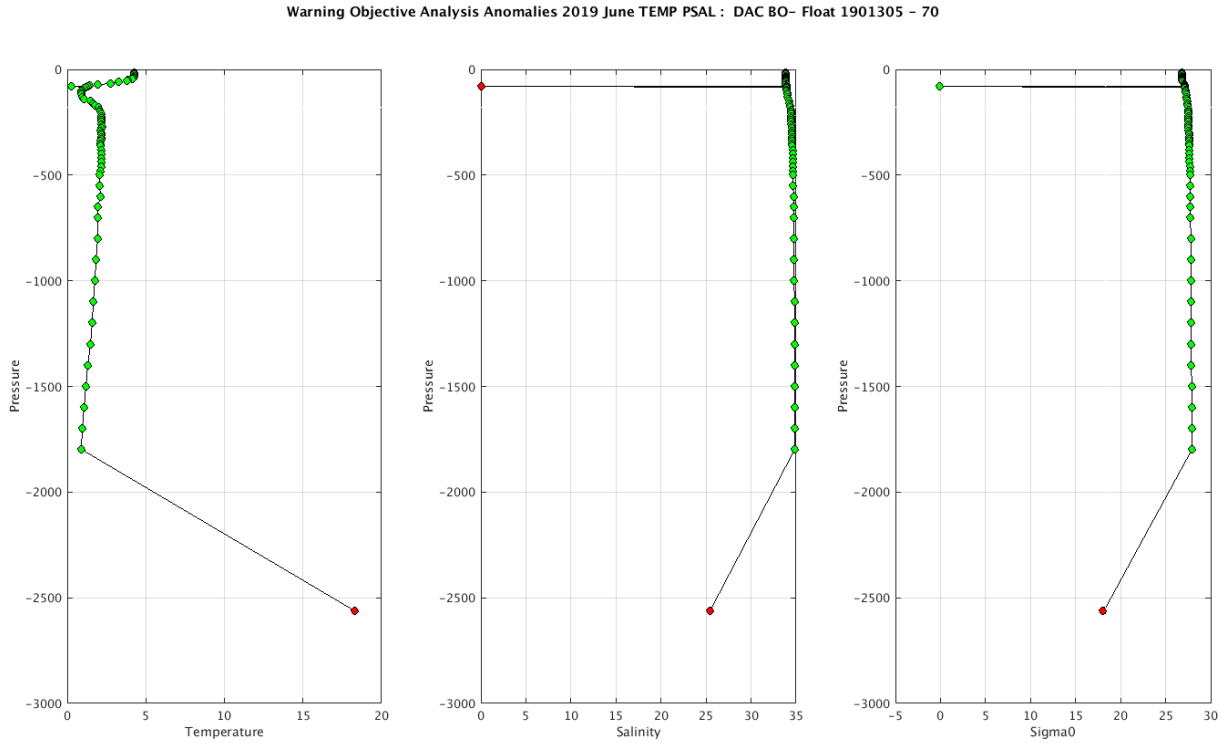

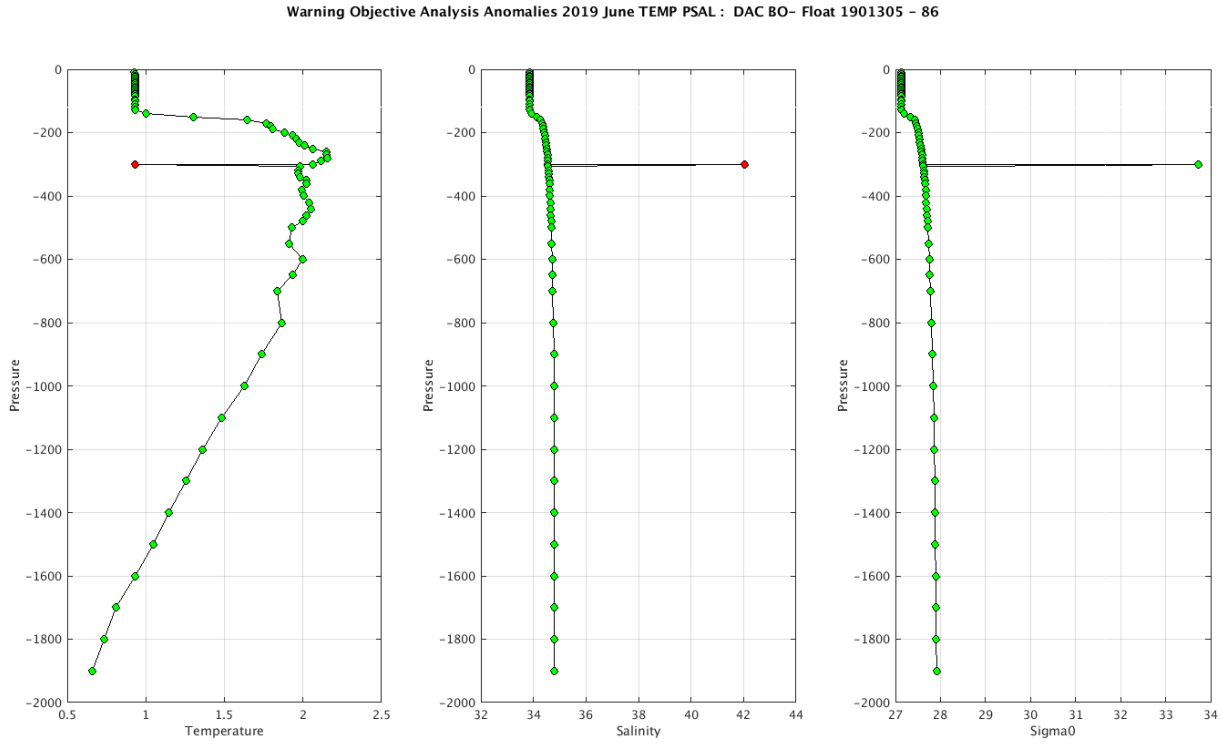

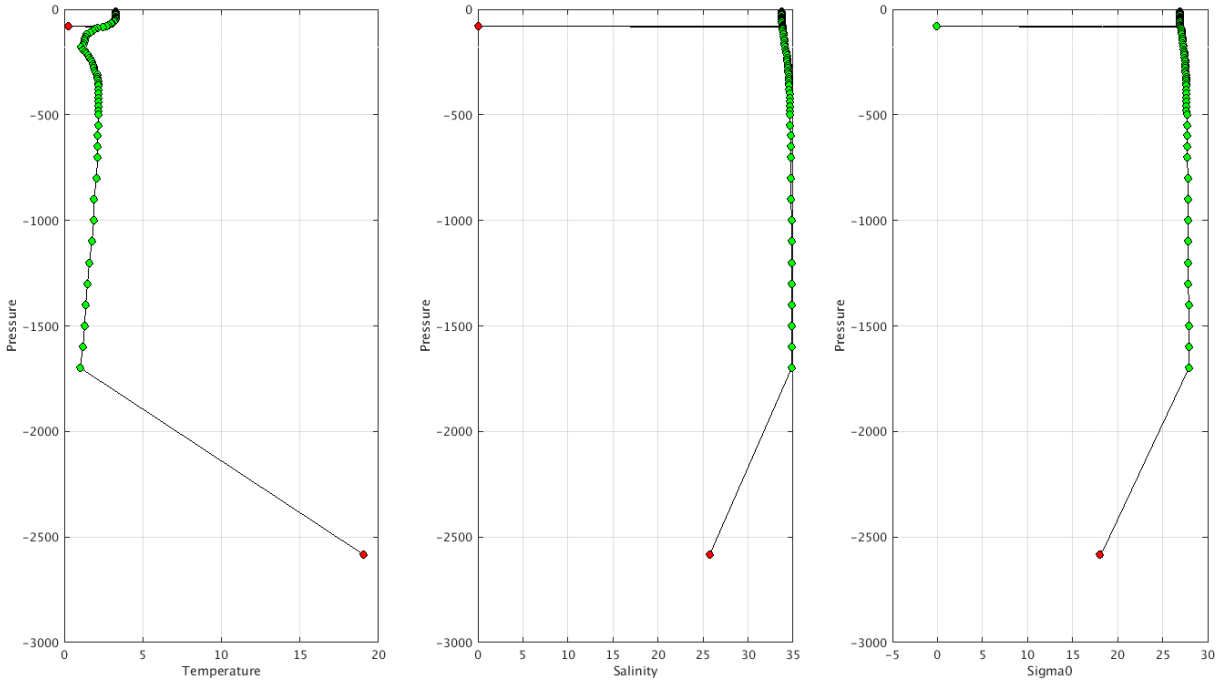

Delayed Mode anomalies (adjusted fields) – date mode =’A’ or ‘D’

- Floats with D files but the following R files are still in ‘R’ mode and not in ‘A’ mode.

Ex. Floats 1901222

D1901222_064.nc - – R1901222_065.nc - but data_mode=R for cycle 65

4.3. DAC CSIO

Profiles detected by the objective analysis: 124 profiles (6 floats – float can have several cycles with anomalies)

Data_mode ='R'	Data_mode ='A'	Data_mode ='D'
1 cycle	123 cycles	0 cycle

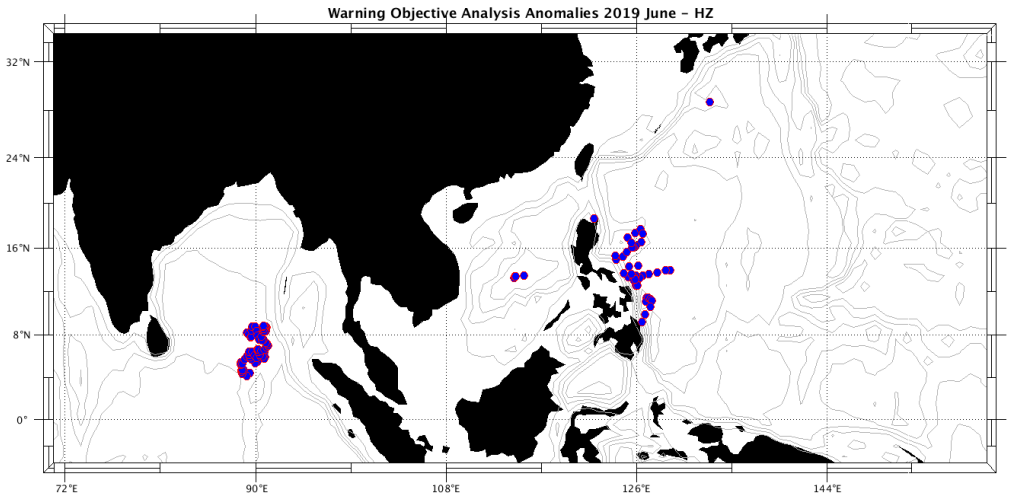

Status of corrections: **No feedback, corrections not always done.**

Float : 2902570 - Cycle : 105 - PI : ZENGHONG LIU - Data mode : A - Platform type : PROVOR - WMO inst type : 841 - FLOAT SERIAL : OIN-12-CH1-S31-18 - Date : 2016 11 1
Float : 2902570 - Cycle : 106 - PI : ZENGHONG LIU - Data mode : A - Platform type : PROVOR - WMO inst type : 841 - FLOAT SERIAL : OIN-12-CH1-S31-18 - Date : 2016 11 11
Float : 2902570 - Cycle : 107 - PI : ZENGHONG LIU - Data mode : A - Platform type : PROVOR - WMO inst type : 841 - FLOAT SERIAL : OIN-12-CH1-S31-18 - Date : 2016 11 22
Float : 2902570 - Cycle : 108 - PI : ZENGHONG LIU - Data mode : A - Platform type : PROVOR - WMO inst type : 841 - FLOAT SERIAL : OIN-12-CH1-S31-18 - Date : 2016 12 1
Float : 2902570 - Cycle : 109 - PI : ZENGHONG LIU - Data mode : A - Platform type : PROVOR - WMO inst type : 841 - FLOAT SERIAL : OIN-12-CH1-S31-18 - Date : 2016 12 11
Float : 2902570 - Cycle : 110 - PI : ZENGHONG LIU - Data mode : A - Platform type : PROVOR - WMO inst type : 841 - FLOAT SERIAL : OIN-12-CH1-S31-18 - Date : 2016 12 21
Float : 2902570 - Cycle : 111 - PI : ZENGHONG LIU - Data mode : A - Platform type : PROVOR - WMO inst type : 841 - FLOAT SERIAL : OIN-12-CH1-S31-18 - Date : 2016 12 31
Float : 2902570 - Cycle : 112 - PI : ZENGHONG LIU - Data mode : A - Platform type : PROVOR - WMO inst type : 841 - FLOAT SERIAL : OIN-12-CH1-S31-18 - Date : 2017 1 10
Float : 2902570 - Cycle : 113 - PI : ZENGHONG LIU - Data mode : A - Platform type : PROVOR - WMO inst type : 841 - FLOAT SERIAL : OIN-12-CH1-S31-18 - Date : 2017 1 20
Float : 2902570 - Cycle : 114 - PI : ZENGHONG LIU - Data mode : A - Platform type : PROVOR - WMO inst type : 841 - FLOAT SERIAL : OIN-12-CH1-S31-18 - Date : 2017 1 30
Float : 2902570 - Cycle : 115 - PI : ZENGHONG LIU - Data mode : A - Platform type : PROVOR - WMO inst type : 841 - FLOAT SERIAL : OIN-12-CH1-S31-18 - Date : 2017 2 9
Float : 2902570 - Cycle : 116 - PI : ZENGHONG LIU - Data mode : A - Platform type : PROVOR - WMO inst type : 841 - FLOAT SERIAL : OIN-12-CH1-S31-18 - Date : 2017 2 19
Float : 2902570 - Cycle : 117 - PI : ZENGHONG LIU - Data mode : A - Platform type : PROVOR - WMO inst type : 841 - FLOAT SERIAL : OIN-12-CH1-S31-18 - Date : 2017 3 1
Float : 2902570 - Cycle : 118 - PI : ZENGHONG LIU - Data mode : A - Platform type : PROVOR - WMO inst type : 841 - FLOAT SERIAL : OIN-12-CH1-S31-18 - Date : 2017 3 11
Float : 2902570 - Cycle : 119 - PI : ZENGHONG LIU - Data mode : A - Platform type : PROVOR - WMO inst type : 841 - FLOAT SERIAL : OIN-12-CH1-S31-18 - Date : 2017 3 21
Float : 2902570 - Cycle : 120 - PI : ZENGHONG LIU - Data mode : A - Platform type : PROVOR - WMO inst type : 841 - FLOAT SERIAL : OIN-12-CH1-S31-18 - Date : 2017 3 31
Float : 2902570 - Cycle : 121 - PI : ZENGHONG LIU - Data mode : A - Platform type : PROVOR - WMO inst type : 841 - FLOAT SERIAL : OIN-12-CH1-S31-18 - Date : 2017 4 10
Float : 2902570 - Cycle : 122 - PI : ZENGHONG LIU - Data mode : A - Platform type : PROVOR - WMO inst type : 841 - FLOAT SERIAL : OIN-12-CH1-S31-18 - Date : 2017 4 20
Float : 2902570 - Cycle : 123 - PI : ZENGHONG LIU - Data mode : A - Platform type : PROVOR - WMO inst type : 841 - FLOAT SERIAL : OIN-12-CH1-S31-18 - Date : 2017 4 30
Float : 2902570 - Cycle : 124 - PI : ZENGHONG LIU - Data mode : A - Platform type : PROVOR - WMO inst type : 841 - FLOAT SERIAL : OIN-12-CH1-S31-18 - Date : 2017 5 10
Float : 2902570 - Cycle : 125 - PI : ZENGHONG LIU - Data mode : A - Platform type : PROVOR - WMO inst type : 841 - FLOAT SERIAL : OIN-12-CH1-S31-18 - Date : 2017 5 20
Float : 2902570 - Cycle : 126 - PI : ZENGHONG LIU - Data mode : A - Platform type : PROVOR - WMO inst type : 841 - FLOAT SERIAL : OIN-12-CH1-S31-18 - Date : 2017 5 30
Float : 2902570 - Cycle : 127 - PI : ZENGHONG LIU - Data mode : A - Platform type : PROVOR - WMO inst type : 841 - FLOAT SERIAL : OIN-12-CH1-S31-18 - Date : 2017 6 9
Float : 2902570 - Cycle : 128 - PI : ZENGHONG LIU - Data mode : A - Platform type : PROVOR - WMO inst type : 841 - FLOAT SERIAL : OIN-12-CH1-S31-18 - Date : 2017 6 19
Float : 2902570 - Cycle : 129 - PI : ZENGHONG LIU - Data mode : A - Platform type : PROVOR - WMO inst type : 841 - FLOAT SERIAL : OIN-12-CH1-S31-18 - Date : 2017 6 29
Float : 2902570 - Cycle : 130 - PI : ZENGHONG LIU - Data mode : A - Platform type : PROVOR - WMO inst type : 841 - FLOAT SERIAL : OIN-12-CH1-S31-18 - Date : 2017 7 9
Float : 2902570 - Cycle : 131 - PI : ZENGHONG LIU - Data mode : A - Platform type : PROVOR - WMO inst type : 841 - FLOAT SERIAL : OIN-12-CH1-S31-18 - Date : 2017 7 19
Float : 2902570 - Cycle : 132 - PI : ZENGHONG LIU - Data mode : A - Platform type : PROVOR - WMO inst type : 841 - FLOAT SERIAL : OIN-12-CH1-S31-18 - Date : 2017 7 29
Float : 2902570 - Cycle : 133 - PI : ZENGHONG LIU - Data mode : A - Platform type : PROVOR - WMO inst type : 841 - FLOAT SERIAL : OIN-12-CH1-S31-18 - Date : 2017 8 8
Float : 2902570 - Cycle : 134 - PI : ZENGHONG LIU - Data mode : A - Platform type : PROVOR - WMO inst type : 841 - FLOAT SERIAL : OIN-12-CH1-S31-18 - Date : 2017 8 18

Float : 2902570 - Cycle : 135 - PI : ZENGHONG LIU - Data mode : A - Platform type : PROVOR - WMO inst type : 841 - FLOAT SERIAL : OIN-12-CH1-S31-18 - Date : 2017 8 28
Float : 2902570 - Cycle : 136 - PI : ZENGHONG LIU - Data mode : A - Platform type : PROVOR - WMO inst type : 841 - FLOAT SERIAL : OIN-12-CH1-S31-18 - Date : 2017 9 7
Float : 2902570 - Cycle : 137 - PI : ZENGHONG LIU - Data mode : A - Platform type : PROVOR - WMO inst type : 841 - FLOAT SERIAL : OIN-12-CH1-S31-18 - Date : 2017 9 17
Float : 2902570 - Cycle : 138 - PI : ZENGHONG LIU - Data mode : A - Platform type : PROVOR - WMO inst type : 841 - FLOAT SERIAL : OIN-12-CH1-S31-18 - Date : 2017 9 27
Float : 2902570 - Cycle : 139 - PI : ZENGHONG LIU - Data mode : A - Platform type : PROVOR - WMO inst type : 841 - FLOAT SERIAL : OIN-12-CH1-S31-18 - Date : 2017 10 7
Float : 2902570 - Cycle : 140 - PI : ZENGHONG LIU - Data mode : A - Platform type : PROVOR - WMO inst type : 841 - FLOAT SERIAL : OIN-12-CH1-S31-18 - Date : 2017 10 17
Float : 2902570 - Cycle : 141 - PI : ZENGHONG LIU - Data mode : A - Platform type : PROVOR - WMO inst type : 841 - FLOAT SERIAL : OIN-12-CH1-S31-18 - Date : 2017 10 27
Float : 2902570 - Cycle : 142 - PI : ZENGHONG LIU - Data mode : A - Platform type : PROVOR - WMO inst type : 841 - FLOAT SERIAL : OIN-12-CH1-S31-18 - Date : 2017 11 6
Float : 2902570 - Cycle : 143 - PI : ZENGHONG LIU - Data mode : A - Platform type : PROVOR - WMO inst type : 841 - FLOAT SERIAL : OIN-12-CH1-S31-18 - Date : 2017 11 16
Float : 2902570 - Cycle : 144 - PI : ZENGHONG LIU - Data mode : A - Platform type : PROVOR - WMO inst type : 841 - FLOAT SERIAL : OIN-12-CH1-S31-18 - Date : 2017 11 26
Float : 2902570 - Cycle : 145 - PI : ZENGHONG LIU - Data mode : A - Platform type : PROVOR - WMO inst type : 841 - FLOAT SERIAL : OIN-12-CH1-S31-18 - Date : 2017 12 6
Float : 2902570 - Cycle : 146 - PI : ZENGHONG LIU - Data mode : A - Platform type : PROVOR - WMO inst type : 841 - FLOAT SERIAL : OIN-12-CH1-S31-18 - Date : 2017 12 16
Float : 2902570 - Cycle : 147 - PI : ZENGHONG LIU - Data mode : A - Platform type : PROVOR - WMO inst type : 841 - FLOAT SERIAL : OIN-12-CH1-S31-18 - Date : 2017 12 26
Float : 2902570 - Cycle : 148 - PI : ZENGHONG LIU - Data mode : A - Platform type : PROVOR - WMO inst type : 841 - FLOAT SERIAL : OIN-12-CH1-S31-18 - Date : 2018 1 5
Float : 2902570 - Cycle : 149 - PI : ZENGHONG LIU - Data mode : A - Platform type : PROVOR - WMO inst type : 841 - FLOAT SERIAL : OIN-12-CH1-S31-18 - Date : 2018 1 16
Float : 2902570 - Cycle : 150 - PI : ZENGHONG LIU - Data mode : A - Platform type : PROVOR - WMO inst type : 841 - FLOAT SERIAL : OIN-12-CH1-S31-18 - Date : 2018 1 25
Float : 2902570 - Cycle : 151 - PI : ZENGHONG LIU - Data mode : A - Platform type : PROVOR - WMO inst type : 841 - FLOAT SERIAL : OIN-12-CH1-S31-18 - Date : 2018 2 4
Float : 2902570 - Cycle : 152 - PI : ZENGHONG LIU - Data mode : A - Platform type : PROVOR - WMO inst type : 841 - FLOAT SERIAL : OIN-12-CH1-S31-18 - Date : 2018 2 14
Float : 2902570 - Cycle : 153 - PI : ZENGHONG LIU - Data mode : A - Platform type : PROVOR - WMO inst type : 841 - FLOAT SERIAL : OIN-12-CH1-S31-18 - Date : 2018 2 24
Float : 2902570 - Cycle : 154 - PI : ZENGHONG LIU - Data mode : A - Platform type : PROVOR - WMO inst type : 841 - FLOAT SERIAL : OIN-12-CH1-S31-18 - Date : 2018 3 6
Float : 2902570 - Cycle : 155 - PI : ZENGHONG LIU - Data mode : A - Platform type : PROVOR - WMO inst type : 841 - FLOAT SERIAL : OIN-12-CH1-S31-18 - Date : 2018 3 17
Float : 2902570 - Cycle : 156 - PI : ZENGHONG LIU - Data mode : A - Platform type : PROVOR - WMO inst type : 841 - FLOAT SERIAL : OIN-12-CH1-S31-18 - Date : 2018 3 26
Float : 2902570 - Cycle : 157 - PI : ZENGHONG LIU - Data mode : A - Platform type : PROVOR - WMO inst type : 841 - FLOAT SERIAL : OIN-12-CH1-S31-18 - Date : 2018 4 5
Float : 2902570 - Cycle : 158 - PI : ZENGHONG LIU - Data mode : A - Platform type : PROVOR - WMO inst type : 841 - FLOAT SERIAL : OIN-12-CH1-S31-18 - Date : 2018 4 15
Float : 2902570 - Cycle : 159 - PI : ZENGHONG LIU - Data mode : A - Platform type : PROVOR - WMO inst type : 841 - FLOAT SERIAL : OIN-12-CH1-S31-18 - Date : 2018 4 25
Float : 2902570 - Cycle : 160 - PI : ZENGHONG LIU - Data mode : A - Platform type : PROVOR - WMO inst type : 841 - FLOAT SERIAL : OIN-12-CH1-S31-18 - Date : 2018 5 5
Float : 2902570 - Cycle : 161 - PI : ZENGHONG LIU - Data mode : A - Platform type : PROVOR - WMO inst type : 841 - FLOAT SERIAL : OIN-12-CH1-S31-18 - Date : 2018 5 15
Float : 2902570 - Cycle : 162 - PI : ZENGHONG LIU - Data mode : A - Platform type : PROVOR - WMO inst type : 841 - FLOAT SERIAL : OIN-12-CH1-S31-18 - Date : 2018 5 25
Float : 2902570 - Cycle : 163 - PI : ZENGHONG LIU - Data mode : A - Platform type : PROVOR - WMO inst type : 841 - FLOAT SERIAL : OIN-12-CH1-S31-18 - Date : 2018 6 4
Float : 2902570 - Cycle : 164 - PI : ZENGHONG LIU - Data mode : A - Platform type : PROVOR - WMO inst type : 841 - FLOAT SERIAL : OIN-12-CH1-S31-18 - Date : 2018 6 14
Float : 2902570 - Cycle : 165 - PI : ZENGHONG LIU - Data mode : A - Platform type : PROVOR - WMO inst type : 841 - FLOAT SERIAL : OIN-12-CH1-S31-18 - Date : 2018 6 24
Float : 2902570 - Cycle : 166 - PI : ZENGHONG LIU - Data mode : A - Platform type : PROVOR - WMO inst type : 841 - FLOAT SERIAL : OIN-12-CH1-S31-18 - Date : 2018 7 4
Float : 2902570 - Cycle : 167 - PI : ZENGHONG LIU - Data mode : A - Platform type : PROVOR - WMO inst type : 841 - FLOAT SERIAL : OIN-12-CH1-S31-18 - Date : 2018 7 14
Float : 2902570 - Cycle : 168 - PI : ZENGHONG LIU - Data mode : A - Platform type : PROVOR - WMO inst type : 841 - FLOAT SERIAL : OIN-12-CH1-S31-18 - Date : 2018 7 24
Float : 2902570 - Cycle : 169 - PI : ZENGHONG LIU - Data mode : A - Platform type : PROVOR - WMO inst type : 841 - FLOAT SERIAL : OIN-12-CH1-S31-18 - Date : 2018 8 3
Float : 2902570 - Cycle : 170 - PI : ZENGHONG LIU - Data mode : A - Platform type : PROVOR - WMO inst type : 841 - FLOAT SERIAL : OIN-12-CH1-S31-18 - Date : 2018 8 13
Float : 2902570 - Cycle : 171 - PI : ZENGHONG LIU - Data mode : A - Platform type : PROVOR - WMO inst type : 841 - FLOAT SERIAL : OIN-12-CH1-S31-18 - Date : 2018 8 23
Float : 2902570 - Cycle : 172 - PI : ZENGHONG LIU - Data mode : A - Platform type : PROVOR - WMO inst type : 841 - FLOAT SERIAL : OIN-12-CH1-S31-18 - Date : 2018 9 2
Float : 2902570 - Cycle : 173 - PI : ZENGHONG LIU - Data mode : A - Platform type : PROVOR - WMO inst type : 841 - FLOAT SERIAL : OIN-12-CH1-S31-18 - Date : 2018 9 13
Float : 2902570 - Cycle : 174 - PI : ZENGHONG LIU - Data mode : A - Platform type : PROVOR - WMO inst type : 841 - FLOAT SERIAL : OIN-12-CH1-S31-18 - Date : 2018 9 22
Float : 2902570 - Cycle : 175 - PI : ZENGHONG LIU - Data mode : A - Platform type : PROVOR - WMO inst type : 841 - FLOAT SERIAL : OIN-12-CH1-S31-18 - Date : 2018 10 2
Float : 2902570 - Cycle : 176 - PI : ZENGHONG LIU - Data mode : A - Platform type : PROVOR - WMO inst type : 841 - FLOAT SERIAL : OIN-12-CH1-S31-18 - Date : 2018 10 12
Float : 2902570 - Cycle : 177 - PI : ZENGHONG LIU - Data mode : A - Platform type : PROVOR - WMO inst type : 841 - FLOAT SERIAL : OIN-12-CH1-S31-18 - Date : 2018 10 22
Float : 2902570 - Cycle : 178 - PI : ZENGHONG LIU - Data mode : A - Platform type : PROVOR - WMO inst type : 841 - FLOAT SERIAL : OIN-12-CH1-S31-18 - Date : 2018 11 1
Float : 2902570 - Cycle : 179 - PI : ZENGHONG LIU - Data mode : A - Platform type : PROVOR - WMO inst type : 841 - FLOAT SERIAL : OIN-12-CH1-S31-18 - Date : 2018 11 11
Float : 2902653 - Cycle : 279 - PI : JIANPING XU - Data mode : A - Platform type : APEX - WMO inst type : 846 - FLOAT SERIAL : 7192 - Date : 2018 10 4
Float : 2902656 - Cycle : 255 - PI : JIANPING XU - Data mode : A - Platform type : APEX - WMO inst type : 846 - FLOAT SERIAL : 7193 - Date : 2018 7 1
Float : 2902656 - Cycle : 256 - PI : JIANPING XU - Data mode : A - Platform type : APEX - WMO inst type : 846 - FLOAT SERIAL : 7193 - Date : 2018 7 5
Float : 2902656 - Cycle : 257 - PI : JIANPING XU - Data mode : A - Platform type : APEX - WMO inst type : 846 - FLOAT SERIAL : 7193 - Date : 2018 7 9
Float : 2902656 - Cycle : 258 - PI : JIANPING XU - Data mode : A - Platform type : APEX - WMO inst type : 846 - FLOAT SERIAL : 7193 - Date : 2018 7 13
Float : 2902656 - Cycle : 259 - PI : JIANPING XU - Data mode : A - Platform type : APEX - WMO inst type : 846 - FLOAT SERIAL : 7193 - Date : 2018 7 17
Float : 2902656 - Cycle : 260 - PI : JIANPING XU - Data mode : A - Platform type : APEX - WMO inst type : 846 - FLOAT SERIAL : 7193 - Date : 2018 7 21
Float : 2902656 - Cycle : 261 - PI : JIANPING XU - Data mode : A - Platform type : APEX - WMO inst type : 846 - FLOAT SERIAL : 7193 - Date : 2018 7 25
Float : 2902656 - Cycle : 262 - PI : JIANPING XU - Data mode : A - Platform type : APEX - WMO inst type : 846 - FLOAT SERIAL : 7193 - Date : 2018 7 29
Float : 2902656 - Cycle : 263 - PI : JIANPING XU - Data mode : A - Platform type : APEX - WMO inst type : 846 - FLOAT SERIAL : 7193 - Date : 2018 8 2
Float : 2902658 - Cycle : 91 - PI : JIANPING XU - Data mode : A - Platform type : APEX - WMO inst type : 846 - FLOAT SERIAL : 7195 - Date : 2018 4 11
Float : 2902658 - Cycle : 92 - PI : JIANPING XU - Data mode : A - Platform type : APEX - WMO inst type : 846 - FLOAT SERIAL : 7195 - Date : 2018 4 22
Float : 2902658 - Cycle : 93 - PI : JIANPING XU - Data mode : A - Platform type : APEX - WMO inst type : 846 - FLOAT SERIAL : 7195 - Date : 2018 5 1
Float : 2902658 - Cycle : 94 - PI : JIANPING XU - Data mode : A - Platform type : APEX - WMO inst type : 846 - FLOAT SERIAL : 7195 - Date : 2018 5 11
Float : 2902658 - Cycle : 95 - PI : JIANPING XU - Data mode : A - Platform type : APEX - WMO inst type : 846 - FLOAT SERIAL : 7195 - Date : 2018 5 21
Float : 2902658 - Cycle : 96 - PI : JIANPING XU - Data mode : A - Platform type : APEX - WMO inst type : 846 - FLOAT SERIAL : 7195 - Date : 2018 5 31
Float : 2902658 - Cycle : 97 - PI : JIANPING XU - Data mode : A - Platform type : APEX - WMO inst type : 846 - FLOAT SERIAL : 7195 - Date : 2018 6 10
Float : 2902658 - Cycle : 98 - PI : JIANPING XU - Data mode : A - Platform type : APEX - WMO inst type : 846 - FLOAT SERIAL : 7195 - Date : 2018 6 20
Float : 2902658 - Cycle : 99 - PI : JIANPING XU - Data mode : A - Platform type : APEX - WMO inst type : 846 - FLOAT SERIAL : 7195 - Date : 2018 6 30
Float : 2902658 - Cycle : 100 - PI : JIANPING XU - Data mode : A - Platform type : APEX - WMO inst type : 846 - FLOAT SERIAL : 7195 - Date : 2018 7 10

Float : 2902658 - Cycle : 101 - PI : JIANPING XU - Data mode : A - Platform type : APEX - WMO inst type : 846 - FLOAT SERIAL : 7195 - Date : 2018 7 20
Float : 2902658 - Cycle : 102 - PI : JIANPING XU - Data mode : A - Platform type : APEX - WMO inst type : 846 - FLOAT SERIAL : 7195 - Date : 2018 7 30
Float : 2902658 - Cycle : 103 - PI : JIANPING XU - Data mode : A - Platform type : APEX - WMO inst type : 846 - FLOAT SERIAL : 7195 - Date : 2018 8 9
Float : 2902658 - Cycle : 104 - PI : JIANPING XU - Data mode : A - Platform type : APEX - WMO inst type : 846 - FLOAT SERIAL : 7195 - Date : 2018 8 20
Float : 2902658 - Cycle : 105 - PI : JIANPING XU - Data mode : A - Platform type : APEX - WMO inst type : 846 - FLOAT SERIAL : 7195 - Date : 2018 8 29
Float : 2902658 - Cycle : 106 - PI : JIANPING XU - Data mode : A - Platform type : APEX - WMO inst type : 846 - FLOAT SERIAL : 7195 - Date : 2018 9 9
Float : 2902658 - Cycle : 107 - PI : JIANPING XU - Data mode : A - Platform type : APEX - WMO inst type : 846 - FLOAT SERIAL : 7195 - Date : 2018 9 18
Float : 2902658 - Cycle : 108 - PI : JIANPING XU - Data mode : A - Platform type : APEX - WMO inst type : 846 - FLOAT SERIAL : 7195 - Date : 2018 9 28
Float : 2902658 - Cycle : 109 - PI : JIANPING XU - Data mode : A - Platform type : APEX - WMO inst type : 846 - FLOAT SERIAL : 7195 - Date : 2018 10 8
Float : 2902658 - Cycle : 110 - PI : JIANPING XU - Data mode : A - Platform type : APEX - WMO inst type : 846 - FLOAT SERIAL : 7195 - Date : 2018 10 18
Float : 2902658 - Cycle : 111 - PI : JIANPING XU - Data mode : A - Platform type : APEX - WMO inst type : 846 - FLOAT SERIAL : 7195 - Date : 2018 10 28
Float : 2902658 - Cycle : 112 - PI : JIANPING XU - Data mode : A - Platform type : APEX - WMO inst type : 846 - FLOAT SERIAL : 7195 - Date : 2018 11 7
Float : 2902658 - Cycle : 113 - PI : JIANPING XU - Data mode : A - Platform type : APEX - WMO inst type : 846 - FLOAT SERIAL : 7195 - Date : 2018 11 17
Float : 2902658 - Cycle : 114 - PI : JIANPING XU - Data mode : A - Platform type : APEX - WMO inst type : 846 - FLOAT SERIAL : 7195 - Date : 2018 11 27
Float : 2902658 - Cycle : 115 - PI : JIANPING XU - Data mode : A - Platform type : APEX - WMO inst type : 846 - FLOAT SERIAL : 7195 - Date : 2018 12 7
Float : 2902658 - Cycle : 116 - PI : JIANPING XU - Data mode : A - Platform type : APEX - WMO inst type : 846 - FLOAT SERIAL : 7195 - Date : 2018 12 17
Float : 2902658 - Cycle : 117 - PI : JIANPING XU - Data mode : A - Platform type : APEX - WMO inst type : 846 - FLOAT SERIAL : 7195 - Date : 2018 12 27
Float : 2902658 - Cycle : 118 - PI : JIANPING XU - Data mode : A - Platform type : APEX - WMO inst type : 846 - FLOAT SERIAL : 7195 - Date : 2019 1 6
Float : 2902658 - Cycle : 119 - PI : JIANPING XU - Data mode : A - Platform type : APEX - WMO inst type : 846 - FLOAT SERIAL : 7195 - Date : 2019 1 16
Float : 2902658 - Cycle : 120 - PI : JIANPING XU - Data mode : A - Platform type : APEX - WMO inst type : 846 - FLOAT SERIAL : 7195 - Date : 2019 1 26
Float : 2902658 - Cycle : 121 - PI : JIANPING XU - Data mode : A - Platform type : APEX - WMO inst type : 846 - FLOAT SERIAL : 7195 - Date : 2019 2 5
Float : 2902658 - Cycle : 122 - PI : JIANPING XU - Data mode : A - Platform type : APEX - WMO inst type : 846 - FLOAT SERIAL : 7195 - Date : 2019 2 15
Float : 2902658 - Cycle : 123 - PI : JIANPING XU - Data mode : A - Platform type : APEX - WMO inst type : 846 - FLOAT SERIAL : 7195 - Date : 2019 2 25
Float : 2902658 - Cycle : 124 - PI : JIANPING XU - Data mode : A - Platform type : APEX - WMO inst type : 846 - FLOAT SERIAL : 7195 - Date : 2019 3 7
Float : 2902744 - Cycle : 48 - PI : JIANPING XU - Data mode : A - Platform type : HM2000 - WMO inst type : 870 - FLOAT SERIAL : HM2000-2017-028 - Date : 2018 7 16
Float : 2902744 - Cycle : 49 - PI : JIANPING XU - Data mode : A - Platform type : HM2000 - WMO inst type : 870 - FLOAT SERIAL : HM2000-2017-028 - Date : 2018 7 21
Float : 2902744 - Cycle : 51 - PI : JIANPING XU - Data mode : A - Platform type : HM2000 - WMO inst type : 870 - FLOAT SERIAL : HM2000-2017-028 - Date : 2018 7 31
Float : 2902744 - Cycle : 56 - PI : JIANPING XU - Data mode : A - Platform type : HM2000 - WMO inst type : 870 - FLOAT SERIAL : HM2000-2017-028 - Date : 2018 8 27
Float : 2902750 - Cycle : 228 - PI : FEI CHAI - Data mode : R - Platform type : PROVOR - WMO inst type : 841 - FLOAT SERIAL : P41305-17CH003 - Date : 2019 5 31

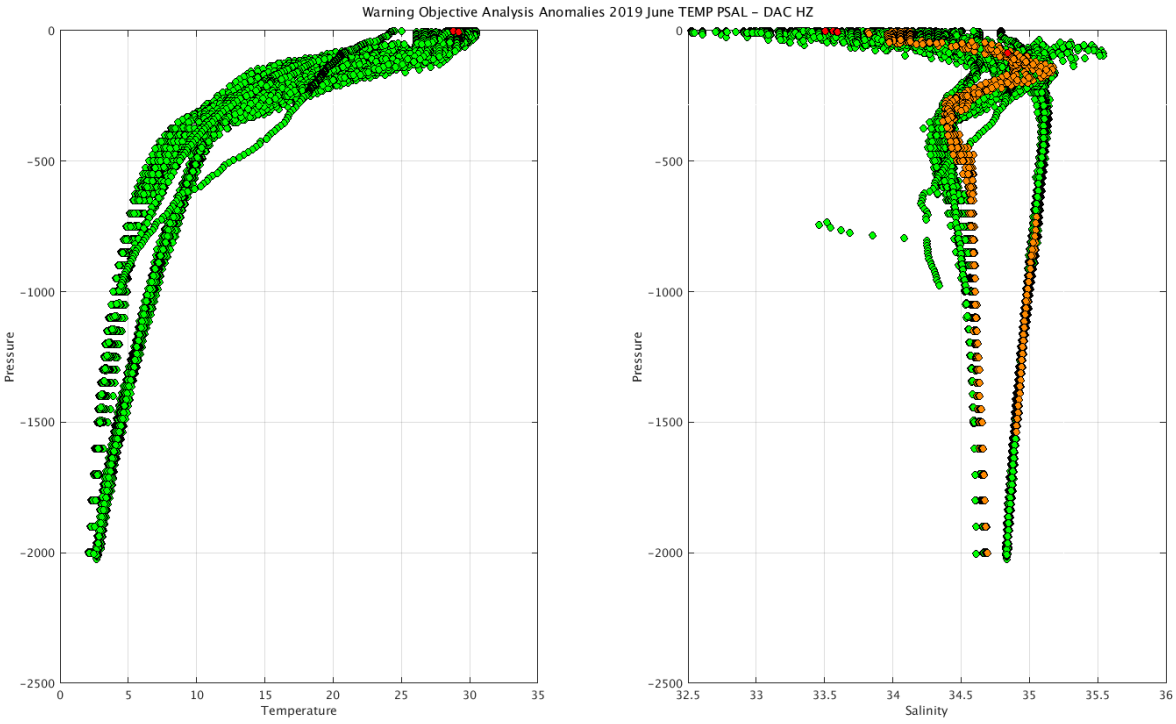

The list of the anomalies can be found at ftp://ftp.ifremer.fr/ifremer/argo/etc/ObjectiveAnalysisWarning/csio/

Example of anomalies:

Warning Objective Analysis Anomalies 2019 June TEMP PSAL : DAC HZ- Float 2902656 - 262

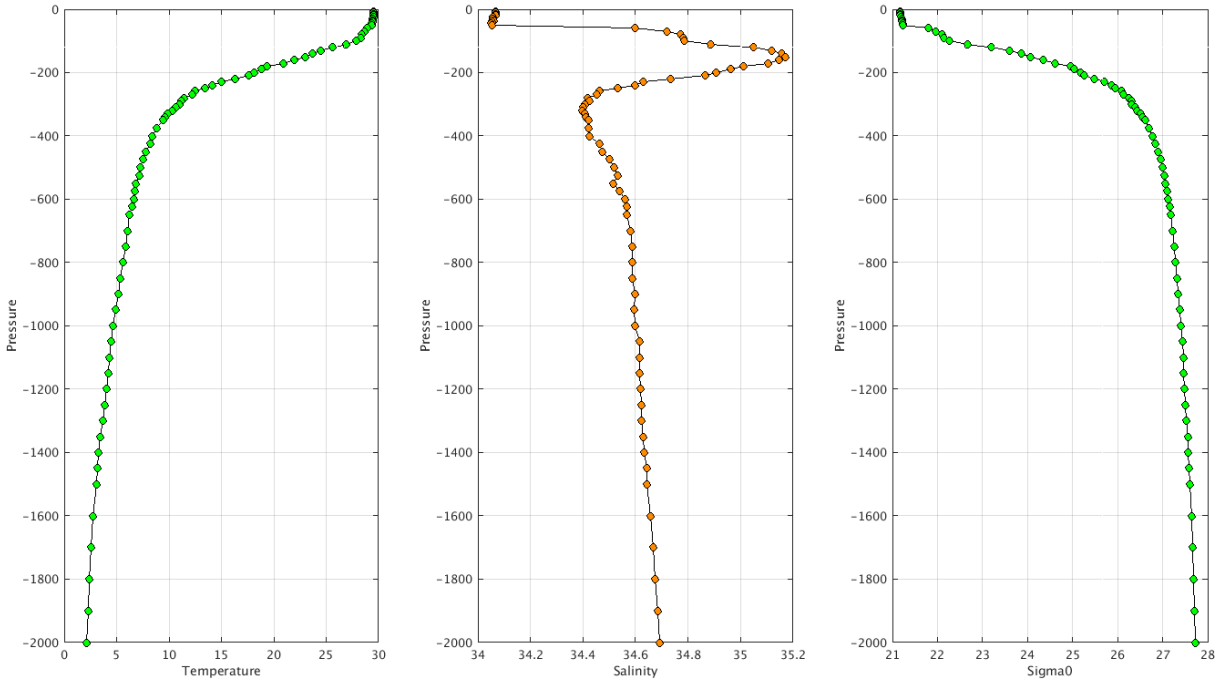

Warning Objective Analysis Anomalies 2019 June TEMP PSAL : DAC HZ- Float 2902750 - 228

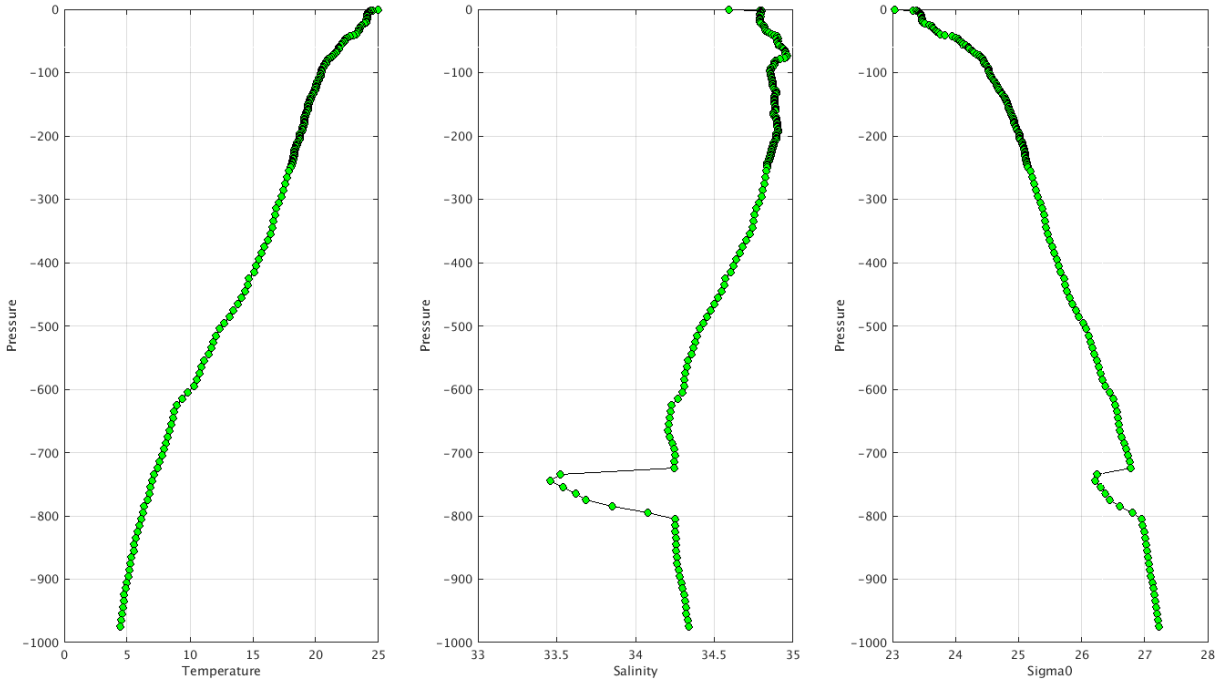

4.4. DAC CSIRO

Profiles detected by the objective analysis: 34 profiles (15 floats – float can have several cycles with anomalies)

Data_mode =’R’	Data_mode =’A’	Data_mode =’D’
0 cycle	14 cycles	20 cycles

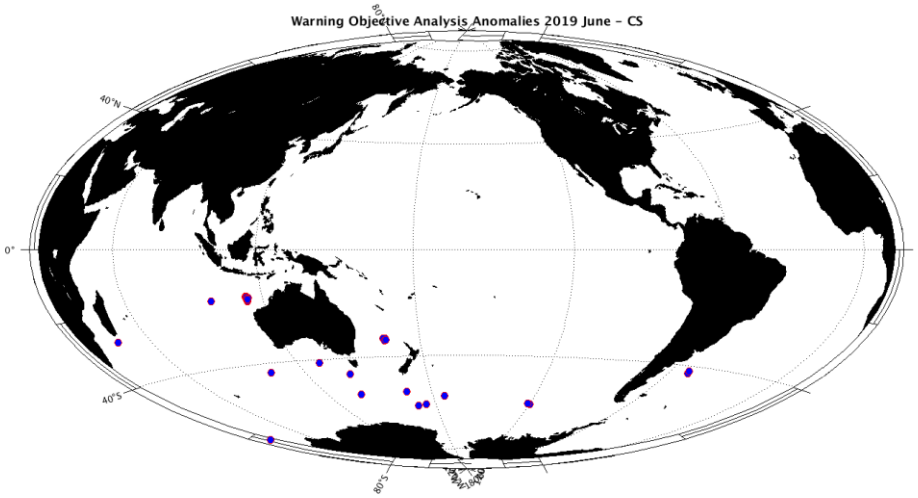

Status of corrections: Corrections done or in progress, feedback.

Float : 5901659 - Cycle : 386 - PI : Susan Wijffels - Data mode : D - Platform type : APEX - WMO inst type : 846 - FLOAT SERIAL : 3709 - Date : 2018 11 1
Float : 5901659 - Cycle : 387 - PI : Susan Wijffels - Data mode : D - Platform type : APEX - WMO inst type : 846 - FLOAT SERIAL : 3709 - Date : 2018 11 11
Float : 5901659 - Cycle : 388 - PI : Susan Wijffels - Data mode : D - Platform type : APEX - WMO inst type : 846 - FLOAT SERIAL : 3709 - Date : 2018 11 21
Float : 5901659 - Cycle : 389 - PI : Susan Wijffels - Data mode : D - Platform type : APEX - WMO inst type : 846 - FLOAT SERIAL : 3709 - Date : 2018 12 1
Float : 5901671 - Cycle : 359 - PI : Susan Wijffels - Data mode : A - Platform type : APEX - WMO inst type : 846 - FLOAT SERIAL : 3814 - Date : 2018 8 29
Float : 5903931 - Cycle : 251 - PI : Susan Wijffels - Data mode : A - Platform type : APEX - WMO inst type : 846 - FLOAT SERIAL : 5939 - Date : 2018 10 16
Float : 5903941 - Cycle : 272 - PI : Susan Wijffels - Data mode : A - Platform type : APEX - WMO inst type : 846 - FLOAT SERIAL : 5947 - Date : 2019 6 1
Float : 5903941 - Cycle : 273 - PI : Susan Wijffels - Data mode : A - Platform type : APEX - WMO inst type : 846 - FLOAT SERIAL : 5947 - Date : 2019 6 11
Float : 5904898 - Cycle : 168 - PI : Susan Wijffels - Data mode : A - Platform type : APEX - WMO inst type : 846 - FLOAT SERIAL : 7045 - Date : 2019 5 18
Float : 5904899 - Cycle : 151 - PI : Susan Wijffels - Data mode : A - Platform type : APEX - WMO inst type : 846 - FLOAT SERIAL : 7048 - Date : 2018 12 4
Float : 5904913 - Cycle : 131 - PI : Susan Wijffels - Data mode : D - Platform type : APEX - WMO inst type : 846 - FLOAT SERIAL : 7050 - Date : 2018 7 30
Float : 5904998 - Cycle : 114 - PI : Susan Wijffels - Data mode : A - Platform type : APEX - WMO inst type : 846 - FLOAT SERIAL : 7377 - Date : 2018 12 26
Float : 5905186 - Cycle : 77 - PI : Susan Wijffels - Data mode : A - Platform type : APEX - WMO inst type : 846 - FLOAT SERIAL : 7799 - Date : 2018 12 28
Float : 5905186 - Cycle : 95 - PI : Susan Wijffels - Data mode : A - Platform type : APEX - WMO inst type : 846 - FLOAT SERIAL : 7799 - Date : 2019 6 23
Float : 5905190 - Cycle : 91 - PI : Susan Wijffels - Data mode : A - Platform type : NAVIS_EBR - WMO inst type : 869 - FLOAT SERIAL : 633 - Date : 2019 6 4
Float : 5905387 - Cycle : 60 - PI : Peter Oke - Data mode : A - Platform type : APEX - WMO inst type : 846 - FLOAT SERIAL : 7602 - Date : 2019 6 23
Float : 5905397 - Cycle : 72 - PI : Tom Trull - Data mode : A - Platform type : NAVIS_EBR - WMO inst type : 869 - FLOAT SERIAL : 687 - Date : 2018 9 16
Float : 5905416 - Cycle : 1 - PI : Peter Oke - Data mode : D - Platform type : NAVIS_EBR - WMO inst type : 869 - FLOAT SERIAL : 642 - Date : 2018 10 15
Float : 5905416 - Cycle : 2 - PI : Peter Oke - Data mode : D - Platform type : NAVIS_EBR - WMO inst type : 869 - FLOAT SERIAL : 642 - Date : 2018 10 25
Float : 5905416 - Cycle : 3 - PI : Peter Oke - Data mode : D - Platform type : NAVIS_EBR - WMO inst type : 869 - FLOAT SERIAL : 642 - Date : 2018 11 4
Float : 5905416 - Cycle : 4 - PI : Peter Oke - Data mode : D - Platform type : NAVIS_EBR - WMO inst type : 869 - FLOAT SERIAL : 642 - Date : 2018 11 14
Float : 5905416 - Cycle : 5 - PI : Peter Oke - Data mode : D - Platform type : NAVIS_EBR - WMO inst type : 869 - FLOAT SERIAL : 642 - Date : 2018 11 24
Float : 5905416 - Cycle : 6 - PI : Peter Oke - Data mode : D - Platform type : NAVIS_EBR - WMO inst type : 869 - FLOAT SERIAL : 642 - Date : 2018 12 4
Float : 5905416 - Cycle : 7 - PI : Peter Oke - Data mode : D - Platform type : NAVIS_EBR - WMO inst type : 869 - FLOAT SERIAL : 642 - Date : 2018 12 14
Float : 5905416 - Cycle : 8 - PI : Peter Oke - Data mode : D - Platform type : NAVIS_EBR - WMO inst type : 869 - FLOAT SERIAL : 642 - Date : 2018 12 24
Float : 5905416 - Cycle : 9 - PI : Peter Oke - Data mode : D - Platform type : NAVIS_EBR - WMO inst type : 869 - FLOAT SERIAL : 642 - Date : 2019 1 3
Float : 5905416 - Cycle : 10 - PI : Peter Oke - Data mode : D - Platform type : NAVIS_EBR - WMO inst type : 869 - FLOAT SERIAL : 642 - Date : 2019 1 13
Float : 5905416 - Cycle : 11 - PI : Peter Oke - Data mode : D - Platform type : NAVIS_EBR - WMO inst type : 869 - FLOAT SERIAL : 642 - Date : 2019 1 23
Float : 5905416 - Cycle : 12 - PI : Peter Oke - Data mode : D - Platform type : NAVIS_EBR - WMO inst type : 869 - FLOAT SERIAL : 642 - Date : 2019 2 2
Float : 5905416 - Cycle : 13 - PI : Peter Oke - Data mode : D - Platform type : NAVIS_EBR - WMO inst type : 869 - FLOAT SERIAL : 642 - Date : 2019 2 12
Float : 5905416 - Cycle : 14 - PI : Peter Oke - Data mode : D - Platform type : NAVIS_EBR - WMO inst type : 869 - FLOAT SERIAL : 642 - Date : 2019 2 22
Float : 5905416 - Cycle : 15 - PI : Peter Oke - Data mode : D - Platform type : NAVIS_EBR - WMO inst type : 869 - FLOAT SERIAL : 642 - Date : 2019 3 4
Float : 7900620 - Cycle : 92 - PI : Steve Rintoul - Data mode : A - Platform type : APEX - WMO inst type : 846 - FLOAT SERIAL : 7739 - Date : 2018 10 12
Float : 7900642 - Cycle : 5 - PI : Steve Rintoul - Data mode : A - Platform type : APEX - WMO inst type : 846 - FLOAT SERIAL : 8440 - Date : 2019 5 31

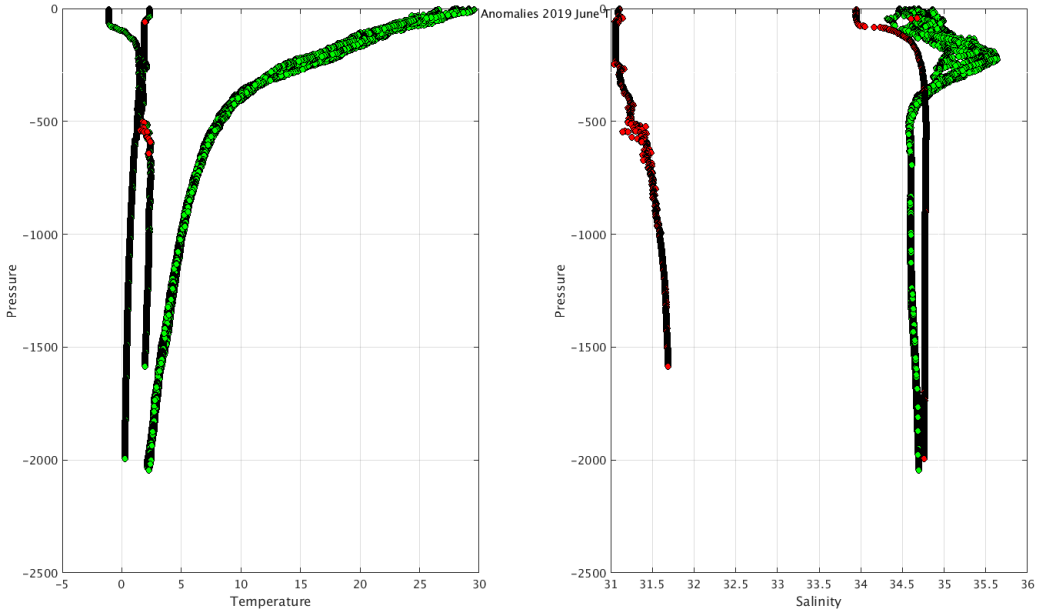

The list of the anomalies can be found at ftp://ftp.ifremer.fr/ifremer/argo/etc/ObjectiveAnalysisWarning/csiro/

Example of anomalies:

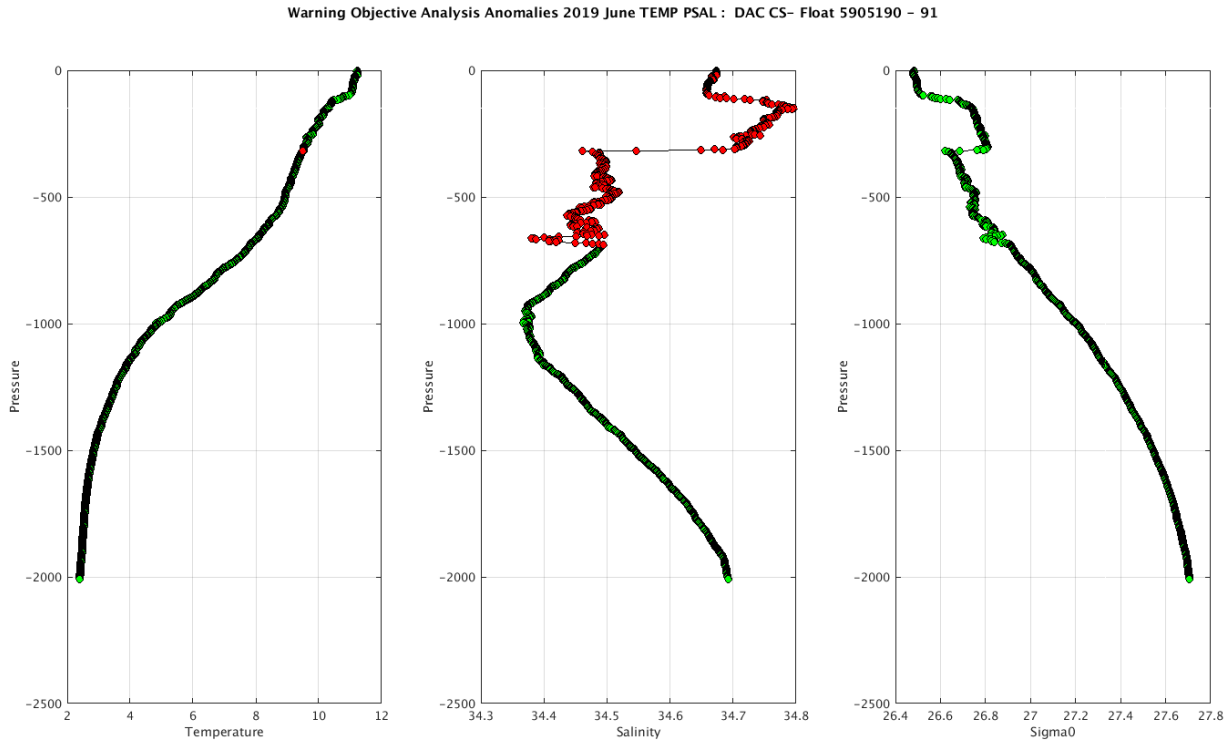

4.5. DAC INCOIS

Profiles detected by the objective analysis: 155 profiles (35 floats – float can have several cycles with anomalies)

Data_mode =’R’	Data_mode =’A’	Data_mode =’D’
0 cycle	155 cycles	0 cycle

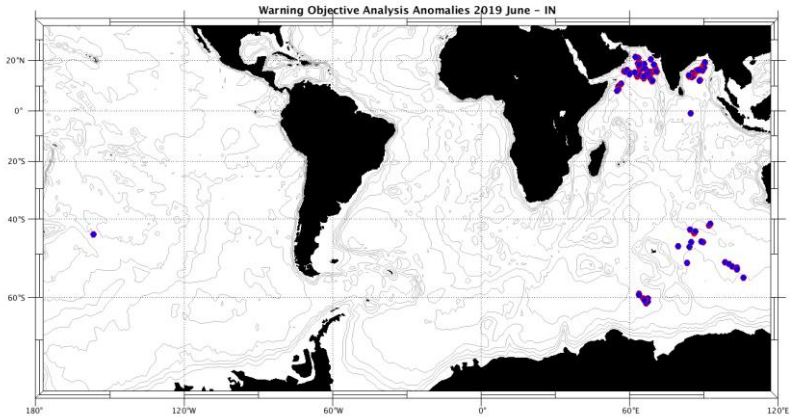

Status of corrections: Corrections done or in progress, some feedbacks

Float : 2901346 - Cycle : 237 - PI : M Ravichandran - Data mode : A - Platform type : APEX - WMO inst type : 846 - FLOAT SERIAL : 5774 - Date : 2018 7 18
Float : 2902150 - Cycle : 157 - PI : M Ravichandran - Data mode : A - Platform type : PROVOR_MT - WMO inst type : 841 - FLOAT SERIAL : 1349 - Date : 2018 11 27
Float : 2902154 - Cycle : 135 - PI : M Ravichandran - Data mode : A - Platform type : APEX - WMO inst type : 846 - FLOAT SERIAL : 7119 - Date : 2018 7 7
Float : 2902175 - Cycle : 284 - PI : M Ravichandran - Data mode : A - Platform type : APEX - WMO inst type : 846 - FLOAT SERIAL : 7123 - Date : 2018 7 31
Float : 2902175 - Cycle : 312 - PI : M Ravichandran - Data mode : A - Platform type : APEX - WMO inst type : 846 - FLOAT SERIAL : 7123 - Date : 2019 5 8
Float : 2902175 - Cycle : 314 - PI : M Ravichandran - Data mode : A - Platform type : APEX - WMO inst type : 846 - FLOAT SERIAL : 7123 - Date : 2019 5 28
Float : 2902175 - Cycle : 315 - PI : M Ravichandran - Data mode : A - Platform type : APEX - WMO inst type : 846 - FLOAT SERIAL : 7123 - Date : 2019 6 7
Float : 2902175 - Cycle : 316 - PI : M Ravichandran - Data mode : A - Platform type : APEX - WMO inst type : 846 - FLOAT SERIAL : 7123 - Date : 2019 6 17
Float : 2902203 - Cycle : 119 - PI : M Ravichandran - Data mode : A - Platform type : APEX - WMO inst type : 846 - FLOAT SERIAL : 7541 - Date : 2019 6 1
Float : 2902206 - Cycle : 120 - PI : M Ravichandran - Data mode : A - Platform type : APEX - WMO inst type : 846 - FLOAT SERIAL : 7540 - Date : 2019 6 16
Float : 2902209 - Cycle : 97 - PI : M Ravichandran - Data mode : A - Platform type : APEX - WMO inst type : 846 - FLOAT SERIAL : 7826 - Date : 2019 4 28
Float : 2902209 - Cycle : 98 - PI : M Ravichandran - Data mode : A - Platform type : APEX - WMO inst type : 846 - FLOAT SERIAL : 7826 - Date : 2019 5 8
Float : 2902209 - Cycle : 99 - PI : M Ravichandran - Data mode : A - Platform type : APEX - WMO inst type : 846 - FLOAT SERIAL : 7826 - Date : 2019 5 18
Float : 2902209 - Cycle : 100 - PI : M Ravichandran - Data mode : A - Platform type : APEX - WMO inst type : 846 - FLOAT SERIAL : 7826 - Date : 2019 5 28
Float : 2902209 - Cycle : 101 - PI : M Ravichandran - Data mode : A - Platform type : APEX - WMO inst type : 846 - FLOAT SERIAL : 7826 - Date : 2019 6 6
Float : 2902209 - Cycle : 102 - PI : M Ravichandran - Data mode : A - Platform type : APEX - WMO inst type : 846 - FLOAT SERIAL : 7826 - Date : 2019 6 16
Float : 2902209 - Cycle : 103 - PI : M Ravichandran - Data mode : A - Platform type : APEX - WMO inst type : 846 - FLOAT SERIAL : 7826 - Date : 2019 6 26
Float : 2902232 - Cycle : 236 - PI : M Ravichandran - Data mode : A - Platform type : ARVOR - WMO inst type : 844 - FLOAT SERIAL : 17002 - Date : 2019 6 3
Float : 2902232 - Cycle : 237 - PI : M Ravichandran - Data mode : A - Platform type : ARVOR - WMO inst type : 844 - FLOAT SERIAL : 17002 - Date : 2019 6 8
Float : 2902232 - Cycle : 239 - PI : M Ravichandran - Data mode : A - Platform type : ARVOR - WMO inst type : 844 - FLOAT SERIAL : 17002 - Date : 2019 6 18
Float : 2902246 - Cycle : 29 - PI : M Ravichandran - Data mode : A - Platform type : ARVOR - WMO inst type : 844 - FLOAT SERIAL : 17101 - Date : 2018 10 7
Float : 2902246 - Cycle : 35 - PI : M Ravichandran - Data mode : A - Platform type : ARVOR - WMO inst type : 844 - FLOAT SERIAL : 17101 - Date : 2018 12 6
Float : 2902246 - Cycle : 36 - PI : M Ravichandran - Data mode : A - Platform type : ARVOR - WMO inst type : 844 - FLOAT SERIAL : 17101 - Date : 2018 12 16
Float : 2902246 - Cycle : 53 - PI : M Ravichandran - Data mode : A - Platform type : ARVOR - WMO inst type : 844 - FLOAT SERIAL : 17101 - Date : 2019 6 4
Float : 2902246 - Cycle : 54 - PI : M Ravichandran - Data mode : A - Platform type : ARVOR - WMO inst type : 844 - FLOAT SERIAL : 17101 - Date : 2019 6 14
Float : 2902248 - Cycle : 19 - PI : M Ravichandran - Data mode : A - Platform type : ARVOR - WMO inst type : 844 - FLOAT SERIAL : 17103 - Date : 2018 7 4
Float : 2902248 - Cycle : 33 - PI : M Ravichandran - Data mode : A - Platform type : ARVOR - WMO inst type : 844 - FLOAT SERIAL : 17103 - Date : 2018 11 21
Float : 2902248 - Cycle : 34 - PI : M Ravichandran - Data mode : A - Platform type : ARVOR - WMO inst type : 844 - FLOAT SERIAL : 17103 - Date : 2018 12 1
Float : 2902248 - Cycle : 35 - PI : M Ravichandran - Data mode : A - Platform type : ARVOR - WMO inst type : 844 - FLOAT SERIAL : 17103 - Date : 2018 12 11
Float : 2902248 - Cycle : 36 - PI : M Ravichandran - Data mode : A - Platform type : ARVOR - WMO inst type : 844 - FLOAT SERIAL : 17103 - Date : 2018 12 21
Float : 2902248 - Cycle : 37 - PI : M Ravichandran - Data mode : A - Platform type : ARVOR - WMO inst type : 844 - FLOAT SERIAL : 17103 - Date : 2018 12 31
Float : 2902248 - Cycle : 52 - PI : M Ravichandran - Data mode : A - Platform type : ARVOR - WMO inst type : 844 - FLOAT SERIAL : 17103 - Date : 2019 5 30
Float : 2902249 - Cycle : 19 - PI : M Ravichandran - Data mode : A - Platform type : ARVOR - WMO inst type : 844 - FLOAT SERIAL : 17104 - Date : 2018 7 31
Float : 2902249 - Cycle : 20 - PI : M Ravichandran - Data mode : A - Platform type : ARVOR - WMO inst type : 844 - FLOAT SERIAL : 17104 - Date : 2018 8 10
Float : 2902249 - Cycle : 26 - PI : M Ravichandran - Data mode : A - Platform type : ARVOR - WMO inst type : 844 - FLOAT SERIAL : 17104 - Date : 2018 10 9
Float : 2902249 - Cycle : 28 - PI : M Ravichandran - Data mode : A - Platform type : ARVOR - WMO inst type : 844 - FLOAT SERIAL : 17104 - Date : 2018 10 29
Float : 2902249 - Cycle : 30 - PI : M Ravichandran - Data mode : A - Platform type : ARVOR - WMO inst type : 844 - FLOAT SERIAL : 17104 - Date : 2018 11 18
Float : 2902249 - Cycle : 31 - PI : M Ravichandran - Data mode : A - Platform type : ARVOR - WMO inst type : 844 - FLOAT SERIAL : 17104 - Date : 2018 11 28
Float : 2902249 - Cycle : 32 - PI : M Ravichandran - Data mode : A - Platform type : ARVOR - WMO inst type : 844 - FLOAT SERIAL : 17104 - Date : 2018 12 8
Float : 2902249 - Cycle : 33 - PI : M Ravichandran - Data mode : A - Platform type : ARVOR - WMO inst type : 844 - FLOAT SERIAL : 17104 - Date : 2018 12 18
Float : 2902249 - Cycle : 34 - PI : M Ravichandran - Data mode : A - Platform type : ARVOR - WMO inst type : 844 - FLOAT SERIAL : 17104 - Date : 2018 12 28
Float : 2902250 - Cycle : 24 - PI : M Ravichandran - Data mode : A - Platform type : ARVOR - WMO inst type : 844 - FLOAT SERIAL : 17105 - Date : 2018 9 24

Float : 2902250 - Cycle : 30 - PI : M Ravichandran - Data mode : A - Platform type : ARVOR - WMO inst type : 844 - FLOAT SERIAL : 17105 - Date : 2018 11 23
Float : 2902250 - Cycle : 31 - PI : M Ravichandran - Data mode : A - Platform type : ARVOR - WMO inst type : 844 - FLOAT SERIAL : 17105 - Date : 2018 12 3
Float : 2902250 - Cycle : 32 - PI : M Ravichandran - Data mode : A - Platform type : ARVOR - WMO inst type : 844 - FLOAT SERIAL : 17105 - Date : 2018 12 13
Float : 2902250 - Cycle : 33 - PI : M Ravichandran - Data mode : A - Platform type : ARVOR - WMO inst type : 844 - FLOAT SERIAL : 17105 - Date : 2018 12 23
Float : 2902250 - Cycle : 49 - PI : M Ravichandran - Data mode : A - Platform type : ARVOR - WMO inst type : 844 - FLOAT SERIAL : 17105 - Date : 2019 6 1
Float : 2902250 - Cycle : 50 - PI : M Ravichandran - Data mode : A - Platform type : ARVOR - WMO inst type : 844 - FLOAT SERIAL : 17105 - Date : 2019 6 11
Float : 2902250 - Cycle : 51 - PI : M Ravichandran - Data mode : A - Platform type : ARVOR - WMO inst type : 844 - FLOAT SERIAL : 17105 - Date : 2019 6 21
Float : 2902253 - Cycle : 34 - PI : M Ravichandran - Data mode : A - Platform type : ARVOR - WMO inst type : 844 - FLOAT SERIAL : 17106 - Date : 2018 7 4
Float : 2902254 - Cycle : 47 - PI : M Ravichandran - Data mode : A - Platform type : ARVOR - WMO inst type : 844 - FLOAT SERIAL : 17107 - Date : 2018 9 27
Float : 2902254 - Cycle : 49 - PI : M Ravichandran - Data mode : A - Platform type : ARVOR - WMO inst type : 844 - FLOAT SERIAL : 17107 - Date : 2018 10 17
Float : 2902254 - Cycle : 51 - PI : M Ravichandran - Data mode : A - Platform type : ARVOR - WMO inst type : 844 - FLOAT SERIAL : 17107 - Date : 2018 11 6
Float : 2902254 - Cycle : 54 - PI : M Ravichandran - Data mode : A - Platform type : ARVOR - WMO inst type : 844 - FLOAT SERIAL : 17107 - Date : 2018 12 6
Float : 2902254 - Cycle : 55 - PI : M Ravichandran - Data mode : A - Platform type : ARVOR - WMO inst type : 844 - FLOAT SERIAL : 17107 - Date : 2018 12 16
Float : 2902254 - Cycle : 72 - PI : M Ravichandran - Data mode : A - Platform type : ARVOR - WMO inst type : 844 - FLOAT SERIAL : 17107 - Date : 2019 6 4
Float : 2902254 - Cycle : 73 - PI : M Ravichandran - Data mode : A - Platform type : ARVOR - WMO inst type : 844 - FLOAT SERIAL : 17107 - Date : 2019 6 14
Float : 2902255 - Cycle : 134 - PI : M Ravichandran - Data mode : A - Platform type : ARVOR - WMO inst type : 844 - FLOAT SERIAL : 17108 - Date : 2018 11 2
Float : 2902255 - Cycle : 136 - PI : M Ravichandran - Data mode : A - Platform type : ARVOR - WMO inst type : 844 - FLOAT SERIAL : 17108 - Date : 2018 11 22
Float : 2902255 - Cycle : 137 - PI : M Ravichandran - Data mode : A - Platform type : ARVOR - WMO inst type : 844 - FLOAT SERIAL : 17108 - Date : 2018 12 2
Float : 2902255 - Cycle : 138 - PI : M Ravichandran - Data mode : A - Platform type : ARVOR - WMO inst type : 844 - FLOAT SERIAL : 17108 - Date : 2018 12 12
Float : 2902255 - Cycle : 139 - PI : M Ravichandran - Data mode : A - Platform type : ARVOR - WMO inst type : 844 - FLOAT SERIAL : 17108 - Date : 2018 12 22
Float : 2902255 - Cycle : 155 - PI : M Ravichandran - Data mode : A - Platform type : ARVOR - WMO inst type : 844 - FLOAT SERIAL : 17108 - Date : 2019 5 31
Float : 2902255 - Cycle : 156 - PI : M Ravichandran - Data mode : A - Platform type : ARVOR - WMO inst type : 844 - FLOAT SERIAL : 17108 - Date : 2019 6 10
Float : 2902255 - Cycle : 157 - PI : M Ravichandran - Data mode : A - Platform type : ARVOR - WMO inst type : 844 - FLOAT SERIAL : 17108 - Date : 2019 6 20
Float : 2902256 - Cycle : 131 - PI : M Ravichandran - Data mode : A - Platform type : ARVOR - WMO inst type : 844 - FLOAT SERIAL : 17109 - Date : 2018 10 3
Float : 2902256 - Cycle : 136 - PI : M Ravichandran - Data mode : A - Platform type : ARVOR - WMO inst type : 844 - FLOAT SERIAL : 17109 - Date : 2018 11 22
Float : 2902256 - Cycle : 137 - PI : M Ravichandran - Data mode : A - Platform type : ARVOR - WMO inst type : 844 - FLOAT SERIAL : 17109 - Date : 2018 12 2
Float : 2902256 - Cycle : 138 - PI : M Ravichandran - Data mode : A - Platform type : ARVOR - WMO inst type : 844 - FLOAT SERIAL : 17109 - Date : 2018 12 12
Float : 2902256 - Cycle : 139 - PI : M Ravichandran - Data mode : A - Platform type : ARVOR - WMO inst type : 844 - FLOAT SERIAL : 17109 - Date : 2018 12 22
Float : 2902256 - Cycle : 155 - PI : M Ravichandran - Data mode : A - Platform type : ARVOR - WMO inst type : 844 - FLOAT SERIAL : 17109 - Date : 2019 5 31
Float : 2902256 - Cycle : 156 - PI : M Ravichandran - Data mode : A - Platform type : ARVOR - WMO inst type : 844 - FLOAT SERIAL : 17109 - Date : 2019 6 10
Float : 2902256 - Cycle : 157 - PI : M Ravichandran - Data mode : A - Platform type : ARVOR - WMO inst type : 844 - FLOAT SERIAL : 17109 - Date : 2019 6 20
Float : 2902257 - Cycle : 155 - PI : M Ravichandran - Data mode : A - Platform type : ARVOR - WMO inst type : 844 - FLOAT SERIAL : 17110 - Date : 2019 5 31
Float : 2902257 - Cycle : 156 - PI : M Ravichandran - Data mode : A - Platform type : ARVOR - WMO inst type : 844 - FLOAT SERIAL : 17110 - Date : 2019 6 10
Float : 2902257 - Cycle : 157 - PI : M Ravichandran - Data mode : A - Platform type : ARVOR - WMO inst type : 844 - FLOAT SERIAL : 17110 - Date : 2019 6 20
Float : 2902258 - Cycle : 131 - PI : M Ravichandran - Data mode : A - Platform type : ARVOR - WMO inst type : 844 - FLOAT SERIAL : 17111 - Date : 2018 10 3
Float : 2902259 - Cycle : 29 - PI : M Ravichandran - Data mode : A - Platform type : ARVOR - WMO inst type : 844 - FLOAT SERIAL : 17112 - Date : 2018 11 23
Float : 2902259 - Cycle : 48 - PI : M Ravichandran - Data mode : A - Platform type : ARVOR - WMO inst type : 844 - FLOAT SERIAL : 17112 - Date : 2019 6 2
Float : 2902259 - Cycle : 49 - PI : M Ravichandran - Data mode : A - Platform type : ARVOR - WMO inst type : 844 - FLOAT SERIAL : 17112 - Date : 2019 6 11
Float : 2902259 - Cycle : 50 - PI : M Ravichandran - Data mode : A - Platform type : ARVOR - WMO inst type : 844 - FLOAT SERIAL : 17112 - Date : 2019 6 21
Float : 2902260 - Cycle : 29 - PI : M Ravichandran - Data mode : A - Platform type : ARVOR - WMO inst type : 844 - FLOAT SERIAL : 17113 - Date : 2018 11 23
Float : 2902260 - Cycle : 30 - PI : M Ravichandran - Data mode : A - Platform type : ARVOR - WMO inst type : 844 - FLOAT SERIAL : 17113 - Date : 2018 12 3
Float : 2902260 - Cycle : 31 - PI : M Ravichandran - Data mode : A - Platform type : ARVOR - WMO inst type : 844 - FLOAT SERIAL : 17113 - Date : 2018 12 13
Float : 2902260 - Cycle : 32 - PI : M Ravichandran - Data mode : A - Platform type : ARVOR - WMO inst type : 844 - FLOAT SERIAL : 17113 - Date : 2018 12 23
Float : 2902260 - Cycle : 48 - PI : M Ravichandran - Data mode : A - Platform type : ARVOR - WMO inst type : 844 - FLOAT SERIAL : 17113 - Date : 2019 6 1
Float : 2902260 - Cycle : 49 - PI : M Ravichandran - Data mode : A - Platform type : ARVOR - WMO inst type : 844 - FLOAT SERIAL : 17113 - Date : 2019 6 11
Float : 2902260 - Cycle : 50 - PI : M Ravichandran - Data mode : A - Platform type : ARVOR - WMO inst type : 844 - FLOAT SERIAL : 17113 - Date : 2019 6 21
Float : 2902261 - Cycle : 29 - PI : M Ravichandran - Data mode : A - Platform type : ARVOR - WMO inst type : 844 - FLOAT SERIAL : 17114 - Date : 2018 11 23
Float : 2902261 - Cycle : 30 - PI : M Ravichandran - Data mode : A - Platform type : ARVOR - WMO inst type : 844 - FLOAT SERIAL : 17114 - Date : 2018 12 3
Float : 2902261 - Cycle : 32 - PI : M Ravichandran - Data mode : A - Platform type : ARVOR - WMO inst type : 844 - FLOAT SERIAL : 17114 - Date : 2018 12 23
Float : 2902261 - Cycle : 48 - PI : M Ravichandran - Data mode : A - Platform type : ARVOR - WMO inst type : 844 - FLOAT SERIAL : 17114 - Date : 2019 6 1
Float : 2902261 - Cycle : 49 - PI : M Ravichandran - Data mode : A - Platform type : ARVOR - WMO inst type : 844 - FLOAT SERIAL : 17114 - Date : 2019 6 11
Float : 2902262 - Cycle : 26 - PI : M Ravichandran - Data mode : A - Platform type : ARVOR - WMO inst type : 844 - FLOAT SERIAL : 17115 - Date : 2018 10 25
Float : 2902262 - Cycle : 27 - PI : M Ravichandran - Data mode : A - Platform type : ARVOR - WMO inst type : 844 - FLOAT SERIAL : 17115 - Date : 2018 11 4
Float : 2902262 - Cycle : 29 - PI : M Ravichandran - Data mode : A - Platform type : ARVOR - WMO inst type : 844 - FLOAT SERIAL : 17115 - Date : 2018 11 24
Float : 2902262 - Cycle : 30 - PI : M Ravichandran - Data mode : A - Platform type : ARVOR - WMO inst type : 844 - FLOAT SERIAL : 17115 - Date : 2018 12 4
Float : 2902262 - Cycle : 48 - PI : M Ravichandran - Data mode : A - Platform type : ARVOR - WMO inst type : 844 - FLOAT SERIAL : 17115 - Date : 2019 6 2
Float : 2902262 - Cycle : 49 - PI : M Ravichandran - Data mode : A - Platform type : ARVOR - WMO inst type : 844 - FLOAT SERIAL : 17115 - Date : 2019 6 12
Float : 2902262 - Cycle : 50 - PI : M Ravichandran - Data mode : A - Platform type : ARVOR - WMO inst type : 844 - FLOAT SERIAL : 17115 - Date : 2019 6 22
Float : 2902265 - Cycle : 12 - PI : M Ravichandran - Data mode : A - Platform type : ARVOR - WMO inst type : 844 - FLOAT SERIAL : 18001 - Date : 2019 5 27
Float : 2902265 - Cycle : 13 - PI : M Ravichandran - Data mode : A - Platform type : ARVOR - WMO inst type : 844 - FLOAT SERIAL : 18001 - Date : 2019 6 6
Float : 2902265 - Cycle : 14 - PI : M Ravichandran - Data mode : A - Platform type : ARVOR - WMO inst type : 844 - FLOAT SERIAL : 18001 - Date : 2019 6 16
Float : 2902266 - Cycle : 12 - PI : M Ravichandran - Data mode : A - Platform type : ARVOR - WMO inst type : 844 - FLOAT SERIAL : 18002 - Date : 2019 5 26
Float : 2902266 - Cycle : 13 - PI : M Ravichandran - Data mode : A - Platform type : ARVOR - WMO inst type : 844 - FLOAT SERIAL : 18002 - Date : 2019 6 5
Float : 2902266 - Cycle : 14 - PI : M Ravichandran - Data mode : A - Platform type : ARVOR - WMO inst type : 844 - FLOAT SERIAL : 18002 - Date : 2019 6 15
Float : 2902266 - Cycle : 15 - PI : M Ravichandran - Data mode : A - Platform type : ARVOR - WMO inst type : 844 - FLOAT SERIAL : 18002 - Date : 2019 6 25
Float : 2902267 - Cycle : 13 - PI : M Ravichandran - Data mode : A - Platform type : ARVOR - WMO inst type : 844 - FLOAT SERIAL : 18003 - Date : 2019 5 31
Float : 2902267 - Cycle : 14 - PI : M Ravichandran - Data mode : A - Platform type : ARVOR - WMO inst type : 844 - FLOAT SERIAL : 18003 - Date : 2019 6 10
Float : 2902267 - Cycle : 15 - PI : M Ravichandran - Data mode : A - Platform type : ARVOR - WMO inst type : 844 - FLOAT SERIAL : 18003 - Date : 2019 6 20
Float : 2902268 - Cycle : 13 - PI : M Ravichandran - Data mode : A - Platform type : ARVOR - WMO inst type : 844 - FLOAT SERIAL : 18004 - Date : 2019 6 1
Float : 2902268 - Cycle : 14 - PI : M Ravichandran - Data mode : A - Platform type : ARVOR - WMO inst type : 844 - FLOAT SERIAL : 18004 - Date : 2019 6 11
Float : 2902268 - Cycle : 15 - PI : M Ravichandran - Data mode : A - Platform type : ARVOR - WMO inst type : 844 - FLOAT SERIAL : 18004 - Date : 2019 6 21
Float : 2902269 - Cycle : 13 - PI : M Ravichandran - Data mode : A - Platform type : ARVOR - WMO inst type : 844 - FLOAT SERIAL : 18005 - Date : 2019 6 2
Float : 2902269 - Cycle : 14 - PI : M Ravichandran - Data mode : A - Platform type : ARVOR - WMO inst type : 844 - FLOAT SERIAL : 18005 - Date : 2019 6 12
Float : 2902278 - Cycle : 1 - PI : M Ravichandran - Data mode : A - Platform type : ARVOR - WMO inst type : 844 - FLOAT SERIAL : 18006 - Date : 2019 5 30
Float : 2902278 - Cycle : 2 - PI : M Ravichandran - Data mode : A - Platform type : ARVOR - WMO inst type : 844 - FLOAT SERIAL : 18006 - Date : 2019 6 9

Float : 2902278 - Cycle : 3 - PI : M Ravichandran - Data mode : A - Platform type : ARVOR - WMO inst type : 844 - FLOAT SERIAL : 18006 - Date : 2019 6 9
Float : 2902278 - Cycle : 4 - PI : M Ravichandran - Data mode : A - Platform type : ARVOR - WMO inst type : 844 - FLOAT SERIAL : 18006 - Date : 2019 6 14
Float : 2902278 - Cycle : 5 - PI : M Ravichandran - Data mode : A - Platform type : ARVOR - WMO inst type : 844 - FLOAT SERIAL : 18006 - Date : 2019 6 19
Float : 2902279 - Cycle : 1 - PI : M Ravichandran - Data mode : A - Platform type : ARVOR - WMO inst type : 844 - FLOAT SERIAL : 18007 - Date : 2019 5 30
Float : 2902279 - Cycle : 2 - PI : M Ravichandran - Data mode : A - Platform type : ARVOR - WMO inst type : 844 - FLOAT SERIAL : 18007 - Date : 2019 6 4
Float : 2902279 - Cycle : 3 - PI : M Ravichandran - Data mode : A - Platform type : ARVOR - WMO inst type : 844 - FLOAT SERIAL : 18007 - Date : 2019 6 9
Float : 2902279 - Cycle : 4 - PI : M Ravichandran - Data mode : A - Platform type : ARVOR - WMO inst type : 844 - FLOAT SERIAL : 18007 - Date : 2019 6 14
Float : 2902279 - Cycle : 5 - PI : M Ravichandran - Data mode : A - Platform type : ARVOR - WMO inst type : 844 - FLOAT SERIAL : 18007 - Date : 2019 6 19
Float : 2902280 - Cycle : 1 - PI : M Ravichandran - Data mode : A - Platform type : ARVOR - WMO inst type : 844 - FLOAT SERIAL : 18008 - Date : 2019 5 31
Float : 2902280 - Cycle : 2 - PI : M Ravichandran - Data mode : A - Platform type : ARVOR - WMO inst type : 844 - FLOAT SERIAL : 18008 - Date : 2019 6 5
Float : 2902280 - Cycle : 3 - PI : M Ravichandran - Data mode : A - Platform type : ARVOR - WMO inst type : 844 - FLOAT SERIAL : 18008 - Date : 2019 6 10
Float : 2902280 - Cycle : 4 - PI : M Ravichandran - Data mode : A - Platform type : ARVOR - WMO inst type : 844 - FLOAT SERIAL : 18008 - Date : 2019 6 15
Float : 2902280 - Cycle : 5 - PI : M Ravichandran - Data mode : A - Platform type : ARVOR - WMO inst type : 844 - FLOAT SERIAL : 18008 - Date : 2019 6 20
Float : 2902281 - Cycle : 0 - PI : M Ravichandran - Data mode : A - Platform type : ARVOR - WMO inst type : 844 - FLOAT SERIAL : 18009 - Date : 2019 5 26
Float : 2902281 - Cycle : 1 - PI : M Ravichandran - Data mode : A - Platform type : ARVOR - WMO inst type : 844 - FLOAT SERIAL : 18009 - Date : 2019 5 31
Float : 2902281 - Cycle : 2 - PI : M Ravichandran - Data mode : A - Platform type : ARVOR - WMO inst type : 844 - FLOAT SERIAL : 18009 - Date : 2019 5 31
Float : 2902281 - Cycle : 3 - PI : M Ravichandran - Data mode : A - Platform type : ARVOR - WMO inst type : 844 - FLOAT SERIAL : 18009 - Date : 2019 6 10
Float : 2902281 - Cycle : 4 - PI : M Ravichandran - Data mode : A - Platform type : ARVOR - WMO inst type : 844 - FLOAT SERIAL : 18009 - Date : 2019 6 15
Float : 2902282 - Cycle : 0 - PI : M Ravichandran - Data mode : A - Platform type : ARVOR - WMO inst type : 844 - FLOAT SERIAL : 18010 - Date : 2019 5 26
Float : 2902282 - Cycle : 1 - PI : M Ravichandran - Data mode : A - Platform type : ARVOR - WMO inst type : 844 - FLOAT SERIAL : 18010 - Date : 2019 5 31
Float : 2902282 - Cycle : 2 - PI : M Ravichandran - Data mode : A - Platform type : ARVOR - WMO inst type : 844 - FLOAT SERIAL : 18010 - Date : 2019 6 10
Float : 2902282 - Cycle : 4 - PI : M Ravichandran - Data mode : A - Platform type : ARVOR - WMO inst type : 844 - FLOAT SERIAL : 18010 - Date : 2019 6 15
Float : 2902282 - Cycle : 5 - PI : M Ravichandran - Data mode : A - Platform type : ARVOR - WMO inst type : 844 - FLOAT SERIAL : 18010 - Date : 2019 6 20
Float : 2902283 - Cycle : 0 - PI : M Ravichandran - Data mode : A - Platform type : ARVOR - WMO inst type : 844 - FLOAT SERIAL : 18011 - Date : 2019 5 27
Float : 2902283 - Cycle : 1 - PI : M Ravichandran - Data mode : A - Platform type : ARVOR - WMO inst type : 844 - FLOAT SERIAL : 18011 - Date : 2019 6 1
Float : 2902283 - Cycle : 2 - PI : M Ravichandran - Data mode : A - Platform type : ARVOR - WMO inst type : 844 - FLOAT SERIAL : 18011 - Date : 2019 6 6
Float : 2902283 - Cycle : 4 - PI : M Ravichandran - Data mode : A - Platform type : ARVOR - WMO inst type : 844 - FLOAT SERIAL : 18011 - Date : 2019 6 16
Float : 2902283 - Cycle : 5 - PI : M Ravichandran - Data mode : A - Platform type : ARVOR - WMO inst type : 844 - FLOAT SERIAL : 18011 - Date : 2019 6 21
Float : 2902284 - Cycle : 1 - PI : M Ravichandran - Data mode : A - Platform type : ARVOR - WMO inst type : 844 - FLOAT SERIAL : 18012 - Date : 2019 6 1
Float : 2902284 - Cycle : 2 - PI : M Ravichandran - Data mode : A - Platform type : ARVOR - WMO inst type : 844 - FLOAT SERIAL : 18012 - Date : 2019 6 6
Float : 2902284 - Cycle : 3 - PI : M Ravichandran - Data mode : A - Platform type : ARVOR - WMO inst type : 844 - FLOAT SERIAL : 18012 - Date : 2019 6 6
Float : 2902284 - Cycle : 4 - PI : M Ravichandran - Data mode : A - Platform type : ARVOR - WMO inst type : 844 - FLOAT SERIAL : 18012 - Date : 2019 6 16
Float : 2902284 - Cycle : 5 - PI : M Ravichandran - Data mode : A - Platform type : ARVOR - WMO inst type : 844 - FLOAT SERIAL : 18012 - Date : 2019 6 21
Float : 2902285 - Cycle : 0 - PI : M Ravichandran - Data mode : A - Platform type : ARVOR - WMO inst type : 844 - FLOAT SERIAL : 18013 - Date : 2019 5 29
Float : 2902285 - Cycle : 1 - PI : M Ravichandran - Data mode : A - Platform type : ARVOR - WMO inst type : 844 - FLOAT SERIAL : 18013 - Date : 2019 6 3
Float : 2902285 - Cycle : 2 - PI : M Ravichandran - Data mode : A - Platform type : ARVOR - WMO inst type : 844 - FLOAT SERIAL : 18013 - Date : 2019 6 8
Float : 2902285 - Cycle : 3 - PI : M Ravichandran - Data mode : A - Platform type : ARVOR - WMO inst type : 844 - FLOAT SERIAL : 18013 - Date : 2019 6 13
Float : 2902285 - Cycle : 4 - PI : M Ravichandran - Data mode : A - Platform type : ARVOR - WMO inst type : 844 - FLOAT SERIAL : 18013 - Date : 2019 6 18

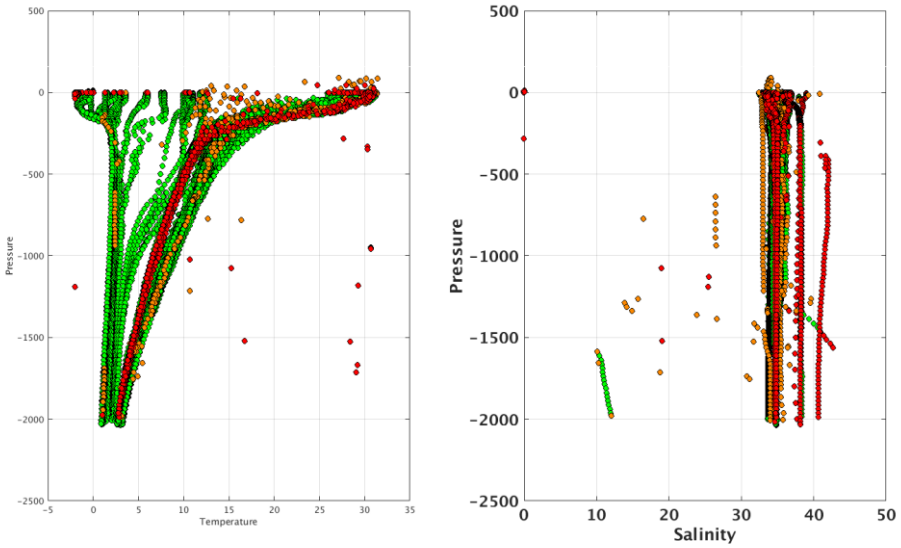

The list of the anomalies can be found at ftp://ftp.ifremer.fr/ifremer/argo/etc/ObjectiveAnalysisWarning/incois/

Example of anomalies:

Warning Objective Analysis Anomalies 2019 June TEMP PSAL : DAC IN- Float 2902248 - 19

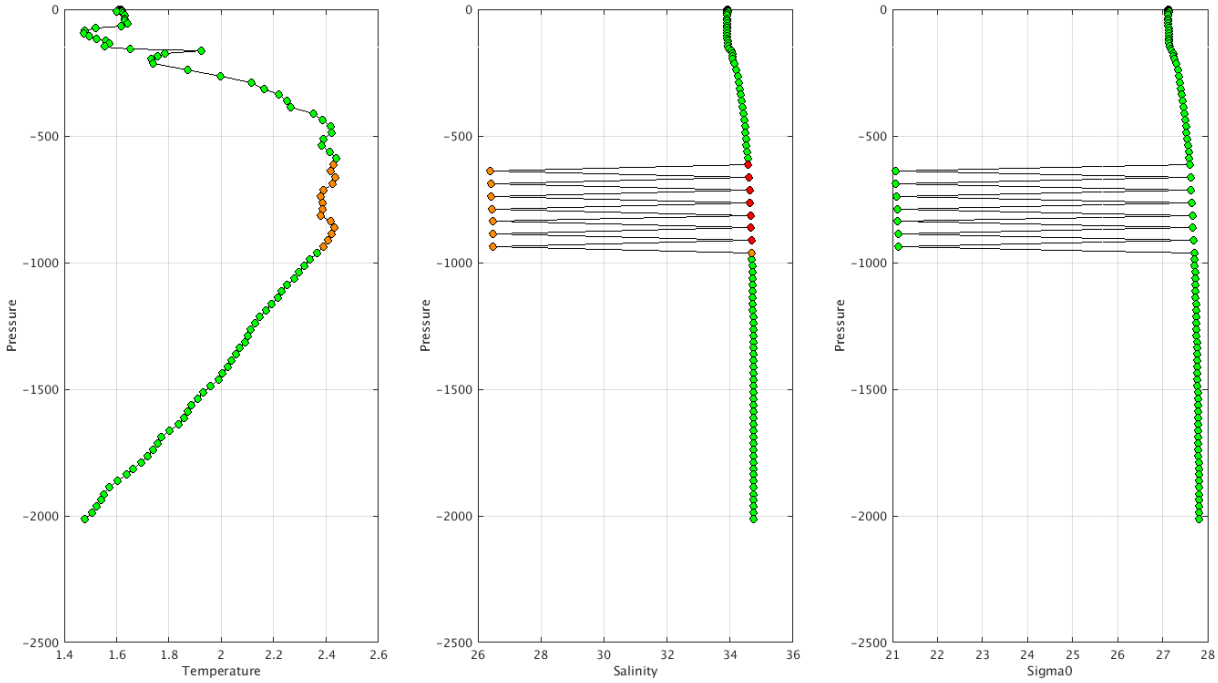

Warning Objective Analysis Anomalies 2019 June TEMP PSAL : DAC IN- Float 2902257 - 156

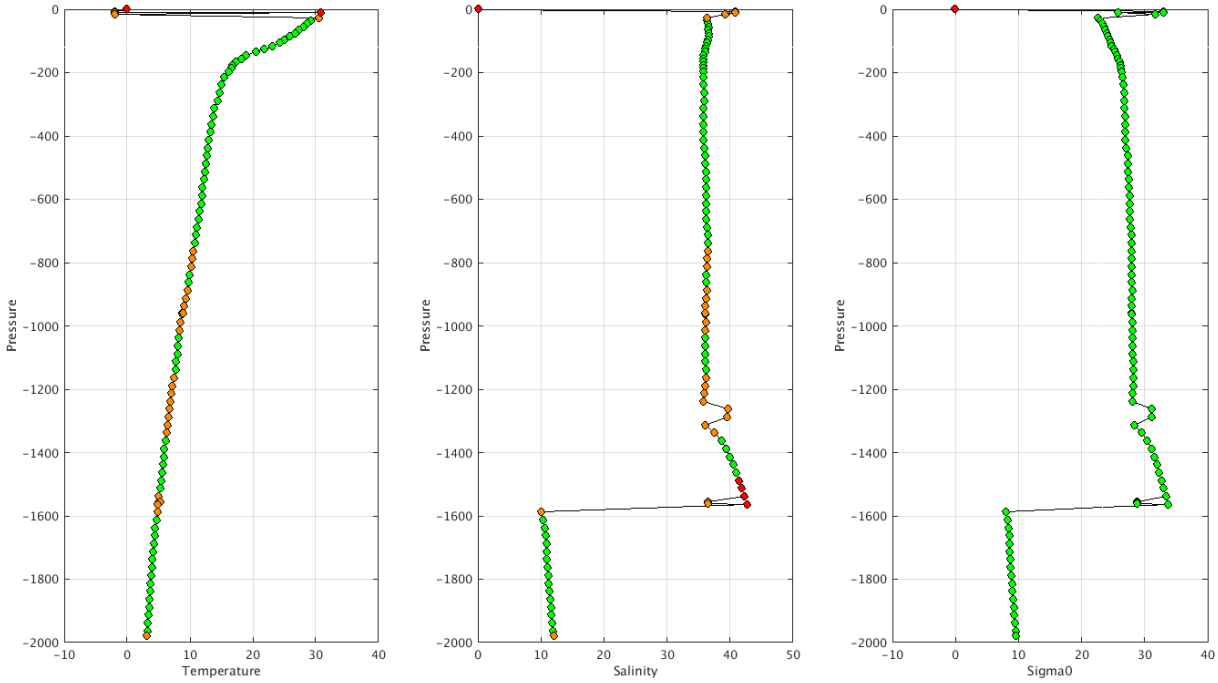

4.6. DAC JMA/JAMSTEC

Profiles detected by the objective analysis: 803 profiles (27 floats – float can have several cycles with anomalies)

Data_mode ='R'	Data_mode ='A'	Data_mode ='D'
30 cycles	773 cycles	0 cycle

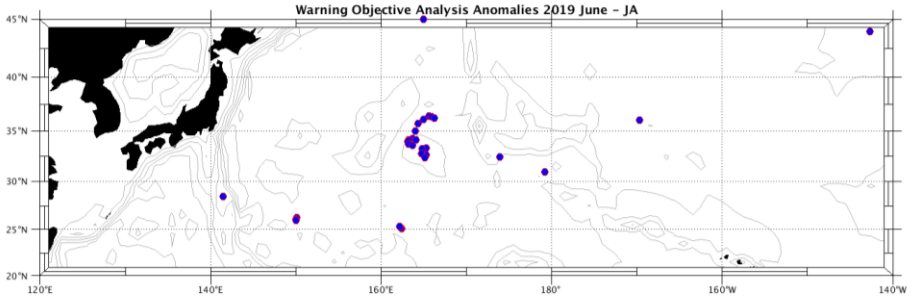

Status of corrections: Correction in progress, feedbacks sometimes

Float : 2900993 - Cycle : 84 - PI : JAMSTEC - Data mode : A - Platform type : APEX - WMO inst type : 846 - FLOAT SERIAL : 4984 - Date : 2012 1 23
Float : 2900997 - Cycle : 44 - PI : JAMSTEC - Data mode : A - Platform type : NEMO - WMO inst type : 860 - FLOAT SERIAL : 123 - Date : 2011 1 11
Float : 2900997 - Cycle : 46 - PI : JAMSTEC - Data mode : A - Platform type : NEMO - WMO inst type : 860 - FLOAT SERIAL : 123 - Date : 2011 1 17
Float : 2900997 - Cycle : 47 - PI : JAMSTEC - Data mode : A - Platform type : NEMO - WMO inst type : 860 - FLOAT SERIAL : 123 - Date : 2011 1 20
Float : 2900997 - Cycle : 49 - PI : JAMSTEC - Data mode : A - Platform type : NEMO - WMO inst type : 860 - FLOAT SERIAL : 123 - Date : 2011 1 26
Float : 2900997 - Cycle : 50 - PI : JAMSTEC - Data mode : A - Platform type : NEMO - WMO inst type : 860 - FLOAT SERIAL : 123 - Date : 2011 1 29
Float : 2900997 - Cycle : 53 - PI : JAMSTEC - Data mode : A - Platform type : NEMO - WMO inst type : 860 - FLOAT SERIAL : 123 - Date : 2011 2 7
Float : 2900997 - Cycle : 56 - PI : JAMSTEC - Data mode : A - Platform type : NEMO - WMO inst type : 860 - FLOAT SERIAL : 123 - Date : 2011 2 16
Float : 2900997 - Cycle : 57 - PI : JAMSTEC - Data mode : A - Platform type : NEMO - WMO inst type : 860 - FLOAT SERIAL : 123 - Date : 2011 2 19
Float : 2900997 - Cycle : 58 - PI : JAMSTEC - Data mode : A - Platform type : NEMO - WMO inst type : 860 - FLOAT SERIAL : 123 - Date : 2011 2 22
Float : 2900997 - Cycle : 60 - PI : JAMSTEC - Data mode : A - Platform type : NEMO - WMO inst type : 860 - FLOAT SERIAL : 123 - Date : 2011 2 28
Float : 2900997 - Cycle : 63 - PI : JAMSTEC - Data mode : A - Platform type : NEMO - WMO inst type : 860 - FLOAT SERIAL : 123 - Date : 2011 3 9
Float : 2900997 - Cycle : 66 - PI : JAMSTEC - Data mode : A - Platform type : NEMO - WMO inst type : 860 - FLOAT SERIAL : 123 - Date : 2011 3 18
Float : 2900997 - Cycle : 68 - PI : JAMSTEC - Data mode : A - Platform type : NEMO - WMO inst type : 860 - FLOAT SERIAL : 123 - Date : 2011 3 24
Float : 2900997 - Cycle : 69 - PI : JAMSTEC - Data mode : A - Platform type : NEMO - WMO inst type : 860 - FLOAT SERIAL : 123 - Date : 2011 3 27
Float : 2900997 - Cycle : 72 - PI : JAMSTEC - Data mode : A - Platform type : NEMO - WMO inst type : 860 - FLOAT SERIAL : 123 - Date : 2011 4 5
Float : 2900997 - Cycle : 73 - PI : JAMSTEC - Data mode : A - Platform type : NEMO - WMO inst type : 860 - FLOAT SERIAL : 123 - Date : 2011 4 8
Float : 2900997 - Cycle : 77 - PI : JAMSTEC - Data mode : A - Platform type : NEMO - WMO inst type : 860 - FLOAT SERIAL : 123 - Date : 2011 4 20
Float : 2900997 - Cycle : 78 - PI : JAMSTEC - Data mode : A - Platform type : NEMO - WMO inst type : 860 - FLOAT SERIAL : 123 - Date : 2011 4 23
Float : 2900998 - Cycle : 32 - PI : JAMSTEC - Data mode : A - Platform type : NEMO - WMO inst type : 860 - FLOAT SERIAL : 121 - Date : 2011 1 1
Float : 2900998 - Cycle : 33 - PI : JAMSTEC - Data mode : A - Platform type : NEMO - WMO inst type : 860 - FLOAT SERIAL : 121 - Date : 2011 1 4
Float : 2900998 - Cycle : 34 - PI : JAMSTEC - Data mode : A - Platform type : NEMO - WMO inst type : 860 - FLOAT SERIAL : 121 - Date : 2011 1 7
Float : 2900998 - Cycle : 35 - PI : JAMSTEC - Data mode : A - Platform type : NEMO - WMO inst type : 860 - FLOAT SERIAL : 121 - Date : 2011 1 10
Float : 2900998 - Cycle : 36 - PI : JAMSTEC - Data mode : A - Platform type : NEMO - WMO inst type : 860 - FLOAT SERIAL : 121 - Date : 2011 1 13
Float : 2900998 - Cycle : 37 - PI : JAMSTEC - Data mode : A - Platform type : NEMO - WMO inst type : 860 - FLOAT SERIAL : 121 - Date : 2011 1 16
Float : 2900998 - Cycle : 38 - PI : JAMSTEC - Data mode : A - Platform type : NEMO - WMO inst type : 860 - FLOAT SERIAL : 121 - Date : 2011 1 19
Float : 2900998 - Cycle : 40 - PI : JAMSTEC - Data mode : A - Platform type : NEMO - WMO inst type : 860 - FLOAT SERIAL : 121 - Date : 2011 1 25
Float : 2900998 - Cycle : 41 - PI : JAMSTEC - Data mode : A - Platform type : NEMO - WMO inst type : 860 - FLOAT SERIAL : 121 - Date : 2011 1 28
Float : 2900998 - Cycle : 42 - PI : JAMSTEC - Data mode : A - Platform type : NEMO - WMO inst type : 860 - FLOAT SERIAL : 121 - Date : 2011 1 31
Float : 2900998 - Cycle : 43 - PI : JAMSTEC - Data mode : A - Platform type : NEMO - WMO inst type : 860 - FLOAT SERIAL : 121 - Date : 2011 2 3
Float : 2900998 - Cycle : 44 - PI : JAMSTEC - Data mode : A - Platform type : NEMO - WMO inst type : 860 - FLOAT SERIAL : 121 - Date : 2011 2 6
Float : 2900998 - Cycle : 45 - PI : JAMSTEC - Data mode : A - Platform type : NEMO - WMO inst type : 860 - FLOAT SERIAL : 121 - Date : 2011 2 9
Float : 2900998 - Cycle : 46 - PI : JAMSTEC - Data mode : A - Platform type : NEMO - WMO inst type : 860 - FLOAT SERIAL : 121 - Date : 2011 2 12
Float : 2900998 - Cycle : 47 - PI : JAMSTEC - Data mode : A - Platform type : NEMO - WMO inst type : 860 - FLOAT SERIAL : 121 - Date : 2011 2 15
Float : 2900998 - Cycle : 48 - PI : JAMSTEC - Data mode : A - Platform type : NEMO - WMO inst type : 860 - FLOAT SERIAL : 121 - Date : 2011 2 18
Float : 2900998 - Cycle : 49 - PI : JAMSTEC - Data mode : A - Platform type : NEMO - WMO inst type : 860 - FLOAT SERIAL : 121 - Date : 2011 2 21
Float : 2900998 - Cycle : 50 - PI : JAMSTEC - Data mode : A - Platform type : NEMO - WMO inst type : 860 - FLOAT SERIAL : 121 - Date : 2011 2 24
Float : 2900998 - Cycle : 51 - PI : JAMSTEC - Data mode : A - Platform type : NEMO - WMO inst type : 860 - FLOAT SERIAL : 121 - Date : 2011 2 27
Float : 2900998 - Cycle : 52 - PI : JAMSTEC - Data mode : A - Platform type : NEMO - WMO inst type : 860 - FLOAT SERIAL : 121 - Date : 2011 3 2
Float : 2900998 - Cycle : 53 - PI : JAMSTEC - Data mode : A - Platform type : NEMO - WMO inst type : 860 - FLOAT SERIAL : 121 - Date : 2011 3 5
Float : 2900998 - Cycle : 54 - PI : JAMSTEC - Data mode : A - Platform type : NEMO - WMO inst type : 860 - FLOAT SERIAL : 121 - Date : 2011 3 8
Float : 2900998 - Cycle : 55 - PI : JAMSTEC - Data mode : A - Platform type : NEMO - WMO inst type : 860 - FLOAT SERIAL : 121 - Date : 2011 3 11
Float : 2900998 - Cycle : 56 - PI : JAMSTEC - Data mode : A - Platform type : NEMO - WMO inst type : 860 - FLOAT SERIAL : 121 - Date : 2011 3 14
Float : 2900998 - Cycle : 57 - PI : JAMSTEC - Data mode : A - Platform type : NEMO - WMO inst type : 860 - FLOAT SERIAL : 121 - Date : 2011 3 17
Float : 2900998 - Cycle : 59 - PI : JAMSTEC - Data mode : A - Platform type : NEMO - WMO inst type : 860 - FLOAT SERIAL : 121 - Date : 2011 3 23
Float : 2900998 - Cycle : 60 - PI : JAMSTEC - Data mode : A - Platform type : NEMO - WMO inst type : 860 - FLOAT SERIAL : 121 - Date : 2011 3 26

Float : 2900998 - Cycle : 62 - PI : JAMSTEC - Data mode : A - Platform type : NEMO - WMO inst type : 860 - FLOAT SERIAL : 121 - Date : 2011 4 1
Float : 2900998 - Cycle : 64 - PI : JAMSTEC - Data mode : A - Platform type : NEMO - WMO inst type : 860 - FLOAT SERIAL : 121 - Date : 2011 4 7
Float : 2900998 - Cycle : 66 - PI : JAMSTEC - Data mode : A - Platform type : NEMO - WMO inst type : 860 - FLOAT SERIAL : 121 - Date : 2011 4 13
Float : 2900999 - Cycle : 32 - PI : JAMSTEC - Data mode : A - Platform type : NEMO - WMO inst type : 860 - FLOAT SERIAL : 122 - Date : 2011 1 1
Float : 2900999 - Cycle : 33 - PI : JAMSTEC - Data mode : A - Platform type : NEMO - WMO inst type : 860 - FLOAT SERIAL : 122 - Date : 2011 1 4
Float : 2900999 - Cycle : 34 - PI : JAMSTEC - Data mode : A - Platform type : NEMO - WMO inst type : 860 - FLOAT SERIAL : 122 - Date : 2011 1 7
Float : 2900999 - Cycle : 35 - PI : JAMSTEC - Data mode : A - Platform type : NEMO - WMO inst type : 860 - FLOAT SERIAL : 122 - Date : 2011 1 10
Float : 2900999 - Cycle : 36 - PI : JAMSTEC - Data mode : A - Platform type : NEMO - WMO inst type : 860 - FLOAT SERIAL : 122 - Date : 2011 1 13
Float : 2900999 - Cycle : 37 - PI : JAMSTEC - Data mode : A - Platform type : NEMO - WMO inst type : 860 - FLOAT SERIAL : 122 - Date : 2011 1 16
Float : 2900999 - Cycle : 38 - PI : JAMSTEC - Data mode : A - Platform type : NEMO - WMO inst type : 860 - FLOAT SERIAL : 122 - Date : 2011 1 19
Float : 2900999 - Cycle : 39 - PI : JAMSTEC - Data mode : A - Platform type : NEMO - WMO inst type : 860 - FLOAT SERIAL : 122 - Date : 2011 1 22
Float : 2900999 - Cycle : 40 - PI : JAMSTEC - Data mode : A - Platform type : NEMO - WMO inst type : 860 - FLOAT SERIAL : 122 - Date : 2011 1 25
Float : 2900999 - Cycle : 41 - PI : JAMSTEC - Data mode : A - Platform type : NEMO - WMO inst type : 860 - FLOAT SERIAL : 122 - Date : 2011 1 28
Float : 2900999 - Cycle : 42 - PI : JAMSTEC - Data mode : A - Platform type : NEMO - WMO inst type : 860 - FLOAT SERIAL : 122 - Date : 2011 1 31
Float : 2900999 - Cycle : 43 - PI : JAMSTEC - Data mode : A - Platform type : NEMO - WMO inst type : 860 - FLOAT SERIAL : 122 - Date : 2011 2 3
Float : 2900999 - Cycle : 45 - PI : JAMSTEC - Data mode : A - Platform type : NEMO - WMO inst type : 860 - FLOAT SERIAL : 122 - Date : 2011 2 9
Float : 2900999 - Cycle : 46 - PI : JAMSTEC - Data mode : A - Platform type : NEMO - WMO inst type : 860 - FLOAT SERIAL : 122 - Date : 2011 2 12
Float : 2900999 - Cycle : 47 - PI : JAMSTEC - Data mode : A - Platform type : NEMO - WMO inst type : 860 - FLOAT SERIAL : 122 - Date : 2011 2 15
Float : 2900999 - Cycle : 48 - PI : JAMSTEC - Data mode : A - Platform type : NEMO - WMO inst type : 860 - FLOAT SERIAL : 122 - Date : 2011 2 18
Float : 2900999 - Cycle : 49 - PI : JAMSTEC - Data mode : A - Platform type : NEMO - WMO inst type : 860 - FLOAT SERIAL : 122 - Date : 2011 2 21
Float : 2900999 - Cycle : 50 - PI : JAMSTEC - Data mode : A - Platform type : NEMO - WMO inst type : 860 - FLOAT SERIAL : 122 - Date : 2011 2 24
Float : 2900999 - Cycle : 52 - PI : JAMSTEC - Data mode : A - Platform type : NEMO - WMO inst type : 860 - FLOAT SERIAL : 122 - Date : 2011 3 2
Float : 2900999 - Cycle : 53 - PI : JAMSTEC - Data mode : A - Platform type : NEMO - WMO inst type : 860 - FLOAT SERIAL : 122 - Date : 2011 3 5
Float : 2900999 - Cycle : 54 - PI : JAMSTEC - Data mode : A - Platform type : NEMO - WMO inst type : 860 - FLOAT SERIAL : 122 - Date : 2011 3 8
Float : 2902432 - Cycle : 93 - PI : JAMSTEC - Data mode : A - Platform type : NEMO - WMO inst type : 860 - FLOAT SERIAL : 160 - Date : 2012 1 2
Float : 2902432 - Cycle : 108 - PI : JAMSTEC - Data mode : A - Platform type : NEMO - WMO inst type : 860 - FLOAT SERIAL : 160 - Date : 2012 2 1
Float : 2902432 - Cycle : 193 - PI : JAMSTEC - Data mode : A - Platform type : NEMO - WMO inst type : 860 - FLOAT SERIAL : 160 - Date : 2013 4 2
Float : 2902433 - Cycle : 155 - PI : JAMSTEC - Data mode : A - Platform type : NEMO - WMO inst type : 860 - FLOAT SERIAL : 199 - Date : 2012 6 26
Float : 2902433 - Cycle : 172 - PI : JAMSTEC - Data mode : A - Platform type : NEMO - WMO inst type : 860 - FLOAT SERIAL : 199 - Date : 2012 12 13
Float : 2902433 - Cycle : 174 - PI : JAMSTEC - Data mode : A - Platform type : NEMO - WMO inst type : 860 - FLOAT SERIAL : 199 - Date : 2013 1 2
Float : 2902433 - Cycle : 175 - PI : JAMSTEC - Data mode : A - Platform type : NEMO - WMO inst type : 860 - FLOAT SERIAL : 199 - Date : 2013 1 12
Float : 2902433 - Cycle : 176 - PI : JAMSTEC - Data mode : A - Platform type : NEMO - WMO inst type : 860 - FLOAT SERIAL : 199 - Date : 2013 1 22
Float : 2902433 - Cycle : 177 - PI : JAMSTEC - Data mode : A - Platform type : NEMO - WMO inst type : 860 - FLOAT SERIAL : 199 - Date : 2013 2 1
Float : 2902433 - Cycle : 178 - PI : JAMSTEC - Data mode : A - Platform type : NEMO - WMO inst type : 860 - FLOAT SERIAL : 199 - Date : 2013 2 11
Float : 2902435 - Cycle : 32 - PI : JAMSTEC - Data mode : A - Platform type : NEMO - WMO inst type : 860 - FLOAT SERIAL : 193 - Date : 2011 9 22
Float : 2902435 - Cycle : 83 - PI : JAMSTEC - Data mode : A - Platform type : NEMO - WMO inst type : 860 - FLOAT SERIAL : 193 - Date : 2012 1 2
Float : 2902435 - Cycle : 84 - PI : JAMSTEC - Data mode : A - Platform type : NEMO - WMO inst type : 860 - FLOAT SERIAL : 193 - Date : 2012 1 4
Float : 2902435 - Cycle : 85 - PI : JAMSTEC - Data mode : A - Platform type : NEMO - WMO inst type : 860 - FLOAT SERIAL : 193 - Date : 2012 1 6
Float : 2902435 - Cycle : 86 - PI : JAMSTEC - Data mode : A - Platform type : NEMO - WMO inst type : 860 - FLOAT SERIAL : 193 - Date : 2012 1 8
Float : 2902435 - Cycle : 87 - PI : JAMSTEC - Data mode : A - Platform type : NEMO - WMO inst type : 860 - FLOAT SERIAL : 193 - Date : 2012 1 10
Float : 2902435 - Cycle : 88 - PI : JAMSTEC - Data mode : A - Platform type : NEMO - WMO inst type : 860 - FLOAT SERIAL : 193 - Date : 2012 1 12
Float : 2902435 - Cycle : 89 - PI : JAMSTEC - Data mode : A - Platform type : NEMO - WMO inst type : 860 - FLOAT SERIAL : 193 - Date : 2012 1 14
Float : 2902435 - Cycle : 90 - PI : JAMSTEC - Data mode : A - Platform type : NEMO - WMO inst type : 860 - FLOAT SERIAL : 193 - Date : 2012 1 16
Float : 2902435 - Cycle : 91 - PI : JAMSTEC - Data mode : A - Platform type : NEMO - WMO inst type : 860 - FLOAT SERIAL : 193 - Date : 2012 1 18
Float : 2902435 - Cycle : 92 - PI : JAMSTEC - Data mode : A - Platform type : NEMO - WMO inst type : 860 - FLOAT SERIAL : 193 - Date : 2012 1 20
Float : 2902435 - Cycle : 93 - PI : JAMSTEC - Data mode : A - Platform type : NEMO - WMO inst type : 860 - FLOAT SERIAL : 193 - Date : 2012 1 22
Float : 2902435 - Cycle : 94 - PI : JAMSTEC - Data mode : A - Platform type : NEMO - WMO inst type : 860 - FLOAT SERIAL : 193 - Date : 2012 1 24
Float : 2902435 - Cycle : 95 - PI : JAMSTEC - Data mode : A - Platform type : NEMO - WMO inst type : 860 - FLOAT SERIAL : 193 - Date : 2012 1 26
Float : 2902435 - Cycle : 96 - PI : JAMSTEC - Data mode : A - Platform type : NEMO - WMO inst type : 860 - FLOAT SERIAL : 193 - Date : 2012 1 28
Float : 2902435 - Cycle : 97 - PI : JAMSTEC - Data mode : A - Platform type : NEMO - WMO inst type : 860 - FLOAT SERIAL : 193 - Date : 2012 1 30
Float : 2902435 - Cycle : 98 - PI : JAMSTEC - Data mode : A - Platform type : NEMO - WMO inst type : 860 - FLOAT SERIAL : 193 - Date : 2012 2 1
Float : 2902435 - Cycle : 99 - PI : JAMSTEC - Data mode : A - Platform type : NEMO - WMO inst type : 860 - FLOAT SERIAL : 193 - Date : 2012 2 3
Float : 2902435 - Cycle : 100 - PI : JAMSTEC - Data mode : A - Platform type : NEMO - WMO inst type : 860 - FLOAT SERIAL : 193 - Date : 2012 2 5
Float : 2902435 - Cycle : 101 - PI : JAMSTEC - Data mode : A - Platform type : NEMO - WMO inst type : 860 - FLOAT SERIAL : 193 - Date : 2012 2 7
Float : 2902435 - Cycle : 102 - PI : JAMSTEC - Data mode : A - Platform type : NEMO - WMO inst type : 860 - FLOAT SERIAL : 193 - Date : 2012 2 9
Float : 2902435 - Cycle : 103 - PI : JAMSTEC - Data mode : A - Platform type : NEMO - WMO inst type : 860 - FLOAT SERIAL : 193 - Date : 2012 2 11
Float : 2902435 - Cycle : 104 - PI : JAMSTEC - Data mode : A - Platform type : NEMO - WMO inst type : 860 - FLOAT SERIAL : 193 - Date : 2012 2 13
Float : 2902435 - Cycle : 105 - PI : JAMSTEC - Data mode : A - Platform type : NEMO - WMO inst type : 860 - FLOAT SERIAL : 193 - Date : 2012 2 15
Float : 2902435 - Cycle : 106 - PI : JAMSTEC - Data mode : A - Platform type : NEMO - WMO inst type : 860 - FLOAT SERIAL : 193 - Date : 2012 2 17
Float : 2902435 - Cycle : 107 - PI : JAMSTEC - Data mode : A - Platform type : NEMO - WMO inst type : 860 - FLOAT SERIAL : 193 - Date : 2012 2 19
Float : 2902435 - Cycle : 108 - PI : JAMSTEC - Data mode : A - Platform type : NEMO - WMO inst type : 860 - FLOAT SERIAL : 193 - Date : 2012 2 21
Float : 2902435 - Cycle : 109 - PI : JAMSTEC - Data mode : A - Platform type : NEMO - WMO inst type : 860 - FLOAT SERIAL : 193 - Date : 2012 2 23
Float : 2902435 - Cycle : 110 - PI : JAMSTEC - Data mode : A - Platform type : NEMO - WMO inst type : 860 - FLOAT SERIAL : 193 - Date : 2012 2 25
Float : 2902435 - Cycle : 111 - PI : JAMSTEC - Data mode : A - Platform type : NEMO - WMO inst type : 860 - FLOAT SERIAL : 193 - Date : 2012 2 27
Float : 2902435 - Cycle : 112 - PI : JAMSTEC - Data mode : A - Platform type : NEMO - WMO inst type : 860 - FLOAT SERIAL : 193 - Date : 2012 2 29
Float : 2902435 - Cycle : 113 - PI : JAMSTEC - Data mode : A - Platform type : NEMO - WMO inst type : 860 - FLOAT SERIAL : 193 - Date : 2012 3 2
Float : 2902435 - Cycle : 114 - PI : JAMSTEC - Data mode : A - Platform type : NEMO - WMO inst type : 860 - FLOAT SERIAL : 193 - Date : 2012 3 4
Float : 2902435 - Cycle : 115 - PI : JAMSTEC - Data mode : A - Platform type : NEMO - WMO inst type : 860 - FLOAT SERIAL : 193 - Date : 2012 3 6
Float : 2902435 - Cycle : 116 - PI : JAMSTEC - Data mode : A - Platform type : NEMO - WMO inst type : 860 - FLOAT SERIAL : 193 - Date : 2012 3 8
Float : 2902435 - Cycle : 117 - PI : JAMSTEC - Data mode : A - Platform type : NEMO - WMO inst type : 860 - FLOAT SERIAL : 193 - Date : 2012 3 10
Float : 2902435 - Cycle : 118 - PI : JAMSTEC - Data mode : A - Platform type : NEMO - WMO inst type : 860 - FLOAT SERIAL : 193 - Date : 2012 3 12
Float : 2902435 - Cycle : 119 - PI : JAMSTEC - Data mode : A - Platform type : NEMO - WMO inst type : 860 - FLOAT SERIAL : 193 - Date : 2012 3 14
Float : 2902435 - Cycle : 120 - PI : JAMSTEC - Data mode : A - Platform type : NEMO - WMO inst type : 860 - FLOAT SERIAL : 193 - Date : 2012 3 16
Float : 2902435 - Cycle : 121 - PI : JAMSTEC - Data mode : A - Platform type : NEMO - WMO inst type : 860 - FLOAT SERIAL : 193 - Date : 2012 3 18

Float : 2902435 - Cycle : 122 - PI : JAMSTEC - Data mode : A - Platform type : NEMO - WMO inst type : 860 - FLOAT SERIAL : 193 - Date : 2012 3 20
Float : 2902435 - Cycle : 123 - PI : JAMSTEC - Data mode : A - Platform type : NEMO - WMO inst type : 860 - FLOAT SERIAL : 193 - Date : 2012 3 22
Float : 2902435 - Cycle : 124 - PI : JAMSTEC - Data mode : A - Platform type : NEMO - WMO inst type : 860 - FLOAT SERIAL : 193 - Date : 2012 3 24
Float : 2902435 - Cycle : 125 - PI : JAMSTEC - Data mode : A - Platform type : NEMO - WMO inst type : 860 - FLOAT SERIAL : 193 - Date : 2012 3 26
Float : 2902435 - Cycle : 126 - PI : JAMSTEC - Data mode : A - Platform type : NEMO - WMO inst type : 860 - FLOAT SERIAL : 193 - Date : 2012 3 28
Float : 2902435 - Cycle : 127 - PI : JAMSTEC - Data mode : A - Platform type : NEMO - WMO inst type : 860 - FLOAT SERIAL : 193 - Date : 2012 3 30
Float : 2902435 - Cycle : 128 - PI : JAMSTEC - Data mode : A - Platform type : NEMO - WMO inst type : 860 - FLOAT SERIAL : 193 - Date : 2012 4 1
Float : 2902435 - Cycle : 129 - PI : JAMSTEC - Data mode : A - Platform type : NEMO - WMO inst type : 860 - FLOAT SERIAL : 193 - Date : 2012 4 3
Float : 2902435 - Cycle : 130 - PI : JAMSTEC - Data mode : A - Platform type : NEMO - WMO inst type : 860 - FLOAT SERIAL : 193 - Date : 2012 4 5
Float : 2902435 - Cycle : 131 - PI : JAMSTEC - Data mode : A - Platform type : NEMO - WMO inst type : 860 - FLOAT SERIAL : 193 - Date : 2012 4 7
Float : 2902435 - Cycle : 132 - PI : JAMSTEC - Data mode : A - Platform type : NEMO - WMO inst type : 860 - FLOAT SERIAL : 193 - Date : 2012 4 9
Float : 2902435 - Cycle : 133 - PI : JAMSTEC - Data mode : A - Platform type : NEMO - WMO inst type : 860 - FLOAT SERIAL : 193 - Date : 2012 4 11
Float : 2902435 - Cycle : 134 - PI : JAMSTEC - Data mode : A - Platform type : NEMO - WMO inst type : 860 - FLOAT SERIAL : 193 - Date : 2012 4 13
Float : 2902435 - Cycle : 135 - PI : JAMSTEC - Data mode : A - Platform type : NEMO - WMO inst type : 860 - FLOAT SERIAL : 193 - Date : 2012 4 15
Float : 2902435 - Cycle : 136 - PI : JAMSTEC - Data mode : A - Platform type : NEMO - WMO inst type : 860 - FLOAT SERIAL : 193 - Date : 2012 4 17
Float : 2902435 - Cycle : 137 - PI : JAMSTEC - Data mode : A - Platform type : NEMO - WMO inst type : 860 - FLOAT SERIAL : 193 - Date : 2012 4 19
Float : 2902435 - Cycle : 138 - PI : JAMSTEC - Data mode : A - Platform type : NEMO - WMO inst type : 860 - FLOAT SERIAL : 193 - Date : 2012 4 21
Float : 2902435 - Cycle : 139 - PI : JAMSTEC - Data mode : A - Platform type : NEMO - WMO inst type : 860 - FLOAT SERIAL : 193 - Date : 2012 4 23
Float : 2902435 - Cycle : 140 - PI : JAMSTEC - Data mode : A - Platform type : NEMO - WMO inst type : 860 - FLOAT SERIAL : 193 - Date : 2012 4 25
Float : 2902435 - Cycle : 141 - PI : JAMSTEC - Data mode : A - Platform type : NEMO - WMO inst type : 860 - FLOAT SERIAL : 193 - Date : 2012 4 27
Float : 2902435 - Cycle : 142 - PI : JAMSTEC - Data mode : A - Platform type : NEMO - WMO inst type : 860 - FLOAT SERIAL : 193 - Date : 2012 4 29
Float : 2902435 - Cycle : 143 - PI : JAMSTEC - Data mode : A - Platform type : NEMO - WMO inst type : 860 - FLOAT SERIAL : 193 - Date : 2012 5 1
Float : 2902435 - Cycle : 144 - PI : JAMSTEC - Data mode : A - Platform type : NEMO - WMO inst type : 860 - FLOAT SERIAL : 193 - Date : 2012 5 3
Float : 2902435 - Cycle : 145 - PI : JAMSTEC - Data mode : A - Platform type : NEMO - WMO inst type : 860 - FLOAT SERIAL : 193 - Date : 2012 5 5
Float : 2902435 - Cycle : 146 - PI : JAMSTEC - Data mode : A - Platform type : NEMO - WMO inst type : 860 - FLOAT SERIAL : 193 - Date : 2012 5 7
Float : 2902435 - Cycle : 147 - PI : JAMSTEC - Data mode : A - Platform type : NEMO - WMO inst type : 860 - FLOAT SERIAL : 193 - Date : 2012 5 9
Float : 2902435 - Cycle : 148 - PI : JAMSTEC - Data mode : A - Platform type : NEMO - WMO inst type : 860 - FLOAT SERIAL : 193 - Date : 2012 5 11
Float : 2902435 - Cycle : 149 - PI : JAMSTEC - Data mode : A - Platform type : NEMO - WMO inst type : 860 - FLOAT SERIAL : 193 - Date : 2012 5 13
Float : 2902435 - Cycle : 150 - PI : JAMSTEC - Data mode : A - Platform type : NEMO - WMO inst type : 860 - FLOAT SERIAL : 193 - Date : 2012 5 15
Float : 2902435 - Cycle : 151 - PI : JAMSTEC - Data mode : A - Platform type : NEMO - WMO inst type : 860 - FLOAT SERIAL : 193 - Date : 2012 5 17
Float : 2902435 - Cycle : 152 - PI : JAMSTEC - Data mode : A - Platform type : NEMO - WMO inst type : 860 - FLOAT SERIAL : 193 - Date : 2012 5 27
Float : 2902435 - Cycle : 153 - PI : JAMSTEC - Data mode : A - Platform type : NEMO - WMO inst type : 860 - FLOAT SERIAL : 193 - Date : 2012 6 6
Float : 2902435 - Cycle : 154 - PI : JAMSTEC - Data mode : A - Platform type : NEMO - WMO inst type : 860 - FLOAT SERIAL : 193 - Date : 2012 6 16
Float : 2902435 - Cycle : 155 - PI : JAMSTEC - Data mode : A - Platform type : NEMO - WMO inst type : 860 - FLOAT SERIAL : 193 - Date : 2012 6 26
Float : 2902435 - Cycle : 156 - PI : JAMSTEC - Data mode : A - Platform type : NEMO - WMO inst type : 860 - FLOAT SERIAL : 193 - Date : 2012 6 27
Float : 2902436 - Cycle : 84 - PI : JAMSTEC - Data mode : A - Platform type : NEMO - WMO inst type : 860 - FLOAT SERIAL : 194 - Date : 2012 1 4
Float : 2902436 - Cycle : 85 - PI : JAMSTEC - Data mode : A - Platform type : NEMO - WMO inst type : 860 - FLOAT SERIAL : 194 - Date : 2012 1 6
Float : 2902436 - Cycle : 86 - PI : JAMSTEC - Data mode : A - Platform type : NEMO - WMO inst type : 860 - FLOAT SERIAL : 194 - Date : 2012 1 8
Float : 2902436 - Cycle : 87 - PI : JAMSTEC - Data mode : A - Platform type : NEMO - WMO inst type : 860 - FLOAT SERIAL : 194 - Date : 2012 1 10
Float : 2902436 - Cycle : 88 - PI : JAMSTEC - Data mode : A - Platform type : NEMO - WMO inst type : 860 - FLOAT SERIAL : 194 - Date : 2012 1 12
Float : 2902436 - Cycle : 89 - PI : JAMSTEC - Data mode : A - Platform type : NEMO - WMO inst type : 860 - FLOAT SERIAL : 194 - Date : 2012 1 14
Float : 2902436 - Cycle : 90 - PI : JAMSTEC - Data mode : A - Platform type : NEMO - WMO inst type : 860 - FLOAT SERIAL : 194 - Date : 2012 1 16
Float : 2902436 - Cycle : 91 - PI : JAMSTEC - Data mode : A - Platform type : NEMO - WMO inst type : 860 - FLOAT SERIAL : 194 - Date : 2012 1 18
Float : 2902436 - Cycle : 92 - PI : JAMSTEC - Data mode : A - Platform type : NEMO - WMO inst type : 860 - FLOAT SERIAL : 194 - Date : 2012 1 20
Float : 2902436 - Cycle : 93 - PI : JAMSTEC - Data mode : A - Platform type : NEMO - WMO inst type : 860 - FLOAT SERIAL : 194 - Date : 2012 1 30
Float : 2902436 - Cycle : 94 - PI : JAMSTEC - Data mode : A - Platform type : NEMO - WMO inst type : 860 - FLOAT SERIAL : 194 - Date : 2012 2 9
Float : 2902436 - Cycle : 95 - PI : JAMSTEC - Data mode : A - Platform type : NEMO - WMO inst type : 860 - FLOAT SERIAL : 194 - Date : 2012 2 19
Float : 2902436 - Cycle : 96 - PI : JAMSTEC - Data mode : A - Platform type : NEMO - WMO inst type : 860 - FLOAT SERIAL : 194 - Date : 2012 2 21
Float : 2902436 - Cycle : 97 - PI : JAMSTEC - Data mode : A - Platform type : NEMO - WMO inst type : 860 - FLOAT SERIAL : 194 - Date : 2012 2 23
Float : 2902436 - Cycle : 98 - PI : JAMSTEC - Data mode : A - Platform type : NEMO - WMO inst type : 860 - FLOAT SERIAL : 194 - Date : 2012 2 25
Float : 2902436 - Cycle : 99 - PI : JAMSTEC - Data mode : A - Platform type : NEMO - WMO inst type : 860 - FLOAT SERIAL : 194 - Date : 2012 2 27
Float : 2902436 - Cycle : 100 - PI : JAMSTEC - Data mode : A - Platform type : NEMO - WMO inst type : 860 - FLOAT SERIAL : 194 - Date : 2012 2 29
Float : 2902436 - Cycle : 101 - PI : JAMSTEC - Data mode : A - Platform type : NEMO - WMO inst type : 860 - FLOAT SERIAL : 194 - Date : 2012 3 2
Float : 2902436 - Cycle : 102 - PI : JAMSTEC - Data mode : A - Platform type : NEMO - WMO inst type : 860 - FLOAT SERIAL : 194 - Date : 2012 3 4
Float : 2902436 - Cycle : 103 - PI : JAMSTEC - Data mode : A - Platform type : NEMO - WMO inst type : 860 - FLOAT SERIAL : 194 - Date : 2012 3 6
Float : 2902436 - Cycle : 104 - PI : JAMSTEC - Data mode : A - Platform type : NEMO - WMO inst type : 860 - FLOAT SERIAL : 194 - Date : 2012 3 8
Float : 2902436 - Cycle : 105 - PI : JAMSTEC - Data mode : A - Platform type : NEMO - WMO inst type : 860 - FLOAT SERIAL : 194 - Date : 2012 3 10
Float : 2902436 - Cycle : 106 - PI : JAMSTEC - Data mode : A - Platform type : NEMO - WMO inst type : 860 - FLOAT SERIAL : 194 - Date : 2012 3 12
Float : 2902436 - Cycle : 107 - PI : JAMSTEC - Data mode : A - Platform type : NEMO - WMO inst type : 860 - FLOAT SERIAL : 194 - Date : 2012 3 14
Float : 2902436 - Cycle : 108 - PI : JAMSTEC - Data mode : A - Platform type : NEMO - WMO inst type : 860 - FLOAT SERIAL : 194 - Date : 2012 3 16
Float : 2902436 - Cycle : 109 - PI : JAMSTEC - Data mode : A - Platform type : NEMO - WMO inst type : 860 - FLOAT SERIAL : 194 - Date : 2012 3 18
Float : 2902436 - Cycle : 110 - PI : JAMSTEC - Data mode : A - Platform type : NEMO - WMO inst type : 860 - FLOAT SERIAL : 194 - Date : 2012 3 20
Float : 2902436 - Cycle : 111 - PI : JAMSTEC - Data mode : A - Platform type : NEMO - WMO inst type : 860 - FLOAT SERIAL : 194 - Date : 2012 3 22
Float : 2902436 - Cycle : 112 - PI : JAMSTEC - Data mode : A - Platform type : NEMO - WMO inst type : 860 - FLOAT SERIAL : 194 - Date : 2012 3 24
Float : 2902436 - Cycle : 113 - PI : JAMSTEC - Data mode : A - Platform type : NEMO - WMO inst type : 860 - FLOAT SERIAL : 194 - Date : 2012 3 26
Float : 2902436 - Cycle : 114 - PI : JAMSTEC - Data mode : A - Platform type : NEMO - WMO inst type : 860 - FLOAT SERIAL : 194 - Date : 2012 3 28
Float : 2902436 - Cycle : 115 - PI : JAMSTEC - Data mode : A - Platform type : NEMO - WMO inst type : 860 - FLOAT SERIAL : 194 - Date : 2012 3 30
Float : 2902436 - Cycle : 116 - PI : JAMSTEC - Data mode : A - Platform type : NEMO - WMO inst type : 860 - FLOAT SERIAL : 194 - Date : 2012 4 1
Float : 2902436 - Cycle : 117 - PI : JAMSTEC - Data mode : A - Platform type : NEMO - WMO inst type : 860 - FLOAT SERIAL : 194 - Date : 2012 4 3
Float : 2902436 - Cycle : 118 - PI : JAMSTEC - Data mode : A - Platform type : NEMO - WMO inst type : 860 - FLOAT SERIAL : 194 - Date : 2012 4 5
Float : 2902436 - Cycle : 119 - PI : JAMSTEC - Data mode : A - Platform type : NEMO - WMO inst type : 860 - FLOAT SERIAL : 194 - Date : 2012 4 7
Float : 2902436 - Cycle : 120 - PI : JAMSTEC - Data mode : A - Platform type : NEMO - WMO inst type : 860 - FLOAT SERIAL : 194 - Date : 2012 4 9
Float : 2902436 - Cycle : 121 - PI : JAMSTEC - Data mode : A - Platform type : NEMO - WMO inst type : 860 - FLOAT SERIAL : 194 - Date : 2012 4 11
Float : 2902436 - Cycle : 122 - PI : JAMSTEC - Data mode : A - Platform type : NEMO - WMO inst type : 860 - FLOAT SERIAL : 194 - Date : 2012 4 13

Float : 2902436 - Cycle : 123 - PI : JAMSTEC - Data mode : A - Platform type : NEMO - WMO inst type : 860 - FLOAT SERIAL : 194 - Date : 2012 4 15
Float : 2902436 - Cycle : 124 - PI : JAMSTEC - Data mode : A - Platform type : NEMO - WMO inst type : 860 - FLOAT SERIAL : 194 - Date : 2012 4 17
Float : 2902436 - Cycle : 125 - PI : JAMSTEC - Data mode : A - Platform type : NEMO - WMO inst type : 860 - FLOAT SERIAL : 194 - Date : 2012 4 19
Float : 2902436 - Cycle : 126 - PI : JAMSTEC - Data mode : A - Platform type : NEMO - WMO inst type : 860 - FLOAT SERIAL : 194 - Date : 2012 4 21
Float : 2902436 - Cycle : 127 - PI : JAMSTEC - Data mode : A - Platform type : NEMO - WMO inst type : 860 - FLOAT SERIAL : 194 - Date : 2012 4 23
Float : 2902436 - Cycle : 128 - PI : JAMSTEC - Data mode : A - Platform type : NEMO - WMO inst type : 860 - FLOAT SERIAL : 194 - Date : 2012 4 25
Float : 2902436 - Cycle : 129 - PI : JAMSTEC - Data mode : A - Platform type : NEMO - WMO inst type : 860 - FLOAT SERIAL : 194 - Date : 2012 4 27
Float : 2902436 - Cycle : 130 - PI : JAMSTEC - Data mode : A - Platform type : NEMO - WMO inst type : 860 - FLOAT SERIAL : 194 - Date : 2012 4 29
Float : 2902436 - Cycle : 131 - PI : JAMSTEC - Data mode : A - Platform type : NEMO - WMO inst type : 860 - FLOAT SERIAL : 194 - Date : 2012 5 1
Float : 2902436 - Cycle : 132 - PI : JAMSTEC - Data mode : A - Platform type : NEMO - WMO inst type : 860 - FLOAT SERIAL : 194 - Date : 2012 5 3
Float : 2902436 - Cycle : 133 - PI : JAMSTEC - Data mode : A - Platform type : NEMO - WMO inst type : 860 - FLOAT SERIAL : 194 - Date : 2012 5 5
Float : 2902436 - Cycle : 134 - PI : JAMSTEC - Data mode : A - Platform type : NEMO - WMO inst type : 860 - FLOAT SERIAL : 194 - Date : 2012 5 7
Float : 2902436 - Cycle : 135 - PI : JAMSTEC - Data mode : A - Platform type : NEMO - WMO inst type : 860 - FLOAT SERIAL : 194 - Date : 2012 5 9
Float : 2902436 - Cycle : 136 - PI : JAMSTEC - Data mode : A - Platform type : NEMO - WMO inst type : 860 - FLOAT SERIAL : 194 - Date : 2012 5 11
Float : 2902436 - Cycle : 137 - PI : JAMSTEC - Data mode : A - Platform type : NEMO - WMO inst type : 860 - FLOAT SERIAL : 194 - Date : 2012 5 13
Float : 2902436 - Cycle : 138 - PI : JAMSTEC - Data mode : A - Platform type : NEMO - WMO inst type : 860 - FLOAT SERIAL : 194 - Date : 2012 5 15
Float : 2902436 - Cycle : 139 - PI : JAMSTEC - Data mode : A - Platform type : NEMO - WMO inst type : 860 - FLOAT SERIAL : 194 - Date : 2012 5 17
Float : 2902436 - Cycle : 140 - PI : JAMSTEC - Data mode : A - Platform type : NEMO - WMO inst type : 860 - FLOAT SERIAL : 194 - Date : 2012 5 27
Float : 2902436 - Cycle : 141 - PI : JAMSTEC - Data mode : A - Platform type : NEMO - WMO inst type : 860 - FLOAT SERIAL : 194 - Date : 2012 6 6
Float : 2902436 - Cycle : 142 - PI : JAMSTEC - Data mode : A - Platform type : NEMO - WMO inst type : 860 - FLOAT SERIAL : 194 - Date : 2012 6 16
Float : 2902436 - Cycle : 143 - PI : JAMSTEC - Data mode : A - Platform type : NEMO - WMO inst type : 860 - FLOAT SERIAL : 194 - Date : 2012 6 26
Float : 2902436 - Cycle : 144 - PI : JAMSTEC - Data mode : A - Platform type : NEMO - WMO inst type : 860 - FLOAT SERIAL : 194 - Date : 2012 7 6
Float : 2902436 - Cycle : 145 - PI : JAMSTEC - Data mode : A - Platform type : NEMO - WMO inst type : 860 - FLOAT SERIAL : 194 - Date : 2012 7 16
Float : 2902436 - Cycle : 146 - PI : JAMSTEC - Data mode : A - Platform type : NEMO - WMO inst type : 860 - FLOAT SERIAL : 194 - Date : 2012 7 26
Float : 2902436 - Cycle : 147 - PI : JAMSTEC - Data mode : A - Platform type : NEMO - WMO inst type : 860 - FLOAT SERIAL : 194 - Date : 2012 8 5
Float : 2902436 - Cycle : 148 - PI : JAMSTEC - Data mode : A - Platform type : NEMO - WMO inst type : 860 - FLOAT SERIAL : 194 - Date : 2012 8 15
Float : 2902436 - Cycle : 149 - PI : JAMSTEC - Data mode : A - Platform type : NEMO - WMO inst type : 860 - FLOAT SERIAL : 194 - Date : 2012 8 25
Float : 2902436 - Cycle : 150 - PI : JAMSTEC - Data mode : A - Platform type : NEMO - WMO inst type : 860 - FLOAT SERIAL : 194 - Date : 2012 9 4
Float : 2902436 - Cycle : 151 - PI : JAMSTEC - Data mode : A - Platform type : NEMO - WMO inst type : 860 - FLOAT SERIAL : 194 - Date : 2012 9 14
Float : 2902436 - Cycle : 152 - PI : JAMSTEC - Data mode : A - Platform type : NEMO - WMO inst type : 860 - FLOAT SERIAL : 194 - Date : 2012 9 24
Float : 2902436 - Cycle : 153 - PI : JAMSTEC - Data mode : A - Platform type : NEMO - WMO inst type : 860 - FLOAT SERIAL : 194 - Date : 2012 10 4
Float : 2902436 - Cycle : 154 - PI : JAMSTEC - Data mode : A - Platform type : NEMO - WMO inst type : 860 - FLOAT SERIAL : 194 - Date : 2012 10 14
Float : 2902436 - Cycle : 155 - PI : JAMSTEC - Data mode : A - Platform type : NEMO - WMO inst type : 860 - FLOAT SERIAL : 194 - Date : 2012 10 24
Float : 2902436 - Cycle : 156 - PI : JAMSTEC - Data mode : A - Platform type : NEMO - WMO inst type : 860 - FLOAT SERIAL : 194 - Date : 2012 11 3
Float : 2902436 - Cycle : 157 - PI : JAMSTEC - Data mode : A - Platform type : NEMO - WMO inst type : 860 - FLOAT SERIAL : 194 - Date : 2012 11 13
Float : 2902437 - Cycle : 84 - PI : JAMSTEC - Data mode : A - Platform type : NEMO - WMO inst type : 860 - FLOAT SERIAL : 196 - Date : 2012 1 4
Float : 2902437 - Cycle : 85 - PI : JAMSTEC - Data mode : A - Platform type : NEMO - WMO inst type : 860 - FLOAT SERIAL : 196 - Date : 2012 1 6
Float : 2902437 - Cycle : 111 - PI : JAMSTEC - Data mode : A - Platform type : NEMO - WMO inst type : 860 - FLOAT SERIAL : 196 - Date : 2012 2 27
Float : 2902437 - Cycle : 112 - PI : JAMSTEC - Data mode : A - Platform type : NEMO - WMO inst type : 860 - FLOAT SERIAL : 196 - Date : 2012 2 29
Float : 2902437 - Cycle : 113 - PI : JAMSTEC - Data mode : A - Platform type : NEMO - WMO inst type : 860 - FLOAT SERIAL : 196 - Date : 2012 3 2
Float : 2902437 - Cycle : 114 - PI : JAMSTEC - Data mode : A - Platform type : NEMO - WMO inst type : 860 - FLOAT SERIAL : 196 - Date : 2012 3 4
Float : 2902437 - Cycle : 115 - PI : JAMSTEC - Data mode : A - Platform type : NEMO - WMO inst type : 860 - FLOAT SERIAL : 196 - Date : 2012 3 6
Float : 2902437 - Cycle : 116 - PI : JAMSTEC - Data mode : A - Platform type : NEMO - WMO inst type : 860 - FLOAT SERIAL : 196 - Date : 2012 3 8
Float : 2902437 - Cycle : 117 - PI : JAMSTEC - Data mode : A - Platform type : NEMO - WMO inst type : 860 - FLOAT SERIAL : 196 - Date : 2012 3 10
Float : 2902437 - Cycle : 118 - PI : JAMSTEC - Data mode : A - Platform type : NEMO - WMO inst type : 860 - FLOAT SERIAL : 196 - Date : 2012 3 12
Float : 2902437 - Cycle : 119 - PI : JAMSTEC - Data mode : A - Platform type : NEMO - WMO inst type : 860 - FLOAT SERIAL : 196 - Date : 2012 3 14
Float : 2902437 - Cycle : 120 - PI : JAMSTEC - Data mode : A - Platform type : NEMO - WMO inst type : 860 - FLOAT SERIAL : 196 - Date : 2012 3 16
Float : 2902437 - Cycle : 121 - PI : JAMSTEC - Data mode : A - Platform type : NEMO - WMO inst type : 860 - FLOAT SERIAL : 196 - Date : 2012 3 18
Float : 2902437 - Cycle : 122 - PI : JAMSTEC - Data mode : A - Platform type : NEMO - WMO inst type : 860 - FLOAT SERIAL : 196 - Date : 2012 3 20
Float : 2902437 - Cycle : 123 - PI : JAMSTEC - Data mode : A - Platform type : NEMO - WMO inst type : 860 - FLOAT SERIAL : 196 - Date : 2012 3 22
Float : 2902437 - Cycle : 124 - PI : JAMSTEC - Data mode : A - Platform type : NEMO - WMO inst type : 860 - FLOAT SERIAL : 196 - Date : 2012 3 24
Float : 2902437 - Cycle : 125 - PI : JAMSTEC - Data mode : A - Platform type : NEMO - WMO inst type : 860 - FLOAT SERIAL : 196 - Date : 2012 3 26
Float : 2902437 - Cycle : 126 - PI : JAMSTEC - Data mode : A - Platform type : NEMO - WMO inst type : 860 - FLOAT SERIAL : 196 - Date : 2012 3 28
Float : 2902437 - Cycle : 127 - PI : JAMSTEC - Data mode : A - Platform type : NEMO - WMO inst type : 860 - FLOAT SERIAL : 196 - Date : 2012 3 30
Float : 2902437 - Cycle : 128 - PI : JAMSTEC - Data mode : A - Platform type : NEMO - WMO inst type : 860 - FLOAT SERIAL : 196 - Date : 2012 4 1
Float : 2902437 - Cycle : 129 - PI : JAMSTEC - Data mode : A - Platform type : NEMO - WMO inst type : 860 - FLOAT SERIAL : 196 - Date : 2012 4 3
Float : 2902437 - Cycle : 130 - PI : JAMSTEC - Data mode : A - Platform type : NEMO - WMO inst type : 860 - FLOAT SERIAL : 196 - Date : 2012 4 5
Float : 2902437 - Cycle : 131 - PI : JAMSTEC - Data mode : A - Platform type : NEMO - WMO inst type : 860 - FLOAT SERIAL : 196 - Date : 2012 4 7
Float : 2902437 - Cycle : 132 - PI : JAMSTEC - Data mode : A - Platform type : NEMO - WMO inst type : 860 - FLOAT SERIAL : 196 - Date : 2012 4 9
Float : 2902437 - Cycle : 133 - PI : JAMSTEC - Data mode : A - Platform type : NEMO - WMO inst type : 860 - FLOAT SERIAL : 196 - Date : 2012 4 11
Float : 2902437 - Cycle : 134 - PI : JAMSTEC - Data mode : A - Platform type : NEMO - WMO inst type : 860 - FLOAT SERIAL : 196 - Date : 2012 4 13
Float : 2902437 - Cycle : 135 - PI : JAMSTEC - Data mode : A - Platform type : NEMO - WMO inst type : 860 - FLOAT SERIAL : 196 - Date : 2012 4 15
Float : 2902437 - Cycle : 136 - PI : JAMSTEC - Data mode : A - Platform type : NEMO - WMO inst type : 860 - FLOAT SERIAL : 196 - Date : 2012 4 17
Float : 2902437 - Cycle : 137 - PI : JAMSTEC - Data mode : A - Platform type : NEMO - WMO inst type : 860 - FLOAT SERIAL : 196 - Date : 2012 4 19
Float : 2902438 - Cycle : 8 - PI : JAMSTEC - Data mode : A - Platform type : NEMO - WMO inst type : 860 - FLOAT SERIAL : 195 - Date : 2011 8 5
Float : 2902438 - Cycle : 22 - PI : JAMSTEC - Data mode : A - Platform type : NEMO - WMO inst type : 860 - FLOAT SERIAL : 195 - Date : 2011 9 2
Float : 2902438 - Cycle : 23 - PI : JAMSTEC - Data mode : A - Platform type : NEMO - WMO inst type : 860 - FLOAT SERIAL : 195 - Date : 2011 9 4
Float : 2902438 - Cycle : 24 - PI : JAMSTEC - Data mode : A - Platform type : NEMO - WMO inst type : 860 - FLOAT SERIAL : 195 - Date : 2011 9 6
Float : 2902438 - Cycle : 83 - PI : JAMSTEC - Data mode : A - Platform type : NEMO - WMO inst type : 860 - FLOAT SERIAL : 195 - Date : 2012 1 2
Float : 2902438 - Cycle : 84 - PI : JAMSTEC - Data mode : A - Platform type : NEMO - WMO inst type : 860 - FLOAT SERIAL : 195 - Date : 2012 1 4
Float : 2902438 - Cycle : 85 - PI : JAMSTEC - Data mode : A - Platform type : NEMO - WMO inst type : 860 - FLOAT SERIAL : 195 - Date : 2012 1 6
Float : 2902438 - Cycle : 86 - PI : JAMSTEC - Data mode : A - Platform type : NEMO - WMO inst type : 860 - FLOAT SERIAL : 195 - Date : 2012 1 8
Float : 2902438 - Cycle : 87 - PI : JAMSTEC - Data mode : A - Platform type : NEMO - WMO inst type : 860 - FLOAT SERIAL : 195 - Date : 2012 1 10
Float : 2902438 - Cycle : 88 - PI : JAMSTEC - Data mode : A - Platform type : NEMO - WMO inst type : 860 - FLOAT SERIAL : 195 - Date : 2012 1 12

Float : 2902438 - Cycle : 89 - PI : JAMSTEC - Data mode : A - Platform type : NEMO - WMO inst type : 860 - FLOAT SERIAL : 195 - Date : 2012 1 14
Float : 2902438 - Cycle : 90 - PI : JAMSTEC - Data mode : A - Platform type : NEMO - WMO inst type : 860 - FLOAT SERIAL : 195 - Date : 2012 1 16
Float : 2902438 - Cycle : 91 - PI : JAMSTEC - Data mode : A - Platform type : NEMO - WMO inst type : 860 - FLOAT SERIAL : 195 - Date : 2012 1 18
Float : 2902438 - Cycle : 92 - PI : JAMSTEC - Data mode : A - Platform type : NEMO - WMO inst type : 860 - FLOAT SERIAL : 195 - Date : 2012 1 20
Float : 2902438 - Cycle : 93 - PI : JAMSTEC - Data mode : A - Platform type : NEMO - WMO inst type : 860 - FLOAT SERIAL : 195 - Date : 2012 1 22
Float : 2902438 - Cycle : 94 - PI : JAMSTEC - Data mode : A - Platform type : NEMO - WMO inst type : 860 - FLOAT SERIAL : 195 - Date : 2012 1 24
Float : 2902438 - Cycle : 95 - PI : JAMSTEC - Data mode : A - Platform type : NEMO - WMO inst type : 860 - FLOAT SERIAL : 195 - Date : 2012 1 26
Float : 2902438 - Cycle : 96 - PI : JAMSTEC - Data mode : A - Platform type : NEMO - WMO inst type : 860 - FLOAT SERIAL : 195 - Date : 2012 1 28
Float : 2902438 - Cycle : 97 - PI : JAMSTEC - Data mode : A - Platform type : NEMO - WMO inst type : 860 - FLOAT SERIAL : 195 - Date : 2012 1 30
Float : 2902438 - Cycle : 98 - PI : JAMSTEC - Data mode : A - Platform type : NEMO - WMO inst type : 860 - FLOAT SERIAL : 195 - Date : 2012 2 1
Float : 2902438 - Cycle : 99 - PI : JAMSTEC - Data mode : A - Platform type : NEMO - WMO inst type : 860 - FLOAT SERIAL : 195 - Date : 2012 2 3
Float : 2902438 - Cycle : 100 - PI : JAMSTEC - Data mode : A - Platform type : NEMO - WMO inst type : 860 - FLOAT SERIAL : 195 - Date : 2012 2 5
Float : 2902438 - Cycle : 101 - PI : JAMSTEC - Data mode : A - Platform type : NEMO - WMO inst type : 860 - FLOAT SERIAL : 195 - Date : 2012 2 7
Float : 2902438 - Cycle : 102 - PI : JAMSTEC - Data mode : A - Platform type : NEMO - WMO inst type : 860 - FLOAT SERIAL : 195 - Date : 2012 2 9
Float : 2902438 - Cycle : 103 - PI : JAMSTEC - Data mode : A - Platform type : NEMO - WMO inst type : 860 - FLOAT SERIAL : 195 - Date : 2012 2 11
Float : 2902438 - Cycle : 104 - PI : JAMSTEC - Data mode : A - Platform type : NEMO - WMO inst type : 860 - FLOAT SERIAL : 195 - Date : 2012 2 13
Float : 2902438 - Cycle : 105 - PI : JAMSTEC - Data mode : A - Platform type : NEMO - WMO inst type : 860 - FLOAT SERIAL : 195 - Date : 2012 2 15
Float : 2902438 - Cycle : 106 - PI : JAMSTEC - Data mode : A - Platform type : NEMO - WMO inst type : 860 - FLOAT SERIAL : 195 - Date : 2012 2 17
Float : 2902438 - Cycle : 107 - PI : JAMSTEC - Data mode : A - Platform type : NEMO - WMO inst type : 860 - FLOAT SERIAL : 195 - Date : 2012 2 19
Float : 2902438 - Cycle : 108 - PI : JAMSTEC - Data mode : A - Platform type : NEMO - WMO inst type : 860 - FLOAT SERIAL : 195 - Date : 2012 2 21
Float : 2902438 - Cycle : 109 - PI : JAMSTEC - Data mode : A - Platform type : NEMO - WMO inst type : 860 - FLOAT SERIAL : 195 - Date : 2012 2 23
Float : 2902438 - Cycle : 110 - PI : JAMSTEC - Data mode : A - Platform type : NEMO - WMO inst type : 860 - FLOAT SERIAL : 195 - Date : 2012 2 25
Float : 2902438 - Cycle : 111 - PI : JAMSTEC - Data mode : A - Platform type : NEMO - WMO inst type : 860 - FLOAT SERIAL : 195 - Date : 2012 2 27
Float : 2902438 - Cycle : 112 - PI : JAMSTEC - Data mode : A - Platform type : NEMO - WMO inst type : 860 - FLOAT SERIAL : 195 - Date : 2012 2 29
Float : 2902438 - Cycle : 113 - PI : JAMSTEC - Data mode : A - Platform type : NEMO - WMO inst type : 860 - FLOAT SERIAL : 195 - Date : 2012 3 2
Float : 2902438 - Cycle : 114 - PI : JAMSTEC - Data mode : A - Platform type : NEMO - WMO inst type : 860 - FLOAT SERIAL : 195 - Date : 2012 3 4
Float : 2902438 - Cycle : 115 - PI : JAMSTEC - Data mode : A - Platform type : NEMO - WMO inst type : 860 - FLOAT SERIAL : 195 - Date : 2012 3 6
Float : 2902438 - Cycle : 116 - PI : JAMSTEC - Data mode : A - Platform type : NEMO - WMO inst type : 860 - FLOAT SERIAL : 195 - Date : 2012 3 8
Float : 2902438 - Cycle : 117 - PI : JAMSTEC - Data mode : A - Platform type : NEMO - WMO inst type : 860 - FLOAT SERIAL : 195 - Date : 2012 3 10
Float : 2902438 - Cycle : 118 - PI : JAMSTEC - Data mode : A - Platform type : NEMO - WMO inst type : 860 - FLOAT SERIAL : 195 - Date : 2012 3 12
Float : 2902438 - Cycle : 119 - PI : JAMSTEC - Data mode : A - Platform type : NEMO - WMO inst type : 860 - FLOAT SERIAL : 195 - Date : 2012 3 14
Float : 2902438 - Cycle : 120 - PI : JAMSTEC - Data mode : A - Platform type : NEMO - WMO inst type : 860 - FLOAT SERIAL : 195 - Date : 2012 3 16
Float : 2902438 - Cycle : 121 - PI : JAMSTEC - Data mode : A - Platform type : NEMO - WMO inst type : 860 - FLOAT SERIAL : 195 - Date : 2012 3 18
Float : 2902438 - Cycle : 122 - PI : JAMSTEC - Data mode : A - Platform type : NEMO - WMO inst type : 860 - FLOAT SERIAL : 195 - Date : 2012 3 20
Float : 2902438 - Cycle : 123 - PI : JAMSTEC - Data mode : A - Platform type : NEMO - WMO inst type : 860 - FLOAT SERIAL : 195 - Date : 2012 3 22
Float : 2902438 - Cycle : 124 - PI : JAMSTEC - Data mode : A - Platform type : NEMO - WMO inst type : 860 - FLOAT SERIAL : 195 - Date : 2012 3 24
Float : 2902438 - Cycle : 125 - PI : JAMSTEC - Data mode : A - Platform type : NEMO - WMO inst type : 860 - FLOAT SERIAL : 195 - Date : 2012 3 26
Float : 2902438 - Cycle : 126 - PI : JAMSTEC - Data mode : A - Platform type : NEMO - WMO inst type : 860 - FLOAT SERIAL : 195 - Date : 2012 3 28
Float : 2902438 - Cycle : 127 - PI : JAMSTEC - Data mode : A - Platform type : NEMO - WMO inst type : 860 - FLOAT SERIAL : 195 - Date : 2012 3 30
Float : 2902438 - Cycle : 128 - PI : JAMSTEC - Data mode : A - Platform type : NEMO - WMO inst type : 860 - FLOAT SERIAL : 195 - Date : 2012 4 1
Float : 2902438 - Cycle : 129 - PI : JAMSTEC - Data mode : A - Platform type : NEMO - WMO inst type : 860 - FLOAT SERIAL : 195 - Date : 2012 4 3
Float : 2902438 - Cycle : 130 - PI : JAMSTEC - Data mode : A - Platform type : NEMO - WMO inst type : 860 - FLOAT SERIAL : 195 - Date : 2012 4 5
Float : 2902438 - Cycle : 131 - PI : JAMSTEC - Data mode : A - Platform type : NEMO - WMO inst type : 860 - FLOAT SERIAL : 195 - Date : 2012 4 7
Float : 2902438 - Cycle : 132 - PI : JAMSTEC - Data mode : A - Platform type : NEMO - WMO inst type : 860 - FLOAT SERIAL : 195 - Date : 2012 4 9
Float : 2902438 - Cycle : 133 - PI : JAMSTEC - Data mode : A - Platform type : NEMO - WMO inst type : 860 - FLOAT SERIAL : 195 - Date : 2012 4 11
Float : 2902438 - Cycle : 134 - PI : JAMSTEC - Data mode : A - Platform type : NEMO - WMO inst type : 860 - FLOAT SERIAL : 195 - Date : 2012 4 13
Float : 2902438 - Cycle : 135 - PI : JAMSTEC - Data mode : A - Platform type : NEMO - WMO inst type : 860 - FLOAT SERIAL : 195 - Date : 2012 4 15
Float : 2902438 - Cycle : 136 - PI : JAMSTEC - Data mode : A - Platform type : NEMO - WMO inst type : 860 - FLOAT SERIAL : 195 - Date : 2012 4 17
Float : 2902438 - Cycle : 137 - PI : JAMSTEC - Data mode : A - Platform type : NEMO - WMO inst type : 860 - FLOAT SERIAL : 195 - Date : 2012 4 19
Float : 2902438 - Cycle : 138 - PI : JAMSTEC - Data mode : A - Platform type : NEMO - WMO inst type : 860 - FLOAT SERIAL : 195 - Date : 2012 4 21
Float : 2902438 - Cycle : 139 - PI : JAMSTEC - Data mode : A - Platform type : NEMO - WMO inst type : 860 - FLOAT SERIAL : 195 - Date : 2012 4 23
Float : 2902438 - Cycle : 140 - PI : JAMSTEC - Data mode : A - Platform type : NEMO - WMO inst type : 860 - FLOAT SERIAL : 195 - Date : 2012 4 25
Float : 2902438 - Cycle : 141 - PI : JAMSTEC - Data mode : A - Platform type : NEMO - WMO inst type : 860 - FLOAT SERIAL : 195 - Date : 2012 4 27
Float : 2902438 - Cycle : 142 - PI : JAMSTEC - Data mode : A - Platform type : NEMO - WMO inst type : 860 - FLOAT SERIAL : 195 - Date : 2012 4 29
Float : 2902438 - Cycle : 143 - PI : JAMSTEC - Data mode : A - Platform type : NEMO - WMO inst type : 860 - FLOAT SERIAL : 195 - Date : 2012 5 1
Float : 2902438 - Cycle : 144 - PI : JAMSTEC - Data mode : A - Platform type : NEMO - WMO inst type : 860 - FLOAT SERIAL : 195 - Date : 2012 5 3
Float : 2902438 - Cycle : 145 - PI : JAMSTEC - Data mode : A - Platform type : NEMO - WMO inst type : 860 - FLOAT SERIAL : 195 - Date : 2012 5 5
Float : 2902439 - Cycle : 2 - PI : JAMSTEC - Data mode : A - Platform type : NEMO - WMO inst type : 860 - FLOAT SERIAL : 197 - Date : 2011 7 26
Float : 2902439 - Cycle : 3 - PI : JAMSTEC - Data mode : A - Platform type : NEMO - WMO inst type : 860 - FLOAT SERIAL : 197 - Date : 2011 7 29
Float : 2902439 - Cycle : 4 - PI : JAMSTEC - Data mode : A - Platform type : NEMO - WMO inst type : 860 - FLOAT SERIAL : 197 - Date : 2011 7 30
Float : 2902439 - Cycle : 5 - PI : JAMSTEC - Data mode : A - Platform type : NEMO - WMO inst type : 860 - FLOAT SERIAL : 197 - Date : 2011 7 31
Float : 2902439 - Cycle : 6 - PI : JAMSTEC - Data mode : A - Platform type : NEMO - WMO inst type : 860 - FLOAT SERIAL : 197 - Date : 2011 8 1
Float : 2902439 - Cycle : 7 - PI : JAMSTEC - Data mode : A - Platform type : NEMO - WMO inst type : 860 - FLOAT SERIAL : 197 - Date : 2011 8 3
Float : 2902439 - Cycle : 8 - PI : JAMSTEC - Data mode : A - Platform type : NEMO - WMO inst type : 860 - FLOAT SERIAL : 197 - Date : 2011 8 5
Float : 2902439 - Cycle : 9 - PI : JAMSTEC - Data mode : A - Platform type : NEMO - WMO inst type : 860 - FLOAT SERIAL : 197 - Date : 2011 8 7
Float : 2902439 - Cycle : 10 - PI : JAMSTEC - Data mode : A - Platform type : NEMO - WMO inst type : 860 - FLOAT SERIAL : 197 - Date : 2011 8 9
Float : 2902439 - Cycle : 11 - PI : JAMSTEC - Data mode : A - Platform type : NEMO - WMO inst type : 860 - FLOAT SERIAL : 197 - Date : 2011 8 11
Float : 2902439 - Cycle : 12 - PI : JAMSTEC - Data mode : A - Platform type : NEMO - WMO inst type : 860 - FLOAT SERIAL : 197 - Date : 2011 8 13
Float : 2902439 - Cycle : 13 - PI : JAMSTEC - Data mode : A - Platform type : NEMO - WMO inst type : 860 - FLOAT SERIAL : 197 - Date : 2011 8 15
Float : 2902439 - Cycle : 14 - PI : JAMSTEC - Data mode : A - Platform type : NEMO - WMO inst type : 860 - FLOAT SERIAL : 197 - Date : 2011 8 17
Float : 2902439 - Cycle : 15 - PI : JAMSTEC - Data mode : A - Platform type : NEMO - WMO inst type : 860 - FLOAT SERIAL : 197 - Date : 2011 8 19
Float : 2902439 - Cycle : 16 - PI : JAMSTEC - Data mode : A - Platform type : NEMO - WMO inst type : 860 - FLOAT SERIAL : 197 - Date : 2011 8 21
Float : 2902439 - Cycle : 17 - PI : JAMSTEC - Data mode : A - Platform type : NEMO - WMO inst type : 860 - FLOAT SERIAL : 197 - Date : 2011 8 23
Float : 2902439 - Cycle : 18 - PI : JAMSTEC - Data mode : A - Platform type : NEMO - WMO inst type : 860 - FLOAT SERIAL : 197 - Date : 2011 8 25

Float : 2902439 - Cycle : 19 - PI : JAMSTEC - Data mode : A - Platform type : NEMO - WMO inst type : 860 - FLOAT SERIAL : 197 - Date : 2011 8 27
Float : 2902439 - Cycle : 21 - PI : JAMSTEC - Data mode : A - Platform type : NEMO - WMO inst type : 860 - FLOAT SERIAL : 197 - Date : 2011 8 31
Float : 2902439 - Cycle : 22 - PI : JAMSTEC - Data mode : A - Platform type : NEMO - WMO inst type : 860 - FLOAT SERIAL : 197 - Date : 2011 9 2
Float : 2902439 - Cycle : 23 - PI : JAMSTEC - Data mode : A - Platform type : NEMO - WMO inst type : 860 - FLOAT SERIAL : 197 - Date : 2011 9 4
Float : 2902439 - Cycle : 24 - PI : JAMSTEC - Data mode : A - Platform type : NEMO - WMO inst type : 860 - FLOAT SERIAL : 197 - Date : 2011 9 6
Float : 2902439 - Cycle : 25 - PI : JAMSTEC - Data mode : A - Platform type : NEMO - WMO inst type : 860 - FLOAT SERIAL : 197 - Date : 2011 9 8
Float : 2902439 - Cycle : 26 - PI : JAMSTEC - Data mode : A - Platform type : NEMO - WMO inst type : 860 - FLOAT SERIAL : 197 - Date : 2011 9 10
Float : 2902439 - Cycle : 27 - PI : JAMSTEC - Data mode : A - Platform type : NEMO - WMO inst type : 860 - FLOAT SERIAL : 197 - Date : 2011 9 12
Float : 2902439 - Cycle : 28 - PI : JAMSTEC - Data mode : A - Platform type : NEMO - WMO inst type : 860 - FLOAT SERIAL : 197 - Date : 2011 9 14
Float : 2902439 - Cycle : 29 - PI : JAMSTEC - Data mode : A - Platform type : NEMO - WMO inst type : 860 - FLOAT SERIAL : 197 - Date : 2011 9 16
Float : 2902439 - Cycle : 30 - PI : JAMSTEC - Data mode : A - Platform type : NEMO - WMO inst type : 860 - FLOAT SERIAL : 197 - Date : 2011 9 18
Float : 2902439 - Cycle : 31 - PI : JAMSTEC - Data mode : A - Platform type : NEMO - WMO inst type : 860 - FLOAT SERIAL : 197 - Date : 2011 9 20
Float : 2902439 - Cycle : 32 - PI : JAMSTEC - Data mode : A - Platform type : NEMO - WMO inst type : 860 - FLOAT SERIAL : 197 - Date : 2011 9 22
Float : 2902439 - Cycle : 33 - PI : JAMSTEC - Data mode : A - Platform type : NEMO - WMO inst type : 860 - FLOAT SERIAL : 197 - Date : 2011 9 24
Float : 2902439 - Cycle : 34 - PI : JAMSTEC - Data mode : A - Platform type : NEMO - WMO inst type : 860 - FLOAT SERIAL : 197 - Date : 2011 9 26
Float : 2902439 - Cycle : 35 - PI : JAMSTEC - Data mode : A - Platform type : NEMO - WMO inst type : 860 - FLOAT SERIAL : 197 - Date : 2011 9 28
Float : 2902439 - Cycle : 36 - PI : JAMSTEC - Data mode : A - Platform type : NEMO - WMO inst type : 860 - FLOAT SERIAL : 197 - Date : 2011 9 30
Float : 2902439 - Cycle : 37 - PI : JAMSTEC - Data mode : A - Platform type : NEMO - WMO inst type : 860 - FLOAT SERIAL : 197 - Date : 2011 10 2
Float : 2902439 - Cycle : 38 - PI : JAMSTEC - Data mode : A - Platform type : NEMO - WMO inst type : 860 - FLOAT SERIAL : 197 - Date : 2011 10 4
Float : 2902439 - Cycle : 39 - PI : JAMSTEC - Data mode : A - Platform type : NEMO - WMO inst type : 860 - FLOAT SERIAL : 197 - Date : 2011 10 6
Float : 2902439 - Cycle : 40 - PI : JAMSTEC - Data mode : A - Platform type : NEMO - WMO inst type : 860 - FLOAT SERIAL : 197 - Date : 2011 10 8
Float : 2902439 - Cycle : 41 - PI : JAMSTEC - Data mode : A - Platform type : NEMO - WMO inst type : 860 - FLOAT SERIAL : 197 - Date : 2011 10 10
Float : 2902439 - Cycle : 42 - PI : JAMSTEC - Data mode : A - Platform type : NEMO - WMO inst type : 860 - FLOAT SERIAL : 197 - Date : 2011 10 12
Float : 2902439 - Cycle : 43 - PI : JAMSTEC - Data mode : A - Platform type : NEMO - WMO inst type : 860 - FLOAT SERIAL : 197 - Date : 2011 10 14
Float : 2902439 - Cycle : 44 - PI : JAMSTEC - Data mode : A - Platform type : NEMO - WMO inst type : 860 - FLOAT SERIAL : 197 - Date : 2011 10 16
Float : 2902439 - Cycle : 45 - PI : JAMSTEC - Data mode : A - Platform type : NEMO - WMO inst type : 860 - FLOAT SERIAL : 197 - Date : 2011 10 18
Float : 2902439 - Cycle : 46 - PI : JAMSTEC - Data mode : A - Platform type : NEMO - WMO inst type : 860 - FLOAT SERIAL : 197 - Date : 2011 10 20
Float : 2902439 - Cycle : 47 - PI : JAMSTEC - Data mode : A - Platform type : NEMO - WMO inst type : 860 - FLOAT SERIAL : 197 - Date : 2011 10 22
Float : 2902439 - Cycle : 48 - PI : JAMSTEC - Data mode : A - Platform type : NEMO - WMO inst type : 860 - FLOAT SERIAL : 197 - Date : 2011 10 24
Float : 2902439 - Cycle : 49 - PI : JAMSTEC - Data mode : A - Platform type : NEMO - WMO inst type : 860 - FLOAT SERIAL : 197 - Date : 2011 10 26
Float : 2902439 - Cycle : 50 - PI : JAMSTEC - Data mode : A - Platform type : NEMO - WMO inst type : 860 - FLOAT SERIAL : 197 - Date : 2011 10 28
Float : 2902439 - Cycle : 51 - PI : JAMSTEC - Data mode : A - Platform type : NEMO - WMO inst type : 860 - FLOAT SERIAL : 197 - Date : 2011 10 30
Float : 2902439 - Cycle : 52 - PI : JAMSTEC - Data mode : A - Platform type : NEMO - WMO inst type : 860 - FLOAT SERIAL : 197 - Date : 2011 11 1
Float : 2902439 - Cycle : 53 - PI : JAMSTEC - Data mode : A - Platform type : NEMO - WMO inst type : 860 - FLOAT SERIAL : 197 - Date : 2011 11 3
Float : 2902439 - Cycle : 54 - PI : JAMSTEC - Data mode : A - Platform type : NEMO - WMO inst type : 860 - FLOAT SERIAL : 197 - Date : 2011 11 5
Float : 2902439 - Cycle : 55 - PI : JAMSTEC - Data mode : A - Platform type : NEMO - WMO inst type : 860 - FLOAT SERIAL : 197 - Date : 2011 11 7
Float : 2902439 - Cycle : 56 - PI : JAMSTEC - Data mode : A - Platform type : NEMO - WMO inst type : 860 - FLOAT SERIAL : 197 - Date : 2011 11 9
Float : 2902439 - Cycle : 57 - PI : JAMSTEC - Data mode : A - Platform type : NEMO - WMO inst type : 860 - FLOAT SERIAL : 197 - Date : 2011 11 11
Float : 2902439 - Cycle : 58 - PI : JAMSTEC - Data mode : A - Platform type : NEMO - WMO inst type : 860 - FLOAT SERIAL : 197 - Date : 2011 11 13
Float : 2902439 - Cycle : 59 - PI : JAMSTEC - Data mode : A - Platform type : NEMO - WMO inst type : 860 - FLOAT SERIAL : 197 - Date : 2011 11 15
Float : 2902439 - Cycle : 60 - PI : JAMSTEC - Data mode : A - Platform type : NEMO - WMO inst type : 860 - FLOAT SERIAL : 197 - Date : 2011 11 17
Float : 2902439 - Cycle : 61 - PI : JAMSTEC - Data mode : A - Platform type : NEMO - WMO inst type : 860 - FLOAT SERIAL : 197 - Date : 2011 11 19
Float : 2902439 - Cycle : 62 - PI : JAMSTEC - Data mode : A - Platform type : NEMO - WMO inst type : 860 - FLOAT SERIAL : 197 - Date : 2011 11 21
Float : 2902439 - Cycle : 63 - PI : JAMSTEC - Data mode : A - Platform type : NEMO - WMO inst type : 860 - FLOAT SERIAL : 197 - Date : 2011 11 23
Float : 2902439 - Cycle : 64 - PI : JAMSTEC - Data mode : A - Platform type : NEMO - WMO inst type : 860 - FLOAT SERIAL : 197 - Date : 2011 11 25
Float : 2902439 - Cycle : 65 - PI : JAMSTEC - Data mode : A - Platform type : NEMO - WMO inst type : 860 - FLOAT SERIAL : 197 - Date : 2011 11 27
Float : 2902439 - Cycle : 66 - PI : JAMSTEC - Data mode : A - Platform type : NEMO - WMO inst type : 860 - FLOAT SERIAL : 197 - Date : 2011 11 29
Float : 2902439 - Cycle : 67 - PI : JAMSTEC - Data mode : A - Platform type : NEMO - WMO inst type : 860 - FLOAT SERIAL : 197 - Date : 2011 12 1
Float : 2902439 - Cycle : 68 - PI : JAMSTEC - Data mode : A - Platform type : NEMO - WMO inst type : 860 - FLOAT SERIAL : 197 - Date : 2011 12 3
Float : 2902439 - Cycle : 69 - PI : JAMSTEC - Data mode : A - Platform type : NEMO - WMO inst type : 860 - FLOAT SERIAL : 197 - Date : 2011 12 5
Float : 2902439 - Cycle : 70 - PI : JAMSTEC - Data mode : A - Platform type : NEMO - WMO inst type : 860 - FLOAT SERIAL : 197 - Date : 2011 12 7
Float : 2902439 - Cycle : 71 - PI : JAMSTEC - Data mode : A - Platform type : NEMO - WMO inst type : 860 - FLOAT SERIAL : 197 - Date : 2011 12 9
Float : 2902439 - Cycle : 72 - PI : JAMSTEC - Data mode : A - Platform type : NEMO - WMO inst type : 860 - FLOAT SERIAL : 197 - Date : 2011 12 11
Float : 2902439 - Cycle : 73 - PI : JAMSTEC - Data mode : A - Platform type : NEMO - WMO inst type : 860 - FLOAT SERIAL : 197 - Date : 2011 12 13
Float : 2902439 - Cycle : 74 - PI : JAMSTEC - Data mode : A - Platform type : NEMO - WMO inst type : 860 - FLOAT SERIAL : 197 - Date : 2011 12 15
Float : 2902439 - Cycle : 75 - PI : JAMSTEC - Data mode : A - Platform type : NEMO - WMO inst type : 860 - FLOAT SERIAL : 197 - Date : 2011 12 17
Float : 2902439 - Cycle : 76 - PI : JAMSTEC - Data mode : A - Platform type : NEMO - WMO inst type : 860 - FLOAT SERIAL : 197 - Date : 2011 12 19
Float : 2902439 - Cycle : 77 - PI : JAMSTEC - Data mode : A - Platform type : NEMO - WMO inst type : 860 - FLOAT SERIAL : 197 - Date : 2011 12 21
Float : 2902439 - Cycle : 78 - PI : JAMSTEC - Data mode : A - Platform type : NEMO - WMO inst type : 860 - FLOAT SERIAL : 197 - Date : 2011 12 23
Float : 2902439 - Cycle : 79 - PI : JAMSTEC - Data mode : A - Platform type : NEMO - WMO inst type : 860 - FLOAT SERIAL : 197 - Date : 2011 12 25
Float : 2902439 - Cycle : 80 - PI : JAMSTEC - Data mode : A - Platform type : NEMO - WMO inst type : 860 - FLOAT SERIAL : 197 - Date : 2011 12 27
Float : 2902439 - Cycle : 81 - PI : JAMSTEC - Data mode : A - Platform type : NEMO - WMO inst type : 860 - FLOAT SERIAL : 197 - Date : 2011 12 29
Float : 2902439 - Cycle : 82 - PI : JAMSTEC - Data mode : A - Platform type : NEMO - WMO inst type : 860 - FLOAT SERIAL : 197 - Date : 2011 12 31
Float : 2902439 - Cycle : 83 - PI : JAMSTEC - Data mode : A - Platform type : NEMO - WMO inst type : 860 - FLOAT SERIAL : 197 - Date : 2012 1 2
Float : 2902439 - Cycle : 84 - PI : JAMSTEC - Data mode : A - Platform type : NEMO - WMO inst type : 860 - FLOAT SERIAL : 197 - Date : 2012 1 4
Float : 2902439 - Cycle : 85 - PI : JAMSTEC - Data mode : A - Platform type : NEMO - WMO inst type : 860 - FLOAT SERIAL : 197 - Date : 2012 1 6
Float : 2902439 - Cycle : 86 - PI : JAMSTEC - Data mode : A - Platform type : NEMO - WMO inst type : 860 - FLOAT SERIAL : 197 - Date : 2012 1 8
Float : 2902439 - Cycle : 87 - PI : JAMSTEC - Data mode : A - Platform type : NEMO - WMO inst type : 860 - FLOAT SERIAL : 197 - Date : 2012 1 10
Float : 2902439 - Cycle : 88 - PI : JAMSTEC - Data mode : A - Platform type : NEMO - WMO inst type : 860 - FLOAT SERIAL : 197 - Date : 2012 1 12
Float : 2902439 - Cycle : 89 - PI : JAMSTEC - Data mode : A - Platform type : NEMO - WMO inst type : 860 - FLOAT SERIAL : 197 - Date : 2012 1 14
Float : 2902439 - Cycle : 90 - PI : JAMSTEC - Data mode : A - Platform type : NEMO - WMO inst type : 860 - FLOAT SERIAL : 197 - Date : 2012 1 16
Float : 2902439 - Cycle : 91 - PI : JAMSTEC - Data mode : A - Platform type : NEMO - WMO inst type : 860 - FLOAT SERIAL : 197 - Date : 2012 1 18
Float : 2902439 - Cycle : 92 - PI : JAMSTEC - Data mode : A - Platform type : NEMO - WMO inst type : 860 - FLOAT SERIAL : 197 - Date : 2012 1 20
Float : 2902439 - Cycle : 93 - PI : JAMSTEC - Data mode : A - Platform type : NEMO - WMO inst type : 860 - FLOAT SERIAL : 197 - Date : 2012 1 22

Float : 2902439 - Cycle : 94 - PI : JAMSTEC - Data mode : A - Platform type : NEMO - WMO inst type : 860 - FLOAT SERIAL : 197 - Date : 2012 1 24
Float : 2902439 - Cycle : 95 - PI : JAMSTEC - Data mode : A - Platform type : NEMO - WMO inst type : 860 - FLOAT SERIAL : 197 - Date : 2012 1 26
Float : 2902439 - Cycle : 96 - PI : JAMSTEC - Data mode : A - Platform type : NEMO - WMO inst type : 860 - FLOAT SERIAL : 197 - Date : 2012 1 28
Float : 2902439 - Cycle : 97 - PI : JAMSTEC - Data mode : A - Platform type : NEMO - WMO inst type : 860 - FLOAT SERIAL : 197 - Date : 2012 1 30
Float : 2902439 - Cycle : 98 - PI : JAMSTEC - Data mode : A - Platform type : NEMO - WMO inst type : 860 - FLOAT SERIAL : 197 - Date : 2012 2 1
Float : 2902439 - Cycle : 99 - PI : JAMSTEC - Data mode : A - Platform type : NEMO - WMO inst type : 860 - FLOAT SERIAL : 197 - Date : 2012 2 3
Float : 2902439 - Cycle : 100 - PI : JAMSTEC - Data mode : A - Platform type : NEMO - WMO inst type : 860 - FLOAT SERIAL : 197 - Date : 2012 2 5
Float : 2902439 - Cycle : 101 - PI : JAMSTEC - Data mode : A - Platform type : NEMO - WMO inst type : 860 - FLOAT SERIAL : 197 - Date : 2012 2 7
Float : 2902439 - Cycle : 102 - PI : JAMSTEC - Data mode : A - Platform type : NEMO - WMO inst type : 860 - FLOAT SERIAL : 197 - Date : 2012 2 9
Float : 2902439 - Cycle : 103 - PI : JAMSTEC - Data mode : A - Platform type : NEMO - WMO inst type : 860 - FLOAT SERIAL : 197 - Date : 2012 2 11
Float : 2902439 - Cycle : 104 - PI : JAMSTEC - Data mode : A - Platform type : NEMO - WMO inst type : 860 - FLOAT SERIAL : 197 - Date : 2012 2 13
Float : 2902439 - Cycle : 105 - PI : JAMSTEC - Data mode : A - Platform type : NEMO - WMO inst type : 860 - FLOAT SERIAL : 197 - Date : 2012 2 15
Float : 2902439 - Cycle : 106 - PI : JAMSTEC - Data mode : A - Platform type : NEMO - WMO inst type : 860 - FLOAT SERIAL : 197 - Date : 2012 2 17
Float : 2902439 - Cycle : 107 - PI : JAMSTEC - Data mode : A - Platform type : NEMO - WMO inst type : 860 - FLOAT SERIAL : 197 - Date : 2012 2 19
Float : 2902439 - Cycle : 108 - PI : JAMSTEC - Data mode : A - Platform type : NEMO - WMO inst type : 860 - FLOAT SERIAL : 197 - Date : 2012 2 21
Float : 2902439 - Cycle : 109 - PI : JAMSTEC - Data mode : A - Platform type : NEMO - WMO inst type : 860 - FLOAT SERIAL : 197 - Date : 2012 2 23
Float : 2902439 - Cycle : 110 - PI : JAMSTEC - Data mode : A - Platform type : NEMO - WMO inst type : 860 - FLOAT SERIAL : 197 - Date : 2012 2 25
Float : 2902439 - Cycle : 111 - PI : JAMSTEC - Data mode : A - Platform type : NEMO - WMO inst type : 860 - FLOAT SERIAL : 197 - Date : 2012 2 27
Float : 2902439 - Cycle : 112 - PI : JAMSTEC - Data mode : A - Platform type : NEMO - WMO inst type : 860 - FLOAT SERIAL : 197 - Date : 2012 2 29
Float : 2902439 - Cycle : 113 - PI : JAMSTEC - Data mode : A - Platform type : NEMO - WMO inst type : 860 - FLOAT SERIAL : 197 - Date : 2012 3 2
Float : 2902439 - Cycle : 114 - PI : JAMSTEC - Data mode : A - Platform type : NEMO - WMO inst type : 860 - FLOAT SERIAL : 197 - Date : 2012 3 4
Float : 2902439 - Cycle : 115 - PI : JAMSTEC - Data mode : A - Platform type : NEMO - WMO inst type : 860 - FLOAT SERIAL : 197 - Date : 2012 3 6
Float : 2902439 - Cycle : 116 - PI : JAMSTEC - Data mode : A - Platform type : NEMO - WMO inst type : 860 - FLOAT SERIAL : 197 - Date : 2012 3 8
Float : 2902439 - Cycle : 117 - PI : JAMSTEC - Data mode : A - Platform type : NEMO - WMO inst type : 860 - FLOAT SERIAL : 197 - Date : 2012 3 10
Float : 2902439 - Cycle : 118 - PI : JAMSTEC - Data mode : A - Platform type : NEMO - WMO inst type : 860 - FLOAT SERIAL : 197 - Date : 2012 3 12
Float : 2902439 - Cycle : 119 - PI : JAMSTEC - Data mode : A - Platform type : NEMO - WMO inst type : 860 - FLOAT SERIAL : 197 - Date : 2012 3 14
Float : 2902439 - Cycle : 120 - PI : JAMSTEC - Data mode : A - Platform type : NEMO - WMO inst type : 860 - FLOAT SERIAL : 197 - Date : 2012 3 16
Float : 2902439 - Cycle : 121 - PI : JAMSTEC - Data mode : A - Platform type : NEMO - WMO inst type : 860 - FLOAT SERIAL : 197 - Date : 2012 3 18
Float : 2902439 - Cycle : 122 - PI : JAMSTEC - Data mode : A - Platform type : NEMO - WMO inst type : 860 - FLOAT SERIAL : 197 - Date : 2012 3 20
Float : 2902439 - Cycle : 123 - PI : JAMSTEC - Data mode : A - Platform type : NEMO - WMO inst type : 860 - FLOAT SERIAL : 197 - Date : 2012 3 22
Float : 2902439 - Cycle : 124 - PI : JAMSTEC - Data mode : A - Platform type : NEMO - WMO inst type : 860 - FLOAT SERIAL : 197 - Date : 2012 3 24
Float : 2902439 - Cycle : 125 - PI : JAMSTEC - Data mode : A - Platform type : NEMO - WMO inst type : 860 - FLOAT SERIAL : 197 - Date : 2012 3 26
Float : 2902439 - Cycle : 126 - PI : JAMSTEC - Data mode : A - Platform type : NEMO - WMO inst type : 860 - FLOAT SERIAL : 197 - Date : 2012 3 28
Float : 2902439 - Cycle : 127 - PI : JAMSTEC - Data mode : A - Platform type : NEMO - WMO inst type : 860 - FLOAT SERIAL : 197 - Date : 2012 3 30
Float : 2902439 - Cycle : 128 - PI : JAMSTEC - Data mode : A - Platform type : NEMO - WMO inst type : 860 - FLOAT SERIAL : 197 - Date : 2012 4 1
Float : 2902439 - Cycle : 129 - PI : JAMSTEC - Data mode : A - Platform type : NEMO - WMO inst type : 860 - FLOAT SERIAL : 197 - Date : 2012 4 3
Float : 2902439 - Cycle : 130 - PI : JAMSTEC - Data mode : A - Platform type : NEMO - WMO inst type : 860 - FLOAT SERIAL : 197 - Date : 2012 4 5
Float : 2902439 - Cycle : 131 - PI : JAMSTEC - Data mode : A - Platform type : NEMO - WMO inst type : 860 - FLOAT SERIAL : 197 - Date : 2012 4 7
Float : 2902439 - Cycle : 132 - PI : JAMSTEC - Data mode : A - Platform type : NEMO - WMO inst type : 860 - FLOAT SERIAL : 197 - Date : 2012 4 9
Float : 2902439 - Cycle : 133 - PI : JAMSTEC - Data mode : A - Platform type : NEMO - WMO inst type : 860 - FLOAT SERIAL : 197 - Date : 2012 4 11
Float : 2902439 - Cycle : 134 - PI : JAMSTEC - Data mode : A - Platform type : NEMO - WMO inst type : 860 - FLOAT SERIAL : 197 - Date : 2012 4 13
Float : 2902439 - Cycle : 135 - PI : JAMSTEC - Data mode : A - Platform type : NEMO - WMO inst type : 860 - FLOAT SERIAL : 197 - Date : 2012 4 15
Float : 2902439 - Cycle : 136 - PI : JAMSTEC - Data mode : A - Platform type : NEMO - WMO inst type : 860 - FLOAT SERIAL : 197 - Date : 2012 4 17
Float : 2902439 - Cycle : 137 - PI : JAMSTEC - Data mode : A - Platform type : NEMO - WMO inst type : 860 - FLOAT SERIAL : 197 - Date : 2012 4 19
Float : 2902439 - Cycle : 138 - PI : JAMSTEC - Data mode : A - Platform type : NEMO - WMO inst type : 860 - FLOAT SERIAL : 197 - Date : 2012 4 21
Float : 2902439 - Cycle : 139 - PI : JAMSTEC - Data mode : A - Platform type : NEMO - WMO inst type : 860 - FLOAT SERIAL : 197 - Date : 2012 4 23
Float : 2902439 - Cycle : 140 - PI : JAMSTEC - Data mode : A - Platform type : NEMO - WMO inst type : 860 - FLOAT SERIAL : 197 - Date : 2012 4 25
Float : 2902439 - Cycle : 141 - PI : JAMSTEC - Data mode : A - Platform type : NEMO - WMO inst type : 860 - FLOAT SERIAL : 197 - Date : 2012 4 27
Float : 2902439 - Cycle : 142 - PI : JAMSTEC - Data mode : A - Platform type : NEMO - WMO inst type : 860 - FLOAT SERIAL : 197 - Date : 2012 4 29
Float : 2902439 - Cycle : 143 - PI : JAMSTEC - Data mode : A - Platform type : NEMO - WMO inst type : 860 - FLOAT SERIAL : 197 - Date : 2012 5 1
Float : 2902439 - Cycle : 144 - PI : JAMSTEC - Data mode : A - Platform type : NEMO - WMO inst type : 860 - FLOAT SERIAL : 197 - Date : 2012 5 3
Float : 2902439 - Cycle : 145 - PI : JAMSTEC - Data mode : A - Platform type : NEMO - WMO inst type : 860 - FLOAT SERIAL : 197 - Date : 2012 5 5
Float : 2902439 - Cycle : 146 - PI : JAMSTEC - Data mode : A - Platform type : NEMO - WMO inst type : 860 - FLOAT SERIAL : 197 - Date : 2012 5 7
Float : 2902439 - Cycle : 147 - PI : JAMSTEC - Data mode : A - Platform type : NEMO - WMO inst type : 860 - FLOAT SERIAL : 197 - Date : 2012 5 9
Float : 2902439 - Cycle : 148 - PI : JAMSTEC - Data mode : A - Platform type : NEMO - WMO inst type : 860 - FLOAT SERIAL : 197 - Date : 2012 5 11
Float : 2902439 - Cycle : 149 - PI : JAMSTEC - Data mode : A - Platform type : NEMO - WMO inst type : 860 - FLOAT SERIAL : 197 - Date : 2012 5 13
Float : 2902439 - Cycle : 150 - PI : JAMSTEC - Data mode : A - Platform type : NEMO - WMO inst type : 860 - FLOAT SERIAL : 197 - Date : 2012 5 15
Float : 2902439 - Cycle : 151 - PI : JAMSTEC - Data mode : A - Platform type : NEMO - WMO inst type : 860 - FLOAT SERIAL : 197 - Date : 2012 5 17
Float : 2902439 - Cycle : 152 - PI : JAMSTEC - Data mode : A - Platform type : NEMO - WMO inst type : 860 - FLOAT SERIAL : 197 - Date : 2012 5 27
Float : 2902439 - Cycle : 153 - PI : JAMSTEC - Data mode : A - Platform type : NEMO - WMO inst type : 860 - FLOAT SERIAL : 197 - Date : 2012 6 6
Float : 2902439 - Cycle : 154 - PI : JAMSTEC - Data mode : A - Platform type : NEMO - WMO inst type : 860 - FLOAT SERIAL : 197 - Date : 2012 6 16
Float : 2902439 - Cycle : 155 - PI : JAMSTEC - Data mode : A - Platform type : NEMO - WMO inst type : 860 - FLOAT SERIAL : 197 - Date : 2012 6 26
Float : 2902439 - Cycle : 156 - PI : JAMSTEC - Data mode : A - Platform type : NEMO - WMO inst type : 860 - FLOAT SERIAL : 197 - Date : 2012 7 6
Float : 2902439 - Cycle : 157 - PI : JAMSTEC - Data mode : A - Platform type : NEMO - WMO inst type : 860 - FLOAT SERIAL : 197 - Date : 2012 7 16
Float : 2902439 - Cycle : 158 - PI : JAMSTEC - Data mode : A - Platform type : NEMO - WMO inst type : 860 - FLOAT SERIAL : 197 - Date : 2012 7 26
Float : 2902439 - Cycle : 159 - PI : JAMSTEC - Data mode : A - Platform type : NEMO - WMO inst type : 860 - FLOAT SERIAL : 197 - Date : 2012 8 5
Float : 2902440 - Cycle : 61 - PI : JAMSTEC - Data mode : A - Platform type : NEMO - WMO inst type : 860 - FLOAT SERIAL : 198 - Date : 2011 11 19
Float : 2902440 - Cycle : 70 - PI : JAMSTEC - Data mode : A - Platform type : NEMO - WMO inst type : 860 - FLOAT SERIAL : 198 - Date : 2011 12 7
Float : 2902440 - Cycle : 72 - PI : JAMSTEC - Data mode : A - Platform type : NEMO - WMO inst type : 860 - FLOAT SERIAL : 198 - Date : 2011 12 11
Float : 2902440 - Cycle : 74 - PI : JAMSTEC - Data mode : A - Platform type : NEMO - WMO inst type : 860 - FLOAT SERIAL : 198 - Date : 2011 12 15
Float : 2902440 - Cycle : 76 - PI : JAMSTEC - Data mode : A - Platform type : NEMO - WMO inst type : 860 - FLOAT SERIAL : 198 - Date : 2011 12 19
Float : 2902440 - Cycle : 78 - PI : JAMSTEC - Data mode : A - Platform type : NEMO - WMO inst type : 860 - FLOAT SERIAL : 198 - Date : 2011 12 23
Float : 2902440 - Cycle : 80 - PI : JAMSTEC - Data mode : A - Platform type : NEMO - WMO inst type : 860 - FLOAT SERIAL : 198 - Date : 2011 12 27
Float : 2902440 - Cycle : 82 - PI : JAMSTEC - Data mode : A - Platform type : NEMO - WMO inst type : 860 - FLOAT SERIAL : 198 - Date : 2011 12 31

Float : 2902440 - Cycle : 83 - PI : JAMSTEC - Data mode : A - Platform type : NEMO - WMO inst type : 860 - FLOAT SERIAL : 198 - Date : 2012 1 2
Float : 2902440 - Cycle : 84 - PI : JAMSTEC - Data mode : A - Platform type : NEMO - WMO inst type : 860 - FLOAT SERIAL : 198 - Date : 2012 1 4
Float : 2902440 - Cycle : 86 - PI : JAMSTEC - Data mode : A - Platform type : NEMO - WMO inst type : 860 - FLOAT SERIAL : 198 - Date : 2012 1 8
Float : 2902440 - Cycle : 87 - PI : JAMSTEC - Data mode : A - Platform type : NEMO - WMO inst type : 860 - FLOAT SERIAL : 198 - Date : 2012 1 10
Float : 2902440 - Cycle : 88 - PI : JAMSTEC - Data mode : A - Platform type : NEMO - WMO inst type : 860 - FLOAT SERIAL : 198 - Date : 2012 1 12
Float : 2902440 - Cycle : 89 - PI : JAMSTEC - Data mode : A - Platform type : NEMO - WMO inst type : 860 - FLOAT SERIAL : 198 - Date : 2012 1 14
Float : 2902440 - Cycle : 90 - PI : JAMSTEC - Data mode : A - Platform type : NEMO - WMO inst type : 860 - FLOAT SERIAL : 198 - Date : 2012 1 16
Float : 2902440 - Cycle : 91 - PI : JAMSTEC - Data mode : A - Platform type : NEMO - WMO inst type : 860 - FLOAT SERIAL : 198 - Date : 2012 1 18
Float : 2902440 - Cycle : 92 - PI : JAMSTEC - Data mode : A - Platform type : NEMO - WMO inst type : 860 - FLOAT SERIAL : 198 - Date : 2012 1 20
Float : 2902440 - Cycle : 93 - PI : JAMSTEC - Data mode : A - Platform type : NEMO - WMO inst type : 860 - FLOAT SERIAL : 198 - Date : 2012 1 22
Float : 2902440 - Cycle : 94 - PI : JAMSTEC - Data mode : A - Platform type : NEMO - WMO inst type : 860 - FLOAT SERIAL : 198 - Date : 2012 1 24
Float : 2902440 - Cycle : 95 - PI : JAMSTEC - Data mode : A - Platform type : NEMO - WMO inst type : 860 - FLOAT SERIAL : 198 - Date : 2012 1 26
Float : 2902440 - Cycle : 96 - PI : JAMSTEC - Data mode : A - Platform type : NEMO - WMO inst type : 860 - FLOAT SERIAL : 198 - Date : 2012 1 28
Float : 2902440 - Cycle : 97 - PI : JAMSTEC - Data mode : A - Platform type : NEMO - WMO inst type : 860 - FLOAT SERIAL : 198 - Date : 2012 1 30
Float : 2902440 - Cycle : 98 - PI : JAMSTEC - Data mode : A - Platform type : NEMO - WMO inst type : 860 - FLOAT SERIAL : 198 - Date : 2012 2 1
Float : 2902440 - Cycle : 99 - PI : JAMSTEC - Data mode : A - Platform type : NEMO - WMO inst type : 860 - FLOAT SERIAL : 198 - Date : 2012 2 3
Float : 2902440 - Cycle : 100 - PI : JAMSTEC - Data mode : A - Platform type : NEMO - WMO inst type : 860 - FLOAT SERIAL : 198 - Date : 2012 2 5
Float : 2902440 - Cycle : 101 - PI : JAMSTEC - Data mode : A - Platform type : NEMO - WMO inst type : 860 - FLOAT SERIAL : 198 - Date : 2012 2 7
Float : 2902440 - Cycle : 102 - PI : JAMSTEC - Data mode : A - Platform type : NEMO - WMO inst type : 860 - FLOAT SERIAL : 198 - Date : 2012 2 9
Float : 2902440 - Cycle : 103 - PI : JAMSTEC - Data mode : A - Platform type : NEMO - WMO inst type : 860 - FLOAT SERIAL : 198 - Date : 2012 2 11
Float : 2902440 - Cycle : 105 - PI : JAMSTEC - Data mode : A - Platform type : NEMO - WMO inst type : 860 - FLOAT SERIAL : 198 - Date : 2012 2 15
Float : 2902440 - Cycle : 106 - PI : JAMSTEC - Data mode : A - Platform type : NEMO - WMO inst type : 860 - FLOAT SERIAL : 198 - Date : 2012 2 17
Float : 2902440 - Cycle : 107 - PI : JAMSTEC - Data mode : A - Platform type : NEMO - WMO inst type : 860 - FLOAT SERIAL : 198 - Date : 2012 2 19
Float : 2902440 - Cycle : 108 - PI : JAMSTEC - Data mode : A - Platform type : NEMO - WMO inst type : 860 - FLOAT SERIAL : 198 - Date : 2012 2 21
Float : 2902440 - Cycle : 109 - PI : JAMSTEC - Data mode : A - Platform type : NEMO - WMO inst type : 860 - FLOAT SERIAL : 198 - Date : 2012 2 23
Float : 2902440 - Cycle : 110 - PI : JAMSTEC - Data mode : A - Platform type : NEMO - WMO inst type : 860 - FLOAT SERIAL : 198 - Date : 2012 2 25
Float : 2902440 - Cycle : 111 - PI : JAMSTEC - Data mode : A - Platform type : NEMO - WMO inst type : 860 - FLOAT SERIAL : 198 - Date : 2012 2 27
Float : 2902440 - Cycle : 112 - PI : JAMSTEC - Data mode : A - Platform type : NEMO - WMO inst type : 860 - FLOAT SERIAL : 198 - Date : 2012 2 29
Float : 2902440 - Cycle : 113 - PI : JAMSTEC - Data mode : A - Platform type : NEMO - WMO inst type : 860 - FLOAT SERIAL : 198 - Date : 2012 3 2
Float : 2902440 - Cycle : 114 - PI : JAMSTEC - Data mode : A - Platform type : NEMO - WMO inst type : 860 - FLOAT SERIAL : 198 - Date : 2012 3 4
Float : 2902440 - Cycle : 115 - PI : JAMSTEC - Data mode : A - Platform type : NEMO - WMO inst type : 860 - FLOAT SERIAL : 198 - Date : 2012 3 6
Float : 2902440 - Cycle : 116 - PI : JAMSTEC - Data mode : A - Platform type : NEMO - WMO inst type : 860 - FLOAT SERIAL : 198 - Date : 2012 3 8
Float : 2902440 - Cycle : 117 - PI : JAMSTEC - Data mode : A - Platform type : NEMO - WMO inst type : 860 - FLOAT SERIAL : 198 - Date : 2012 3 10
Float : 2902440 - Cycle : 118 - PI : JAMSTEC - Data mode : A - Platform type : NEMO - WMO inst type : 860 - FLOAT SERIAL : 198 - Date : 2012 3 12
Float : 2902440 - Cycle : 119 - PI : JAMSTEC - Data mode : A - Platform type : NEMO - WMO inst type : 860 - FLOAT SERIAL : 198 - Date : 2012 3 14
Float : 2902440 - Cycle : 120 - PI : JAMSTEC - Data mode : A - Platform type : NEMO - WMO inst type : 860 - FLOAT SERIAL : 198 - Date : 2012 3 16
Float : 2902440 - Cycle : 121 - PI : JAMSTEC - Data mode : A - Platform type : NEMO - WMO inst type : 860 - FLOAT SERIAL : 198 - Date : 2012 3 18
Float : 2902440 - Cycle : 122 - PI : JAMSTEC - Data mode : A - Platform type : NEMO - WMO inst type : 860 - FLOAT SERIAL : 198 - Date : 2012 3 20
Float : 2902440 - Cycle : 123 - PI : JAMSTEC - Data mode : A - Platform type : NEMO - WMO inst type : 860 - FLOAT SERIAL : 198 - Date : 2012 3 22
Float : 2902440 - Cycle : 124 - PI : JAMSTEC - Data mode : A - Platform type : NEMO - WMO inst type : 860 - FLOAT SERIAL : 198 - Date : 2012 3 24
Float : 2902440 - Cycle : 125 - PI : JAMSTEC - Data mode : A - Platform type : NEMO - WMO inst type : 860 - FLOAT SERIAL : 198 - Date : 2012 3 26
Float : 2902440 - Cycle : 126 - PI : JAMSTEC - Data mode : A - Platform type : NEMO - WMO inst type : 860 - FLOAT SERIAL : 198 - Date : 2012 3 28
Float : 2902440 - Cycle : 127 - PI : JAMSTEC - Data mode : A - Platform type : NEMO - WMO inst type : 860 - FLOAT SERIAL : 198 - Date : 2012 3 30
Float : 2902440 - Cycle : 128 - PI : JAMSTEC - Data mode : A - Platform type : NEMO - WMO inst type : 860 - FLOAT SERIAL : 198 - Date : 2012 4 1
Float : 2902440 - Cycle : 129 - PI : JAMSTEC - Data mode : A - Platform type : NEMO - WMO inst type : 860 - FLOAT SERIAL : 198 - Date : 2012 4 3
Float : 2902440 - Cycle : 130 - PI : JAMSTEC - Data mode : A - Platform type : NEMO - WMO inst type : 860 - FLOAT SERIAL : 198 - Date : 2012 4 5
Float : 2902440 - Cycle : 131 - PI : JAMSTEC - Data mode : A - Platform type : NEMO - WMO inst type : 860 - FLOAT SERIAL : 198 - Date : 2012 4 7
Float : 2902440 - Cycle : 132 - PI : JAMSTEC - Data mode : A - Platform type : NEMO - WMO inst type : 860 - FLOAT SERIAL : 198 - Date : 2012 4 9
Float : 2902440 - Cycle : 133 - PI : JAMSTEC - Data mode : A - Platform type : NEMO - WMO inst type : 860 - FLOAT SERIAL : 198 - Date : 2012 4 11
Float : 2902440 - Cycle : 134 - PI : JAMSTEC - Data mode : A - Platform type : NEMO - WMO inst type : 860 - FLOAT SERIAL : 198 - Date : 2012 4 13
Float : 2902441 - Cycle : 84 - PI : JAMSTEC - Data mode : A - Platform type : NEMO - WMO inst type : 860 - FLOAT SERIAL : 162 - Date : 2012 1 4
Float : 2902442 - Cycle : 53 - PI : JAMSTEC - Data mode : A - Platform type : NEMO - WMO inst type : 860 - FLOAT SERIAL : 161 - Date : 2011 11 3
Float : 2902442 - Cycle : 54 - PI : JAMSTEC - Data mode : A - Platform type : NEMO - WMO inst type : 860 - FLOAT SERIAL : 161 - Date : 2011 11 5
Float : 2902442 - Cycle : 56 - PI : JAMSTEC - Data mode : A - Platform type : NEMO - WMO inst type : 860 - FLOAT SERIAL : 161 - Date : 2011 11 9
Float : 2902442 - Cycle : 57 - PI : JAMSTEC - Data mode : A - Platform type : NEMO - WMO inst type : 860 - FLOAT SERIAL : 161 - Date : 2011 11 11
Float : 2902442 - Cycle : 58 - PI : JAMSTEC - Data mode : A - Platform type : NEMO - WMO inst type : 860 - FLOAT SERIAL : 161 - Date : 2011 11 13
Float : 2902442 - Cycle : 59 - PI : JAMSTEC - Data mode : A - Platform type : NEMO - WMO inst type : 860 - FLOAT SERIAL : 161 - Date : 2011 11 15
Float : 2902442 - Cycle : 60 - PI : JAMSTEC - Data mode : A - Platform type : NEMO - WMO inst type : 860 - FLOAT SERIAL : 161 - Date : 2011 11 17
Float : 2902442 - Cycle : 61 - PI : JAMSTEC - Data mode : A - Platform type : NEMO - WMO inst type : 860 - FLOAT SERIAL : 161 - Date : 2011 11 19
Float : 2902442 - Cycle : 62 - PI : JAMSTEC - Data mode : A - Platform type : NEMO - WMO inst type : 860 - FLOAT SERIAL : 161 - Date : 2011 11 21
Float : 2902442 - Cycle : 63 - PI : JAMSTEC - Data mode : A - Platform type : NEMO - WMO inst type : 860 - FLOAT SERIAL : 161 - Date : 2011 11 23
Float : 2902442 - Cycle : 64 - PI : JAMSTEC - Data mode : A - Platform type : NEMO - WMO inst type : 860 - FLOAT SERIAL : 161 - Date : 2011 11 25
Float : 2902442 - Cycle : 65 - PI : JAMSTEC - Data mode : A - Platform type : NEMO - WMO inst type : 860 - FLOAT SERIAL : 161 - Date : 2011 11 27
Float : 2902442 - Cycle : 66 - PI : JAMSTEC - Data mode : A - Platform type : NEMO - WMO inst type : 860 - FLOAT SERIAL : 161 - Date : 2011 11 29
Float : 2902442 - Cycle : 67 - PI : JAMSTEC - Data mode : A - Platform type : NEMO - WMO inst type : 860 - FLOAT SERIAL : 161 - Date : 2011 12 1
Float : 2902442 - Cycle : 68 - PI : JAMSTEC - Data mode : A - Platform type : NEMO - WMO inst type : 860 - FLOAT SERIAL : 161 - Date : 2011 12 3
Float : 2902442 - Cycle : 69 - PI : JAMSTEC - Data mode : A - Platform type : NEMO - WMO inst type : 860 - FLOAT SERIAL : 161 - Date : 2011 12 5
Float : 2902442 - Cycle : 70 - PI : JAMSTEC - Data mode : A - Platform type : NEMO - WMO inst type : 860 - FLOAT SERIAL : 161 - Date : 2011 12 7
Float : 2902442 - Cycle : 71 - PI : JAMSTEC - Data mode : A - Platform type : NEMO - WMO inst type : 860 - FLOAT SERIAL : 161 - Date : 2011 12 9
Float : 2902442 - Cycle : 72 - PI : JAMSTEC - Data mode : A - Platform type : NEMO - WMO inst type : 860 - FLOAT SERIAL : 161 - Date : 2011 12 11
Float : 2902442 - Cycle : 73 - PI : JAMSTEC - Data mode : A - Platform type : NEMO - WMO inst type : 860 - FLOAT SERIAL : 161 - Date : 2011 12 13
Float : 2902442 - Cycle : 74 - PI : JAMSTEC - Data mode : A - Platform type : NEMO - WMO inst type : 860 - FLOAT SERIAL : 161 - Date : 2011 12 15
Float : 2902442 - Cycle : 75 - PI : JAMSTEC - Data mode : A - Platform type : NEMO - WMO inst type : 860 - FLOAT SERIAL : 161 - Date : 2011 12 17
Float : 2902442 - Cycle : 76 - PI : JAMSTEC - Data mode : A - Platform type : NEMO - WMO inst type : 860 - FLOAT SERIAL : 161 - Date : 2011 12 19

Float : 2902442 - Cycle : 77 - PI : JAMSTEC - Data mode : A - Platform type : NEMO - WMO inst type : 860 - FLOAT SERIAL : 161 - Date : 2011 12 21
Float : 2902442 - Cycle : 78 - PI : JAMSTEC - Data mode : A - Platform type : NEMO - WMO inst type : 860 - FLOAT SERIAL : 161 - Date : 2011 12 23
Float : 2902442 - Cycle : 79 - PI : JAMSTEC - Data mode : A - Platform type : NEMO - WMO inst type : 860 - FLOAT SERIAL : 161 - Date : 2011 12 25
Float : 2902442 - Cycle : 80 - PI : JAMSTEC - Data mode : A - Platform type : NEMO - WMO inst type : 860 - FLOAT SERIAL : 161 - Date : 2011 12 27
Float : 2902442 - Cycle : 81 - PI : JAMSTEC - Data mode : A - Platform type : NEMO - WMO inst type : 860 - FLOAT SERIAL : 161 - Date : 2011 12 29
Float : 2902442 - Cycle : 82 - PI : JAMSTEC - Data mode : A - Platform type : NEMO - WMO inst type : 860 - FLOAT SERIAL : 161 - Date : 2011 12 31
Float : 2902442 - Cycle : 83 - PI : JAMSTEC - Data mode : A - Platform type : NEMO - WMO inst type : 860 - FLOAT SERIAL : 161 - Date : 2012 1 2
Float : 2902442 - Cycle : 84 - PI : JAMSTEC - Data mode : A - Platform type : NEMO - WMO inst type : 860 - FLOAT SERIAL : 161 - Date : 2012 1 4
Float : 2902442 - Cycle : 85 - PI : JAMSTEC - Data mode : A - Platform type : NEMO - WMO inst type : 860 - FLOAT SERIAL : 161 - Date : 2012 1 6
Float : 2902442 - Cycle : 86 - PI : JAMSTEC - Data mode : A - Platform type : NEMO - WMO inst type : 860 - FLOAT SERIAL : 161 - Date : 2012 1 8
Float : 2902442 - Cycle : 87 - PI : JAMSTEC - Data mode : A - Platform type : NEMO - WMO inst type : 860 - FLOAT SERIAL : 161 - Date : 2012 1 10
Float : 2902442 - Cycle : 88 - PI : JAMSTEC - Data mode : A - Platform type : NEMO - WMO inst type : 860 - FLOAT SERIAL : 161 - Date : 2012 1 12
Float : 2902442 - Cycle : 89 - PI : JAMSTEC - Data mode : A - Platform type : NEMO - WMO inst type : 860 - FLOAT SERIAL : 161 - Date : 2012 1 14
Float : 2902442 - Cycle : 90 - PI : JAMSTEC - Data mode : A - Platform type : NEMO - WMO inst type : 860 - FLOAT SERIAL : 161 - Date : 2012 1 16
Float : 2902442 - Cycle : 91 - PI : JAMSTEC - Data mode : A - Platform type : NEMO - WMO inst type : 860 - FLOAT SERIAL : 161 - Date : 2012 1 18
Float : 2902442 - Cycle : 92 - PI : JAMSTEC - Data mode : A - Platform type : NEMO - WMO inst type : 860 - FLOAT SERIAL : 161 - Date : 2012 1 20
Float : 2902442 - Cycle : 93 - PI : JAMSTEC - Data mode : A - Platform type : NEMO - WMO inst type : 860 - FLOAT SERIAL : 161 - Date : 2012 1 22
Float : 2902442 - Cycle : 94 - PI : JAMSTEC - Data mode : A - Platform type : NEMO - WMO inst type : 860 - FLOAT SERIAL : 161 - Date : 2012 1 24
Float : 2902442 - Cycle : 95 - PI : JAMSTEC - Data mode : A - Platform type : NEMO - WMO inst type : 860 - FLOAT SERIAL : 161 - Date : 2012 1 26
Float : 2902442 - Cycle : 96 - PI : JAMSTEC - Data mode : A - Platform type : NEMO - WMO inst type : 860 - FLOAT SERIAL : 161 - Date : 2012 1 28
Float : 2902442 - Cycle : 97 - PI : JAMSTEC - Data mode : A - Platform type : NEMO - WMO inst type : 860 - FLOAT SERIAL : 161 - Date : 2012 1 30
Float : 2902442 - Cycle : 98 - PI : JAMSTEC - Data mode : A - Platform type : NEMO - WMO inst type : 860 - FLOAT SERIAL : 161 - Date : 2012 2 1
Float : 2902442 - Cycle : 99 - PI : JAMSTEC - Data mode : A - Platform type : NEMO - WMO inst type : 860 - FLOAT SERIAL : 161 - Date : 2012 2 3
Float : 2902442 - Cycle : 100 - PI : JAMSTEC - Data mode : A - Platform type : NEMO - WMO inst type : 860 - FLOAT SERIAL : 161 - Date : 2012 2 5
Float : 2902442 - Cycle : 101 - PI : JAMSTEC - Data mode : A - Platform type : NEMO - WMO inst type : 860 - FLOAT SERIAL : 161 - Date : 2012 2 7
Float : 2902442 - Cycle : 102 - PI : JAMSTEC - Data mode : A - Platform type : NEMO - WMO inst type : 860 - FLOAT SERIAL : 161 - Date : 2012 2 9
Float : 2902442 - Cycle : 103 - PI : JAMSTEC - Data mode : A - Platform type : NEMO - WMO inst type : 860 - FLOAT SERIAL : 161 - Date : 2012 2 11
Float : 2902442 - Cycle : 104 - PI : JAMSTEC - Data mode : A - Platform type : NEMO - WMO inst type : 860 - FLOAT SERIAL : 161 - Date : 2012 2 13
Float : 2902442 - Cycle : 105 - PI : JAMSTEC - Data mode : A - Platform type : NEMO - WMO inst type : 860 - FLOAT SERIAL : 161 - Date : 2012 2 15
Float : 2902442 - Cycle : 106 - PI : JAMSTEC - Data mode : A - Platform type : NEMO - WMO inst type : 860 - FLOAT SERIAL : 161 - Date : 2012 2 17
Float : 2902442 - Cycle : 107 - PI : JAMSTEC - Data mode : A - Platform type : NEMO - WMO inst type : 860 - FLOAT SERIAL : 161 - Date : 2012 2 19
Float : 2902442 - Cycle : 108 - PI : JAMSTEC - Data mode : A - Platform type : NEMO - WMO inst type : 860 - FLOAT SERIAL : 161 - Date : 2012 2 21
Float : 2902442 - Cycle : 109 - PI : JAMSTEC - Data mode : A - Platform type : NEMO - WMO inst type : 860 - FLOAT SERIAL : 161 - Date : 2012 2 23
Float : 2902442 - Cycle : 110 - PI : JAMSTEC - Data mode : A - Platform type : NEMO - WMO inst type : 860 - FLOAT SERIAL : 161 - Date : 2012 2 25
Float : 2902442 - Cycle : 111 - PI : JAMSTEC - Data mode : A - Platform type : NEMO - WMO inst type : 860 - FLOAT SERIAL : 161 - Date : 2012 2 27
Float : 2902442 - Cycle : 112 - PI : JAMSTEC - Data mode : A - Platform type : NEMO - WMO inst type : 860 - FLOAT SERIAL : 161 - Date : 2012 2 29
Float : 2902442 - Cycle : 113 - PI : JAMSTEC - Data mode : A - Platform type : NEMO - WMO inst type : 860 - FLOAT SERIAL : 161 - Date : 2012 3 2
Float : 2902442 - Cycle : 114 - PI : JAMSTEC - Data mode : A - Platform type : NEMO - WMO inst type : 860 - FLOAT SERIAL : 161 - Date : 2012 3 4
Float : 2902442 - Cycle : 115 - PI : JAMSTEC - Data mode : A - Platform type : NEMO - WMO inst type : 860 - FLOAT SERIAL : 161 - Date : 2012 3 6
Float : 2902442 - Cycle : 116 - PI : JAMSTEC - Data mode : A - Platform type : NEMO - WMO inst type : 860 - FLOAT SERIAL : 161 - Date : 2012 3 8
Float : 2902442 - Cycle : 117 - PI : JAMSTEC - Data mode : A - Platform type : NEMO - WMO inst type : 860 - FLOAT SERIAL : 161 - Date : 2012 3 10
Float : 2902442 - Cycle : 118 - PI : JAMSTEC - Data mode : A - Platform type : NEMO - WMO inst type : 860 - FLOAT SERIAL : 161 - Date : 2012 3 12
Float : 2902442 - Cycle : 119 - PI : JAMSTEC - Data mode : A - Platform type : NEMO - WMO inst type : 860 - FLOAT SERIAL : 161 - Date : 2012 3 14
Float : 2902442 - Cycle : 120 - PI : JAMSTEC - Data mode : A - Platform type : NEMO - WMO inst type : 860 - FLOAT SERIAL : 161 - Date : 2012 3 16
Float : 2902442 - Cycle : 121 - PI : JAMSTEC - Data mode : A - Platform type : NEMO - WMO inst type : 860 - FLOAT SERIAL : 161 - Date : 2012 3 18
Float : 2902442 - Cycle : 122 - PI : JAMSTEC - Data mode : A - Platform type : NEMO - WMO inst type : 860 - FLOAT SERIAL : 161 - Date : 2012 3 20
Float : 2902442 - Cycle : 123 - PI : JAMSTEC - Data mode : A - Platform type : NEMO - WMO inst type : 860 - FLOAT SERIAL : 161 - Date : 2012 3 22
Float : 2902442 - Cycle : 124 - PI : JAMSTEC - Data mode : A - Platform type : NEMO - WMO inst type : 860 - FLOAT SERIAL : 161 - Date : 2012 3 24
Float : 2902442 - Cycle : 125 - PI : JAMSTEC - Data mode : A - Platform type : NEMO - WMO inst type : 860 - FLOAT SERIAL : 161 - Date : 2012 3 26
Float : 2902442 - Cycle : 126 - PI : JAMSTEC - Data mode : A - Platform type : NEMO - WMO inst type : 860 - FLOAT SERIAL : 161 - Date : 2012 3 28
Float : 2902442 - Cycle : 127 - PI : JAMSTEC - Data mode : A - Platform type : NEMO - WMO inst type : 860 - FLOAT SERIAL : 161 - Date : 2012 3 30
Float : 2902442 - Cycle : 128 - PI : JAMSTEC - Data mode : A - Platform type : NEMO - WMO inst type : 860 - FLOAT SERIAL : 161 - Date : 2012 4 1
Float : 2902442 - Cycle : 129 - PI : JAMSTEC - Data mode : A - Platform type : NEMO - WMO inst type : 860 - FLOAT SERIAL : 161 - Date : 2012 4 3
Float : 2902442 - Cycle : 130 - PI : JAMSTEC - Data mode : A - Platform type : NEMO - WMO inst type : 860 - FLOAT SERIAL : 161 - Date : 2012 4 5
Float : 2902442 - Cycle : 131 - PI : JAMSTEC - Data mode : A - Platform type : NEMO - WMO inst type : 860 - FLOAT SERIAL : 161 - Date : 2012 4 7
Float : 2902442 - Cycle : 132 - PI : JAMSTEC - Data mode : A - Platform type : NEMO - WMO inst type : 860 - FLOAT SERIAL : 161 - Date : 2012 4 9
Float : 2902442 - Cycle : 133 - PI : JAMSTEC - Data mode : A - Platform type : NEMO - WMO inst type : 860 - FLOAT SERIAL : 161 - Date : 2012 4 11
Float : 2902442 - Cycle : 134 - PI : JAMSTEC - Data mode : A - Platform type : NEMO - WMO inst type : 860 - FLOAT SERIAL : 161 - Date : 2012 4 13
Float : 2902442 - Cycle : 135 - PI : JAMSTEC - Data mode : A - Platform type : NEMO - WMO inst type : 860 - FLOAT SERIAL : 161 - Date : 2012 4 15
Float : 2902442 - Cycle : 136 - PI : JAMSTEC - Data mode : A - Platform type : NEMO - WMO inst type : 860 - FLOAT SERIAL : 161 - Date : 2012 4 17
Float : 2902442 - Cycle : 137 - PI : JAMSTEC - Data mode : A - Platform type : NEMO - WMO inst type : 860 - FLOAT SERIAL : 161 - Date : 2012 4 19
Float : 2902442 - Cycle : 138 - PI : JAMSTEC - Data mode : A - Platform type : NEMO - WMO inst type : 860 - FLOAT SERIAL : 161 - Date : 2012 4 21
Float : 2902442 - Cycle : 139 - PI : JAMSTEC - Data mode : A - Platform type : NEMO - WMO inst type : 860 - FLOAT SERIAL : 161 - Date : 2012 4 23
Float : 2902442 - Cycle : 140 - PI : JAMSTEC - Data mode : A - Platform type : NEMO - WMO inst type : 860 - FLOAT SERIAL : 161 - Date : 2012 4 25
Float : 2902442 - Cycle : 141 - PI : JAMSTEC - Data mode : A - Platform type : NEMO - WMO inst type : 860 - FLOAT SERIAL : 161 - Date : 2012 4 27
Float : 2902442 - Cycle : 142 - PI : JAMSTEC - Data mode : A - Platform type : NEMO - WMO inst type : 860 - FLOAT SERIAL : 161 - Date : 2012 4 29
Float : 2902442 - Cycle : 143 - PI : JAMSTEC - Data mode : A - Platform type : NEMO - WMO inst type : 860 - FLOAT SERIAL : 161 - Date : 2012 5 1
Float : 2902442 - Cycle : 144 - PI : JAMSTEC - Data mode : A - Platform type : NEMO - WMO inst type : 860 - FLOAT SERIAL : 161 - Date : 2012 5 3
Float : 2902442 - Cycle : 145 - PI : JAMSTEC - Data mode : A - Platform type : NEMO - WMO inst type : 860 - FLOAT SERIAL : 161 - Date : 2012 5 5
Float : 2902442 - Cycle : 146 - PI : JAMSTEC - Data mode : A - Platform type : NEMO - WMO inst type : 860 - FLOAT SERIAL : 161 - Date : 2012 5 7
Float : 2902442 - Cycle : 147 - PI : JAMSTEC - Data mode : A - Platform type : NEMO - WMO inst type : 860 - FLOAT SERIAL : 161 - Date : 2012 5 9
Float : 2902442 - Cycle : 148 - PI : JAMSTEC - Data mode : A - Platform type : NEMO - WMO inst type : 860 - FLOAT SERIAL : 161 - Date : 2012 5 11
Float : 2902442 - Cycle : 149 - PI : JAMSTEC - Data mode : A - Platform type : NEMO - WMO inst type : 860 - FLOAT SERIAL : 161 - Date : 2012 5 13
Float : 2902442 - Cycle : 150 - PI : JAMSTEC - Data mode : A - Platform type : NEMO - WMO inst type : 860 - FLOAT SERIAL : 161 - Date : 2012 5 15

Float : 2902442 - Cycle : 151 - PI : JAMSTEC - Data mode : A - Platform type : NEMO - WMO inst type : 860 - FLOAT SERIAL : 161 - Date : 2012 5 17
Float : 2902442 - Cycle : 152 - PI : JAMSTEC - Data mode : A - Platform type : NEMO - WMO inst type : 860 - FLOAT SERIAL : 161 - Date : 2012 5 27
Float : 2902442 - Cycle : 153 - PI : JAMSTEC - Data mode : A - Platform type : NEMO - WMO inst type : 860 - FLOAT SERIAL : 161 - Date : 2012 6 6
Float : 2902442 - Cycle : 154 - PI : JAMSTEC - Data mode : A - Platform type : NEMO - WMO inst type : 860 - FLOAT SERIAL : 161 - Date : 2012 6 16
Float : 2902442 - Cycle : 155 - PI : JAMSTEC - Data mode : A - Platform type : NEMO - WMO inst type : 860 - FLOAT SERIAL : 161 - Date : 2012 6 26
Float : 2902442 - Cycle : 156 - PI : JAMSTEC - Data mode : A - Platform type : NEMO - WMO inst type : 860 - FLOAT SERIAL : 161 - Date : 2012 7 6
Float : 2902442 - Cycle : 157 - PI : JAMSTEC - Data mode : A - Platform type : NEMO - WMO inst type : 860 - FLOAT SERIAL : 161 - Date : 2012 7 16
Float : 2902442 - Cycle : 158 - PI : JAMSTEC - Data mode : A - Platform type : NEMO - WMO inst type : 860 - FLOAT SERIAL : 161 - Date : 2012 7 26
Float : 2902442 - Cycle : 159 - PI : JAMSTEC - Data mode : A - Platform type : NEMO - WMO inst type : 860 - FLOAT SERIAL : 161 - Date : 2012 8 5
Float : 2902442 - Cycle : 160 - PI : JAMSTEC - Data mode : A - Platform type : NEMO - WMO inst type : 860 - FLOAT SERIAL : 161 - Date : 2012 8 15
Float : 2902442 - Cycle : 161 - PI : JAMSTEC - Data mode : A - Platform type : NEMO - WMO inst type : 860 - FLOAT SERIAL : 161 - Date : 2012 8 25
Float : 2902442 - Cycle : 162 - PI : JAMSTEC - Data mode : A - Platform type : NEMO - WMO inst type : 860 - FLOAT SERIAL : 161 - Date : 2012 9 4
Float : 2902442 - Cycle : 163 - PI : JAMSTEC - Data mode : A - Platform type : NEMO - WMO inst type : 860 - FLOAT SERIAL : 161 - Date : 2012 9 14
Float : 2902442 - Cycle : 164 - PI : JAMSTEC - Data mode : A - Platform type : NEMO - WMO inst type : 860 - FLOAT SERIAL : 161 - Date : 2012 9 24
Float : 2902442 - Cycle : 165 - PI : JAMSTEC - Data mode : A - Platform type : NEMO - WMO inst type : 860 - FLOAT SERIAL : 161 - Date : 2012 10 4
Float : 2902442 - Cycle : 166 - PI : JAMSTEC - Data mode : A - Platform type : NEMO - WMO inst type : 860 - FLOAT SERIAL : 161 - Date : 2012 10 14
Float : 2902442 - Cycle : 167 - PI : JAMSTEC - Data mode : A - Platform type : NEMO - WMO inst type : 860 - FLOAT SERIAL : 161 - Date : 2012 10 24
Float : 2902443 - Cycle : 172 - PI : JAMSTEC - Data mode : A - Platform type : NEMO - WMO inst type : 860 - FLOAT SERIAL : 200 - Date : 2012 12 13
Float : 2902443 - Cycle : 173 - PI : JAMSTEC - Data mode : A - Platform type : NEMO - WMO inst type : 860 - FLOAT SERIAL : 200 - Date : 2012 12 23
Float : 2902443 - Cycle : 174 - PI : JAMSTEC - Data mode : A - Platform type : NEMO - WMO inst type : 860 - FLOAT SERIAL : 200 - Date : 2013 1 2
Float : 2902443 - Cycle : 175 - PI : JAMSTEC - Data mode : A - Platform type : NEMO - WMO inst type : 860 - FLOAT SERIAL : 200 - Date : 2013 1 12
Float : 2902443 - Cycle : 176 - PI : JAMSTEC - Data mode : A - Platform type : NEMO - WMO inst type : 860 - FLOAT SERIAL : 200 - Date : 2013 1 22
Float : 2902443 - Cycle : 177 - PI : JAMSTEC - Data mode : A - Platform type : NEMO - WMO inst type : 860 - FLOAT SERIAL : 200 - Date : 2013 2 1
Float : 2902443 - Cycle : 178 - PI : JAMSTEC - Data mode : A - Platform type : NEMO - WMO inst type : 860 - FLOAT SERIAL : 200 - Date : 2013 2 11
Float : 2902443 - Cycle : 179 - PI : JAMSTEC - Data mode : A - Platform type : NEMO - WMO inst type : 860 - FLOAT SERIAL : 200 - Date : 2013 2 21
Float : 2902443 - Cycle : 180 - PI : JAMSTEC - Data mode : A - Platform type : NEMO - WMO inst type : 860 - FLOAT SERIAL : 200 - Date : 2013 3 3
Float : 2902443 - Cycle : 181 - PI : JAMSTEC - Data mode : A - Platform type : NEMO - WMO inst type : 860 - FLOAT SERIAL : 200 - Date : 2013 3 13
Float : 2902443 - Cycle : 182 - PI : JAMSTEC - Data mode : A - Platform type : NEMO - WMO inst type : 860 - FLOAT SERIAL : 200 - Date : 2013 3 23
Float : 2902443 - Cycle : 183 - PI : JAMSTEC - Data mode : A - Platform type : NEMO - WMO inst type : 860 - FLOAT SERIAL : 200 - Date : 2013 4 2
Float : 2902443 - Cycle : 184 - PI : JAMSTEC - Data mode : A - Platform type : NEMO - WMO inst type : 860 - FLOAT SERIAL : 200 - Date : 2013 4 12
Float : 2902443 - Cycle : 185 - PI : JAMSTEC - Data mode : A - Platform type : NEMO - WMO inst type : 860 - FLOAT SERIAL : 200 - Date : 2013 4 22
Float : 2902443 - Cycle : 186 - PI : JAMSTEC - Data mode : A - Platform type : NEMO - WMO inst type : 860 - FLOAT SERIAL : 200 - Date : 2013 5 2
Float : 2902443 - Cycle : 187 - PI : JAMSTEC - Data mode : A - Platform type : NEMO - WMO inst type : 860 - FLOAT SERIAL : 200 - Date : 2013 5 12
Float : 2902443 - Cycle : 188 - PI : JAMSTEC - Data mode : A - Platform type : NEMO - WMO inst type : 860 - FLOAT SERIAL : 200 - Date : 2013 5 22
Float : 2902443 - Cycle : 189 - PI : JAMSTEC - Data mode : A - Platform type : NEMO - WMO inst type : 860 - FLOAT SERIAL : 200 - Date : 2013 6 1
Float : 2902443 - Cycle : 190 - PI : JAMSTEC - Data mode : A - Platform type : NEMO - WMO inst type : 860 - FLOAT SERIAL : 200 - Date : 2013 6 11
Float : 2902443 - Cycle : 191 - PI : JAMSTEC - Data mode : A - Platform type : NEMO - WMO inst type : 860 - FLOAT SERIAL : 200 - Date : 2013 6 21
Float : 2902443 - Cycle : 192 - PI : JAMSTEC - Data mode : A - Platform type : NEMO - WMO inst type : 860 - FLOAT SERIAL : 200 - Date : 2013 7 1
Float : 2902443 - Cycle : 193 - PI : JAMSTEC - Data mode : A - Platform type : NEMO - WMO inst type : 860 - FLOAT SERIAL : 200 - Date : 2013 7 11
Float : 2902444 - Cycle : 120 - PI : JAMSTEC - Data mode : A - Platform type : NEMO - WMO inst type : 860 - FLOAT SERIAL : 164 - Date : 2012 3 16
Float : 2902444 - Cycle : 122 - PI : JAMSTEC - Data mode : A - Platform type : NEMO - WMO inst type : 860 - FLOAT SERIAL : 164 - Date : 2012 3 20
Float : 2902444 - Cycle : 123 - PI : JAMSTEC - Data mode : A - Platform type : NEMO - WMO inst type : 860 - FLOAT SERIAL : 164 - Date : 2012 3 22
Float : 2902444 - Cycle : 124 - PI : JAMSTEC - Data mode : A - Platform type : NEMO - WMO inst type : 860 - FLOAT SERIAL : 164 - Date : 2012 3 24
Float : 2902444 - Cycle : 125 - PI : JAMSTEC - Data mode : A - Platform type : NEMO - WMO inst type : 860 - FLOAT SERIAL : 164 - Date : 2012 3 26
Float : 2902444 - Cycle : 126 - PI : JAMSTEC - Data mode : A - Platform type : NEMO - WMO inst type : 860 - FLOAT SERIAL : 164 - Date : 2012 3 28
Float : 2902444 - Cycle : 127 - PI : JAMSTEC - Data mode : A - Platform type : NEMO - WMO inst type : 860 - FLOAT SERIAL : 164 - Date : 2012 3 30
Float : 2902444 - Cycle : 128 - PI : JAMSTEC - Data mode : A - Platform type : NEMO - WMO inst type : 860 - FLOAT SERIAL : 164 - Date : 2012 4 1
Float : 2902444 - Cycle : 129 - PI : JAMSTEC - Data mode : A - Platform type : NEMO - WMO inst type : 860 - FLOAT SERIAL : 164 - Date : 2012 4 3
Float : 2902444 - Cycle : 130 - PI : JAMSTEC - Data mode : A - Platform type : NEMO - WMO inst type : 860 - FLOAT SERIAL : 164 - Date : 2012 4 5
Float : 2902444 - Cycle : 131 - PI : JAMSTEC - Data mode : A - Platform type : NEMO - WMO inst type : 860 - FLOAT SERIAL : 164 - Date : 2012 4 7
Float : 2902444 - Cycle : 132 - PI : JAMSTEC - Data mode : A - Platform type : NEMO - WMO inst type : 860 - FLOAT SERIAL : 164 - Date : 2012 4 9
Float : 2902444 - Cycle : 133 - PI : JAMSTEC - Data mode : A - Platform type : NEMO - WMO inst type : 860 - FLOAT SERIAL : 164 - Date : 2012 4 11
Float : 2902444 - Cycle : 134 - PI : JAMSTEC - Data mode : A - Platform type : NEMO - WMO inst type : 860 - FLOAT SERIAL : 164 - Date : 2012 4 13
Float : 2902444 - Cycle : 135 - PI : JAMSTEC - Data mode : A - Platform type : NEMO - WMO inst type : 860 - FLOAT SERIAL : 164 - Date : 2012 4 15
Float : 2902444 - Cycle : 136 - PI : JAMSTEC - Data mode : A - Platform type : NEMO - WMO inst type : 860 - FLOAT SERIAL : 164 - Date : 2012 4 17
Float : 2902444 - Cycle : 137 - PI : JAMSTEC - Data mode : A - Platform type : NEMO - WMO inst type : 860 - FLOAT SERIAL : 164 - Date : 2012 4 19
Float : 2902444 - Cycle : 138 - PI : JAMSTEC - Data mode : A - Platform type : NEMO - WMO inst type : 860 - FLOAT SERIAL : 164 - Date : 2012 4 21
Float : 2902444 - Cycle : 139 - PI : JAMSTEC - Data mode : A - Platform type : NEMO - WMO inst type : 860 - FLOAT SERIAL : 164 - Date : 2012 4 23
Float : 2902446 - Cycle : 86 - PI : JAMSTEC - Data mode : A - Platform type : NEMO - WMO inst type : 860 - FLOAT SERIAL : 170 - Date : 2012 1 18
Float : 2902446 - Cycle : 87 - PI : JAMSTEC - Data mode : A - Platform type : NEMO - WMO inst type : 860 - FLOAT SERIAL : 170 - Date : 2012 1 20
Float : 2902446 - Cycle : 88 - PI : JAMSTEC - Data mode : A - Platform type : NEMO - WMO inst type : 860 - FLOAT SERIAL : 170 - Date : 2012 1 22
Float : 2902446 - Cycle : 89 - PI : JAMSTEC - Data mode : A - Platform type : NEMO - WMO inst type : 860 - FLOAT SERIAL : 170 - Date : 2012 1 24
Float : 2902446 - Cycle : 90 - PI : JAMSTEC - Data mode : A - Platform type : NEMO - WMO inst type : 860 - FLOAT SERIAL : 170 - Date : 2012 1 26
Float : 2902446 - Cycle : 91 - PI : JAMSTEC - Data mode : A - Platform type : NEMO - WMO inst type : 860 - FLOAT SERIAL : 170 - Date : 2012 1 28
Float : 2902446 - Cycle : 92 - PI : JAMSTEC - Data mode : A - Platform type : NEMO - WMO inst type : 860 - FLOAT SERIAL : 170 - Date : 2012 1 30
Float : 2902446 - Cycle : 93 - PI : JAMSTEC - Data mode : A - Platform type : NEMO - WMO inst type : 860 - FLOAT SERIAL : 170 - Date : 2012 2 1
Float : 2902446 - Cycle : 94 - PI : JAMSTEC - Data mode : A - Platform type : NEMO - WMO inst type : 860 - FLOAT SERIAL : 170 - Date : 2012 2 3
Float : 2902446 - Cycle : 95 - PI : JAMSTEC - Data mode : A - Platform type : NEMO - WMO inst type : 860 - FLOAT SERIAL : 170 - Date : 2012 2 5
Float : 2902446 - Cycle : 96 - PI : JAMSTEC - Data mode : A - Platform type : NEMO - WMO inst type : 860 - FLOAT SERIAL : 170 - Date : 2012 2 7
Float : 2902446 - Cycle : 97 - PI : JAMSTEC - Data mode : A - Platform type : NEMO - WMO inst type : 860 - FLOAT SERIAL : 170 - Date : 2012 2 9
Float : 2902446 - Cycle : 98 - PI : JAMSTEC - Data mode : A - Platform type : NEMO - WMO inst type : 860 - FLOAT SERIAL : 170 - Date : 2012 2 11
Float : 2902446 - Cycle : 99 - PI : JAMSTEC - Data mode : A - Platform type : NEMO - WMO inst type : 860 - FLOAT SERIAL : 170 - Date : 2012 2 13
Float : 2902446 - Cycle : 100 - PI : JAMSTEC - Data mode : A - Platform type : NEMO - WMO inst type : 860 - FLOAT SERIAL : 170 - Date : 2012 2 15
Float : 2902446 - Cycle : 106 - PI : JAMSTEC - Data mode : A - Platform type : NEMO - WMO inst type : 860 - FLOAT SERIAL : 170 - Date : 2012 2 27

Float : 2902446 - Cycle : 110 - PI : JAMSTEC - Data mode : A - Platform type : NEMO - WMO inst type : 860 - FLOAT SERIAL : 170 - Date : 2012 3 6
Float : 2902446 - Cycle : 111 - PI : JAMSTEC - Data mode : A - Platform type : NEMO - WMO inst type : 860 - FLOAT SERIAL : 170 - Date : 2012 3 8
Float : 2902446 - Cycle : 112 - PI : JAMSTEC - Data mode : A - Platform type : NEMO - WMO inst type : 860 - FLOAT SERIAL : 170 - Date : 2012 3 10
Float : 2902446 - Cycle : 113 - PI : JAMSTEC - Data mode : A - Platform type : NEMO - WMO inst type : 860 - FLOAT SERIAL : 170 - Date : 2012 3 12
Float : 2902446 - Cycle : 116 - PI : JAMSTEC - Data mode : A - Platform type : NEMO - WMO inst type : 860 - FLOAT SERIAL : 170 - Date : 2012 3 18
Float : 2902446 - Cycle : 119 - PI : JAMSTEC - Data mode : A - Platform type : NEMO - WMO inst type : 860 - FLOAT SERIAL : 170 - Date : 2012 3 24
Float : 2902446 - Cycle : 120 - PI : JAMSTEC - Data mode : A - Platform type : NEMO - WMO inst type : 860 - FLOAT SERIAL : 170 - Date : 2012 3 26
Float : 2902446 - Cycle : 121 - PI : JAMSTEC - Data mode : A - Platform type : NEMO - WMO inst type : 860 - FLOAT SERIAL : 170 - Date : 2012 3 28
Float : 2902446 - Cycle : 122 - PI : JAMSTEC - Data mode : A - Platform type : NEMO - WMO inst type : 860 - FLOAT SERIAL : 170 - Date : 2012 3 30
Float : 2902446 - Cycle : 123 - PI : JAMSTEC - Data mode : A - Platform type : NEMO - WMO inst type : 860 - FLOAT SERIAL : 170 - Date : 2012 4 1
Float : 2902446 - Cycle : 124 - PI : JAMSTEC - Data mode : A - Platform type : NEMO - WMO inst type : 860 - FLOAT SERIAL : 170 - Date : 2012 4 3
Float : 2902446 - Cycle : 125 - PI : JAMSTEC - Data mode : A - Platform type : NEMO - WMO inst type : 860 - FLOAT SERIAL : 170 - Date : 2012 4 5
Float : 2902446 - Cycle : 126 - PI : JAMSTEC - Data mode : A - Platform type : NEMO - WMO inst type : 860 - FLOAT SERIAL : 170 - Date : 2012 4 7
Float : 2902446 - Cycle : 127 - PI : JAMSTEC - Data mode : A - Platform type : NEMO - WMO inst type : 860 - FLOAT SERIAL : 170 - Date : 2012 4 9
Float : 2902446 - Cycle : 128 - PI : JAMSTEC - Data mode : A - Platform type : NEMO - WMO inst type : 860 - FLOAT SERIAL : 170 - Date : 2012 4 11
Float : 2902446 - Cycle : 129 - PI : JAMSTEC - Data mode : A - Platform type : NEMO - WMO inst type : 860 - FLOAT SERIAL : 170 - Date : 2012 4 13
Float : 2902446 - Cycle : 130 - PI : JAMSTEC - Data mode : A - Platform type : NEMO - WMO inst type : 860 - FLOAT SERIAL : 170 - Date : 2012 4 15
Float : 2902446 - Cycle : 131 - PI : JAMSTEC - Data mode : A - Platform type : NEMO - WMO inst type : 860 - FLOAT SERIAL : 170 - Date : 2012 4 17
Float : 2902446 - Cycle : 132 - PI : JAMSTEC - Data mode : A - Platform type : NEMO - WMO inst type : 860 - FLOAT SERIAL : 170 - Date : 2012 4 19
Float : 2902446 - Cycle : 133 - PI : JAMSTEC - Data mode : A - Platform type : NEMO - WMO inst type : 860 - FLOAT SERIAL : 170 - Date : 2012 4 21
Float : 2902446 - Cycle : 134 - PI : JAMSTEC - Data mode : A - Platform type : NEMO - WMO inst type : 860 - FLOAT SERIAL : 170 - Date : 2012 4 23
Float : 2902446 - Cycle : 135 - PI : JAMSTEC - Data mode : A - Platform type : NEMO - WMO inst type : 860 - FLOAT SERIAL : 170 - Date : 2012 4 25
Float : 2902446 - Cycle : 136 - PI : JAMSTEC - Data mode : A - Platform type : NEMO - WMO inst type : 860 - FLOAT SERIAL : 170 - Date : 2012 4 27
Float : 2902446 - Cycle : 137 - PI : JAMSTEC - Data mode : A - Platform type : NEMO - WMO inst type : 860 - FLOAT SERIAL : 170 - Date : 2012 4 29
Float : 2902446 - Cycle : 138 - PI : JAMSTEC - Data mode : A - Platform type : NEMO - WMO inst type : 860 - FLOAT SERIAL : 170 - Date : 2012 5 1
Float : 2902446 - Cycle : 139 - PI : JAMSTEC - Data mode : A - Platform type : NEMO - WMO inst type : 860 - FLOAT SERIAL : 170 - Date : 2012 5 3
Float : 2902446 - Cycle : 140 - PI : JAMSTEC - Data mode : A - Platform type : NEMO - WMO inst type : 860 - FLOAT SERIAL : 170 - Date : 2012 5 5
Float : 2902446 - Cycle : 141 - PI : JAMSTEC - Data mode : A - Platform type : NEMO - WMO inst type : 860 - FLOAT SERIAL : 170 - Date : 2012 5 7
Float : 2902446 - Cycle : 145 - PI : JAMSTEC - Data mode : A - Platform type : NEMO - WMO inst type : 860 - FLOAT SERIAL : 170 - Date : 2012 5 15
Float : 2902446 - Cycle : 150 - PI : JAMSTEC - Data mode : A - Platform type : NEMO - WMO inst type : 860 - FLOAT SERIAL : 170 - Date : 2012 6 26
Float : 2902446 - Cycle : 151 - PI : JAMSTEC - Data mode : A - Platform type : NEMO - WMO inst type : 860 - FLOAT SERIAL : 170 - Date : 2012 7 6
Float : 2902446 - Cycle : 152 - PI : JAMSTEC - Data mode : A - Platform type : NEMO - WMO inst type : 860 - FLOAT SERIAL : 170 - Date : 2012 7 16
Float : 2902446 - Cycle : 153 - PI : JAMSTEC - Data mode : A - Platform type : NEMO - WMO inst type : 860 - FLOAT SERIAL : 170 - Date : 2012 7 26
Float : 2902446 - Cycle : 155 - PI : JAMSTEC - Data mode : A - Platform type : NEMO - WMO inst type : 860 - FLOAT SERIAL : 170 - Date : 2012 8 15
Float : 2902446 - Cycle : 156 - PI : JAMSTEC - Data mode : A - Platform type : NEMO - WMO inst type : 860 - FLOAT SERIAL : 170 - Date : 2012 8 25
Float : 2902446 - Cycle : 157 - PI : JAMSTEC - Data mode : A - Platform type : NEMO - WMO inst type : 860 - FLOAT SERIAL : 170 - Date : 2012 9 4
Float : 2902446 - Cycle : 158 - PI : JAMSTEC - Data mode : A - Platform type : NEMO - WMO inst type : 860 - FLOAT SERIAL : 170 - Date : 2012 9 14
Float : 2902446 - Cycle : 159 - PI : JAMSTEC - Data mode : A - Platform type : NEMO - WMO inst type : 860 - FLOAT SERIAL : 170 - Date : 2012 9 24
Float : 2902446 - Cycle : 160 - PI : JAMSTEC - Data mode : A - Platform type : NEMO - WMO inst type : 860 - FLOAT SERIAL : 170 - Date : 2012 10 4
Float : 2902446 - Cycle : 161 - PI : JAMSTEC - Data mode : A - Platform type : NEMO - WMO inst type : 860 - FLOAT SERIAL : 170 - Date : 2012 10 14
Float : 2902446 - Cycle : 162 - PI : JAMSTEC - Data mode : A - Platform type : NEMO - WMO inst type : 860 - FLOAT SERIAL : 170 - Date : 2012 10 24
Float : 2902446 - Cycle : 163 - PI : JAMSTEC - Data mode : A - Platform type : NEMO - WMO inst type : 860 - FLOAT SERIAL : 170 - Date : 2012 11 3
Float : 2902450 - Cycle : 104 - PI : JAMSTEC - Data mode : A - Platform type : NEMO - WMO inst type : 860 - FLOAT SERIAL : 163 - Date : 2012 2 23
Float : 2902450 - Cycle : 106 - PI : JAMSTEC - Data mode : A - Platform type : NEMO - WMO inst type : 860 - FLOAT SERIAL : 163 - Date : 2012 2 27
Float : 2902450 - Cycle : 108 - PI : JAMSTEC - Data mode : A - Platform type : NEMO - WMO inst type : 860 - FLOAT SERIAL : 163 - Date : 2012 3 2
Float : 2902450 - Cycle : 111 - PI : JAMSTEC - Data mode : A - Platform type : NEMO - WMO inst type : 860 - FLOAT SERIAL : 163 - Date : 2012 3 8
Float : 2902450 - Cycle : 112 - PI : JAMSTEC - Data mode : A - Platform type : NEMO - WMO inst type : 860 - FLOAT SERIAL : 163 - Date : 2012 3 10
Float : 2902450 - Cycle : 113 - PI : JAMSTEC - Data mode : A - Platform type : NEMO - WMO inst type : 860 - FLOAT SERIAL : 163 - Date : 2012 3 12
Float : 2902450 - Cycle : 114 - PI : JAMSTEC - Data mode : A - Platform type : NEMO - WMO inst type : 860 - FLOAT SERIAL : 163 - Date : 2012 3 14
Float : 2902450 - Cycle : 115 - PI : JAMSTEC - Data mode : A - Platform type : NEMO - WMO inst type : 860 - FLOAT SERIAL : 163 - Date : 2012 3 16
Float : 2902450 - Cycle : 116 - PI : JAMSTEC - Data mode : A - Platform type : NEMO - WMO inst type : 860 - FLOAT SERIAL : 163 - Date : 2012 3 18
Float : 2902450 - Cycle : 119 - PI : JAMSTEC - Data mode : A - Platform type : NEMO - WMO inst type : 860 - FLOAT SERIAL : 163 - Date : 2012 3 24
Float : 2902450 - Cycle : 120 - PI : JAMSTEC - Data mode : A - Platform type : NEMO - WMO inst type : 860 - FLOAT SERIAL : 163 - Date : 2012 3 26
Float : 2902450 - Cycle : 122 - PI : JAMSTEC - Data mode : A - Platform type : NEMO - WMO inst type : 860 - FLOAT SERIAL : 163 - Date : 2012 3 30
Float : 2902450 - Cycle : 124 - PI : JAMSTEC - Data mode : A - Platform type : NEMO - WMO inst type : 860 - FLOAT SERIAL : 163 - Date : 2012 4 3
Float : 2902450 - Cycle : 125 - PI : JAMSTEC - Data mode : A - Platform type : NEMO - WMO inst type : 860 - FLOAT SERIAL : 163 - Date : 2012 4 5
Float : 2902450 - Cycle : 126 - PI : JAMSTEC - Data mode : A - Platform type : NEMO - WMO inst type : 860 - FLOAT SERIAL : 163 - Date : 2012 4 7
Float : 2902450 - Cycle : 129 - PI : JAMSTEC - Data mode : A - Platform type : NEMO - WMO inst type : 860 - FLOAT SERIAL : 163 - Date : 2012 4 13
Float : 2902535 - Cycle : 126 - PI : JAMSTEC - Data mode : A - Platform type : NAVIS_A - WMO inst type : 863 - FLOAT SERIAL : 0418 - Date : 2018 7 14
Float : 2902995 - Cycle : 108 - PI : JMA - Data mode : R - Platform type : ARVOR - WMO inst type : 844 - FLOAT SERIAL : OIN-15JAP-ARL-21 - Date : 2019 5 30
Float : 2902995 - Cycle : 109 - PI : JMA - Data mode : R - Platform type : ARVOR - WMO inst type : 844 - FLOAT SERIAL : OIN-15JAP-ARL-21 - Date : 2019 6 4
Float : 2902995 - Cycle : 110 - PI : JMA - Data mode : R - Platform type : ARVOR - WMO inst type : 844 - FLOAT SERIAL : OIN-15JAP-ARL-21 - Date : 2019 6 9
Float : 2903203 - Cycle : 67 - PI : JMA - Data mode : R - Platform type : ARVOR - WMO inst type : 844 - FLOAT SERIAL : AK - Date : 2018 8 1
Float : 2903203 - Cycle : 68 - PI : JMA - Data mode : R - Platform type : ARVOR - WMO inst type : 844 - FLOAT SERIAL : AK - Date : 2018 8 6
Float : 2903203 - Cycle : 69 - PI : JMA - Data mode : R - Platform type : ARVOR - WMO inst type : 844 - FLOAT SERIAL : AK - Date : 2018 8 11
Float : 2903203 - Cycle : 70 - PI : JMA - Data mode : R - Platform type : ARVOR - WMO inst type : 844 - FLOAT SERIAL : AK - Date : 2018 8 16
Float : 2903203 - Cycle : 71 - PI : JMA - Data mode : R - Platform type : ARVOR - WMO inst type : 844 - FLOAT SERIAL : AK - Date : 2018 8 21
Float : 2903203 - Cycle : 76 - PI : JMA - Data mode : R - Platform type : ARVOR - WMO inst type : 844 - FLOAT SERIAL : AK - Date : 2018 9 15
Float : 2903203 - Cycle : 77 - PI : JMA - Data mode : R - Platform type : ARVOR - WMO inst type : 844 - FLOAT SERIAL : AK - Date : 2018 9 20
Float : 2903203 - Cycle : 78 - PI : JMA - Data mode : R - Platform type : ARVOR - WMO inst type : 844 - FLOAT SERIAL : AK - Date : 2018 9 25
Float : 2903203 - Cycle : 79 - PI : JMA - Data mode : R - Platform type : ARVOR - WMO inst type : 844 - FLOAT SERIAL : AK - Date : 2018 9 30
Float : 2903203 - Cycle : 80 - PI : JMA - Data mode : R - Platform type : ARVOR - WMO inst type : 844 - FLOAT SERIAL : AK - Date : 2018 10 5
Float : 2903203 - Cycle : 81 - PI : JMA - Data mode : R - Platform type : ARVOR - WMO inst type : 844 - FLOAT SERIAL : AK - Date : 2018 10 10
Float : 2903203 - Cycle : 82 - PI : JMA - Data mode : R - Platform type : ARVOR - WMO inst type : 844 - FLOAT SERIAL : AK - Date : 2018 10 15

Float : 2903203 - Cycle : 83 - PI : JMA - Data mode : R - Platform type : ARVOR - WMO inst type : 844 - FLOAT SERIAL : AK - Date : 2018 10 20
Float : 2903203 - Cycle : 84 - PI : JMA - Data mode : R - Platform type : ARVOR - WMO inst type : 844 - FLOAT SERIAL : AK - Date : 2018 10 25
Float : 2903203 - Cycle : 85 - PI : JMA - Data mode : R - Platform type : ARVOR - WMO inst type : 844 - FLOAT SERIAL : AK - Date : 2018 10 30
Float : 2903203 - Cycle : 86 - PI : JMA - Data mode : R - Platform type : ARVOR - WMO inst type : 844 - FLOAT SERIAL : AK - Date : 2018 11 4
Float : 2903203 - Cycle : 87 - PI : JMA - Data mode : R - Platform type : ARVOR - WMO inst type : 844 - FLOAT SERIAL : AK - Date : 2018 11 9
Float : 2903203 - Cycle : 88 - PI : JMA - Data mode : R - Platform type : ARVOR - WMO inst type : 844 - FLOAT SERIAL : AK - Date : 2018 11 14
Float : 2903203 - Cycle : 89 - PI : JMA - Data mode : R - Platform type : ARVOR - WMO inst type : 844 - FLOAT SERIAL : AK - Date : 2018 11 19
Float : 2903203 - Cycle : 90 - PI : JMA - Data mode : R - Platform type : ARVOR - WMO inst type : 844 - FLOAT SERIAL : AK - Date : 2018 11 24
Float : 2903206 - Cycle : 404 - PI : JAMSTEC - Data mode : A - Platform type : NAVIS_A - WMO inst type : 863 - FLOAT SERIAL : 0673 - Date : 2018 10 17
Float : 2903212 - Cycle : 45 - PI : JAMSTEC - Data mode : R - Platform type : APEX_D - WMO inst type : 849 - FLOAT SERIAL : 29 - Date : 2019 4 30
Float : 2903212 - Cycle : 46 - PI : JAMSTEC - Data mode : R - Platform type : APEX_D - WMO inst type : 849 - FLOAT SERIAL : 29 - Date : 2019 5 15
Float : 2903212 - Cycle : 47 - PI : JAMSTEC - Data mode : R - Platform type : APEX_D - WMO inst type : 849 - FLOAT SERIAL : 29 - Date : 2019 5 30
Float : 2903212 - Cycle : 48 - PI : JAMSTEC - Data mode : R - Platform type : APEX_D - WMO inst type : 849 - FLOAT SERIAL : 29 - Date : 2019 6 14
Float : 2903350 - Cycle : 1 - PI : JAMSTEC - Data mode : R - Platform type : APEX - WMO inst type : 846 - FLOAT SERIAL : 8089 - Date : 2018 7 13
Float : 2903356 - Cycle : 26 - PI : JAMSTEC - Data mode : R - Platform type : APEX - WMO inst type : 846 - FLOAT SERIAL : 8266 - Date : 2019 6 10
Float : 4902137 - Cycle : 212 - PI : JAMSTEC - Data mode : A - Platform type : NAVIS_A - WMO inst type : 863 - FLOAT SERIAL : 0355 - Date : 2018 12 4
Float : 4902981 - Cycle : 5 - PI : JAMSTEC - Data mode : R - Platform type : APEX - WMO inst type : 846 - FLOAT SERIAL : 8265 - Date : 2018 9 22

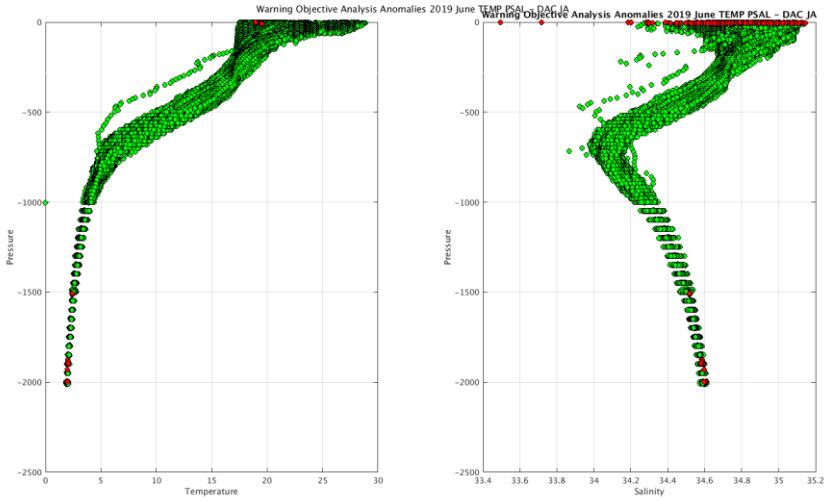

The list of the anomalies can be found at ftp://ftp.ifremer.fr/ifremer/argo/etc/ObjectiveAnalysisWarning/jma/

Example of anomalies:

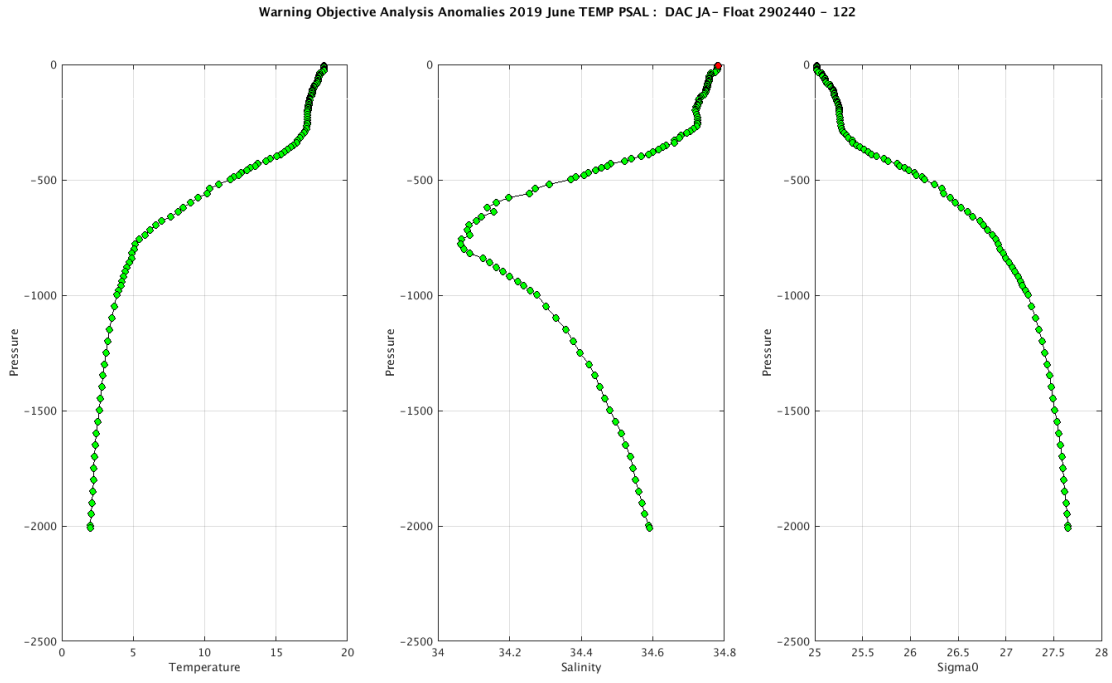

4.7. DAC KMA

Profiles detected by the objective analysis: 55 profiles (7 floats – float can have several cycles with anomalies)

Data_mode =’R’	Data_mode =’A’	Data_mode =’D’
52 cycles	3 cycles	0 cycle

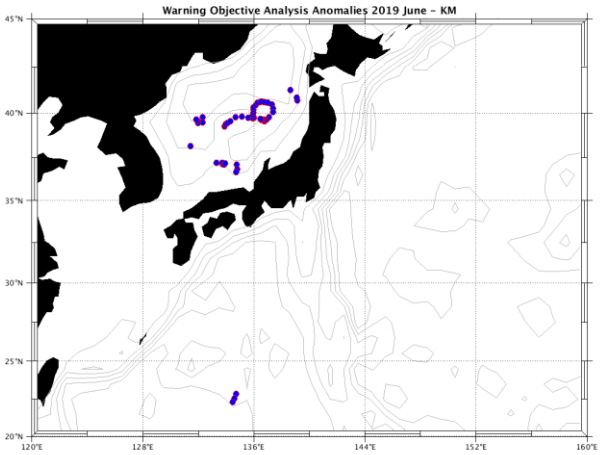

Status of corrections: Correction not done for all, few feedbacks

Float : 2901744 - Cycle : 210 - PI : ByungHwan Lim - Data mode : R - Platform type : APEX - WMO inst type : 846 - FLOAT SERIAL : n/a - Date : 2019 5 30
Float : 2901744 - Cycle : 211 - PI : ByungHwan Lim - Data mode : A - Platform type : APEX - WMO inst type : 846 - FLOAT SERIAL : n/a - Date : 2019 6 6
Float : 2901744 - Cycle : 212 - PI : ByungHwan Lim - Data mode : A - Platform type : APEX - WMO inst type : 846 - FLOAT SERIAL : n/a - Date : 2019 6 13
Float : 2901744 - Cycle : 213 - PI : ByungHwan Lim - Data mode : A - Platform type : APEX - WMO inst type : 846 - FLOAT SERIAL : n/a - Date : 2019 6 20
Float : 2901758 - Cycle : 70 - PI : Jaeyoung Byon - Data mode : R - Platform type : ARVOR - WMO inst type : 846 - FLOAT SERIAL : n/a - Date : 2018 8 29
Float : 2901758 - Cycle : 94 - PI : Jaeyoung Byon - Data mode : R - Platform type : ARVOR - WMO inst type : 846 - FLOAT SERIAL : n/a - Date : 2019 6 5
Float : 2901758 - Cycle : 95 - PI : Jaeyoung Byon - Data mode : R - Platform type : ARVOR - WMO inst type : 846 - FLOAT SERIAL : n/a - Date : 2019 6 15
Float : 2901758 - Cycle : 96 - PI : Jaeyoung Byon - Data mode : R - Platform type : ARVOR - WMO inst type : 846 - FLOAT SERIAL : n/a - Date : 2019 6 25
Float : 2901759 - Cycle : 104 - PI : Jaeyoung Byon - Data mode : R - Platform type : ARVOR - WMO inst type : 846 - FLOAT SERIAL : n/a - Date : 2019 6 5
Float : 2901759 - Cycle : 105 - PI : Jaeyoung Byon - Data mode : R - Platform type : ARVOR - WMO inst type : 846 - FLOAT SERIAL : n/a - Date : 2019 6 15
Float : 2901759 - Cycle : 106 - PI : Jaeyoung Byon - Data mode : R - Platform type : ARVOR - WMO inst type : 846 - FLOAT SERIAL : n/a - Date : 2019 6 25
Float : 2901760 - Cycle : 104 - PI : Jaeyoung Byon - Data mode : R - Platform type : ARVOR - WMO inst type : 846 - FLOAT SERIAL : n/a - Date : 2019 6 6
Float : 2901760 - Cycle : 105 - PI : Jaeyoung Byon - Data mode : R - Platform type : ARVOR - WMO inst type : 846 - FLOAT SERIAL : n/a - Date : 2019 6 16
Float : 2901760 - Cycle : 106 - PI : Jaeyoung Byon - Data mode : R - Platform type : ARVOR - WMO inst type : 846 - FLOAT SERIAL : n/a - Date : 2019 6 26
Float : 2901776 - Cycle : 22 - PI : Hyunsuk Kang - Data mode : R - Platform type : APEX - WMO inst type : 846 - FLOAT SERIAL : n/a - Date : 2018 10 20
Float : 2901776 - Cycle : 23 - PI : Hyunsuk Kang - Data mode : R - Platform type : APEX - WMO inst type : 846 - FLOAT SERIAL : n/a - Date : 2018 10 27
Float : 2901776 - Cycle : 24 - PI : Hyunsuk Kang - Data mode : R - Platform type : APEX - WMO inst type : 846 - FLOAT SERIAL : n/a - Date : 2018 11 3
Float : 2901776 - Cycle : 25 - PI : Hyunsuk Kang - Data mode : R - Platform type : APEX - WMO inst type : 846 - FLOAT SERIAL : n/a - Date : 2018 11 10
Float : 2901776 - Cycle : 26 - PI : Hyunsuk Kang - Data mode : R - Platform type : APEX - WMO inst type : 846 - FLOAT SERIAL : n/a - Date : 2018 11 17
Float : 2901785 - Cycle : 16 - PI : KiRyong Kang - Data mode : R - Platform type : ARVOR - WMO inst type : 846 - FLOAT SERIAL : n/a - Date : 2018 11 1
Float : 2901786 - Cycle : 192 - PI : KiRyong Kang - Data mode : R - Platform type : ARVOR - WMO inst type : 846 - FLOAT SERIAL : n/a - Date : 2019 5 23
Float : 2901786 - Cycle : 193 - PI : KiRyong Kang - Data mode : R - Platform type : ARVOR - WMO inst type : 846 - FLOAT SERIAL : n/a - Date : 2019 5 24
Float : 2901786 - Cycle : 194 - PI : KiRyong Kang - Data mode : R - Platform type : ARVOR - WMO inst type : 846 - FLOAT SERIAL : n/a - Date : 2019 5 25
Float : 2901786 - Cycle : 195 - PI : KiRyong Kang - Data mode : R - Platform type : ARVOR - WMO inst type : 846 - FLOAT SERIAL : n/a - Date : 2019 5 26
Float : 2901786 - Cycle : 196 - PI : KiRyong Kang - Data mode : R - Platform type : ARVOR - WMO inst type : 846 - FLOAT SERIAL : n/a - Date : 2019 5 27
Float : 2901786 - Cycle : 197 - PI : KiRyong Kang - Data mode : R - Platform type : ARVOR - WMO inst type : 846 - FLOAT SERIAL : n/a - Date : 2019 5 28
Float : 2901786 - Cycle : 198 - PI : KiRyong Kang - Data mode : R - Platform type : ARVOR - WMO inst type : 846 - FLOAT SERIAL : n/a - Date : 2019 5 29
Float : 2901786 - Cycle : 199 - PI : KiRyong Kang - Data mode : R - Platform type : ARVOR - WMO inst type : 846 - FLOAT SERIAL : n/a - Date : 2019 5 30
Float : 2901786 - Cycle : 200 - PI : KiRyong Kang - Data mode : R - Platform type : ARVOR - WMO inst type : 846 - FLOAT SERIAL : n/a - Date : 2019 5 31
Float : 2901786 - Cycle : 201 - PI : KiRyong Kang - Data mode : R - Platform type : ARVOR - WMO inst type : 846 - FLOAT SERIAL : n/a - Date : 2019 6 1
Float : 2901786 - Cycle : 202 - PI : KiRyong Kang - Data mode : R - Platform type : ARVOR - WMO inst type : 846 - FLOAT SERIAL : n/a - Date : 2019 6 2
Float : 2901786 - Cycle : 203 - PI : KiRyong Kang - Data mode : R - Platform type : ARVOR - WMO inst type : 846 - FLOAT SERIAL : n/a - Date : 2019 6 3
Float : 2901786 - Cycle : 204 - PI : KiRyong Kang - Data mode : R - Platform type : ARVOR - WMO inst type : 846 - FLOAT SERIAL : n/a - Date : 2019 6 4
Float : 2901786 - Cycle : 205 - PI : KiRyong Kang - Data mode : R - Platform type : ARVOR - WMO inst type : 846 - FLOAT SERIAL : n/a - Date : 2019 6 5
Float : 2901786 - Cycle : 206 - PI : KiRyong Kang - Data mode : R - Platform type : ARVOR - WMO inst type : 846 - FLOAT SERIAL : n/a - Date : 2019 6 6
Float : 2901786 - Cycle : 207 - PI : KiRyong Kang - Data mode : R - Platform type : ARVOR - WMO inst type : 846 - FLOAT SERIAL : n/a - Date : 2019 6 7
Float : 2901786 - Cycle : 208 - PI : KiRyong Kang - Data mode : R - Platform type : ARVOR - WMO inst type : 846 - FLOAT SERIAL : n/a - Date : 2019 6 8
Float : 2901786 - Cycle : 209 - PI : KiRyong Kang - Data mode : R - Platform type : ARVOR - WMO inst type : 846 - FLOAT SERIAL : n/a - Date : 2019 6 9
Float : 2901786 - Cycle : 210 - PI : KiRyong Kang - Data mode : R - Platform type : ARVOR - WMO inst type : 846 - FLOAT SERIAL : n/a - Date : 2019 6 10

Float : 2901786 - Cycle : 211 - PI : KiRyong Kang - Data mode : R - Platform type : ARVOR - WMO inst type : 846 - FLOAT SERIAL : n/a - Date : 2019 6 11
Float : 2901786 - Cycle : 212 - PI : KiRyong Kang - Data mode : R - Platform type : ARVOR - WMO inst type : 846 - FLOAT SERIAL : n/a - Date : 2019 6 12
Float : 2901786 - Cycle : 213 - PI : KiRyong Kang - Data mode : R - Platform type : ARVOR - WMO inst type : 846 - FLOAT SERIAL : n/a - Date : 2019 6 13
Float : 2901786 - Cycle : 214 - PI : KiRyong Kang - Data mode : R - Platform type : ARVOR - WMO inst type : 846 - FLOAT SERIAL : n/a - Date : 2019 6 14
Float : 2901786 - Cycle : 215 - PI : KiRyong Kang - Data mode : R - Platform type : ARVOR - WMO inst type : 846 - FLOAT SERIAL : n/a - Date : 2019 6 15
Float : 2901786 - Cycle : 216 - PI : KiRyong Kang - Data mode : R - Platform type : ARVOR - WMO inst type : 846 - FLOAT SERIAL : n/a - Date : 2019 6 16
Float : 2901786 - Cycle : 217 - PI : KiRyong Kang - Data mode : R - Platform type : ARVOR - WMO inst type : 846 - FLOAT SERIAL : n/a - Date : 2019 6 17
Float : 2901786 - Cycle : 218 - PI : KiRyong Kang - Data mode : R - Platform type : ARVOR - WMO inst type : 846 - FLOAT SERIAL : n/a - Date : 2019 6 18
Float : 2901786 - Cycle : 219 - PI : KiRyong Kang - Data mode : R - Platform type : ARVOR - WMO inst type : 846 - FLOAT SERIAL : n/a - Date : 2019 6 19
Float : 2901786 - Cycle : 220 - PI : KiRyong Kang - Data mode : R - Platform type : ARVOR - WMO inst type : 846 - FLOAT SERIAL : n/a - Date : 2019 6 20
Float : 2901786 - Cycle : 221 - PI : KiRyong Kang - Data mode : R - Platform type : ARVOR - WMO inst type : 846 - FLOAT SERIAL : n/a - Date : 2019 6 21
Float : 2901786 - Cycle : 222 - PI : KiRyong Kang - Data mode : R - Platform type : ARVOR - WMO inst type : 846 - FLOAT SERIAL : n/a - Date : 2019 6 22
Float : 2901786 - Cycle : 223 - PI : KiRyong Kang - Data mode : R - Platform type : ARVOR - WMO inst type : 846 - FLOAT SERIAL : n/a - Date : 2019 6 23
Float : 2901786 - Cycle : 224 - PI : KiRyong Kang - Data mode : R - Platform type : ARVOR - WMO inst type : 846 - FLOAT SERIAL : n/a - Date : 2019 6 24
Float : 2901786 - Cycle : 225 - PI : KiRyong Kang - Data mode : R - Platform type : ARVOR - WMO inst type : 846 - FLOAT SERIAL : n/a - Date : 2019 6 25
Float : 2901786 - Cycle : 226 - PI : KiRyong Kang - Data mode : R - Platform type : ARVOR - WMO inst type : 846 - FLOAT SERIAL : n/a - Date : 2019 6 26

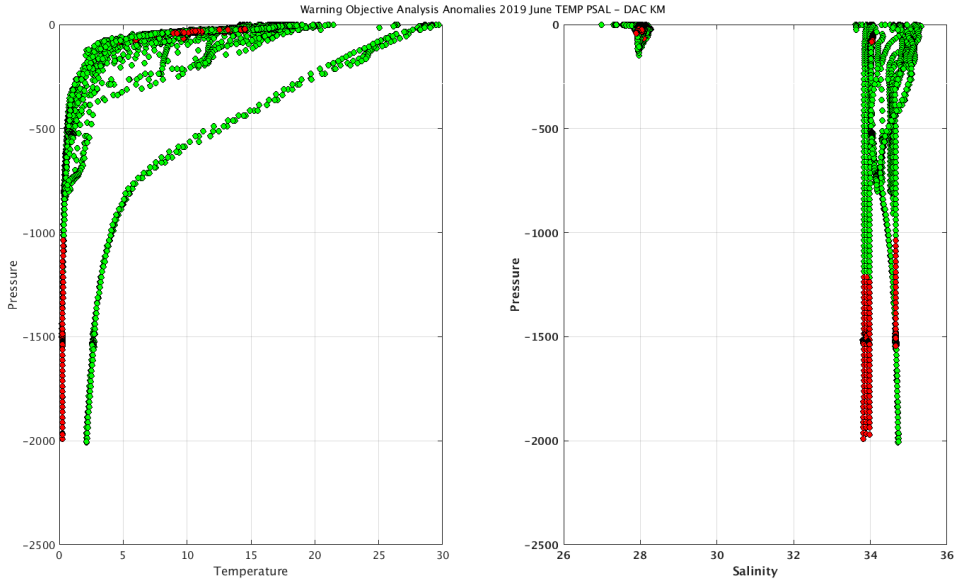

The list of the anomalies can be found at ftp://ftp.ifremer.fr/ifremer/argo/etc/ObjectiveAnalysisWarning/kma/

Example of anomalies:

Delayed Mode anomalies (adjusted fields) – date mode =’A’ or ‘D’

- Error on salinity_adjusted 0.000 ?? floats 2900170 – 2900171

netcdf D2900171_067 {

PSAL_ADJUSTED_ERROR =
0.000, 0.000, 0.000, 0.000, 0.000, 0.000, ……

Mix of R (cycles 001 -024-025) and D files for float 2900171

D2900171_002.nc	D2900171_010.nc	D2900171_018.nc	D2900171_028.nc	D2900171_036.nc	D2900171_044.nc	D2900171_052.nc	D2900171_060.nc	D2900171_068.nc
D2900171_003.nc	D2900171_011.nc	D2900171_019.nc	D2900171_029.nc	D2900171_037.nc	D2900171_045.nc	D2900171_053.nc	D2900171_061.nc	D2900171_069.nc
D2900171_004.nc	D2900171_012.nc	D2900171_020.nc	D2900171_030.nc	D2900171_038.nc	D2900171_046.nc	D2900171_054.nc	D2900171_062.nc	D2900171_070.nc
D2900171_005.nc	D2900171_013.nc	D2900171_021.nc	D2900171_031.nc	D2900171_039.nc	D2900171_047.nc	D2900171_055.nc	D2900171_063.nc	D2900171_071.nc
D2900171_006.nc	D2900171_014.nc	D2900171_022.nc	D2900171_032.nc	D2900171_040.nc	D2900171_048.nc	D2900171_056.nc	D2900171_064.nc	R2900171_001.nc
D2900171_007.nc	D2900171_015.nc	D2900171_023.nc	D2900171_033.nc	D2900171_041.nc	D2900171_049.nc	D2900171_057.nc	D2900171_065.nc	R2900171_024.nc
D2900171_008.nc	D2900171_016.nc	D2900171_026.nc	D2900171_034.nc	D2900171_042.nc	D2900171_050.nc	D2900171_058.nc	D2900171_066.nc	R2900171_025.nc
D2900171_009.nc	D2900171_017.nc	D2900171_027.nc	D2900171_035.nc	D2900171_043.nc	D2900171_051.nc	D2900171_059.nc	D2900171_067.nc	

4.8. DAC KORDI/KIOST

Profiles detected by the objective analysis: 10 profiles (4 floats – float can have several cycles with anomalies)

Data_mode =’R’	Data_mode =’A’	Data_mode =’D’
0 cycle	10 cycles	0 cycle

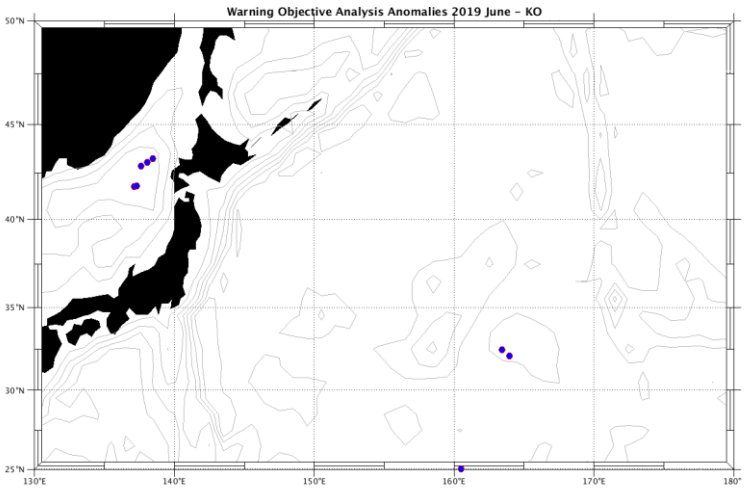

Status of corrections: No correction, few feedbacks.

Float : 2900451 - Cycle : 505 - PI : Moon-Sik Suk - Data mode : A - Platform type : APEX - WMO inst type : 846 - FLOAT SERIAL : 1539 - Date : 2018 8 5
Float : 2900451 - Cycle : 506 - PI : Moon-Sik Suk - Data mode : A - Platform type : APEX - WMO inst type : 846 - FLOAT SERIAL : 1539 - Date : 2018 8 15
Float : 2900451 - Cycle : 507 - PI : Moon-Sik Suk - Data mode : A - Platform type : APEX - WMO inst type : 846 - FLOAT SERIAL : 1539 - Date : 2018 8 25
Float : 2900451 - Cycle : 515 - PI : Moon-Sik Suk - Data mode : A - Platform type : APEX - WMO inst type : 846 - FLOAT SERIAL : 1539 - Date : 2018 11 13
Float : 2900451 - Cycle : 516 - PI : Moon-Sik Suk - Data mode : A - Platform type : APEX - WMO inst type : 846 - FLOAT SERIAL : 1539 - Date : 2018 11 23
Float : 2901779 - Cycle : 49 - PI : Sung-Dae KIM - Data mode : A - Platform type : APEX - WMO inst type : 846 - FLOAT SERIAL : 7984 - Date : 2018 7 2
Float : 2901779 - Cycle : 55 - PI : Sung-Dae KIM - Data mode : A - Platform type : APEX - WMO inst type : 846 - FLOAT SERIAL : 7984 - Date : 2018 8 1
Float : 3900197 - Cycle : 156 - PI : Moon-Sik Suk - Data mode : A - INST REF : APEX-SBE 1157 - Date : 2008 3 2
Float : 3900197 - Cycle : 157 - PI : Moon-Sik Suk - Data mode : A - INST REF : APEX-SBE 1157 - Date : 2008 3 12
Float : 3900198 - Cycle : 32 - PI : Moon-Sik Suk - Data mode : A - Platform type : APEX - WMO inst type : 846 - FLOAT SERIAL : 7984 - Date : 2008 3 12

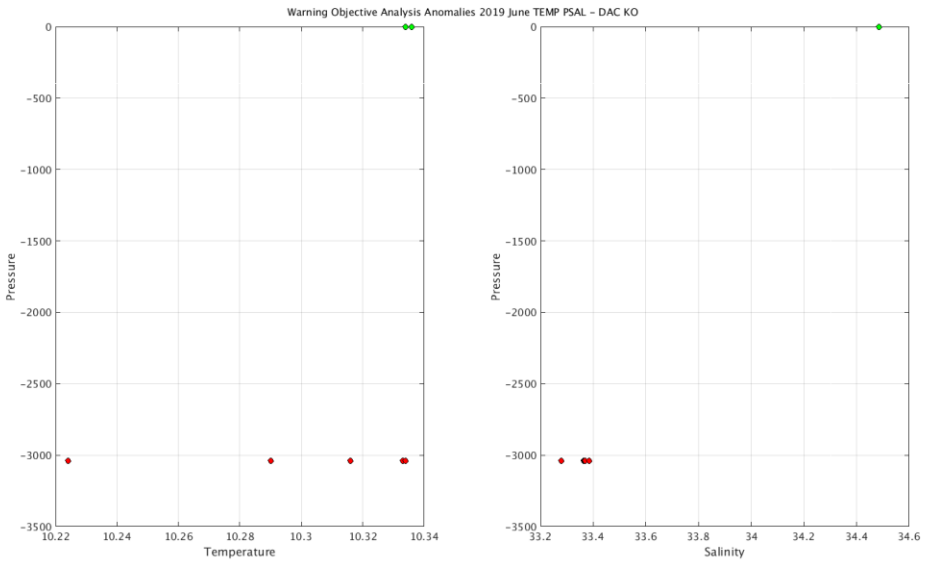

The list of the anomalies can be found at ftp://ftp.ifremer.fr/ifremer/argo/etc/ObjectiveAnalysisWarning/kordi/

Example of anomalies:

Warning Objective Analysis Anomalies 2019 June TEMP PSAL : DAC KO- Float 2900451 - 507

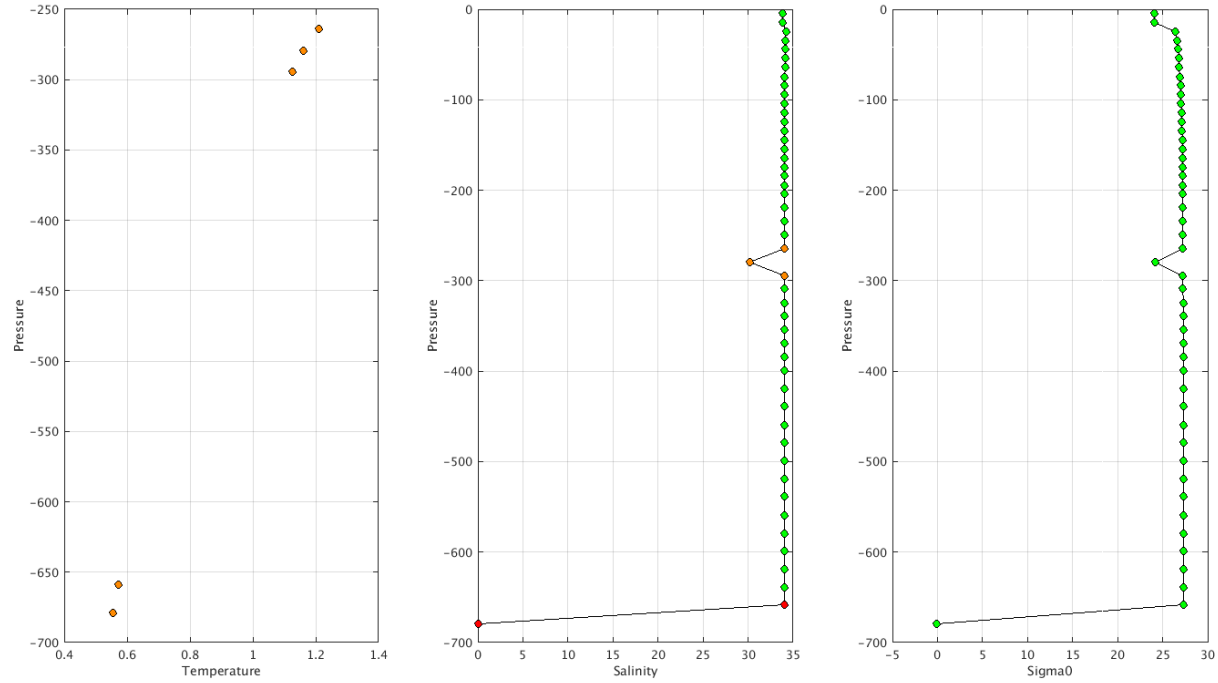

Warning Objective Analysis Anomalies 2019 June TEMP PSAL : DAC KO- Float 2901779 - 49

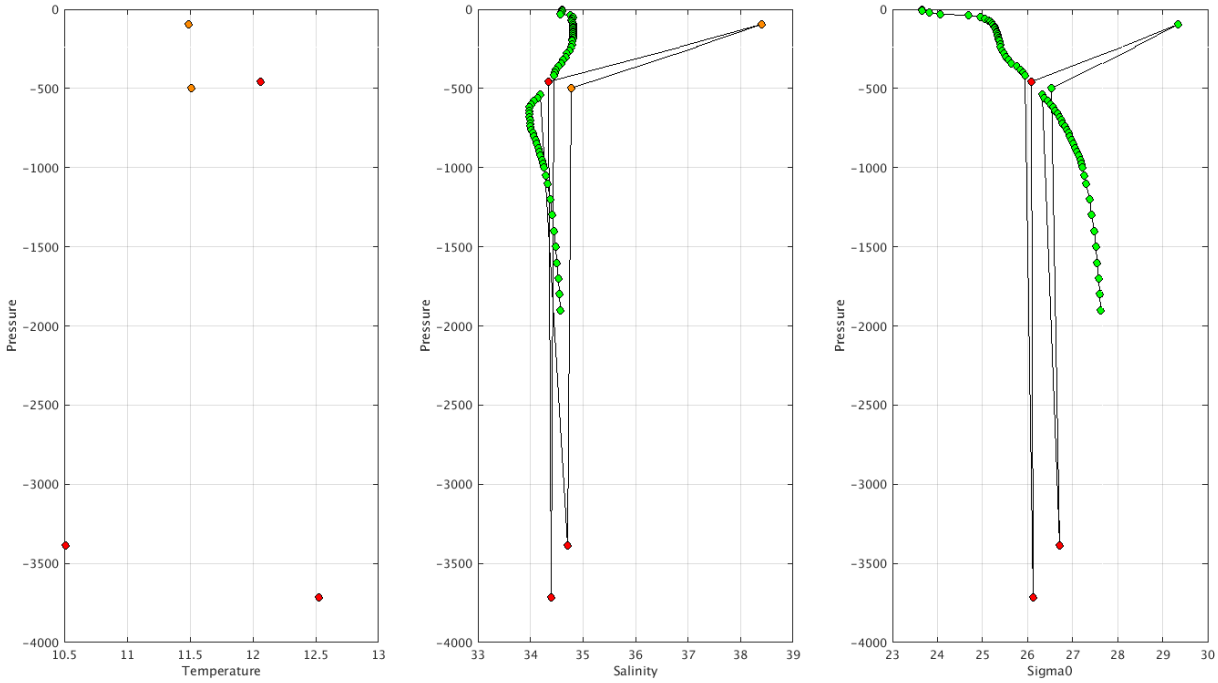

4.9. DAC MEDS

Profiles detected by the objective analysis: 28 profiles (7 floats – float can have several cycles with anomalies)

Data_mode =’R’	Data_mode =’A’	Data_mode =’D’
0 cycle	4 cycles	7 cycles

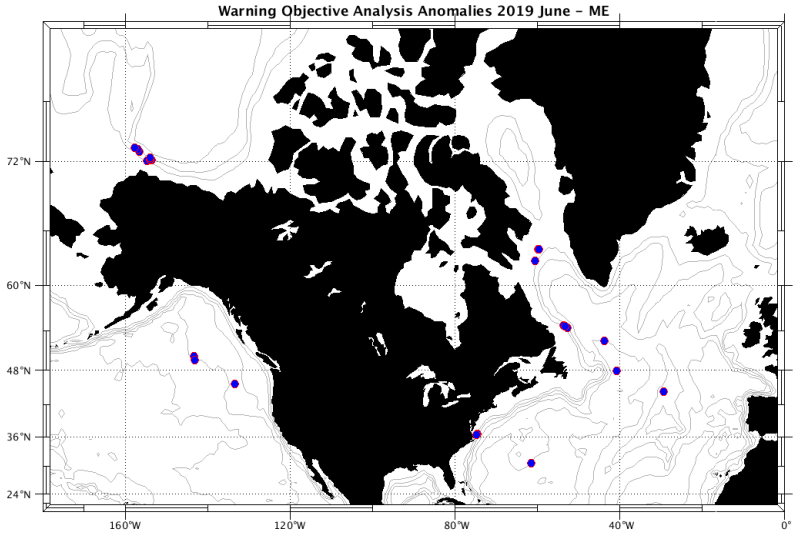

Status of corrections: Correction done or in progress, feedback

Float : 4901772 - Cycle : 123 - PI : Blair Greenan - Data mode : A - Platform type : NOVA - WMO inst type : 865 - FLOAT SERIAL : 188 - Date : 2018 11 16
Float : 4901786 - Cycle : 92 - PI : Blair Greenan - Data mode : A - Platform type : NOVA - WMO inst type : 865 - FLOAT SERIAL : 202 - Date : 2018 8 24
Float : 4901786 - Cycle : 96 - PI : Blair Greenan - Data mode : A - Platform type : NOVA - WMO inst type : 865 - FLOAT SERIAL : 202 - Date : 2018 10 3
Float : 4901816 - Cycle : 89 - PI : Blair Greenan - Data mode : A - Platform type : NOVA - WMO inst type : 865 - FLOAT SERIAL : 322 - Date : 2018 10 28
Float : 4902381 - Cycle : 68 - PI : Blair Greenan - Data mode : D - Platform type : NOVA - WMO inst type : 865 - FLOAT SERIAL : 335 - Date : 2018 10 1
Float : 4902391 - Cycle : 48 - PI : Blair Greenan - Data mode : D - Platform type : NOVA - WMO inst type : 865 - FLOAT SERIAL : 427 - Date : 2018 8 19
Float : 4902391 - Cycle : 53 - PI : Blair Greenan - Data mode : A - Platform type : NOVA - WMO inst type : 865 - FLOAT SERIAL : 427 - Date : 2018 10 8
Float : 4902398 - Cycle : 44 - PI : Blair Greenan - Data mode : A - Platform type : NOVA - WMO inst type : 865 - FLOAT SERIAL : 434 - Date : 2018 11 24
Float : 4902399 - Cycle : 32 - PI : Blair Greenan - Data mode : D - Platform type : NOVA - WMO inst type : 865 - FLOAT SERIAL : 435 - Date : 2018 7 27
Float : 4902410 - Cycle : 59 - PI : Blair Greenan - Data mode : A - Platform type : NOVA - WMO inst type : 865 - FLOAT SERIAL : 446 - Date : 2018 10 19
Float : 4902412 - Cycle : 42 - PI : Blair Greenan - Data mode : A - Platform type : NOVA - WMO inst type : 865 - FLOAT SERIAL : 448 - Date : 2018 10 5
Float : 4902426 - Cycle : 433 - PI : Fraser Davidson - Data mode : A - Platform type : NOVA - WMO inst type : 865 - FLOAT SERIAL : 491 - Date : 2018 10 29
Float : 4902426 - Cycle : 434 - PI : Fraser Davidson - Data mode : A - Platform type : NOVA - WMO inst type : 865 - FLOAT SERIAL : 491 - Date : 2018 10 30
Float : 4902427 - Cycle : 38 - PI : Fraser Davidson - Data mode : A - Platform type : NOVA - WMO inst type : 865 - FLOAT SERIAL : 466 - Date : 2018 9 26
Float : 4902429 - Cycle : 1 - PI : Blair Greenan - Data mode : D - Platform type : NOVA - WMO inst type : 865 - FLOAT SERIAL : 468 - Date : 2018 8 22
Float : 4902429 - Cycle : 25 - PI : Blair Greenan - Data mode : D - Platform type : NOVA - WMO inst type : 865 - FLOAT SERIAL : 468 - Date : 2018 9 15
Float : 4902429 - Cycle : 7 - PI : Blair Greenan - Data mode : D - Platform type : NOVA - WMO inst type : 865 - FLOAT SERIAL : 468 - Date : 2018 8 28
Float : 4902431 - Cycle : 39 - PI : Blair Greenan - Data mode : A - Platform type : NOVA - WMO inst type : 865 - FLOAT SERIAL : 470 - Date : 2018 9 26
Float : 4902431 - Cycle : 46 - PI : Fraser Davidson - Data mode : A - Platform type : NOVA - WMO inst type : 865 - FLOAT SERIAL : 470 - Date : 2018 10 3
Float : 4902431 - Cycle : 59 - PI : Fraser Davidson - Data mode : A - Platform type : NOVA - WMO inst type : 865 - FLOAT SERIAL : 470 - Date : 2018 10 16
Float : 4902431 - Cycle : 64 - PI : Fraser Davidson - Data mode : A - Platform type : NOVA - WMO inst type : 865 - FLOAT SERIAL : 470 - Date : 2018 10 21
Float : 4902431 - Cycle : 65 - PI : Fraser Davidson - Data mode : A - Platform type : NOVA - WMO inst type : 865 - FLOAT SERIAL : 470 - Date : 2018 10 22
Float : 4902431 - Cycle : 66 - PI : Fraser Davidson - Data mode : A - Platform type : NOVA - WMO inst type : 865 - FLOAT SERIAL : 470 - Date : 2018 10 23
Float : 4902431 - Cycle : 67 - PI : Fraser Davidson - Data mode : A - Platform type : NOVA - WMO inst type : 865 - FLOAT SERIAL : 470 - Date : 2018 10 24
Float : 4902431 - Cycle : 68 - PI : Fraser Davidson - Data mode : A - Platform type : NOVA - WMO inst type : 865 - FLOAT SERIAL : 470 - Date : 2018 10 25
Float : 4902431 - Cycle : 81 - PI : Fraser Davidson - Data mode : A - Platform type : NOVA - WMO inst type : 865 - FLOAT SERIAL : 470 - Date : 2018 11 7
Float : 4902433 - Cycle : 54 - PI : Blair Greenan - Data mode : D - Platform type : NOVA - WMO inst type : 865 - FLOAT SERIAL : 472 - Date : 2018 9 15
Float : 4902433 - Cycle : 69 - PI : Blair Greenan - Data mode : D - Platform type : NOVA - WMO inst type : 865 - FLOAT SERIAL : 472 - Date : 2018 9 30

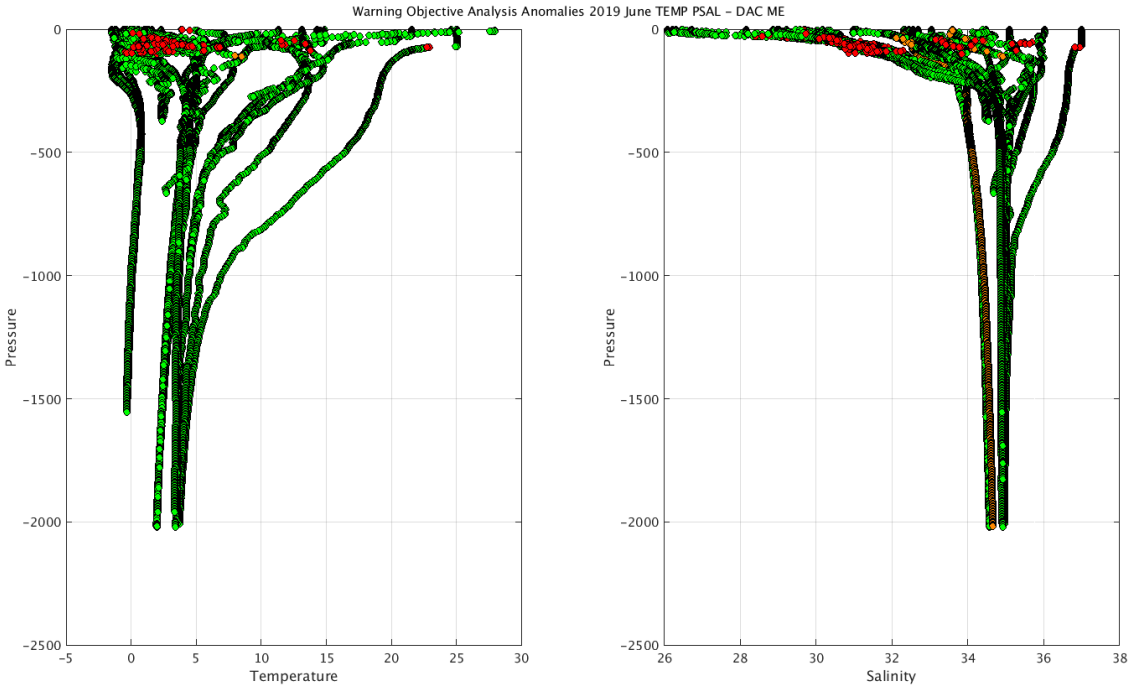

The list of the anomalies can be found at ftp://ftp.ifremer.fr/ifremer/argo/etc/ObjectiveAnalysisWarning/meds/

Example of anomalies:

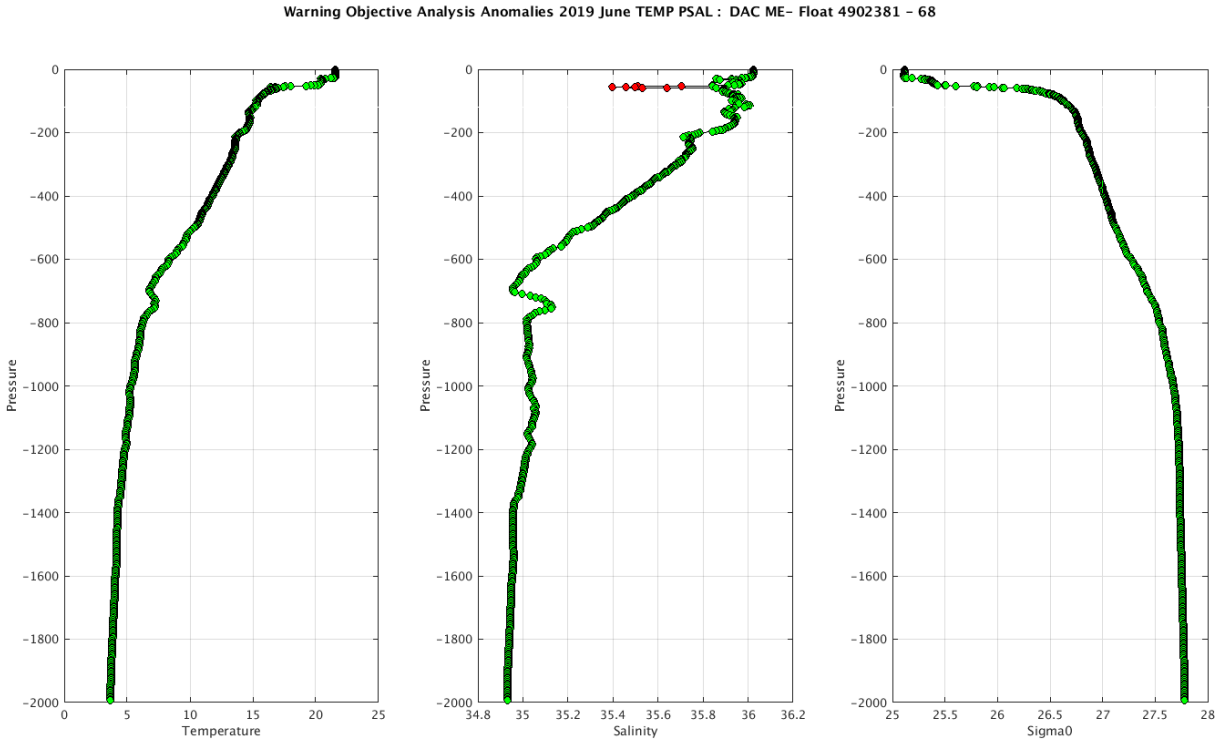

4.10. DAC NMDIS

Profiles detected by the objective analysis: 0 profiles (0 floats – float can have several cycles with anomalies)

Data_mode ='R'	Data_mode ='A'	Data_mode ='D'
0 cycle	0 cycle	0 cycle

INACTIVE FLOATS

Status of corrections:.

Float :

The list of the anomalies can be found at ftp://ftp.ifremer.fr/ifremer/argo/etc/ObjectiveAnalysisWarning/nmdis/

Example of anomalies:

Delayed Mode anomalies (adjusted fields) – date mode ='A' or 'D'

DM files – data_state_indicator="2C" but data_mode="R" and R*.nc -

For floats : 2901615 – 2901631 – 2901632

2901615 ex. Cycle 58, …

DATA_STATE_INDICATOR = "2C " ;
DATA_MODE = "R" ;

TEMP_ADJUSTED values exist but
TEMP_ADJUSTED_QC =
"99999999999999999999999999999999999999999999999999999999999999999999999999999999999999999999999999" ;

2901632 : all cycles with data_state_indicator="2C" – DM files but still R***.nc - and data_mode='R'
netcdf **R**2901632_056 {
DATA_STATE_INDICATOR = "2C " ;
DATA_MODE = "**R**" ;
PRES_ADJUSTED =
0.0, 5.0, 16.0, 26.0, 36.0, 46.0, 56.0,
PSAL_ADJUSTED =
34.687, 34.694, 34.684, 34.670, 34.664, 34.657, 34.658,
TEMP_ADJUSTED =
18.364, 18.379, 18.277, 18.115, 18.069, 18.007, 17.965,
SCIENTIFIC_CALIB_COMMENT =
"Calibration error is manufacturers specified PRES accuracy at time of lab calibration ",
"Calibration error is manufacturers specified TEMP accuracy at time of lab calibration ",
"No salinity adjustment needed according to OW1.1. Ref. Data are CTD_for_DMQC_2013V01+ARGO_for_DMQC_2013V01 " ;

Other problem for the same file (R2901632_056):
TEMP_ADJUSTED values exist but
TEMP_ADJUSTED_QC =
"99999999999999999999999999999999999999999999999999999999999999999999999999999999999999999999999999" ;

Changes to do :

DATA_MODE = "**R**" => DATA_MODE = "**D**" ;
Name of the files **R**2901632_<cycle_number>.nc - => **D**2901632_<cycle_number>.nc -
<<< NMDIS is working in priority on the format of the version 3.1 >>>

5. File anomalies (GDAC – Real time)

For information, on the GDAC for some floats, some netcdf files are missing. Sometimes this is not an anomaly (float has been deployed but no transmission of data then only meta file is available) but for other cases it could be an anomaly so please check.

I removed all the floats for which the missing netcdf files are not due to an anomaly. For instance, I removed all the floats for which only meta.nc file is generated or only meta.nc and tech.nc files are generated. If you think that others associations have to be removed for technical reasons, let me know.
<wmo_number>_meta.nc | <wmo_number>_meta.nc + <wmo_number>_tech.nc

5.1. AOML

GDAC (missing nc files)

For some floats :

- tech.nc and/or traj.nc are missing (meta.nc and prof.nc files existing)
- multiprof.nc is missing (no profiles but tech, traj, meta exist)
- only meta file (no monoprofile, no trajectory, no technical file)

See below the list of floats with existing nc files :

DAC name : aoml – Number of floats : 7177
1900167 - Existing nc files
File : 1900167_meta.nc - 1900167_prof.nc -

1900168 - Existing nc files
File : 1900168_meta.nc - 1900168_prof.nc -

1900189 - Existing nc files
File : 1900189_Rtraj.nc - 1900189_meta.nc - 1900189_tech.nc -

1900244 - Existing nc files
File : 1900244_meta.nc - 1900244_prof.nc -

1900245 - Existing nc files
File : 1900245_meta.nc - 1900245_prof.nc -

1900255 - Existing nc files
File : 1900255_meta.nc - 1900255_prof.nc -

1900257 - Existing nc files
File : 1900257_meta.nc - 1900257_prof.nc -

1900748 - Existing nc files
File : 1900748_Rtraj.nc - 1900748_meta.nc - 1900748_tech.nc -

1900751 - Existing nc files
File : 1900751_Rtraj.nc - 1900751_meta.nc - 1900751_tech.nc -

1900831 - Existing nc files
File : 1900831_Rtraj.nc - 1900831_meta.nc - 1900831_tech.nc -

1901658 - Existing nc files
File : 1901658_Rtraj.nc - 1901658_meta.nc - 1901658_tech.nc -

2901106 - Existing nc files
File : 2901106_Rtraj.nc - 2901106_meta.nc - 2901106_tech.nc -

2901438 - Existing nc files
File : 2901438_Rtraj.nc - 2901438_meta.nc - 2901438_tech.nc -

3900148 - Existing nc files
File : 3900148_meta.nc - 3900148_prof.nc -

3900160 - Existing nc files
File : 3900160_Rtraj.nc - 3900160_meta.nc - 3900160_tech.nc -

39029 - Existing nc files
File : 39029_Rtraj.nc - 39029_meta.nc - 39029_tech.nc -

41534 - Existing nc files
File : 41534_Rtraj.nc - 41534_meta.nc - 41534_tech.nc -

4900228 - Existing nc files
File : 4900228_meta.nc - 4900228_prof.nc -

4900229 - Existing nc files
File : 4900229_meta.nc - 4900229_prof.nc -

4900230 - Existing nc files
File : 4900230_meta.nc - 4900230_prof.nc -

4900268 - Existing nc files
File : 4900268_meta.nc - 4900268_prof.nc -

4900269 - Existing nc files
File : 4900269_meta.nc - 4900269_prof.nc -

4900270 - Existing nc files
File : 4900270_meta.nc - 4900270_prof.nc -

4900271 - Existing nc files
File : 4900271_meta.nc - 4900271_prof.nc -

4900272 - Existing nc files

File : 4900272_meta.nc - 4900272_prof.nc -

4900273 - Existing nc files
File : 4900273_meta.nc - 4900273_prof.nc -

4900287 - Existing nc files
File : 4900287_Rtraj.nc - 4900287_meta.nc - 4900287_tech.nc -

4900358 - Existing nc files
File : 4900358_meta.nc - 4900358_prof.nc -

4900361 - Existing nc files
File : 4900361_meta.nc - 4900361_prof.nc -

4900366 - Existing nc files
File : 4900366_meta.nc - 4900366_prof.nc -

4900367 - Existing nc files
File : 4900367_meta.nc - 4900367_prof.nc -

4900382 - Existing nc files
File : 4900382_meta.nc - 4900382_prof.nc -

4900383 - Existing nc files
File : 4900383_meta.nc - 4900383_prof.nc -

4900385 - Existing nc files
File : 4900385_meta.nc - 4900385_prof.nc -

4900426 - Existing nc files
File : 4900426_meta.nc - 4900426_prof.nc -

4900427 - Existing nc files
File : 4900427_meta.nc - 4900427_prof.nc -

4900428 - Existing nc files
File : 4900428_meta.nc - 4900428_prof.nc -

4900433 - Existing nc files
File : 4900433_Rtraj.nc - 4900433_meta.nc - 4900433_tech.nc -

4900550 - Existing nc files
File : 4900550_Rtraj.nc - 4900550_meta.nc - 4900550_tech.nc -

4900583 - Existing nc files
File : 4900583_Rtraj.nc - 4900583_meta.nc - 4900583_tech.nc -

4900779 - Existing nc files
File : 4900779_Rtraj.nc - 4900779_meta.nc - 4900779_tech.nc -

4901485 - Existing nc files
File : 4901485_Rtraj.nc - 4901485_meta.nc - 4901485_tech.nc -

4901537 - Existing nc files
File : 4901537_Rtraj.nc - 4901537_meta.nc - 4901537_tech.nc -

4901560 - Existing nc files
File : 4901560_Rtraj.nc - 4901560_meta.nc - 4901560_tech.nc -

4901575 - Existing nc files
File : 4901575_Rtraj.nc - 4901575_meta.nc - 4901575_tech.nc -

4901577 - Existing nc files
File : 4901577_Rtraj.nc - 4901577_meta.nc - 4901577_tech.nc -

5900253 - Existing nc files
File : 5900253_Rtraj.nc - 5900253_meta.nc - 5900253_tech.nc -

5900637 - Existing nc files
File : 5900637_Rtraj.nc - 5900637_meta.nc - 5900637_tech.nc -

5900765 - Existing nc files
File : 5900765_Rtraj.nc - 5900765_meta.nc - 5900765_tech.nc -

5900892 - Existing nc files
File : 5900892_Rtraj.nc - 5900892_meta.nc - 5900892_tech.nc -

5901006 - Existing nc files
File : 5901006_Rtraj.nc - 5901006_meta.nc - 5901006_tech.nc -

5901082 - Existing nc files
File : 5901082_Rtraj.nc - 5901082_meta.nc - 5901082_tech.nc -

5901732 - Existing nc files
File : 5901732_Rtraj.nc - 5901732_meta.nc - 5901732_tech.nc -

5904097 - Existing nc files
File : 5904097_Rtraj.nc - 5904097_meta.nc - 5904097_tech.nc -

5904282 - Existing nc files
File : 5904282_Rtraj.nc - 5904282_meta.nc - 5904282_tech.nc -

5904838 - Existing nc files
File : 5904838_Rtraj.nc - 5904838_meta.nc - 5904838_prof.nc -

5904839 - Existing nc files
File : 5904839_Rtraj.nc - 5904839_meta.nc - 5904839_prof.nc -

5904840 - Existing nc files
File : 5904840_Rtraj.nc - 5904840_meta.nc - 5904840_prof.nc -

5905641 - Existing nc files
File : 5905641_Rtraj.nc - 5905641_meta.nc - 5905641_prof.nc

5.2. BODC

GDAC (missing nc files)

For some floats :

- tech.nc - and/or traj.nc - are missing (meta.nc - and prof.nc - files existing)
- only meta and/or tech files (no monoprofile, no trajectory)

MAINLY TRAJECTORY FILE MISSING

See below the list of floats with existing nc files :

DAC name : bodc – Number of floats : 709

1901312 - Existing nc files
File : 1901312_meta.nc - 1901312_prof.nc - 1901312_tech.nc -

1901844 - Existing nc files
File : 1901844_meta.nc - 1901844_prof.nc - 1901844_tech.nc -

1901845 - Existing nc files
File : 1901845_meta.nc - 1901845_prof.nc - 1901845_tech.nc -

1901846 - Existing nc files
File : 1901846_meta.nc - 1901846_prof.nc - 1901846_tech.nc -

1901847 - Existing nc files
File : 1901847_meta.nc - 1901847_prof.nc - 1901847_tech.nc -

1901848 - Existing nc files
File : 1901848_meta.nc - 1901848_prof.nc - 1901848_tech.nc -

1901849 - Existing nc files
File : 1901849_meta.nc - 1901849_prof.nc - 1901849_tech.nc -

1901850 - Existing nc files
File : 1901850_meta.nc - 1901850_prof.nc - 1901850_tech.nc -

1901851 - Existing nc files
File : 1901851_meta.nc - 1901851_prof.nc - 1901851_tech.nc -

1901852 - Existing nc files
File : 1901852_meta.nc - 1901852_prof.nc - 1901852_tech.nc -

1901853 - Existing nc files
File : 1901853_meta.nc - 1901853_prof.nc - 1901853_tech.nc -

1901854 - Existing nc files
File : 1901854_meta.nc - 1901854_prof.nc - 1901854_tech.nc -

1901855 - Existing nc files
File : 1901855_meta.nc - 1901855_prof.nc - 1901855_tech.nc -

1901856 - Existing nc files
File : 1901856_meta.nc - 1901856_prof.nc - 1901856_tech.nc -

1901857 - Existing nc files
File : 1901857_meta.nc - 1901857_prof.nc - 1901857_tech.nc -

1901858 - Existing nc files
File : 1901858_meta.nc - 1901858_prof.nc - 1901858_tech.nc -

1901859 - Existing nc files
File : 1901859_meta.nc - 1901859_prof.nc - 1901859_tech.nc -

1901860 - Existing nc files
File : 1901860_meta.nc - 1901860_prof.nc - 1901860_tech.nc -

1901861 - Existing nc files
File : 1901861_meta.nc - 1901861_prof.nc - 1901861_tech.nc -

1901862 - Existing nc files
File : 1901862_meta.nc - 1901862_prof.nc - 1901862_tech.nc -

1901863 - Existing nc files
File : 1901863_meta.nc - 1901863_prof.nc - 1901863_tech.nc -

1901864 - Existing nc files
File : 1901864_meta.nc - 1901864_prof.nc - 1901864_tech.nc -

1901865 - Existing nc files
File : 1901865_meta.nc - 1901865_prof.nc - 1901865_tech.nc -

1901866 - Existing nc files
File : 1901866_meta.nc - 1901866_prof.nc - 1901866_tech.nc -

1901867 - Existing nc files
File : 1901867_meta.nc - 1901867_prof.nc - 1901867_tech.nc -

1901868 - Existing nc files
File : 1901868_meta.nc - 1901868_prof.nc - 1901868_tech.nc -

1901869 - Existing nc files
File : 1901869_meta.nc - 1901869_prof.nc - 1901869_tech.nc -

1901870 - Existing nc files
File : 1901870_meta.nc - 1901870_prof.nc - 1901870_tech.nc -

1901871 - Existing nc files
File : 1901871_meta.nc - 1901871_prof.nc - 1901871_tech.nc -

1901872 - Existing nc files
File : 1901872_meta.nc - 1901872_prof.nc - 1901872_tech.nc -

1901873 - Existing nc files
File : 1901873_meta.nc - 1901873_prof.nc - 1901873_tech.nc -

1901875 - Existing nc files
File : 1901875_meta.nc - 1901875_prof.nc - 1901875_tech.nc -

1901876 - Existing nc files
File : 1901876_meta.nc - 1901876_prof.nc - 1901876_tech.nc -

1901877 - Existing nc files
File : 1901877_meta.nc - 1901877_prof.nc - 1901877_tech.nc -

1901878 - Existing nc files
File : 1901878_meta.nc - 1901878_prof.nc - 1901878_tech.nc -

1901879 - Existing nc files
File : 1901879_meta.nc - 1901879_prof.nc - 1901879_tech.nc -

1901880 - Existing nc files
File : 1901880_meta.nc - 1901880_prof.nc - 1901880_tech.nc -

1901881 - Existing nc files
File : 1901881_meta.nc - 1901881_prof.nc - 1901881_tech.nc -

1901882 - Existing nc files
File : 1901882_meta.nc - 1901882_prof.nc - 1901882_tech.nc -

1901883 - Existing nc files
File : 1901883_meta.nc - 1901883_prof.nc - 1901883_tech.nc -

1901884 - Existing nc files
File : 1901884_meta.nc - 1901884_prof.nc - 1901884_tech.nc -

1901885 - Existing nc files
File : 1901885_meta.nc - 1901885_prof.nc - 1901885_tech.nc -

1901886 - Existing nc files
File : 1901886_meta.nc - 1901886_prof.nc - 1901886_tech.nc -

1901887 - Existing nc files
File : 1901887_meta.nc - 1901887_prof.nc - 1901887_tech.nc -

1901888 - Existing nc files
File : 1901888_meta.nc - 1901888_prof.nc - 1901888_tech.nc -

1901894 - Existing nc files
File : 1901894_meta.nc - 1901894_prof.nc - 1901894_tech.nc -

1901896 - Existing nc files
File : 1901896_meta.nc - 1901896_prof.nc - 1901896_tech.nc -

1901897 - Existing nc files
File : 1901897_meta.nc - 1901897_prof.nc - 1901897_tech.nc -

1901898 - Existing nc files
File : 1901898_meta.nc - 1901898_prof.nc - 1901898_tech.nc -

1901899 - Existing nc files
File : 1901899_meta.nc - 1901899_prof.nc - 1901899_tech.nc -

1901900 - Existing nc files
File : 1901900_meta.nc - 1901900_prof.nc - 1901900_tech.nc -

1901903 - Existing nc files
File : 1901903_meta.nc - 1901903_prof.nc - 1901903_tech.nc -

1901904 - Existing nc files
File : 1901904_meta.nc - 1901904_prof.nc - 1901904_tech.nc -

1901906 - Existing nc files
File : 1901906_meta.nc - 1901906_prof.nc - 1901906_tech.nc -

1901907 - Existing nc files
File : 1901907_meta.nc - 1901907_prof.nc - 1901907_tech.nc -

1901909 - Existing nc files
File : 1901909_meta.nc - 1901909_prof.nc - 1901909_tech.nc -

1901910 - Existing nc files
File : 1901910_meta.nc - 1901910_prof.nc - 1901910_tech.nc -

1901911 - Existing nc files
File : 1901911_meta.nc - 1901911_prof.nc - 1901911_tech.nc -

1901912 - Existing nc files
File : 1901912_meta.nc - 1901912_prof.nc - 1901912_tech.nc -

1902079 - Existing nc files
File : 1902079_meta.nc - 1902079_prof.nc - 1902079_tech.nc -

2901892 - Existing nc files
File : 2901892_meta.nc - 2901892_prof.nc - 2901892_tech.nc -

2901893 - Existing nc files
File : 2901893_meta.nc - 2901893_prof.nc - 2901893_tech.nc -

2901894 - Existing nc files
File : 2901894_meta.nc - 2901894_prof.nc - 2901894_tech.nc -

2901895 - Existing nc files
File : 2901895_meta.nc - 2901895_prof.nc - 2901895_tech.nc -

2901896 - Existing nc files
File : 2901896_meta.nc - 2901896_prof.nc - 2901896_tech.nc -

2901897 - Existing nc files
File : 2901897_meta.nc - 2901897_prof.nc - 2901897_tech.nc -

2901898 - Existing nc files
File : 2901898_meta.nc - 2901898_prof.nc - 2901898_tech.nc -

2901899 - Existing nc files
File : 2901899_meta.nc - 2901899_prof.nc - 2901899_tech.nc -

2901900 - Existing nc files
File : 2901900_meta.nc - 2901900_prof.nc - 2901900_tech.nc -

2901902 - Existing nc files
File : 2901902_meta.nc - 2901902_prof.nc - 2901902_tech.nc -

2901903 - Existing nc files
File : 2901903_meta.nc - 2901903_prof.nc - 2901903_tech.nc -

2901904 - Existing nc files
File : 2901904_meta.nc - 2901904_prof.nc - 2901904_tech.nc -

2901905 - Existing nc files
File : 2901905_meta.nc - 2901905_prof.nc - 2901905_tech.nc -

3900538 - Existing nc files
File : 3900538_meta.nc - 3900538_prof.nc - 3900538_tech.nc -

3900559 - Existing nc files
File : 3900559_meta.nc - 3900559_prof.nc - 3900559_tech.nc -

3900560 - Existing nc files
File : 3900560_meta.nc - 3900560_prof.nc - 3900560_tech.nc -

3901488 - Existing nc files
File : 3901488_meta.nc - 3901488_prof.nc - 3901488_tech.nc -

3901489 - Existing nc files
File : 3901489_meta.nc - 3901489_prof.nc - 3901489_tech.nc -

3901490 - Existing nc files
File : 3901490_meta.nc - 3901490_prof.nc - 3901490_tech.nc -

3901491 - Existing nc files
File : 3901491_meta.nc - 3901491_prof.nc - 3901491_tech.nc -

3901492 - Existing nc files

File : 3901492_meta.nc - 3901492_prof.nc - 3901492_tech.nc -

3901493 - Existing nc files
File : 3901493_meta.nc - 3901493_prof.nc - 3901493_tech.nc -

3901494 - Existing nc files
File : 3901494_meta.nc - 3901494_prof.nc - 3901494_tech.nc -

3901495 - Existing nc files
File : 3901495_meta.nc - 3901495_prof.nc - 3901495_tech.nc -

3901499 - Existing nc files
File : 3901499_meta.nc - 3901499_prof.nc - 3901499_tech.nc -

3901500 - Existing nc files
File : 3901500_meta.nc - 3901500_prof.nc - 3901500_tech.nc -

3901501 - Existing nc files
File : 3901501_meta.nc - 3901501_prof.nc - 3901501_tech.nc -

3901502 - Existing nc files
File : 3901502_meta.nc - 3901502_prof.nc - 3901502_tech.nc -

3901503 - Existing nc files
File : 3901503_meta.nc - 3901503_prof.nc - 3901503_tech.nc -

3901504 - Existing nc files
File : 3901504_meta.nc - 3901504_prof.nc - 3901504_tech.nc -

3901505 - Existing nc files
File : 3901505_meta.nc - 3901505_prof.nc - 3901505_tech.nc -

3901506 - Existing nc files
File : 3901506_meta.nc - 3901506_prof.nc - 3901506_tech.nc -

3901507 - Existing nc files
File : 3901507_meta.nc - 3901507_prof.nc - 3901507_tech.nc -

3901508 - Existing nc files
File : 3901508_meta.nc - 3901508_prof.nc - 3901508_tech.nc -

3901509 - Existing nc files
File : 3901509_meta.nc - 3901509_prof.nc - 3901509_tech.nc -

3901510 - Existing nc files
File : 3901510_meta.nc - 3901510_prof.nc - 3901510_tech.nc -

3901511 - Existing nc files
File : 3901511_meta.nc - 3901511_prof.nc - 3901511_tech.nc -

3901512 - Existing nc files
File : 3901512_meta.nc - 3901512_prof.nc - 3901512_tech.nc -

3901513 - Existing nc files
File : 3901513_meta.nc - 3901513_prof.nc - 3901513_tech.nc -

3901514 - Existing nc files
File : 3901514_meta.nc - 3901514_prof.nc - 3901514_tech.nc -

3901515 - Existing nc files
File : 3901515_meta.nc - 3901515_prof.nc - 3901515_tech.nc -

3901516 - Existing nc files
File : 3901516_meta.nc - 3901516_prof.nc - 3901516_tech.nc -

3901517 - Existing nc files
File : 3901517_meta.nc - 3901517_prof.nc - 3901517_tech.nc -

3901519 - Existing nc files
File : 3901519_meta.nc - 3901519_prof.nc - 3901519_tech.nc -

3901520 - Existing nc files
File : 3901520_meta.nc - 3901520_prof.nc - 3901520_tech.nc -

3901521 - Existing nc files
File : 3901521_meta.nc - 3901521_prof.nc - 3901521_tech.nc -

3901522 - Existing nc files
File : 3901522_meta.nc - 3901522_prof.nc - 3901522_tech.nc -

3901523 - Existing nc files
File : 3901523_meta.nc - 3901523_prof.nc - 3901523_tech.nc -

3901524 - Existing nc files
File : 3901524_meta.nc - 3901524_prof.nc - 3901524_tech.nc -

3901525 - Existing nc files
File : 3901525_meta.nc - 3901525_prof.nc - 3901525_tech.nc -

3901526 - Existing nc files
File : 3901526_meta.nc - 3901526_prof.nc - 3901526_tech.nc -

3901527 - Existing nc files
File : 3901527_meta.nc - 3901527_prof.nc - 3901527_tech.nc -

3901528 - Existing nc files
File : 3901528_meta.nc - 3901528_prof.nc - 3901528_tech.nc -

3901529 - Existing nc files
File : 3901529_meta.nc - 3901529_prof.nc - 3901529_tech.nc -

3901532 - Existing nc files
File : 3901532_meta.nc - 3901532_prof.nc - 3901532_tech.nc -

3901533 - Existing nc files
File : 3901533_meta.nc - 3901533_prof.nc - 3901533_tech.nc -

3901534 - Existing nc files
File : 3901534_meta.nc - 3901534_prof.nc - 3901534_tech.nc -

3901535 - Existing nc files
File : 3901535_meta.nc - 3901535_prof.nc - 3901535_tech.nc -

3901536 - Existing nc files
File : 3901536_meta.nc - 3901536_prof.nc - 3901536_tech.nc -

3901537 - Existing nc files
File : 3901537_meta.nc - 3901537_prof.nc - 3901537_tech.nc -

3901538 - Existing nc files
File : 3901538_meta.nc - 3901538_prof.nc - 3901538_tech.nc -

3901539 - Existing nc files
File : 3901539_meta.nc - 3901539_prof.nc - 3901539_tech.nc -

3901548 - Existing nc files
File : 3901548_meta.nc - 3901548_prof.nc - 3901548_tech.nc -

3901549 - Existing nc files
File : 3901549_meta.nc - 3901549_prof.nc - 3901549_tech.nc -

3901550 - Existing nc files
File : 3901550_meta.nc - 3901550_prof.nc - 3901550_tech.nc -

3901551 - Existing nc files
File : 3901551_meta.nc - 3901551_prof.nc - 3901551_tech.nc -

49065 - Existing nc files
File : 49065_meta.nc - 49065_prof.nc - 49065_tech.nc -

6901153 - Existing nc files
File : 6901153_meta.nc - 6901153_prof.nc - 6901153_tech.nc -

6901155 - Existing nc files
File : 6901155_meta.nc - 6901155_prof.nc - 6901155_tech.nc -

6901156 - Existing nc files
File : 6901156_meta.nc - 6901156_prof.nc - 6901156_tech.nc -

6901157 - Existing nc files
File : 6901157_meta.nc - 6901157_prof.nc - 6901157_tech.nc -

6901158 - Existing nc files
File : 6901158_meta.nc - 6901158_prof.nc - 6901158_tech.nc -

6901159 - Existing nc files
File : 6901159_meta.nc - 6901159_prof.nc - 6901159_tech.nc -

6901160 - Existing nc files
File : 6901160_meta.nc - 6901160_prof.nc - 6901160_tech.nc -

6901161 - Existing nc files
File : 6901161_meta.nc - 6901161_prof.nc - 6901161_tech.nc -

6901162 - Existing nc files
File : 6901162_meta.nc - 6901162_prof.nc - 6901162_tech.nc -

6901163 - Existing nc files
File : 6901163_meta.nc - 6901163_prof.nc - 6901163_tech.nc -

6901164 - Existing nc files
File : 6901164_meta.nc - 6901164_prof.nc - 6901164_tech.nc -

6901165 - Existing nc files
File : 6901165_meta.nc - 6901165_prof.nc - 6901165_tech.nc -

6901166 - Existing nc files
File : 6901166_meta.nc - 6901166_prof.nc - 6901166_tech.nc -

6901167 - Existing nc files
File : 6901167_meta.nc - 6901167_prof.nc - 6901167_tech.nc -

6901168 - Existing nc files
File : 6901168_meta.nc - 6901168_prof.nc - 6901168_tech.nc -

6901169 - Existing nc files
File : 6901169_meta.nc - 6901169_prof.nc - 6901169_tech.nc -

6901170 - Existing nc files
File : 6901170_meta.nc - 6901170_prof.nc - 6901170_tech.nc -

6901171 - Existing nc files
File : 6901171_meta.nc - 6901171_prof.nc - 6901171_tech.nc -

6901172 - Existing nc files
File : 6901172_meta.nc - 6901172_prof.nc - 6901172_tech.nc -

6901173 - Existing nc files
File : 6901173_meta.nc - 6901173_prof.nc - 6901173_tech.nc -

6901176 - Existing nc files
File : 6901176_meta.nc - 6901176_prof.nc - 6901176_tech.nc -

6901177 - Existing nc files
File : 6901177_meta.nc - 6901177_prof.nc - 6901177_tech.nc -

6901178 - Existing nc files
File : 6901178_meta.nc - 6901178_prof.nc - 6901178_tech.nc -

6901179 - Existing nc files
File : 6901179_meta.nc - 6901179_prof.nc - 6901179_tech.nc -

6901188 - Existing nc files
File : 6901188_meta.nc - 6901188_prof.nc - 6901188_tech.nc -

6901189 - Existing nc files
File : 6901189_meta.nc - 6901189_prof.nc - 6901189_tech.nc -

6901190 - Existing nc files
File : 6901190_meta.nc - 6901190_prof.nc - 6901190_tech.nc -

6901192 - Existing nc files
File : 6901192_meta.nc - 6901192_prof.nc - 6901192_tech.nc -

6901194 - Existing nc files
File : 6901194_meta.nc - 6901194_prof.nc - 6901194_tech.nc -

6901195 - Existing nc files
File : 6901195_meta.nc - 6901195_prof.nc - 6901195_tech.nc -

6901196 - Existing nc files
File : 6901196_meta.nc - 6901196_prof.nc - 6901196_tech.nc -

6901197 - Existing nc files
File : 6901197_meta.nc - 6901197_prof.nc - 6901197_tech.nc -

6901198 - Existing nc files
File : 6901198_meta.nc - 6901198_prof.nc - 6901198_tech.nc -

6901199 - Existing nc files
File : 6901199_meta.nc - 6901199_prof.nc - 6901199_tech.nc -

6901200 - Existing nc files
File : 6901200_meta.nc - 6901200_prof.nc - 6901200_tech.nc -

6901201 - Existing nc files
File : 6901201_meta.nc - 6901201_prof.nc - 6901201_tech.nc -

6901202 - Existing nc files
File : 6901202_meta.nc - 6901202_prof.nc - 6901202_tech.nc -

6901205 - Existing nc files
File : 6901205_meta.nc - 6901205_prof.nc - 6901205_tech.nc -

6901206 - Existing nc files
File : 6901206_meta.nc - 6901206_prof.nc - 6901206_tech.nc -

6901211 - Existing nc files
File : 6901211_meta.nc - 6901211_prof.nc - 6901211_tech.nc -

6901212 - Existing nc files
File : 6901212_meta.nc - 6901212_prof.nc - 6901212_tech.nc -

6901213 - Existing nc files
File : 6901213_meta.nc - 6901213_prof.nc - 6901213_tech.nc -

6901919 - Existing nc files
File : 6901919_meta.nc - 6901919_prof.nc - 6901919_tech.nc -

6901920 - Existing nc files
File : 6901920_meta.nc - 6901920_prof.nc - 6901920_tech.nc -

6901921 - Existing nc files
File : 6901921_meta.nc - 6901921_prof.nc - 6901921_tech.nc -

6901922 - Existing nc files
File : 6901922_meta.nc - 6901922_prof.nc - 6901922_tech.nc -

6901923 - Existing nc files
File : 6901923_meta.nc - 6901923_prof.nc - 6901923_tech.nc -

6901924 - Existing nc files
File : 6901924_meta.nc - 6901924_prof.nc - 6901924_tech.nc -

6901925 - Existing nc files
File : 6901925_meta.nc - 6901925_prof.nc - 6901925_tech.nc -

6901926 - Existing nc files
File : 6901926_meta.nc - 6901926_prof.nc - 6901926_tech.nc -

6901927 - Existing nc files
File : 6901927_meta.nc - 6901927_prof.nc - 6901927_tech.nc -

6901928 - Existing nc files
File : 6901928_meta.nc - 6901928_prof.nc - 6901928_tech.nc

5.3. CORIOLIS

GDAC (missing nc files)

For some floats :

- multiprof.nc - is missing (no profiles but tech, traj, meta exist)

See below the list of floats with existing nc files :

DAC name : Coriolis – Number of floats : 2898
1900380 - Existing nc files
File : 1900380_Rtraj.nc - 1900380_meta.nc - 1900380_tech.nc -

1901216 - Existing nc files
File : 1901216_Rtraj.nc - 1901216_meta.nc - 1901216_tech.nc -

3900794 - Existing nc files
File : 3900794_Rtraj.nc - 3900794_meta.nc -

5903129 - Existing nc files
File : 5903129_Rtraj.nc - 5903129_meta.nc - 5903129_tech.nc -

6900215 - Existing nc files
File : 6900215_meta.nc - 6900215_prof.nc - 6900215_tech.nc -

6900217 - Existing nc files
File : 6900217_meta.nc - 6900217_prof.nc - 6900217_tech.nc -

6900940 - Existing nc files
File : 6900940_Rtraj.nc - 6900940_meta.nc - 6900940_tech.nc -

6901000 - Existing nc files
File : 6901000_Rtraj.nc - 6901000_meta.nc - 6901000_tech.nc -

6901551 - Existing nc files
File : 6901551_Rtraj.nc - 6901551_meta.nc - 6901551_tech.nc -

6901594 - Existing nc files
File : 6901594_Rtraj.nc - 6901594_meta.nc - 6901594_tech.nc -

6901615 - Existing nc files
File : 6901615_Rtraj.nc - 6901615_meta.nc - 6901615_tech.nc -

6901820 - Existing nc files
File : 6901820_Rtraj.nc - 6901820_meta.nc -

6901844 - Existing nc files
File : 6901844_Rtraj.nc - 6901844_meta.nc -

6901854 - Existing nc files
File : 6901854_Rtraj.nc - 6901854_meta.nc - 6901854_tech.nc -

6901870 - Existing nc files
File : 6901870_Rtraj.nc - 6901870_meta.nc -

6901871 - Existing nc files
File : 6901871_Rtraj.nc - 6901871_meta.nc -

6902041 - Existing nc files
File : 6902041_meta.nc - 6902041_tech.nc -

6902583 - Existing nc files
File : 6902583_Rtraj.nc - 6902583_meta.nc -

6902685 - Existing nc files
File : 6902685_Rtraj.nc - 6902685_meta.nc - 6902685_tech.nc -

6902741 - Existing nc files
File : 6902741_Rtraj.nc - 6902741_meta.nc - 6902741_tech.nc -

6903181 - Existing nc files
File : 6903181_Rtraj.nc - 6903181_meta.nc -

6903185 - Existing nc files
File : 6903185_Rtraj.nc - 6903185_meta.nc -

6903193 - Existing nc files

File : 6903193_Rtraj.nc - 6903193_meta.nc -

6903226 - Existing nc files
File : 6903226_Rtraj.nc - 6903226_meta.nc -

6903252 - Existing nc files
File : 6903252_Rtraj.nc - 6903252_meta.nc -

7900349 - Existing nc files
File : 7900349_Rtraj.nc - 7900349_meta.nc - 7900349_tech.nc -

5.4. CSIO

GDAC (missing nc files)

For some floats :

- multiprof.nc - is missing (no profiles but tech, traj, meta exist)

See below the list of floats with existing nc files :

DAC name : csio – Number of floats : 407

2901498 - Existing nc files
File : 2901498_Rtraj.nc - 2901498_meta.nc - 2901498_tech.nc -

2901505 - Existing nc files
File : 2901505_Rtraj.nc - 2901505_meta.nc - 2901505_tech.nc -

2902670 - Existing nc files
File : 2902670_Rtraj.nc - 2902670_meta.nc - 2902670_prof.nc -

2902671 - Existing nc files
File : 2902671_Rtraj.nc - 2902671_meta.nc - 2902671_prof.nc -

2902672 - Existing nc files
File : 2902672_meta.nc - 2902672_prof.nc -

2902673 - Existing nc files
File : 2902673_Rtraj.nc - 2902673_meta.nc - 2902673_prof.nc -

2902674 - Existing nc files
File : 2902674_Rtraj.nc - 2902674_meta.nc - 2902674_prof.nc -

2902677 - Existing nc files
File : 2902677_Rtraj.nc - 2902677_meta.nc - 2902677_prof.nc -

2902679 - Existing nc files
File : 2902679_Rtraj.nc - 2902679_meta.nc - 2902679_prof.nc

5.5. CSIRO

GDAC (missing nc files)

For some floats :

- traj.nc - is missing (only meta.nc - , tech.nc - and prof.nc - files)

See below the list of floats with existing nc files :

DAC name : csiro – Number of floats : 865

1901743 - Existing nc files
File : 1901743_meta.nc - 1901743_prof.nc - 1901743_tech.nc -

1901744 - Existing nc files
File : 1901744_meta.nc - 1901744_prof.nc - 1901744_tech.nc -

1901745 - Existing nc files
File : 1901745_meta.nc - 1901745_prof.nc - 1901745_tech.nc -

1901746 - Existing nc files
File : 1901746_meta.nc - 1901746_prof.nc - 1901746_tech.nc -

3901467 - Existing nc files
File : 3901467_meta.nc - 3901467_prof.nc - 3901467_tech.nc -

5904221 - Existing nc files
File : 5904221_meta.nc - 5904221_prof.nc - 5904221_tech.nc -

5904224 - Existing nc files
File : 5904224_meta.nc - 5904224_prof.nc - 5904224_tech.nc -

5904226 - Existing nc files
File : 5904226_meta.nc - 5904226_prof.nc - 5904226_tech.nc -

5904916 - Existing nc files
File : 5904916_meta.nc - 5904916_prof.nc - 5904916_tech.nc -

5904917 - Existing nc files
File : 5904917_meta.nc - 5904917_prof.nc - 5904917_tech.nc -

5904922 - Existing nc files
File : 5904922_meta.nc - 5904922_prof.nc - 5904922_tech.nc -

5905205 - Existing nc files
File : 5905205_meta.nc - 5905205_prof.nc - 5905205_tech.nc -

5905389 - Existing nc files

File : 5905389_meta.nc - 5905389_prof.nc - 5905389_tech.nc -

5905390 - Existing nc files
File : 5905390_meta.nc - 5905390_prof.nc - 5905390_tech.nc -

5905393 - Existing nc files
File : 5905393_meta.nc - 5905393_prof.nc - 5905393_tech.nc -

5905394 - Existing nc files
File : 5905394_meta.nc - 5905394_prof.nc - 5905394_tech.nc -

5905410 - Existing nc files
File : 5905410_meta.nc - 5905410_prof.nc - 5905410_tech.nc -

5905411 - Existing nc files
File : 5905411_meta.nc - 5905411_prof.nc - 5905411_tech.nc -

5905412 - Existing nc files
File : 5905412_meta.nc - 5905412_prof.nc - 5905412_tech.nc -

5905413 - Existing nc files
File : 5905413_meta.nc - 5905413_prof.nc - 5905413_tech.nc -

5905419 - Existing nc files
File : 5905419_meta.nc - 5905419_prof.nc - 5905419_tech.nc -

5905420 - Existing nc files
File : 5905420_meta.nc - 5905420_prof.nc - 5905420_tech.nc -

5905421 - Existing nc files
File : 5905421_meta.nc - 5905421_prof.nc - 5905421_tech.nc -

5905430 - Existing nc files
File : 5905430_meta.nc - 5905430_prof.nc - 5905430_tech.nc -

5905431 - Existing nc files
File : 5905431_meta.nc - 5905431_prof.nc - 5905431_tech.nc -

5905432 - Existing nc files
File : 5905432_meta.nc - 5905432_prof.nc - 5905432_tech.nc -

7900638 - Existing nc files
File : 7900638_meta.nc - 7900638_prof.nc - 7900638_tech.nc -

7900639 - Existing nc files
File : 7900639_meta.nc - 7900639_prof.nc - 7900639_tech.nc -

7900640 - Existing nc files
File : 7900640_meta.nc - 7900640_prof.nc - 7900640_tech.nc -

7900641 - Existing nc files
File : 7900641_meta.nc - 7900641_prof.nc - 7900641_tech.nc -

7900642 - Existing nc files
File : 7900642_meta.nc - 7900642_prof.nc - 7900642_tech.nc

5.6. INCOIS

For some floats :

- tech.nc - is missing (meta.nc - , traj.nc - and prof.nc - files existing)
- traj.nc - is missing (meta, prof, tech existing)
- multiprof.nc - is missing (no profiles but tech, traj, meta exist)

See below the list of floats with existing nc files :

DAC name : incois – Number of floats : 463

2900268 - Existing nc files
File : 2900268_Rtraj.nc - 2900268_meta.nc - 2900268_prof.nc -

2900275 - Existing nc files
File : 2900275_Rtraj.nc - 2900275_meta.nc - 2900275_prof.nc -

2900767 - Existing nc files
File : 2900767_meta.nc - 2900767_prof.nc - 2900767_tech.nc -

2902126 - Existing nc files
File : 2902126_Rtraj.nc - 2902126_meta.nc - 2902126_tech.nc -

2902229 - Existing nc files
File : 2902229_meta.nc - 2902229_prof.nc - 2902229_tech.nc -

2902230 - Existing nc files
File : 2902230_meta.nc - 2902230_prof.nc - 2902230_tech.nc -

2902231 - Existing nc files
File : 2902231_meta.nc - 2902231_prof.nc - 2902231_tech.nc -

2902232 - Existing nc files
File : 2902232_meta.nc - 2902232_prof.nc - 2902232_tech.nc -

2902233 - Existing nc files
File : 2902233_meta.nc - 2902233_prof.nc - 2902233_tech.nc -

2902234 - Existing nc files
File : 2902234_meta.nc - 2902234_prof.nc - 2902234_tech.nc -

2902235 - Existing nc files
File : 2902235_meta.nc - 2902235_prof.nc - 2902235_tech.nc -

2902236 - Existing nc files
File : 2902236_meta.nc - 2902236_prof.nc - 2902236_tech.nc -

2902246 - Existing nc files
File : 2902246_meta.nc - 2902246_prof.nc - 2902246_tech.nc -

2902248 - Existing nc files
File : 2902248_meta.nc - 2902248_prof.nc - 2902248_tech.nc -

2902249 - Existing nc files
File : 2902249_meta.nc - 2902249_prof.nc - 2902249_tech.nc -

2902250 - Existing nc files
File : 2902250_meta.nc - 2902250_prof.nc - 2902250_tech.nc -

2902251 - Existing nc files
File : 2902251_meta.nc - 2902251_prof.nc - 2902251_tech.nc -

2902252 - Existing nc files
File : 2902252_meta.nc - 2902252_prof.nc - 2902252_tech.nc -

2902253 - Existing nc files
File : 2902253_meta.nc - 2902253_prof.nc - 2902253_tech.nc -

2902254 - Existing nc files
File : 2902254_meta.nc - 2902254_prof.nc - 2902254_tech.nc -

2902255 - Existing nc files
File : 2902255_meta.nc - 2902255_prof.nc - 2902255_tech.nc -

2902256 - Existing nc files
File : 2902256_meta.nc - 2902256_prof.nc - 2902256_tech.nc -

2902257 - Existing nc files
File : 2902257_meta.nc - 2902257_prof.nc - 2902257_tech.nc -

2902258 - Existing nc files
File : 2902258_meta.nc - 2902258_prof.nc - 2902258_tech.nc -

2902259 - Existing nc files
File : 2902259_meta.nc - 2902259_prof.nc - 2902259_tech.nc -

2902260 - Existing nc files
File : 2902260_meta.nc - 2902260_prof.nc - 2902260_tech.nc -

2902261 - Existing nc files
File : 2902261_meta.nc - 2902261_prof.nc - 2902261_tech.nc -

2902262 - Existing nc files
File : 2902262_meta.nc - 2902262_prof.nc - 2902262_tech.nc -

2902265 - Existing nc files
File : 2902265_meta.nc - 2902265_prof.nc - 2902265_tech.nc -

2902266 - Existing nc files
File : 2902266_meta.nc - 2902266_prof.nc - 2902266_tech.nc -

2902267 - Existing nc files
File : 2902267_meta.nc - 2902267_prof.nc - 2902267_tech.nc -

2902268 - Existing nc files
File : 2902268_meta.nc - 2902268_prof.nc - 2902268_tech.nc -

2902269 - Existing nc files
File : 2902269_meta.nc - 2902269_prof.nc - 2902269_tech.nc -

2902278 - Existing nc files
File : 2902278_meta.nc - 2902278_prof.nc - 2902278_tech.nc -

2902279 - Existing nc files
File : 2902279_meta.nc - 2902279_prof.nc - 2902279_tech.nc -

2902280 - Existing nc files
File : 2902280_meta.nc - 2902280_prof.nc - 2902280_tech.nc -

2902281 - Existing nc files
File : 2902281_meta.nc - 2902281_prof.nc - 2902281_tech.nc -

2902282 - Existing nc files
File : 2902282_meta.nc - 2902282_prof.nc - 2902282_tech.nc -

2902283 - Existing nc files
File : 2902283_meta.nc - 2902283_prof.nc - 2902283_tech.nc -

2902284 - Existing nc files
File : 2902284_meta.nc - 2902284_prof.nc - 2902284_tech.nc -

2902285 - Existing nc files
File : 2902285_meta.nc - 2902285_prof.nc - 2902285_tech.nc -

7654321 - Existing nc files
File : 7654321_meta.nc - 7654321_prof.nc

5.7. JMA

Feedback sent by Wataru.(some months ago)
Checking of the status of each float.

-Deep NINJA: 14 floats in preparation for data release and profile files will be sent to GDACs

2902508	**7900600**	**7900655**
2902509	**7900601**	**7900657**
2902510	**7900652**	**7900658**
5904937	**7900653**	**7900660**
7900599	**7900654**	

-Others : 8 floats
need further investigation

For some floats :

- tech.nc - and/or traj.nc - are missing (only meta.nc - and prof.nc - files)
- traj.nc - is missing

See below the list of floats with existing nc files :

DAC name : jma – Number of floats : 1688

1902074 - Existing nc files
File : 1902074_meta.nc - 1902074_prof.nc -

1902075 - Existing nc files
File : 1902075_meta.nc - 1902075_prof.nc -

2901998 - Existing nc files
File : 2901998_meta.nc - 2901998_prof.nc -

2902455 - Existing nc files
File : 2902455_Rtraj.nc - 2902455_meta.nc - 2902455_tech.nc -

2902469 - Existing nc files
File : 2902469_Rtraj.nc - 2902469_meta.nc - 2902469_tech.nc -

2902508 - Existing nc files
File : 2902508_meta.nc - 2902508_prof.nc -

2902509 - Existing nc files
File : 2902509_meta.nc - 2902509_prof.nc -

2902510 - Existing nc files
File : 2902510_meta.nc - 2902510_prof.nc -

2902529 - Existing nc files
File : 2902529_Mprof.nc - 2902529_meta.nc - 2902529_prof.nc -

2902530 - Existing nc files
File : 2902530_Mprof.nc - 2902530_meta.nc - 2902530_prof.nc -

2902971 - Existing nc files
File : 2902971_meta.nc - 2902971_prof.nc -

2902977 - Existing nc files
File : 2902977_Rtraj.nc - 2902977_meta.nc - 2902977_tech.nc -

2902978 - Existing nc files
File : 2902978_Rtraj.nc - 2902978_meta.nc - 2902978_tech.nc -

2903005 - Existing nc files
File : 2903005_meta.nc - 2903005_prof.nc -

2903006 - Existing nc files
File : 2903006_Mprof.nc - 2903006_meta.nc - 2903006_prof.nc -

2903007 - Existing nc files
File : 2903007_Mprof.nc - 2903007_meta.nc - 2903007_prof.nc -

2903008 - Existing nc files
File : 2903008_Mprof.nc - 2903008_meta.nc - 2903008_prof.nc -

2903009 - Existing nc files
File : 2903009_Mprof.nc - 2903009_meta.nc - 2903009_prof.nc -

2903010 - Existing nc files
File : 2903010_Mprof.nc - 2903010_meta.nc - 2903010_prof.nc -

2903011 - Existing nc files
File : 2903011_Mprof.nc - 2903011_meta.nc - 2903011_prof.nc -

2903012 - Existing nc files
File : 2903012_Mprof.nc - 2903012_meta.nc - 2903012_prof.nc -

2903013 - Existing nc files
File : 2903013_Mprof.nc - 2903013_meta.nc - 2903013_prof.nc -

2903014 - Existing nc files
File : 2903014_Mprof.nc - 2903014_meta.nc - 2903014_prof.nc -

2903165 - Existing nc files
File : 2903165_Mprof.nc - 2903165_meta.nc - 2903165_prof.nc -

2903166 - Existing nc files
File : 2903166_Mprof.nc - 2903166_meta.nc - 2903166_prof.nc -

2903167 - Existing nc files
File : 2903167_Mprof.nc - 2903167_meta.nc - 2903167_prof.nc -

2903168 - Existing nc files
File : 2903168_Mprof.nc - 2903168_meta.nc - 2903168_prof.nc -

2903169 - Existing nc files
File : 2903169_Mprof.nc - 2903169_meta.nc - 2903169_prof.nc -

2903170 - Existing nc files
File : 2903170_Mprof.nc - 2903170_meta.nc - 2903170_prof.nc -

2903171 - Existing nc files
File : 2903171_Mprof.nc - 2903171_meta.nc - 2903171_prof.nc -

2903172 - Existing nc files
File : 2903172_Mprof.nc - 2903172_meta.nc - 2903172_prof.nc -

2903173 - Existing nc files
File : 2903173_Mprof.nc - 2903173_meta.nc - 2903173_prof.nc -

2903174 - Existing nc files
File : 2903174_Mprof.nc - 2903174_meta.nc - 2903174_prof.nc -

2903175 - Existing nc files
File : 2903175_Mprof.nc - 2903175_meta.nc - 2903175_prof.nc -

2903176 - Existing nc files
File : 2903176_Mprof.nc - 2903176_meta.nc - 2903176_prof.nc -

2903210 - Existing nc files
File : 2903210_Mprof.nc - 2903210_meta.nc - 2903210_prof.nc -

2903211 - Existing nc files
File : 2903211_meta.nc - 2903211_prof.nc -

2903212 - Existing nc files
File : 2903212_Mprof.nc - 2903212_meta.nc - 2903212_prof.nc -

2903213 - Existing nc files
File : 2903213_Mprof.nc - 2903213_meta.nc - 2903213_prof.nc -

2903327 - Existing nc files
File : 2903327_meta.nc - 2903327_prof.nc -

2903329 - Existing nc files
File : 2903329_Mprof.nc - 2903329_meta.nc - 2903329_prof.nc -

2903330 - Existing nc files
File : 2903330_Mprof.nc - 2903330_meta.nc - 2903330_prof.nc -

2903346 - Existing nc files
File : 2903346_meta.nc - 2903346_prof.nc -

2903347 - Existing nc files
File : 2903347_meta.nc - 2903347_prof.nc -

2903350 - Existing nc files
File : 2903350_meta.nc - 2903350_prof.nc -

2903351 - Existing nc files
File : 2903351_meta.nc - 2903351_prof.nc -

2903352 - Existing nc files
File : 2903352_meta.nc - 2903352_prof.nc -

2903353 - Existing nc files
File : 2903353_Mprof.nc - 2903353_meta.nc - 2903353_prof.nc -

2903356 - Existing nc files
File : 2903356_meta.nc - 2903356_prof.nc -

2903357 - Existing nc files
File : 2903357_meta.nc - 2903357_prof.nc -

2903359 - Existing nc files
File : 2903359_meta.nc - 2903359_prof.nc -

2903360 - Existing nc files
File : 2903360_meta.nc - 2903360_prof.nc -

2903362 - Existing nc files
File : 2903362_meta.nc - 2903362_prof.nc -

2903363 - Existing nc files
File : 2903363_meta.nc - 2903363_prof.nc -

2903364 - Existing nc files
File : 2903364_meta.nc - 2903364_prof.nc -

2903365 - Existing nc files
File : 2903365_meta.nc - 2903365_prof.nc -

2903366 - Existing nc files
File : 2903366_meta.nc - 2903366_prof.nc -

2903367 - Existing nc files
File : 2903367_meta.nc - 2903367_prof.nc -

2903368 - Existing nc files
File : 2903368_meta.nc - 2903368_prof.nc -

2903369 - Existing nc files
File : 2903369_meta.nc - 2903369_prof.nc -

2903370 - Existing nc files
File : 2903370_meta.nc - 2903370_prof.nc -

2903373 - Existing nc files
File : 2903373_meta.nc - 2903373_prof.nc -

2903374 - Existing nc files
File : 2903374_meta.nc - 2903374_prof.nc -

2903375 - Existing nc files
File : 2903375_meta.nc - 2903375_prof.nc -

2903402 - Existing nc files
File : 2903402_meta.nc - 2903402_prof.nc -

2903403 - Existing nc files
File : 2903403_meta.nc - 2903403_prof.nc -

2903404 - Existing nc files
File : 2903404_meta.nc - 2903404_prof.nc -

3902388 - Existing nc files
File : 3902388_meta.nc - 3902388_prof.nc -

3902389 - Existing nc files
File : 3902389_meta.nc - 3902389_prof.nc -

3902390 - Existing nc files
File : 3902390_meta.nc - 3902390_prof.nc -

4900293 - Existing nc files
File : 4900293_Rtraj.nc - 4900293_meta.nc - 4900293_tech.nc -

4902378 - Existing nc files
File : 4902378_meta.nc - 4902378_prof.nc -

4902380 - Existing nc files
File : 4902380_meta.nc - 4902380_prof.nc -

4902981 - Existing nc files
File : 4902981_Rtraj.nc - 4902981_meta.nc - 4902981_prof.nc -

5900277 - Existing nc files
File : 5900277_Rtraj.nc - 5900277_meta.nc - 5900277_tech.nc -

5901582 - Existing nc files
File : 5901582_meta.nc - 5901582_prof.nc - 5901582_tech.nc -

5901937 - Existing nc files
File : 5901937_Rtraj.nc - 5901937_meta.nc - 5901937_prof.nc -

5904937 - Existing nc files
File : 5904937_meta.nc - 5904937_prof.nc -

5905062 - Existing nc files
File : 5905062_Mprof.nc - 5905062_meta.nc - 5905062_prof.nc -

5905218 - Existing nc files
File : 5905218_Mprof.nc - 5905218_meta.nc - 5905218_prof.nc -

5905223 - Existing nc files
File : 5905223_Mprof.nc - 5905223_meta.nc - 5905223_prof.nc -

5905224 - Existing nc files
File : 5905224_meta.nc - 5905224_prof.nc -

5905225 - Existing nc files
File : 5905225_meta.nc - 5905225_prof.nc -

5905226 - Existing nc files
File : 5905226_meta.nc - 5905226_prof.nc -

5905233 - Existing nc files
File : 5905233_meta.nc - 5905233_prof.nc -

5905835 - Existing nc files
File : 5905835_meta.nc - 5905835_prof.nc -

5905836 - Existing nc files
File : 5905836_meta.nc - 5905836_prof.nc -

5905837 - Existing nc files
File : 5905837_meta.nc - 5905837_prof.nc -

5905838 - Existing nc files

File : 5905838_meta.nc - 5905838_prof.nc -

5905839 - Existing nc files
File : 5905839_meta.nc - 5905839_prof.nc -

5905840 - Existing nc files
File : 5905840_meta.nc - 5905840_prof.nc -

5905841 - Existing nc files
File : 5905841_meta.nc - 5905841_prof.nc -

5905844 - Existing nc files
File : 5905844_meta.nc - 5905844_prof.nc -

5905851 - Existing nc files
File : 5905851_meta.nc - 5905851_prof.nc -

5905852 - Existing nc files
File : 5905852_meta.nc - 5905852_prof.nc -

5905853 - Existing nc files
File : 5905853_meta.nc - 5905853_prof.nc -

5905854 - Existing nc files
File : 5905854_meta.nc - 5905854_prof.nc -

5905855 - Existing nc files
File : 5905855_meta.nc - 5905855_prof.nc -

5905860 - Existing nc files
File : 5905860_meta.nc - 5905860_prof.nc -

5905861 - Existing nc files
File : 5905861_meta.nc - 5905861_prof.nc -

5905862 - Existing nc files
File : 5905862_meta.nc - 5905862_prof.nc -

7900024 - Existing nc files
File : 7900024_Rtraj.nc - 7900024_meta.nc - 7900024_tech.nc -

7900025 - Existing nc files
File : 7900025_Rtraj.nc - 7900025_meta.nc - 7900025_tech.nc -

7900599 - Existing nc files
File : 7900599_meta.nc - 7900599_prof.nc -

7900600 - Existing nc files
File : 7900600_meta.nc - 7900600_prof.nc -

7900601 - Existing nc files
File : 7900601_meta.nc - 7900601_prof.nc -

7900652 - Existing nc files
File : 7900652_meta.nc - 7900652_prof.nc -

7900653 - Existing nc files
File : 7900653_meta.nc - 7900653_prof.nc -

7900654 - Existing nc files
File : 7900654_meta.nc - 7900654_prof.nc -

7900655 - Existing nc files
File : 7900655_meta.nc - 7900655_prof.nc -

7900657 - Existing nc files
File : 7900657_meta.nc - 7900657_prof.nc -

7900658 - Existing nc files
File : 7900658_meta.nc - 7900658_prof.nc -

7900660 - Existing nc files
File : 7900660_meta.nc - 7900660_prof.nc -

7900691 - Existing nc files
File : 7900691_meta.nc - 7900691_prof.nc

5.8. KMA

For some floats :

- tech.nc - is missing (meta.nc - , traj.nc - and prof.nc - files existing)
- multiprof.nc - is missing (no profiles but tech, traj, meta exist)

See below the list of floats with existing nc files :

DAC name : kma – Number of floats : 241
2901213 - Existing nc files
File : 2901213_Rtraj.nc - 2901213_meta.nc - 2901213_prof.nc -

2901731 - Existing nc files
File : 2901731_meta.nc - 2901731_prof.nc

5.9. KORDI/KIOST

For some floats :

- tech.nc - is missing (meta.nc - , traj.nc - and prof.nc - files existing)
- only meta and traj files (no monoprofile, no tech.nc -)

See below the list of floats with existing nc files :

DAC name : kordi – Number of floats : 109

2901779 - Existing nc files
File : 2901779_meta.nc - 2901779_prof.nc - 2901779_tech.nc -

2901780 - Existing nc files
File : 2901780_meta.nc - 2901780_prof.nc - 2901780_tech.nc -

5.10. MEDS

For some floats :

- traj file missing

See below the list of floats with existing nc files :

DAC name : meds – Number of floats : 531

4902477 - Existing nc files
File : 4902477_meta.nc - 4902477_prof.nc - 4902477_tech.nc -

4902479 - Existing nc files
File : 4902479_meta.nc - 4902479_prof.nc - 4902479_tech.nc -

4902488 - Existing nc files
File : 4902488_meta.nc - 4902488_prof.nc - 4902488_tech.nc

5.11. NMDIS

For some floats :

-

See below the list of floats with existing nc files :

DAC name : nmdis – Number of floats : 19